

UNIVERSIDADE FEDERAL DO RIO GRANDE DO SUL  
FACULDADE DE AGRONOMIA  
PROGRAMA DE PÓS-GRADUAÇÃO EM ZOOTECNIA

**NUTRIÇÃO DE LEITÕES DESMAMADOS: ENFOQUE NO USO DA  
ENERGIA DA DIETA E EXCREÇÃO DE NITROGÊNIO**

**MARCIA DE SOUZA VIEIRA**

Zootecnista/UFRRJ  
Mestre em Zootecnia/UFRRJ

Tese apresentada como um dos requisitos à obtenção do grau de Doutor em  
Zootecnia

Área de concentração Produção Animal

Porto Alegre (RS) Brasil  
Abril, 2014

## CIP - Catalogação na Publicação

Vieira, Marcia de Souza

Nutrição de leitões desmamados: enfoque no uso da energia da dieta e excreção de nitrogênio / Marcia de Souza Vieira. -- 2014.

229 f.

Orientadora: Andréa Machado Leal Ribeiro.

Tese (Doutorado) -- Universidade Federal do Rio Grande do Sul, Faculdade de Agronomia, Programa de Pós-Graduação em Zootecnia, Porto Alegre, BR-RS, 2014.

1. Desempenho. 2. Metabolismo energético. 3. Meta-análise. 4. Excreção de nitrogênio. 5. Leitões. I. Machado Leal Ribeiro, Andréa , orient. II. Título.



MARCIA DE SOUZA VIEIRA  
Zootecnista e Mestra em Ciência Animal

**TESE**

Submetida como parte dos requisitos  
para obtenção do Grau de

**DOUTORA EM ZOOTECNIA**

Programa de Pós-Graduação em Zootecnia  
Faculdade de Agronomia  
Universidade Federal do Rio Grande do Sul  
Porto Alegre (RS), Brasil

Aprovada em: 14.04.2014  
Pela Banca Examinadora

Homologado em: 17.06.2014  
Por

*Andréa Leal Ribeiro*  
ANDRÉA MACHADO LEAL RIBEIRO  
PPG Zootecnia/UFRGS

Orientadora

*Júlio Otávio Jardim Barcellos*  
JULIO OTÁVIO JARDIM BARCELLOS  
Coordenador do Programa de  
Pós-Graduação em Zootecnia

*Alexandre Kessler*  
ALEXANDRE DE MELLO KESSLER  
PPG Zootecnia/UFRGS

*Fernando Bortolozzo*  
FERNANDO PANDOLFO BORTOLOZZO  
UFRGS/RS

*Cheila Roberta Lehnen*  
CHEILA ROBERTA LEHNNEN  
UEPG/PR

*Pedro Selbach*  
PEDRO ALBERTO SELBACH  
Diretor da Faculdade de Agronomia

*“À minha família, por tudo e pra sempre”  
Dedico*

## **AGRADECIMENTOS**

A minha família, em especial aos meus pais, meus irmãos e sobrinhos, pelo apoio incontestável de carinho e dedicação, essenciais para a conquista de qualquer objetivo.

A Universidade Federal do Rio Grande do Sul pela oportunidade de cursar doutorado numa instituição por excelência.

Ao Conselho Nacional de Desenvolvimento Científico e Tecnológico (CNPq) pela concessão da bolsa de estudos.

A minha orientadora Professora Andréa Machado Leal Ribeiro pelos ensinamentos, grande paciência e dedicação.

Ao professor Alexandre de Mello Kessler por toda ajuda intelectual durante o período de doutoramento e aos professores Marson Warpechowski e Patrícia Zielgelmann por todo suporte durante a análise dos dados.

Aos integrantes do grupo de modelagem da UFSM por me auxiliarem na meta-análise.

Aos demais professores do Programa de Pós-Graduação em Zootecnia – UFRGS, pelo convívio e amizade durante o curso.

Aos integrantes do Laboratório de Ensino Zootécnico (LEZO) pela convivência e amizade.

Aos amigos João Batista, Bruna Moscat, Daniel Antoniol e Mariana de Souza pelo companheirismo durante o doutorado e pela longa amizada ruralina.

Rosani Matoso e Vinícius Santos que mesmo distante nunca deixaram de me incentivar e apoiar.

Ao pessoal do laboratório de nutrição animal por todo apoio nas análises.

A Ione Borcelli e a Maria do Carmo pelos auxílios sempre que necessário.

A todos que de maneira direta ou indireta contribuíram para a realização desse trabalho.

MUITO OBRIGADA!

## **NUTRIÇÃO DE LEITÕES DESMAMADOS: ENFOQUE NO USO DA ENERGIA DA DIETA E EXCREÇÃO DE NITROGÊNIO<sup>(1)</sup>**

Autor: Marcia de Souza Vieira

Orientador: Andréa Machado Leal Ribeiro

### **RESUMO**

O presente trabalho foi realizado com os seguintes objetivos: O estudo I avaliou o efeito da concentração energética da dieta (EM; I-3,40, II-3,60, III-3,80 Mcal/kg) e peso ao desmame (PD;  $4,5 \pm 0,4$  kg e  $6,7 \pm 0,5$  kg) no desempenho, digestibilidade, composição corporal e eficiência energética da dieta em leitões desmamados aos 21 dias; O estudo II investigou a influência das variáveis de desempenho e digestibilidade na eficiência de ganho de peso/nitrogênio excretado (GP/NE) de leitões desmamados, através de meta-análise. No estudo I, foram utilizados 32 leitões machos alojados em gaiolas de metabolismo por 28 dias. As dietas II e III foram concentradas em nutrientes na mesma proporção do aumento de energia, mantendo-se constante a relação lisina:EM. A ausência de interação entre PD e EM mostra que leitões leves não atingem crescimento compensatório quando alimentados com dietas com altos níveis de energia e mesma relação lisina:EM. O aumento da EM melhorou a digestibilidade dos nutrientes, porém não resultou em melhora do desempenho. Ficou evidenciada a vantagem em se desmamar leitões pesados devido ao melhor desempenho e a melhor eficiência na utilização da EM para ganho de proteína corporal. A meta-análise de estudo II foi conduzida com 10 ensaios, realizados entre 2000 e 2012, totalizando 62 tratamentos e 726 leitões. Dois modelos foram gerados para predição da eficiência GP/NE, com e sem a variável retenção de nitrogênio:  $GP/NE = \exp[1,923 - 0,077 * Nitrogênio\ ingerido\ (Ni;\ g/d) + 0,041 * Retenção\ de\ nitrogênio\ (RN;\ %) + 0,008 * Consumo\ de\ ração/Peso\ vivo\ médio\ (CR/PVm) - 0,578 * Conversão\ alimentar\ (CA) + 0,132 * Peso\ vivo\ inicial\ (PVI;\ kg) + 0,016 * Ni * CA + 0,0000011 * RN * Energia\ metabolizável\ ingerida\ (EMi;\ Kcal/kg) - 0,003 * RN * PVI + 0,002 * RN * Peso\ vivo\ final\ (PVF)]$   $R^2=0,97$ ;  $GP/NE = \exp[4,703 - 0,035 * Ni - 0,392 * CA + 0,062 * PVI + 0,00016 * EMi + 0,007 * CR/PVm * CA - 0,032 * CA * PVF]$ .  $R^2 = 0,73$ . A equação I mostra que quanto mais eficientes em reter N são os animais, maior o GP/NE. O aumento no consumo de EM maximizou o GP/NE em animais com maior RN. A interação entre Ni e CA mostrou que com baixo Ni e melhor CA a eficiência foi maximizada, porém com alto Ni, boa CA tem pouca influenciou sobre a eficiência. No modelo II a interação entre CA e PV mostra que leitões com boa CA melhoraram o GP/NE ao longo do período de crescimento, enquanto que animais com CA ruim não melhoraram GP/NE com o passar do tempo. Leitões desmamados, alimentados com dietas concentradas em energia e adequado perfil de aminoácidos maximizam a eficiência do GP/NE.

---

<sup>(1)</sup> Tese de Doutorado em Zootecnia – Produção Animal, Faculdade de Agronomia, Universidade Federal do Rio Grande do Sul, Porto Alegre, RS, Brasil (229 p.) Abril, 2014.

## FOCUS ON THE USE OF DIETARY ENERGY AND NITROGEN EXCRETION IN WEANED PIGLETS<sup>(1)</sup>

Author: Marcia de Souza Vieira

Adviser: Andréa Machado Leal Ribeiro

### **ABSTRACT**

The thesis was carried out with the following objectives: The study I evaluated the effect of dietary energy density (ME; I-3.40, II-3.60, III-3.80 Mcal/kg) and weaning weight (WW;  $4,5 \pm 0,4$  kg e  $6,7 \pm 0,5$  kg) on performance, digestibility, body composition and energy efficiency of weaned piglets at 21 d. The study II investigated the influence of dietary, performance and nutrient digestibility variables on efficiency of weight gain/nitrogen excretion (WG/NE) of weaned piglets, through meta-analysis. In the study I, 32 male piglets, allotted in metabolic cages for 28 d were used. The diets II and III were concentrated in nutrients in the same proportion as energy increase keeping constant Lys/ME ratio. The results of this study showed that light piglets does not reach compensatory growth even when they are fed with diets concentrated in energy, keeping Lys:ME ratio. This was evidenced by the absence of the interaction between WW and ME for all responses. Increasing diet energy was effective in improving digestibility of nutrients, but did not result in better performance. There is an evident advantage in weaning heavy piglets, once they showed better performance in all experimental period. Also, they used energy and lysine diet more efficiently to maximize protein deposition rates. In the study II a meta-analysis was carried out with 10 experiments conducted between 2000 and 2012, totaling 62 treatments and 726 piglets. Two models were generated to predict efficiency:  $WG/NE = \exp [1.923 - 0.077 * Nitrogen\ intake\ (Ni;\ g/d) + 0.041 * Nitrogen\ retention\ (NR;\ %) + 0.008 * Feed\ intake / Average\ body\ weight\ (FI/BWa) - 0.578 * Feed:Gain\ (F:G) + 0.132 * Initial\ body\ weight\ (BWi;\ kg) + 0.016 * Ni * F:G + 0.0000011 * NR * Metabolizable\ energy\ intake\ (MEi;\ Kcal/kg) - 0.003 * NR * BWi + 0.002 * NR * Final\ body\ weight\ (BWf)] R^2 = 0.97$ ;  $WG/NE = \exp [4.703 - 0.035 * Ni - 0.392 * F:G + 0.062 * BWi + 0.00016 * MEi + 0.007 * FI/BWa * F:G - 0.032 * F:G * BWf] R^2 = 0.73$ . The equation I shows that the more efficient in retaining N are the animals, the greater WG/NE. The increase in metabolizable energy intake maximized efficiency in animals with greater NR. There were an interaction between N intake (Ni) and F:G showing that with a low Ni and better F:G the efficiency was maximized, but with high Ni, the high F:G has little influence on efficiency. In model II, there was an interaction of F:G and BW showing that piglets with better F:G improved WG/NE as body weight increased, whereas animals with worst F:G did not improve WG/NE over time. Weaned piglets, feed diets with high energy and appropriate profile amino acid improve efficiency of WG/NE.

---

<sup>(1)</sup> Doctoral Thesis in Animal Science– Faculdade de Agronomia, Universidade Federal do Rio Grande do Sul, Porto Alegre, RS, Brazil (229 p.), April, 2014.

## SUMÁRIO

	Página
<b>CAPÍTULO I.....</b>	<b>12</b>
1. INTRODUÇÃO.....	14
2. REVISÃO BIBLIOGRÁFICA.....	16
2.1 Fatores que afetam o peso e o desempenho de leitões.....	16
2.1.1 Peso ao nascimento.....	16
2.1.2 Peso ao desmame.....	17
2.2 Efeito da energia e da relação lisina:energia da dieta sobre o desempenho.....	19
2.3 Partição da energia ingerida.....	21
2.3.1 Produção de calor.....	21
2.3.2 Deposição de proteína e gordura.....	23
2.4 Problemática da utilização e excreção do nitrogênio na suinocultura moderna.....	26
2.5 Meta-análise.....	28
3. HIPÓTESES E OBJETIVOS.....	30
<b>CAPÍTULO II.....</b>	<b>33</b>
Efeito de altos níveis de energia no desempenho de leitões recém-desmamados.....	35
1. Introdução.....	37
2. Material e Métodos.....	39
3. Resultados.....	43
4. Discussão.....	45
5. Conclusões.....	49
6. Referências.....	49
<b>CAPÍTULO III.....</b>	<b>64</b>
Meta-análise de fatores nutricionais e de desempenho que influenciam a eficiência de ganho de peso em relação ao nitrogênio excretado em leitões recém-desmamados.....	66
1. Introdução.....	68
2. Material e Métodos.....	70
3. Resultados.....	73
4. Discussão.....	74
5. Conclusões.....	80
6. Referências.....	82
<b>CAPÍTULO IV.....</b>	<b>100</b>
CONSIDERAÇÕES FINAIS.....	102
REFERÊNCIAS BIBLIOGRÁFICAS.....	104
APÊNDICES.....	120
VITA.....	229

## RELAÇÃO DE TABELAS

	Página
<b>CAPÍTULO I</b>	
Tabela 1. Efeito do fornecimento de energia sobre a composição corporal química e taxa de deposição de proteína (DP) e lipídeo (DL) no corpo vazio de leitões desmamados entre 5 e 10 kg PV.....	20
Tabela 2. Efeito do fornecimento de energia sobre a composição corporal de suínos em crescimento (45 a 100 kg PV).....	26
<b>CAPÍTULO II</b>	
Tabela 1. Composição de ingredientes e níveis nutricionais das dietas experimentais, na matéria natural.....	54
Tabela 2. Desempenho e digestibilidade dos nutrientes de acordo com a energia metabolizável (EM) da dieta e peso ao desmame (PD) de leitões no período de 28 dias pós desmame.....	56
Tabela 3. Composição corporal física de leitões aos 28 dias pós-desmame, de acordo com a energia metabolizável (EM) da dieta e peso ao desmame (PD).....	57
Tabela 4. Composição corporal química de leitões aos 28 dias pós-desmame, de acordo com a energia metabolizável (EM) da dieta e peso ao desmame (PD) .....	58
Tabela 5. Taxa de deposição de nutrientes de leitões aos 28 dias pós-desmame, de acordo com a energia metabolizável (EM) da dieta e peso ao desmame (PD) .....	59
Tabela 6. Eficiência de utilização da energia de acordo com a energia metabolizável (EM) da dieta e peso ao desmame (PD) de leitões no período de 28 dias pós-desmame.....	61
Tabela 7. Correlações da energia metabolizável (EM) e peso ao desmame (PD) com as variáveis de desempenho, digestibilidade e composição corporal.....	62
<b>CAPÍTULO III</b>	
Tabela 1. Estatística descritiva dos principais ingredientes e composição média das dietas.....	93
Tabela 2. Estatística descritiva das variáveis associadas aos modelos.....	95
Tabela 3. Estatística descritiva das variáveis de desempenho e digestibilidade.....	96
Tabela 4. Respostas das variáveis explicativas ajustadas à eficiência de ganho de peso em relação ao nitrogênio excretado.....	97

## RELAÇÃO DE FIGURAS

Página

### **CAPÍTULO I**

Figura 1. Modelagem da produção de calor compartimentada entre PCJ = produção de calor no jejum (taxa metabólica basal), PCA = produção de calor oriundo do alimento e, CAF = calor oriundo da atividade física.....	23
Figura 2. Resposta de superfície da deposição de proteína em função da EM ingerida e peso vivo. A linha cortada indica a capacidade de consumo de Large White machos castrados.....	25
Figura 3. Evolução no número de estudos publicados, indexados na base de dados SCIELO que utilizaram meta-análise.....	30

### **CAPÍTULO III**

Figura 1. Resposta do ganho de peso/nitrogênio excretado (GP/NE, g/d) observado em relação ao predito, de acordo com: N ingerido (g/d), EM ingerida (kcal/d), conversão alimentar (g/g), consumo de ração/peso vivo médio (g/d/kg), coeficiente de retenção de N, (%), peso vivo inicial (kg) e peso vivo final (kg).....	87
Figura 2. Resposta do ganho de peso/nitrogênio excretado (GP/NE, g/d) observado em relação ao predito, de acordo com: N ingerido (g/d), EM ingerida (kcal/d), conversão alimentar (g/g), consumo de ração/peso vivo médio (g/d/kg) e peso vivo inicial (kg).....	88
Figura 3. Eficiência ganho de peso/nitrogênio excretado (GP/NE) em função da interação: peso vivo (PV, kg) x retenção de nitrogênio (CRN, %). Modelo I.....	89
Figura 4. Eficiência do ganho de peso/nitrogênio excretado (GP/NE) em função da interação: consumo de energia metabolizável (EM, kcal/kg) x coeficiente de retenção de nitrogênio (CRN, %). Modelo I.....	90
Figura 5. Eficiência do ganho de peso/nitrogênio excretado (GP/NE) em função da interação: consumo de nitrogênio (g/d) x conversão alimentar (CA). Modelo I.....	91
Figura 6. Eficiência do ganho de peso/nitrogênio excretado (GP/NE) em função da interação: peso vivo (g/d) x conversão alimentar (CA). Modelo II.....	92

## RELAÇÃO DE ABREVIATURAS E SÍMBOLOS

A	
AOL	Área de olho de lombo
ATP	Adenosina trifosfato
C	
CDR	Consumo diário de ração
CA	Conversão alimentar
CR/PVm	Consumo de ração/Peso vivo médio
Ca	Cálcio
CAF	Calor oriundo da atividade física
CC	Conversão calórica
RN	Coeficiente de retenção de nitrogênio
CAR	Consumo alimentar residual
cm <sup>2</sup>	Centímetro quadrado
D	
dp	Desvio padrão
dpr	Desvio padrão residual
E	
EA	Eficiência alimentar
EM	Energia metabolizável
EMi	Energia metabolizável ingerida
EMm	Energia metabolizável para manutenção
EMc	Energia metabolizável para crescimento
EB	Energia bruta
ERP	Energia retida como proteína
ERG	Energia retida como gordura
ET	Espessura de toucinho
ED	Energia digestível
G	
GP/NE	Ganho de peso/Nitrogênio excretado
GDP	Ganho diário de peso
g	Grama
g/d	Grama/dia
H	
h	Hora
I	
IUGR	Intrauterine growth retardation
K	
kg	Kilograma
kJ	Quilojoule
kcal/kg	Quilocaloria/quilograma
L	
Lisina:ME	Lisina:energia metabolizável
M	
MS	Matéria seca
m <sup>2</sup>	Metro quadrado

mL	Mililitro
Mcal	Megacaloria
mm	Milímetro
MEB	Metabolizabilidade da energia bruta
N	
N	Nitrogênio
Ni	Nitrogênio ingerido
P	
P	Fósforo
PD	Peso ao desmame
PV	Peso vivo
PVI	Peso vivo inicial
PVF	Peso vivo final
pH	Potencial hidroxiliônico
PB	Proteína bruta
PCJ	Produção de calor no jejum
PCA	Produção de calor oriundo do alimento
PC	Produção de calor
R	
RN	Retenção de nitrogênio
T	
TGI	Tratogastrintestinal

## CAPÍTULO I



## 1. INTRODUÇÃO

Nos últimos 40 anos o Brasil saiu de uma condição de produção de subsistência para ser um dos países com uma das suinoculturas mais avançadas no mundo. Hoje ocupamos a 4º colocação entre os países produtores e exportadores de carne suína (ABPA, 2013). Este avanço ocorreu em função da utilização de animais com melhor potencial genético, dos avanços na nutrição, da melhoria nas estruturas de manejo e do aumento no número de granjas tecnificadas. A maximização do desempenho em termos de taxa de crescimento e eficiência alimentar, aliada a uma redução nos custos de produção, é a meta buscada em todas as fases de criação. Contudo, a intensificação do processo produtivo resultou em maior produção de dejetos por área e, consequentemente, maior impacto ambiental.

Um dos índices zootécnicos utilizados para estimar a eficiência do plantel é o número de leitões nascidos/porca/ano. Elevar o número de leitões nascidos reduz os custos com a matriz e torna o plantel mais produtivo. Neste sentido, este tem sido um dos focos do melhoramento genético na suinocultura. Um levantamento feito no ano de 2013 em que foram avaliadas 618 granjas, abrangendo 412 mil matrizes e 25% do plantel nacional tecnificado, revelou que houve um incremento médio de 1,05 leitões desmamados/porca/ano de 2011 para 2012 (Agriness, 2013). Se por um lado, aumentar o número de leitões nascidos reduz os custos de produção, por outro isto tem resultado em animais com baixo peso ao nascimento e desempenho aquém do esperado em todo ciclo do crescimento a terminação. Estudos têm mostrado que leitões leves ao nascimento ou ao desmame não alcançam crescimento compensatório e levam mais dias para chegar ao peso de abate (Václavková et al., 2012; Pardo et al., 2013a; Zindove et al., 2013). As razões deste baixo desempenho ainda não são claras, mas podem estar relacionadas com uma baixa capacidade para ganho, oriunda do crescimento uterino retardado (Wu et al., 2006; Dhakal et al., 2013) ou a fatores pós nascimento relacionados ao manejo, nutrição e ambiente térmico. Desta forma, a fim de maximizar o desempenho de animais leves e reduzir a variabilidade dentro do lote, há necessidade de se renovar o foco sobre a produção nos estágios iniciais (Douglas et al., 2014).

Em função do consumo de energia ser um dos principais limitantes do consumo de nutrientes em leitões desmamados, as dietas iniciais são frequentemente concentradas em energia e aminoácidos para garantir o desempenho e manter as taxas de deposição de proteína corporal. Além disso, há uma relação ideal entre lisina:energia que deve ser mantida para garantir as altas taxas de retenção de nitrogênio. Desta forma, o incremento energético da dieta (Tokach et al., 1995; Oresanya et al., 2008; Arnaiz et al., 2009) e a relação lisina:energia (Le Bellego e Noblet, 2002; Trindade Neto et al., 2004, 2009, 2010) tem sido alvo das pesquisas nas últimas décadas, em leitões desmamados. De uma forma geral, animais leves não têm apresentado crescimento compensatório com aumento da energia da dieta, enquanto a relação ideal entre lisina:energia tem apresentado resultados variados. Portanto, ainda há uma grande lacuna no conhecimento das reais exigências

de energia e nutrientes de leitões desmamados leves, bem como na maneira com que estes animais utilizam os nutrientes em termos de composição de ganho e excreção.

A obtenção de ferramentas capazes de predizer a magnitude das interações entre os fatores de desempenho e excreção de nutrientes são de grande utilidade quando o objetivo for manter o desempenho e mitigar a excreção de nitrogênio. Ainda que a grande maioria das pesquisas sobre o impacto da excreção de nitrogênio nos sistemas de produção de suínos tenha focado em animais na fase final do ciclo produtivo, ao considerarmos o aumento no número de animais produzidos/ano e a intensificação dos sistemas de produção, o volume de dejetos produzidos pelos animais na fase inicial é considerável e deveria receber maior atenção.

O presente trabalho foi realizado em duas etapas, cada qual com os seguintes objetivos: (1) O estudo I objetivou avaliar o efeito da concentração energética da dieta e peso ao desmame no desempenho, digestibilidade, composição corporal e eficiência no uso da energia da dieta; (2) O ensaio II objetivou investigar a influencia das variáveis de desempenho, digestibilidade e dietéticas na eficiência de ganho de peso em relação ao nitrogênio excretado, através de meta-análise.

Este documento é estruturado em IV capítulos, de forma sequencial, como segue abaixo:

- I. Introdução geral e revisão bibliográfica;
- II. Artigo 1, a ser submetido na revista Livestock Science: Desempenho e composição corporal de leitões desmamados leves e pesados submetidos a diferentes níveis de energia na dieta;
- III. Artigo 2, a ser submetido na revista Livestock Science: Meta-análise dos fatores nutricionais e de desempenho que influenciam a eficiência de ganho de peso em relação ao nitrogênio excretado em leitões recém-desmamados;

Considerações finais, referências bibliográficas e apêndices;

## 2. REVISÃO BIBLIOGRÁFICA

### **2.1. Fatores que afetam o peso e o desempenho de leitões**

#### 2.1.1. Peso ao nascimento

Tradicionalmente, aumentar o número de leitões nascidos vivos tem sido um dos principais objetivos para maximizar a produtividade da porca (Dube et al., 2011; Baxter et al., 2013; Rutherford et al., 2013). Um levantamento feito no ano de 2013 em que foram avaliadas 618 granjas, abrangendo 412 mil matrizes e 25% do plantel nacional tecnificado, revelou que houve um incremento médio de 1,05 leitões desmamado/porca/ano de 2011 para 2012 (Agriness, 2013). Contudo, estudos demonstraram que o tamanho da leitegada é negativamente correlacionado com a sobrevivência e desempenho no pré e pós-desmame (Bérard et al., 2008; Rehfeldt e Kuhn, 2006). Embora aumentar o número de leitões nascidos contribua para melhorar a produtividade da porca, a busca para maximizar o desempenho dos leitões leves, nascidos de grandes leitegadas continua como objetivo (Zindove et al., 2013). A maior variabilidade de peso da leitegada devido ao baixo peso ao nascimento tem efeitos aditivos sobre as taxas de crescimento durante todos os estágios de vida do animal, de forma que dificilmente animais leves conseguem atingir resultados de desempenho semelhantes aos de leitões pesados (Fix et al., 2010; Pardo et al., 2013a; Zindove et al., 2013) e levam mais dias para chegar ao peso de abate (Beaulieu et al., 2010; Václavková et al., 2012).

Uma das razões para a lenta taxa de crescimento e reduzida eficiência na utilização dos nutrientes, observadas em leitões leves oriundos de grandes leitegadas, é devido aos efeitos do retardo no crescimento uterino, conhecido pela sigla IUGR (Intrauterine growth retardation) (Rehfeldt e Kuhn, 2006; Wu et al., 2006; Dhakal et al., 2013). Segundo Wu et al. (2006), esta síndrome ocorre de forma natural e mais severa na espécie suína. Leitões são denominados IUGR quando seu peso fica abaixo de dois desvios padrões do peso médio da leitegada para uma determinada idade gestacional ou ao nascimento. A principal causa do IUGR é a subnutrição uterina causada pelo aumento na competição por oxigênio e nutrientes (Pére e Etienne, 2000) e, seus principais efeitos são observados sobre a miogênese (Foxcroft et al., 2006; Tristán et al., 2009; Bérard et al., 2010) no desenvolvimento dos órgãos (Jones et al., 2012; Wang et al., 2010; D'Inca et al., 2011; Alvarenga et al., 2012), bem como em alterações fisiológicas e metabólicas associadas ao crescimento do tecido adiposo (Wang et al., 2010; Liu et al., 2012).

Comparações entre animais leves e pesados indicam que as diferenças na taxa de crescimento pós-natal são relacionadas à razão entre o número de fibras primárias e secundárias, bem como ao tamanho da fibra muscular (Gondret et al., 2006; Paredes et al., 2013). Após 90 dias de gestação o processo de hiperplasia cessa e a fibra cresce apenas por hipertrofia, a partir

do fornecimento de mionúcleos doados pelas células satélites (células indiferenciadas) que se acumulam ao redor das fibras secundárias (Rehfeldt e Kuhn, 2006). Foi observado que animais leves apresentam menor número de fibras secundárias, fibras mais largas e o seu processo de hipertrofia cessa precocemente, quando comparados com animais pesados. Esta mudança no perfil de desenvolvimento das fibras explicaria o maior percentual de gordura observado em leitões leves ao peso de abate. O baixo potencial para a manutenção da hipertrofia em idade mais avançada resulta no alcance precoce do platô de crescimento, de forma que a energia da dieta fica disponível para deposição de gordura. Ao contrário, suínos pesados alcançam o platô de crescimento muscular mais tarde e, portanto, apresentam maior potencial de acréscimo muscular (Rehfeldt e Kuhn, 2006).

Entretanto, a teoria de que leitões leves não alcançam crescimento compensatório devido ao baixo número de fibras não tem sido totalmente confirmada. Enquanto Bee (2004) e Gondret et al. (2006) reportam maior área de fibra e aumento no percentual de gordura ao peso de abate em leitões leves ao nascimento, Dwyer et al. (1993) e Gondret et al. (2005), não encontraram relação entre baixo peso ao nascimento e redução no número de fibras musculares. Portanto, ainda há uma lacuna no conhecimento dos fatores relacionados ao baixo desempenho de leitões leves. É possível que os efeitos do IUGR sobre a miogênese, características físicas e metabólicas ocorram em diferentes graus em função da maior ou menor subnutrição a qual o leitão foi submetido durante o período pré-natal. Estudos em que animais potencialmente IUGR foram descartados mostraram que leitões de baixo peso ao nascimento podem apresentar crescimento compensatório. Isto foi observado por Paredes et al. (2012) ao analisarem informações de desempenho individual de 77.868 leitões nascidos entre 2005 e 2010. Eles reportam que animais nascidos com peso menor que dois desvios padrões da média da leitegada não alcançam crescimento compensatório até a 6<sup>ª</sup> semana de idade, e concluíram que este seria o “ponto de corte” no qual animais, acima deste ponto, teriam capacidade para adequado crescimento.

### 2.1.2. Peso ao desmame

A presença de leitões leves ao desmame pode estar dissociada da restrição no crescimento uterino. Outras razões como inadequado aleitamento, manejo, condições ambientais ou sanitárias podem ser as causas. Neste contexto, a fase de amamentação assume grande importância para que os animais possam passar pelo desmame com eficiente escore corporal, elevado status de saúde com consequente redução na variabilidade de peso dentro do lote. Cabrera et al. (2010) reportam que não é claro o entendimento de como o peso ao desmame afeta o desempenho subsequente quando há confundimento com o peso ao nascimento. Na grande maioria das granjas o controle de peso se faz por meio de média amostral dificultando o acompanhamento individual do peso de cada animal de forma que o baixo peso ao desmame pode ter causas diversas.

O momento do desmame é considerado um dos mais importantes para o desenvolvimento do leitão, assim como um dos mais críticos. O estresse

é causado por vários fatores como a mistura de várias leitegadas, com origem em diferentes condições sanitárias, a mudança da alimentação, a adaptação ao novo ambiente e redução da ação dos anticorpos maternos transferidos através do colostrum nas primeiras horas de vida (Ribeiro et al., 2008). As principais respostas do estresse ao desmame são a redução no consumo de ração, queda da imunidade, danos à mucosa intestinal e diarreia (Pluske et al., 1997; Heo et al., 2009; Lima et al., 2009). Estudos têm demonstrado que o estresse e a fase mais severa de reduzido desempenho, aproximadamente uma semana pós desmame, ocorrem independentemente da idade ou peso ao desmame. Entretanto, leitões desmamados com maior peso possuem maior reserva de gordura corporal a ser metabolizada e talvez por isso suportem, por mais tempo, um menor consumo de ração inicial (Passos, 1997).

As diferenças no desempenho de leitões no pós-desmame podem ser parcialmente explicadas pelas diferenças no consumo de ração entre leitões leves e pesados, provavelmente devido a uma limitada capacidade física do trato gastrintestinal em leitões leves ao desmame. Mahan e Lepine (1991) observaram que leitões ao desmame com peso maior do que 7,0 kg consumiram 26,8% de ração a mais que leitões menores de 5,0 kg. Ainda, leitões pesados consumiram no mínimo 1,0 kg de ração na 1<sup>a</sup> semana após o desmame, enquanto leitões leves raramente atingiram esta quantidade. Da mesma forma, Lopes et al. (2004) observaram maior consumo de ração e ganho de peso de leitões pesados (> 6,0 kg). Bruininx et al. (2001) ao avaliarem três categorias de peso ao desmame (6,7; 7,9 e 9,3 kg) observaram ganhos médios diáários crescentes entre elas (298, 320 e 345 g). Contrariamente à maioria dos trabalhos citados, Arnaiz et al. (2009) não observaram diferenças no consumo de ração entre leitões leves e pesados. Cabe ressaltar que no trabalho de Arnaiz et al. (2009) o consumo foi individual, enquanto nos trabalhos anteriormente citados, o consumo foi em grupo. Nyachoti et al. (2004) reportam que fatores físicos e sociais (competição dentro do lote, tamanho do lote, re-agrupamento da leitegada) contribuem para as variações observadas nos estudos de desempenho e, geralmente são confundidas com efeito dos tratamentos. Variações comportamentais sobre o consumo de ração foram observadas nos trabalhos de Graham et al. (1981) e Bruininx et al. (2001). Eles reportam que leitões leves são menos competitivos quanto ao seu espaço no comedouro e gastam menos tempo no consumo de ração quando comparado com leitões pesados.

Variações no peso de mercado, geradas em função da grande variabilidade de peso ao desmame influenciam a rentabilidade do sistema suinícola. Maior mão-de-obra, custos com alimentação especial, instalações e mudanças no fluxo dos lotes são demandados para que animais leves atinjam o peso exigido ao abate. A lenta taxa de crescimento aumenta a complexidade de manejo do rebanho, especialmente em sistemas de produção *all in/all out* onde os lotes de animais iniciam e terminam juntos. Além disso, a variabilidade de peso gera variabilidades na composição da carcaça, dificultando a padronização do produto final (Campos et al., 2011). Segundo, Wittenburg et al. (2011) uma forma de reduzir a variabilidade de peso seria a seleção de porcas com maior uniformidade de leitegadas ao invés de maior leitegada,

associado a um adequado manejo nutricional.

## **2.2. Efeito da energia e da relação lisina:energia da dieta sobre o desempenho**

A alimentação representa a maior proporção de custo para a produção de carne de animais monogástricos ( $> 60,0\%$ ), e o valor energético da dieta representa a maior proporção desse custo (Noblet e van Milgen, 2013). Portanto, há um grande interesse no entendimento do impacto da concentração da energia da dieta sobre o crescimento e a composição corporal dos suínos. Outro importante aspecto da concentração de energia da dieta é que os níveis de energia influenciam o consumo voluntário. Suínos tendem a consumir ração até que sua exigência energética tenha sido alcançada (Nyachoti et al., 2004). A habilidade de adaptar o CR em função dos níveis de energia é observada em suínos em crescimento, porém leitões desmamados apresentam respostas variadas. Schneider et al. (2010) por exemplo, observaram redução no CR quando a energia da dieta aumentou de 2950 para 3520 kcal EM/kg em leitões desmamados com 9,4 kg. Ao contrário, Arnaiz et al. (2009) não observaram efeito do aumento da EM (3250 a 3700 kcal EM/kg) sobre o CR em leitões desmamados com média de 4,0 ou 6,0 kg.

É geralmente aceito que o consumo de energia para maximizar o crescimento ou deposição de proteína está além da capacidade de suínos jovens. Em outras palavras, eles são incapazes de ingerir energia suficiente para alcançar seu potencial genético (Oresanya, 2005). Acredita-se que a fase dependente de energia, para incremento de deposição de proteína, se estenda até os 90 kg, mas a limitação física mais severa sobre o consumo ocorre até os 25 kg e impede que o animal atinja sua capacidade genética para crescimento (Van Lunen e Cole, 1998). Ao contrário, ao fim do período de terminação a capacidade de consumo excede a quantidade de energia exigida para maximizar a relação entre ganho de tecido magro e gordura (Quiniou e Noblet, 2012).

O aumento na concentração energética da dieta de suínos jovens compensa, em parte, a limitada capacidade de ingestão, resultando no aumento do crescimento e na taxa de deposição de nitrogênio, segundo Van Lunen e Cole (1998). Desta forma, o aumento da concentração energética da dieta tem sido uma das principais estratégias utilizadas para melhorar o desempenho de leitões desmamados. Contudo, pesquisas prévias têm falhado em demonstrar melhora no desempenho com aumento na densidade energética da dieta (Beaulieu et al., 2006; Oresanya et al., 2008; Arnaiz et al., 2009). Além disso, o incremento energético tem resultado apenas em aumento de gordura corporal (Oresanya et al., 2008) e, quando o desempenho é melhorado no pós-desmame, a vantagem nem sempre continua até o peso de abate (Lawlor et al., 2002; Whang et al., 2000).

Quando a energia não é o primeiro recurso limitante, o consumo de ração será modulado para atender o primeiro nutriente limitante. Por exemplo, a relação entre energia e aminoácido, em torno do nível ótimo para

crescimento, irá influenciar o consumo de ração, o ganho de peso e a composição da carcaça (Trindade Neto et al., 2010; Schneider et al., 2010; Permentier et al., 2013). Kyriazakis e Emmans (1992) demonstraram que suínos podem consumir energia extra quando é dado livre acesso às dietas com baixo conteúdo proteico e consomem proteína extra em dietas com baixa energia. Em primeira instância, a energia extra é depositada como gordura, enquanto a proteína extra é desaminada. Em ambos os casos a eficiência de utilização dos nutrientes da dieta será reduzida, devido ao desbalanço entre o fornecimento de energia e aminoácidos.

TABELA 1. Efeito do fornecimento de energia sobre a composição corporal química e taxa de deposição de proteína (DP) e lipídeo (DL) no corpo vazio de leitões desmamados entre 5 e 10 kg PV<sup>1,2</sup>

Autor	Energia (Mcal/kg)	DP (g/d)	DL (g/d)	Proteína (%)	Lipídeo (%)
1	2,15	93,0	35,0	17,3	7,2
	2,26	90,0	40,0	17,0	7,8
	2,37	94,0	54,0	16,8	8,9
2	3,25	64,8	31,8	16,1	8,4
	3,40	63,8	39,2	15,8	9,5
	3,55	70,1	47,0	15,8	10,3
	3,70	64,1	52,3	15,4	11,4

\*Adaptado de:

<sup>1</sup>Oresanya et al. (2008)

<sup>2</sup>Arnaiz et al. (Dados não publicados)

Neste contexto, nos últimos anos tem havido um número crescente de trabalhos avaliando a melhor relação lisina:energia para maximizar o desempenho de leitões desmamados. As investigações sobre a relação lisina:energia para leitões desmamados apresentam resultados variados. Nam e Aherne (1994) determinaram a relação de 3,97 g lisina/Mcal ED para leitões desmamados pesando entre 9 a 26 kg. Van Lunen e Cole (1998) forneceram níveis de lisina total de 0,85 a 2,29% para leitões dos 9,0 aos 25,0 kg e determinaram para o máximo desempenho 4,18 g lisina/Mcal de ED. Smith et al. (1999) entretanto sugeriram para suínos pesando entre 10 e 25 kg a relação de 4,35 g lisina/Mcal. Le Bellego e Noblet (2002) sugeriram a relação de 4,23 g lisina/Mcal de energia líquida em dietas com 3380 a 3413 kcal/kg de energia metabolizável. Trindade Neto et al. (2000) reportam o valor de 3,68 g lisina/Mcal EM para leitões de 6 a 11 kg, enquanto Trindade Neto et al. (2004; 2009; 2010) recomendam 4,16 g lisina /Mcal EM para leitões em entre 7 a 12 kg. Embora haja inúmeras possibilidades para as inconsistências nos resultados encontrados para relações lisina:energia, Chiba et al. (1991) reportam que a causa primária pode ser mudanças na composição corporal dos suínos. O conceito de expressar as exigências de aminoácidos em relação às concentrações de energia da dieta só é válido se a relação entre consumo de energia e deposição de proteína for linear. Relações lineares, linear-platô e curvilinear têm sido postuladas (Williams 1980; ARC, 1981), mas, a relação

parece ser linear para suínos pesando  $\leq 50$  kg (Close e Mount, 1976; Campbell e Dunkin, 1983; Campbell et al., 1983, 1985). Assim, para suínos jovens em crescimento, alimentados com proporções fixas de lisina em relação as concentrações de energia, deveria resultar na mesma taxa de deposição de ganho de tecido magro. Outros fatores que contribuem para as discrepâncias entre os resultados podem ser atribuídos às diferenças nas fontes de ingredientes e nível de nutrientes e energia utilizados nas dietas. A maioria dos estudos tem sido conduzidos com uma ampla variação nos níveis de PB e uma limitada faixa de relação lisina:energia nas dietas (Zhang et al., 1984; Campbell e Taverner, 1988; Gatel et al., 1992). Idade, peso vivo, genótipo e sexo são fatores relacionados ao animal que também favorecem o aumento na variação de resultados. Por fim, o critério de resposta. Além do desempenho, a relação lisina:energia pode ser determinada através de indicadores de eficiência de lisina para ganho de tecido magro tais como, concentração de nitrogênio na uréia e espessura de toucinho. Este último, especialmente em leitões pós-desmame alimentados com dietas contendo similar conteúdo em PB, mas diferindo nos níveis de energia (Nam e Aherne, 1994).

Os avanços na genética e práticas de manejo nas últimas décadas podem sugerir uma maior exigência na relação nutriente:energia para ótimo desempenho de leitões desmamados que aquelas recomendadas nas tabelas de exigências. Segundo Pupa et al. (2001), linhagens com alta capacidade para síntese de tecido magro demandam mais lisina disponível por kcal de energia digestível. Com base em uma revisão envolvendo mais de 92 estudos, em leitões de 5 a 20 kg, Azain (2001) concluiu que quando a relação proteína:energia foi mantida constante houve efeito positivo sobre a taxa de crescimento. Além disso, houve uma redução de 20,0 g/d no consumo de ração quando a relação proteína:energia não foi mantida constante.

### **2.3. Partição da energia ingerida**

#### **2.3.1. Produção de calor**

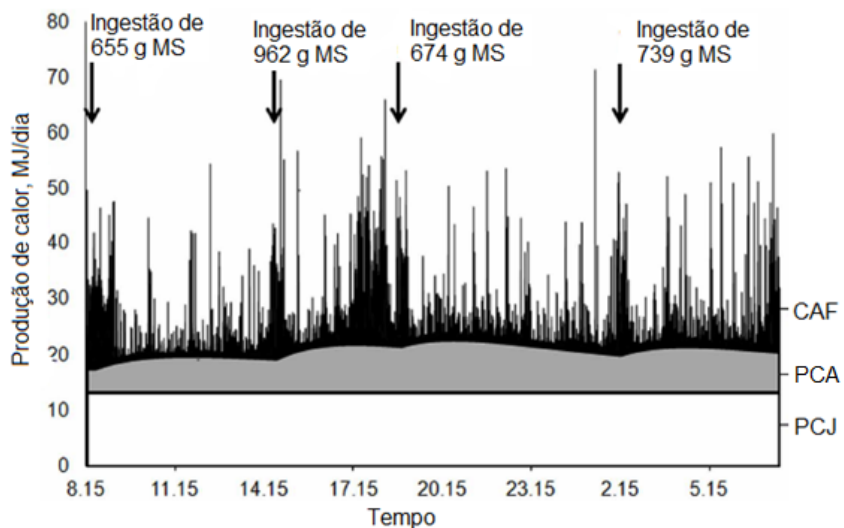
Suínos em crescimento raramente retêm mais de 50% da EM ingerida; o remanescente é perdido como calor. Parte do calor perdido é devido ao incremento calórico, que inclui as transformações dos nutrientes da dieta em gordura e proteína depositados, e o associado custo energético (ATP). Consequentemente, diferentes nutrientes são usados com diferentes eficiências e, devido ao custo do ATP ser associado ao custo do turnover proteico (síntese e quebra de proteína), a deposição de proteína é energeticamente menos eficiente (van Milgen e Noblet, 2003).

O particionamento da energia entre proteína, gordura e calor pode ser determinado através de medidas de produção de calor. Neste caso, utilizam-se medidas de calorimetria direta com uso de calorímetros, indireta e por análise de composição coporal. Na calorimetria indireta, a produção de calor é obtida através do quociente respiratório, o qual é determinado pelo balanço conjunto de oxigênio e carbono, ou das perdas e ganho de tecidos pelos animais mantidos em câmaras respiratórias. Essas medidas associadas a valores de excreção de nitrogênio na urina possibilitam estimar a composição

de ganho. Os quocientes respiratórios ( $\text{CO}_2:\text{O}_2$ ) variam de acordo com a natureza do nutrientes, sendo 1,0; 0,8 e 0,7, respectivamente para carboidratos, proteínas e gorduras (Resende et al., 2006). A calorimetria indireta é baseada no princípio de que a produção de calor metabólico é resultado da oxidação de compostos orgânicos. Dessa forma, se fossem oxidados completamente todos os compostos, a produção de calor poderia ser calculada pela quantidade de oxigênio consumida e a quantidade de gás carbônico produzida (Sakomura e Rostagno, 2007). Para determinar a produção de calor (PC) por meio de trocas gasosas, Brouwer (1965) propôs a seguinte equação:  $\text{PC} = 3,87 \text{ O}_2 + 1,20 \text{ CO}_2 - 1,43 \text{ N urinário (g)}$ . Chwalibog (1993) ressalta alguns aspectos críticos ao método da calorimetria indireta. O primeiro refere-se ao tempo para o animal atingir ao estado pós-absortivo, isto é, quando o quociente respiratório = 0,7. Nesse caso, o animal usa apenas as reservas energéticas corporais, que é suposto de 24 a 48 horas. O segundo é a dificuldade de aplicar as estimativas feitas em um animal em jejum para o animal normalmente alimentado. Animais em jejum utilizam as reservas corporais para manter os processos metabólicos. No entanto, as eficiências de utilização da energia da gordura corporal não é a mesma dos carboidratos, lipídeos e proteínas da dieta (Chwalibog et al., 2004). Por fim, a PC medida em câmaras de metabolismo é reduzida em razão da menor atividade dos animais. Uma das vantagens do método, entretanto, é o de não exigir grande número de animais e ser realizado em um curto intervalo de tempo (van Milgen e Noblet, 2003).

Alternativamente, o particionamento da energia pode ser feito por medidas diretas através da técnica do abate comparativo. Nesta técnica a PC será determinada por análise corporal. A energia retida no corpo do animal durante o ensaio experimental é quantificada avaliando-se a composição corporal inicial de um grupo de animais, que representam os animais experimentais, e a composição dos animais no final do ensaio. As diferenças na composição corporal entre estes animais representam as taxas de ganho e retenção. Críticas ao método do abate comparativo são relacionadas aos animais amostrados não representarem aqueles do ensaio experimental. Além disso, é uma técnica mais laboriosa e exige um maior número de animais.

Os animais produzem calor por diferentes processos metabólicos que envolvem as funções de manutenção e crescimento. O cálculo do incremento calórico em animais em crescimento precisa ser particionado do calor total entre os componentes devido à manutenção e ao crescimento. Diferenças no gasto de energia devido a diferentes níveis de atividade física entre os animais também devem ser contabilizadas. De uma forma geral, as perdas de energia indicam a ineficiência de utilização do alimento. A figura 1 mostra os componentes associados à produção de calor em suínos em crescimento em função do tempo e da ingestão de matéria seca.



**FIGURA 1.** Modelagem da produção de calor compartimentada entre PCJ = produção de calor no jejum (taxa metabólica basal), PCA = produção de calor oriundo do alimento e, CAF = calor oriundo da atividade física. Adaptado de Labussière et al. (2013)

Os fatores que influenciam a eficiência da utilização da energia são relacionados ao animal, ambiente e características (qualitativos) da dieta. Medidas obtidas com suínos em crescimento, com diferentes pesos vivos e composição de ganho, indicam que a eficiência de utilização da EM é pouco influenciada pela composição de ganho, sob condições práticas e com dietas similares em composição de nutrientes (Noblet et al., 1994). Proteína e gordura são dois importantes componentes que influenciam a produção de calor pelo animal. Enquanto os níveis de proteína bruta estão associados ao incremento calórico (Le Bellego et al., 2001) devido ao alto gasto energético para desaminar aminoácidos, a inclusão de óleo/gordura na dieta resulta em baixo incremento calórico (Noblet et al., 2001). Desta forma, dietas com baixa proteína bruta ou aminoácidos e com altos níveis de lipídeos podem ser consideradas de baixo incremento calórico e são especialmente importantes quando a temperatura ambiente está acima da zona de conforto térmico e o consumo de ração está abaixo do esperado.

### 2.3.2. Deposição de proteína e gordura

Os modelos fatoriais clássicos de utilização da energia pressupõem uma sucessão de eventos biológicos, de forma que ao início do crescimento a energia ingerida será utilizada para a manutenção posteriormente para deposição de proteína e, finalmente deposição de gordura. Entretanto, esta visão de sucessão de prioridades não é necessariamente apropriada porque há uma relação entre ganho de proteína e gordura.étilo para ganho de tecido magro seja alcançada. A deposição de gordura aumenta a uma taxa constante até que o máximo potencial genético para ganho de tecido magro tenha sido

alcançado. Desta forma, quando a ingestão de energia é restrita, ambos os ganhos de proteína e gordura podem ser afetados (van Milgen e Noblet, 2003).

A deposição de proteína em suínos em crescimento não depende apenas do fornecimento de aminoácidos, mas também do suprimento de energia. Embora diferentes mecanismos tenham sido propostos para representar a relação entre deposição de proteína e ingestão de energia (ex. ARC, 1981), os modelos linear-platô ou curvilinear-platô têm sido amplamente adotados para explicar a taxas de deposição de proteína, enquanto a resposta para ganho de gordura é próxima da linearidade (Quiniou et al., 1999; van Milgen e Noblet, 2003). A relação linear-platô foi reportada para suínos em crescimento entre 48 e 90 kg (Campbell et al., 1985), machos castrados, com baixa capacidade genética para ganho de tecido magro (Campbell e Taverner, 1988). Este modelo ainda é típico para suínos jovens com alto potencial para deposição de proteína e relativo baixo apetite (Close et al., 1978). A relação linear-platô assume que a deposição de proteína aumenta linearmente com aumento na ingestão de energia até um ponto onde outros fatores começam a limitá-la. O ponto de máxima deposição de proteína é o limite superior da deposição protéica, enquanto o particionamento da energia metabolizável consumida irá determinar a relação entre deposição de proteína:gordura (van Milgen e Noblet, 2003).

Devido a limitada capacidade ingestiva, leitões desmamados não consomem energia suficiente para alcançar o máximo potencial genético de crescimento muscular. Consequentemente, para suínos jovens a relação entre energia e deposição de proteína é essencialmente linear. Assim, qualquer fator que reduza o consumo de ração ou a utilização da energia da dieta irá restringir o crescimento (Campbell et al., 1985; Whittemore, 1986). A Figura 2 ilustra a resposta de superfície para deposição de proteína em relação à ingestão de EM durante o período de crescimento e terminação de suínos usando o modelo curvilinear-platô. O consumo à vontade é indicado pela linha cortada. Em animais jovens e mais leves, o ponto de máxima ingestão de energia está abaixo do platô de máxima capacidade de deposição de proteína. Já em animais mais velhos e mais pesados, o ponto de máxima deposição está “dentro do alcance do apetite”, mas esse valor de máxima deposição protéica é consideravelmente menor em relação máxima capacidade de deposição de proteína em animais jovens (Figura 2). O resultado é que a deposição de proteína total não necessariamente muda muito durante o período de crescimento (25 a 100 kg). Entretanto, a sensibilidade a mudanças no fornecimento de energia é muito maior em animais leves que pesados. A redução no consumo de ração irá, portanto, resultar em uma redução na deposição de proteína e gordura em animais leves, enquanto isso irá principalmente afetar a deposição de gorduras em animais pesados (van Milgen e Noblet, 2003).

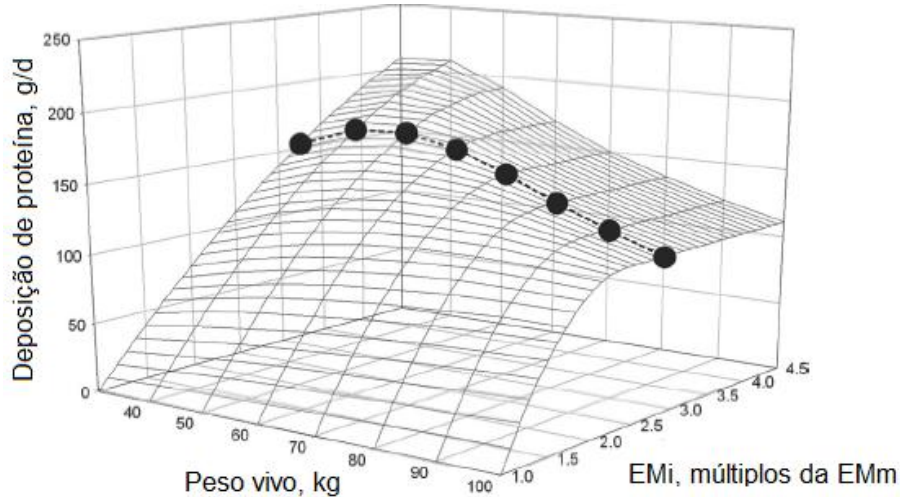


FIGURA 2. Resposta de superfície da deposição de proteína em função da EM ingerida e peso vivo. A linha cortada indica a capacidade de consumo de machos castrados Large White. Adaptado de van Milgen e Noblet (2003).

Noblet e van Milgen (2013) discutem os importantes aspectos associados à interação entre as taxas de deposição de proteína e gordura corporal e as taxas de síntese de tecido magro, adiposo e aumento de peso vivo (45 a 100 kg). A íntima associação entre estas variáveis resultam em: (1) o aumento no ganho (g/MJ EM) é maior para gordura ou tecido adiposo do que para ganho em proteína ou tecido magro, de tal forma que o tecido adiposo irá aumentar com o aumento no nível da energia (Tabela 1); (2) o ganho de proteína na fase linear é maior em suínos com maior potencial para ganho de carne magra ou em suínos jovens em relação a animais adultos; e (3) com aumento na ingestão de energia, a deposição de proteína irá alcançar um platô máximo e a energia ingerida acima desse platô irá ser usada para ganho de gordura. Além disso, o ganho de gordura acima do platô de máxima deposição de proteína é mais acentuado que abaixo, devido à maior proporção de energia necessária para o metabolismo proteico. Consumos de energia abaixo do mínimo necessário para atingir o potencial de deposição de proteína corporal e gordura mínima associada irão limitar a deposição de proteína, mesmo com dietas não limitantes em aminoácidos. Como descrito acima, leitões jovens têm alto potencial para ganho de carne magra, contudo baixa capacidade de consumo. Desta forma, o platô para máxima deposição de proteína não é alcançando e o animal não expressa o seu máximo potencial para ganho. Em consequência disso, o nível de energia por kg da dieta na fase inicial deve ser elevado.

Em relação às taxas de deposição de gordura, há uma forte relação com o peso vivo, principalmente em animais que já atingiram o platô para deposição proteica, de forma que o aumento no peso vivo associado a altos níveis de ingestão de energia resulta em incremento do tecido adiposo. Ao

contrário da influência do consumo de energia sobre a deposição de proteína, o aumento na deposição de gordura em relação ao consumo de energia é, geralmente, não influenciado pelo genótipo ou sexo (Quiniou et al., 1999). Em situações em que o consumo de proteína (ou qualidade) e a capacidade do animal para depositar proteína estão limitando a deposição proteica, toda energia não utilizada para deposição de proteína será empregada para a deposição de gordura. Uma vez que a energia metabolizável é utilizada com maior eficiência para deposição de gordura (0,80) que para deposição de proteína (0,60), um aumento na proporção de energia na forma de gordura irá produzir uma melhor eficiência energética global (Noblet et al., 1994). A eficiência de deposição de proteína não deve ser confundida com a eficiência de deposição de tecido magro, que consiste primariamente de água e proteína. O resultado desta associação é que menos energia do alimento é exigida para depositar 1 g de tecido magro que 1 g de tecido adiposo.

TABELA 2. Efeito do fornecimento de energia sobre a composição corporal de leitões (45 a 100 kg PV)<sup>1</sup>

Item	Fornecimento de energia (MJ EM/kg)				
	13,61	14,24	14,86	15,49	37,6
Ganho de Peso (g/d)	622	738	820	931	1,013
CC (MJ EM/kg GP) <sup>2</sup>	36,4	36,2	35,8	34,6	37,1
Proteína corporal <sup>3</sup>	17,2	16,6	16,5	16,3	16,0
Tecido magro <sup>3</sup>	56,1	54,2	53,6	53,7	52,6
Gordura corporal <sup>3</sup>	18,6	21,0	22,0	22,4	22,80
Tecido adiposo <sup>3</sup>	12,0	14,2	15,1	15,2	15,70

<sup>1</sup>Adaptado de Quiniou et al. (1996).

<sup>2</sup> CC = conversão calórica.

<sup>3</sup>Como percentagem do corpo vazio, sendo o corpo vazio equivalente a 90% do peso vivo.

## 2.4. Problemática da utilização e excreção do nitrogênio na suinocultura moderna

A produção animal tem grande impacto sobre o ambiente em relação à qualidade do ar, água e manutenção da estrutura química e orgânica do solo. Sistemas de produção de suínos contribuem significativamente para este fenômeno, principalmente quando se considera os sistemas intensivos de criação (Garcia-Launay et al., 2014). Nas últimas décadas, as leis e regulamentações relacionadas a limites de produção e utilização de dejetos como fertilizante têm sido cada vez mais restritivas, na tentativa de mitigar o impacto ambiental.

Dentre os elementos excretados pelos suínos, o nitrogênio assume grande relevância, pois durante o armazenamento, tratamento e lançamento no solo, ele pode formar compostos com grande potencial de eutrofização e poluição das águas superficiais e subterrâneas como o nitrato, nitrito e óxido nitroso (Grizzetti et al., 2011; Webb et al., 2014), influenciar na acidificação de

ecossistemas, e impactar a saúde de humanos e animais como a amônia (Liu et al., 2014), e diretamente contribuir para alterações climáticas como o óxido

nítrico (MCTI, 2013). Recentemente, pesquisadores têm utilizado a técnica do ciclo de vida para fazer uma estimativa global do impacto da produção de suínos sobre o meio. De uma forma geral estas estimativas ajudam a comparar diferentes sistemas de criação (Dourmad et al., 2012), e a eficiência de tecnologias capazes de mitigar o efeito negativo dos nutrientes presentes na excreta (Eriksson et al., 2005; Garcia-Launay et al., 2014; Ogino et al., 2013).

O nitrogênio é essencial para os processos metabólicos e crescimento dos suínos. A eficiência com que este elemento será utilizado pelo animal irá diretamente refletir no volume de saída nos dejetos. As razões pelas quais o N não é completamente utilizado pelo animal estão relacionadas a características do alimento, do próprio animal e ao manejo nutricional. Este último pode e deveria ser prioritariamente melhorado dentro do contexto da suinocultura sustentável. A dificuldade de se predizer com acurácia as reais exigências de um grupo de animais, considerando os diversos fatores envolvidos, tais como capacidade genética para ganho, condições ambientais, variabilidade na composição do alimento, resulta em dietas formuladas com altas margens de segurança nos níveis de nutrientes. De certa forma, esta prática assegura que as exigências serão atendidas e o desempenho será mantido. Contudo, o excesso de nutrientes conduz a um adicional custo tanto no produtivo quanto no ambiental (Dourmad e Jondreville, 2007).

Isto é particularmente observado em leitões pós-desmame. Embora haja inúmeras pesquisas relacionadas à redução de proteína da dieta, ajustadas à suplementação de aminoácidos sintéticos (Gloaguen et al., 2013; Berrocoso et al., 2013; Gloaguen et al., 2014), utilização de enzimas exógenas (Guggenbuhl et al., 2012; Metzler-Zebeli e Zebeli, 2013; Yáñez et al., 2013) e melhorias nas estratégias de manejo (Garcia-Launay et al., 2014; Hutchings et al., 2013; Montes et al., 2013) que podem resultar em redução na excreção de nutrientes, altas margens de segurança, principalmente relacionadas ao teor de proteína nas dietas de leitões, ainda são amplamente utilizadas. Estudos concluíram que a PB da dieta pode ser reduzida em até 4 unidades percentuais (Gloaguen et al., 2014; Lordelo et al., 2008) quando suplementadas com aminoácidos sintéticos. Webb et al. (2014) ao revisarem ensaios que avaliaram a redução da PB na dieta de animais em crescimento e terminação concluíram que para cada redução de 1 unidade percentual na PB, a excreção de N pode ser reduzida em até 10%.

Os avanços genéticos obtidos na suinocultura, nas últimas décadas, proporcionaram o aparecimento de animais com maior ganho de tecido magro. Esta seleção tem resultado em animais com reduzidas exigências para manutenção (Boddicker et al., 2011), menor produção de calor (Barea et al., 2010) e melhor eficiência na utilização dos nutrientes. Uma vez que a taxa de crescimento é relacionada à eficiência produtiva, isto incorre que animais mais produtivos serão consequentemente menos poluidores. A análise de 6 linhagens genéticas de suínos mostrou que de 1969 a 2004 houve 19 % de melhora na retenção de N, e isto resultou em 20 % menos N excretado nas

linhagens modernas e mais produtivas (Knap, 2000). Da mesma forma, Shirali et al. (2012) e Morel e Wood (2005) mostraram que a excreção de N foi menor em suínos magros ou com maior tendência para deposição de carne. Atualmente os programas de melhoramento genético têm utilizado o consumo alimentar residual como fator de seleção para eficiência produtiva. Saintilan et al. (2013) observaram que a seleção para menor consumo residual pode ser eficiente em melhorar o desempenho com efeitos positivos sobre a mitigação na excreção de nutrientes. Aspectos relacionados à eficiência de produção e redução da carga ambiental também tem sido observado em aves e bovinos com redução nas emissões de CO<sub>2</sub> e CH<sub>4</sub>, respectivamente (Henn, 2013; Hume et al., 2011).

Desta forma, o desenvolvimento de novas estratégias nutricionais exige a melhora na predição da eficiência de utilização do N, considerando as principais variáveis envolvidas com as características produtivas, de forma a maximizar a relação entre ganho e excreção.

## 2.5. Meta-análise

Segundo Glass (1976), meta-análise pode ser definida como o procedimento estatístico que consiste em uma revisão quantitativa e resumida de resultados de estudos distintos, porém relacionados. Este autor foi o primeiro a utilizar o termo meta-análise quando o objetivo da pesquisa era o de comparar e, possivelmente combinar resultados de diferentes trabalhos, acarretando em uma conclusão sobre o tema em estudo. No entanto, a combinação estatística dos dados provenientes de diversos estudos relacionados já era utilizada, antes mesmo de se definir o termo meta-análise. A primeira combinação é atribuída a Pearson, em 1904, na qual foram analisados dados provenientes de cinco estudos na verificação da correlação entre vacina contra a febre entérica e taxa de mortalidade (Leandro, 2005).

Com o passar dos anos a meta-análise se difundiu principalmente nas áreas da saúde, social, educacional e por fim na ciência animal. A medicina é a área que mais avançou no uso da técnica, provavelmente pelas dificuldades práticas, riscos, custos e implicações éticas que envolvem os experimentos com seres humanos (Luiz, 2002). Uma busca simples por artigos na base de dados SCIELO para o ano de 2013, utilizando o termo “meta-analysis” retorna com 165 referências. Destas, 132 são relacionadas à área da saúde e apenas 4 são relacionadas à ciência agrária. A Figura 3 mostra a evolução no número de publicações que utilizaram meta-análise nos últimos 10 anos, indexadas na base SCIELO.

O crescente interesse dos pesquisadores em utilizar a meta-análise como ferramenta de pesquisa se justifica devido ao enorme volume de publicações sobre um mesmo tema, na velocidade com que as informações têm sido divulgadas, bem como a melhora na acessibilidade à informação. Além disso, o maior número de trabalhos publicados pode não refletir avanços qualitativos, pois muitos estudos possuem resultados pouco conclusivos, geralmente oriundos de pequeno número de observações. Neste contexto, tem

sido cada vez mais difícil avaliar e criticar o estado da arte de determinadas áreas do conhecimento científico. Sauvant et al. (2008) reportam que as abordagens clássicas de síntese de dados, como revisões, além de sofrerem grande influência subjetiva do pesquisador, são predominantemente qualitativas e limitadas pelo cérebro humano quando há muitos fatores envolvidos e o número de estudos excede 12 a 15.

Lovatto al. (2007) listam as principais justificativas para se utilizar a meta-análise, tais como obtenção de novos resultados, síntese de resultados contraditórios, aumento da precisão analítica, melhora da representatividade tornando o resultado mais aplicável e auxílio na planificação e geração de hipótese nova. Dentro do contexto da ciência animal, destaca-se ainda a crescente demanda dos órgãos e comitês de ética em experimentação, quanto à redução no número de animais em ensaios experimentais. Neste sentido, a meta-análise é um recurso eficaz de exploração de dados pré-existentes, para a determinação da necessidade de novos ensaios sobre um tema extensivamente discutido, mas com resultados contraditórios.

Toda meta-análise é baseada na sistematização de um conjunto de dados obtidos principalmente da literatura científica de dados publicados. Lovatto et al. (2007) reportam cuidado quanto a restringir a meta-análise considerando apenas resultados publicados. A máxima de que “dados publicados são mais confiáveis porque foram revisados” pode levar à tendenciosidade, pois resultados significativos serão publicados mais que os não significativos. Portanto, outras fontes potenciais de obtenção de dados devem ser otimizadas e exploradas. Universidades e instituições de pesquisa geram grande volume de informações e acumulam dados originais que, num primeiro momento, tinham objetivos específicos para uma pesquisa individual, quase sempre limitados temporal e geograficamente. O agrupamento destes dados poderia cobrir um período de tempo mais longo e um espaço territorial mais amplo que quaisquer das investigações isoladas. Quando analisados sob uma nova ótica, com distintos objetivos e hipóteses, resultariam em conclusões originais ou, ao menos, tornariam mais robustas e gerais as conclusões anteriores devido ao maior número de observações e melhor estimativa dos parâmetros (Luiz, 2002). Estas conclusões poderão auxiliar a identificar áreas onde o esforço da pesquisa foi maior ou menor e, em qual delas se justifica investimento de recursos para novas pesquisas. Logo, uma das grandes vantagens da meta-análise é otimizar os resultados obtidos em pesquisas anteriores, sem depender de grande volume de recursos financeiros.

Infelizmente, nem sempre as instituições estão preocupadas ou preparadas para disponibilizar esses dados de maneira eficiente. Teoricamente, os sistemas de bancos de dados eletrônicos podem armazenar os dados originais dos estudos individuais e mantê-los acessíveis por longo tempo para uso, entre outras coisas, em meta-análises. Entretanto, a implementação dos registros completos e o armazenamento eletrônico dos dados requerem enorme capacidade organizacional, boa vontade dos cientistas em colaborar e considerações éticas (Irwig, 1995).

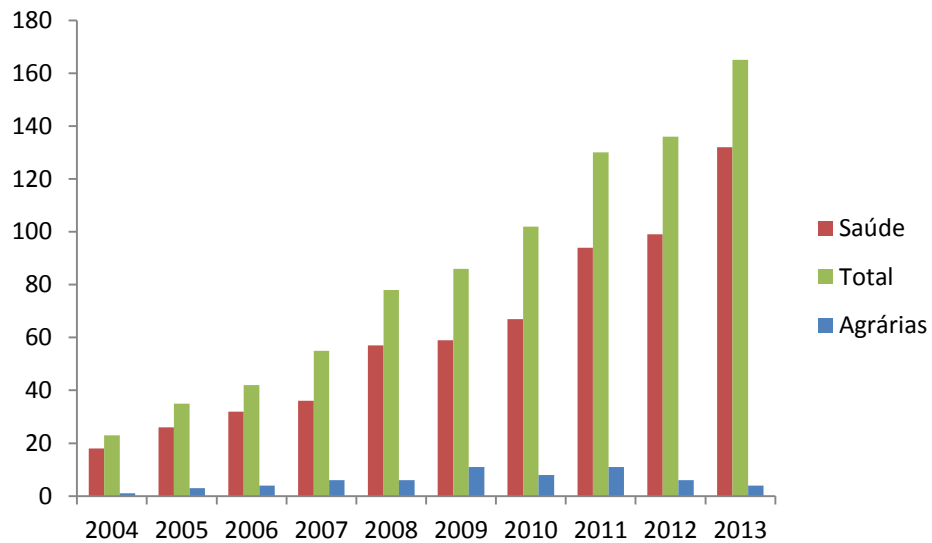


FIGURA 3. Evolução no número de estudos publicados, indexados na base de dados SCIELO que utilizaram meta-análise

### 3. HIPÓTESES E OBJETIVOS

#### Estudo I

O objetivo do estudo I foi avaliar o efeito da concentração energética da dieta e peso ao desmame no desempenho, digestibilidade, composição corporal e eficiência no uso da energia da dieta.

Para isto, foram avaliadas as seguintes hipóteses:

- Há uma interação entre o nível de energia da dieta e peso ao desmame sobre as respostas de desempenho e no aproveitamento dos nutrientes da dieta;
- Leitões desmamados leves, ao receberem uma dieta concentrada em energia e nutrientes são capazes de atingir crescimento compensatório em relação ao desmamados pesados;
- Há uma diferença na composição de ganho de nutrientes e na eficiência energética desse ganho em resposta direta ao maior nível de inclusão de energia da dieta;

#### Estudo II

O objetivo do estudo II foi investigar a influencia das variáveis de desempenho,

digestibilidade e dietéticas na eficiência de ganho de peso em relação ao nitrogénio excretado em leitões desmamados, através de meta-análise.

Para isto, foi avaliada a seguinte hipótese:

- Há interações entre as variáveis de desempenho e digestibilidade que alteraram a eficiência do ganho de peso/nitrogênio excretado em leitões desmamados.



## CAPÍTULO II –

### **Efeito de altos níveis de energia no desempenho de leitões recém desmamados**

---

<sup>1</sup>Elaborado de acordo com as normas da Livestock Sciences (Apêndice 1)



**Desempenho e composição corporal de leitões desmamados leves e pesados submetidos a diferentes níveis de energia na dieta**

**M.S. Vieira <sup>a\*</sup>, A.M.L. Ribeiro <sup>a</sup>, A.M. Kessler <sup>a</sup>, L.I. Chiba <sup>b</sup>, L. Bockor <sup>a</sup>**

<sup>a</sup> Departamento de Zootecnia, Universidade Federal do Rio Grande do Sul, Porto Alegre, RS 91540-000, Brasil

<sup>b</sup> Departamento de Ciência Animal, Colégio de Agricultura, Auburn University, Auburn, AL 36849, Estados Unidos

---

\* Autor para correspondência. Tel: (51) 8179-9529.

E-mail: [msvzootec@yahoo.com.br](mailto:msvzootec@yahoo.com.br) (M.S. Vieira).

### **Resumo**

O experimento foi conduzido para avaliar os efeitos da energia metabolizável da dieta (EM; I – 3,40; II – 3,60; e III – 3,80 Mcal/kg) e do peso ao desmame ( $4,5 \pm 0,4$  kg e  $6,7 \pm 0,5$  kg) sobre o desempenho, composição corporal e eficiência de utilização de energia de 32 leitões machos, castrados, desmamados entre 21 e 24 dias e alojados individualmente em gaiolas de metabolismo por 28 dias. A dieta I foi formulada para atender as exigências de energia e nutrientes recomendados pelas Tabelas brasileiras de aves e suínos, e aminoácidos, Ca, P e lactose das dietas II/III foram ajustadas em relação à EM. Composição corporal, taxa de deposição de nutrientes e eficiência energética para ganho foram medidas através de abate comparativo. Não houve interação significativa entre EM e peso ao desmame para nenhuma das

respostas avaliadas. Leitões pesados apresentaram 15% maior consumo diário de ração (CDR), 16% maior ganho diário de peso (GDP) e foram 19% mais pesados aos 28 dias que leitões leves ( $P < 0,05$ ), mas não houve efeito do peso sobre a digestibilidade dos nutrientes. A EM da dieta não afetou o desempenho, porém melhorou a digestibilidade dos nutrientes ( $P < 0,05$ ). Leitões pesados apresentaram maior peso de carcaça (20%) e corpo vazio (18%) ( $P < 0,05$ ). A eficiência energética não foi influenciada pelo peso ou EM da dieta. Leitões pesados consumiram mais EM e lisina resultando em maior deposição de proteína ( $P < 0,05$ ), sem efeito para a deposição de gordura. Leitões desmamados leves não conseguiram compensar o baixo desempenho com o aumento de energia da dieta.

**Palavras-chave:** Densidade energética, Deposição de nutrientes, Peso ao desmame, Leitões

## **Abstract**

This study aimed to evaluate the effects of dietary metabolizable energy (ME; I – 3.40, II – 3.60 or III – 3.80 Mcal/kg) and weaning weight (WW;  $4.5 \pm 0.4$  kg and  $6.7 \pm 0.5$  kg) on productive parameters, body composition and energy utilization of early-weanling piglets. The diet I was formulated by standard energy and nutrient recommendations (Brazilian Tables for Poultry and Swine), and AA, Ca, P, and lactose levels in diets II/III were adjusted to the increased ME. Thirty-two male piglets were allotted to 32 metabolic cages during 28 days. Body composition, nutrient deposition rates and energy efficiency were

measured through a comparative slaughter procedure. There were no WW x ME interactions for any of the responses. Heavy piglets presented 15% higher average feed intake (ADFI), 16% average daily gain (ADG), and 19% body weight (BW) on day 28 than the light piglets ( $P < 0.05$ ), but there was no effect of WW on nutrient digestibility. Dietary ME content did not affect performance, but improved nutrient digestibility ( $P < 0.05$ ). Heavy piglets presented higher carcass weight (20%) and empty body (18%) than the light piglets ( $P < 0.05$ ). Energy efficiency was not influenced by WW or dietary ME content. Heavy piglets at weaning consumed more ME, resulting in higher body protein accretion ( $P < 0.05$ ), but fat deposition was not affected. Increasing dietary energy level did not compensate the worse performance of light piglets at weaning.

*Keywords:* Energy density, nutrient deposition, piglets, weaning weight.

## 1. Introdução

Nas últimas décadas tem havido intensa seleção para aumento de produtividade da porca com incremento no número de leitões nascidos/ano. Como consequência aumentou o número de natimortos e reduziu o peso ao nascimento (Fix et al., 2010). Leitões leves ao desmame dificilmente apresentam ganho compensatório nas fases posteriores (Gondret et al., 2006; Bérard et al., 2008; Beaulieu et al., 2010) e normalmente levam mais dias para alcançar o peso de mercado. A ausência de crescimento compensatório é causada por uma combinação de fatores que comprometem a habilidade desses animais em melhorar o desempenho. Quando relacionado ao baixo

peso ao nascimento, o comprometimento pode ocorrer em função de uma maior competição uterina por nutrientes (Bérard et al., 2008) resultando em animais com diferentes graus de restrição no crescimento uterino (IUGR) (Nissen e Oksbjerg, 2011; Pardo et al., 2013) ou ainda em animais com menor número de fibras musculares totais (Foxcroft et al., 2006) e baixa capacidade de ganho de tecido magro (Rehfeldt e Kuhn, 2006). Entretanto, leitões que nascem dentro da variação normal de peso podem ser desmamados com baixo peso devido ao inadequado aleitamento, manejo, condições ambientais ou sanitárias (Mahan e Lepine, 1991; Wolter e Ellis, 2001; Wolter et al., 2002). Vários são os fatores relacionados ao baixo desempenho desses animais e muitos deles permanecem indeterminados ou indefinidos (Wu et al., 2006).

O baixo desempenho de leitões desmamados leves poderia ser compensado com o fornecimento de dietas com alta densidade energética, uma vez que a deposição de proteína no suíno em crescimento é limitada pela ingestão de energia quando as formulações são baseadas na relação lisina:energia. Contudo, pesquisas prévias não têm demonstrado melhora no desempenho com aumento na densidade energética da dieta (Beaulieu et al., 2006; Oresanya et al., 2008; Arnaiz et al., 2009). Além disso, o incremento energético tem resultado apenas em aumento de gordura corporal (Oresanya et al., 2008).

O objetivo do presente estudo foi avaliar o efeito da concentração energética da dieta e o peso ao desmame no desempenho e composição corporal de leitões, para avaliar se há interação entre estes fatores, de forma que leitões leves ao receberem uma dieta concentrada em energia e nutrientes

apresentem crescimento compensatório em relação aos desmamados pesados.

## **2. Material e Métodos**

### *2.1 Animais, tratamentos e delineamento experimental*

O experimento foi conduzido no Laboratório de Ensino Zootécnico da Universidade Federal do Rio Grande do Sul (UFRGS). Todos os procedimentos usados neste experimento foram aprovados pelo Comitê de Ética e Experimentação Animal da UFRGS (Protocolo nº 21121). O ensaio foi conduzido com machos castrados, desmamados entre 21 e 24 dias de idade e alojados individualmente em gaiolas ( $0,48\text{ m}^2$ ) de metabolismo em sala climatizada de acordo com a temperatura de conforto. Seis leitões foram utilizados no grupo de abate inicial (GAI, 0-d) e 32 permaneceram no ensaio de crescimento, totalizando 38 leitões. Água e ração foram fornecidos à vontade durante todo o período experimental que teve duração de 28 dias. O experimento foi constituído de um fatorial  $3 \times 2$ , com 3 níveis de energia metabolizável (3,40, 3,60 ou 3,80 Mcal/kg) e dois pesos ao desmame, leves ( $4,5 \pm 0,4\text{ kg}$ ) ou pesados ( $6,7 \pm 0,5\text{ kg}$ ), totalizando 6 tratamentos com 5 repetições, exceto os tratamentos 1 (3,40 Mcal/kg x Pesados) e 6 (3,80 Mcal/kg x Leves) que tiveram 6 repetições cada.

### *2.2 Dietas experimentais*

As dietas experimentais foram fareladas e fornecidas em duas fases (fase I, 0 a 14 dias e fase II, 15 a 28 dias pós desmame) (Tabela 1). A dieta

referência (3,40 Mcal/kg) foi formulada com níveis nutricionais tendo como referência os valores recomendados por Rostagno et al. (2011). As demais dietas foram concentradas em aminoácidos essenciais e não essenciais, cálcio, fósforo e lactose na mesma proporção do aumento de energia, mantendo-se a relação de 4,14 e 3,91 g de lisina digestível/Mcal de EM e 14,8 e 8,5% de lactose na fase I e II, respectivamente. Sucedâneos do leite e plasma foram utilizados para estimular o consumo de ração e garantir a alta digestibilidade das dietas.

### *2.3 Desempenho zootécnico, análise ultrassônica e digestibilidade*

Animais e sobras de ração foram pesados semanalmente, enquanto as análises ultrassônicas da área de olho de lombo (AOL) e espessura de toucinho foram realizadas no 27º dia de experimento. As imagens foram coletadas através de uma unidade principal da marca ALOKA modelo SSD500 com um transdutor linear de 3,5 MHz e 11 cm de comprimento e, posteriormente foram analisadas através do software Lince®. O ensaio de digestibilidade consistiu de 7 dias de adaptação na fase I seguido por 7 e 14 dias de coleta total nas fases I e II, respectivamente, com utilização de 0,1% de óxido férrico como marcador fecal. Amostras de fezes e urina foram conservadas a -15ºC e, ao processamento, descongeladas, homogeneizadas e coletadas duas sub-amostras de 500 g e 100 mL por repetição, respectivamente, para análises.

### *2.4 Procedimento de abate e análises químicas*

Aos 28 dias pós-desmame, todos os leitões foram insensibilizados por choque elétrico e abatidos por sangria total após 24 h de jejum sólido e pesagem final. Todo o sangue foi coletado em sacolas plásticas e pesado. Os órgãos foram retirados, esvaziados (Tratogastrointestinal e bexiga urinária) e pesados. As seguintes estruturas foram consideradas órgãos: trato urinário e digestivo vazios, glândulas perirenais, órgãos reprodutivos, coração, fígado, baço, pulmões, rins e gordura perirenal. A carcaça, que incluiu cabeça, pés e rabo, foi cortada longitudinalmente em duas metades e pesadas individualmente. Para prevenir perda de água, órgãos, sangue e metade esquerda da carcaça foram armazenados em sacos plásticos e mantidos a -15°C até o processamento. Ao processamento, cada fração do material experimental (órgão + sangue e carcaça esquerda) foi cortada em serra de açougueiro e moídas em picador 3 CV, homogeneizadas e coletadas duas subamostras representativas de cada fração. Amostras de ração e fezes foram moídas em moinho de facas, peneira de um milímetro (1 mm), enquanto amostras de carcaça e órgão + sangue foram moídas em moinho de bola para análise bromatológica (AOAC, 1990). Amostras de urina foram secas em estufa de ventilação forçada a 60°C, por 72 h e analisadas para energia bruta (EB). O teor de nitrogênio na urina foi determinado na amostra líquida (AOAC, 1990).

## 2.5 Cálculos

A composição corporal inicial foi estimada com base nos seis leitões do GAI. O ganho de nutrientes e energia foi estimado como taxa de deposição diária (g/d): ((conteúdo final em g) – (conteúdo inicial em g)/número de dias do

experimento). Para o cálculo da retenção de nutrientes e energia, o corpo vazio foi definido como a média ponderada da carcaça e órgãos + sangue (sem conteúdo intestinal). A EM ingerida foi determinada através do consumo de ração (CR; kg) x EM (Mcal/kg), que foi calculada mediante a coleta total e análise bromatológica de fezes e urina e análise bromatológica das dietas experimentais (AOAC, 1990). O consumo de EM para manutenção ( $EM_m$ ) foi calculado segundo NRC (1998), sendo  $0,106 \text{ Mcal/(kg de PV}^{0,75} \times d)$  considerando o PV médio e, o consumo de EM para crescimento ( $EM_c$ ) a diferença entre EM consumida total -  $EM_m$ . A conversão calórica foi calculada como EM ingerida (Mcal/d) / ganho de peso (GP; kg/d). A energia retida como proteína (ERP) e gordura (ERG) foram calculadas como deposição de proteína (g/d) x 5,66 kcal/g e deposição de gordura (g/d) x 9,46 kcal/kg, respectivamente (Oresanya et al., 2008). A produção de calor foi obtida pela diferença entre o consumo de EM (Mcal/d) – energia retida (Mcal/d). A eficiência de utilização de energia foi obtida da relação entre energia retida (Mcal/d) e consumo de EM (Mcal/d).

## 2.6 Análise estatística

A análise estatística foi feita por ANOVA e Least Square Means, usando o GLM (SAS, Inst. Inc., Cary, NC) e considerando os efeitos principais e as interações entre os dois fatores. A idade ao desmame foi incluída no modelo como co-variável. No caso de análise de variância significativa para os níveis de EM a soma de quadrados foi decomposta em efeito linear ou quadrático. Os resultados foram considerados significativos quando o valor de  $P < 0,05$ .

Correlação de Person foi realizada através do procedimento CORR do SAS para avaliar a direção e a magnitude em que os fatores se relacionaram com as variáveis respostas.

### **3. Resultados**

Não houve interação significativa entre EM e peso ao desmame para nenhuma das respostas avaliadas

#### *3.1 Desempenho e digestibilidade*

O peso ao desmame afetou significativamente ( $P < 0,05$ ) o peso vivo (PV), consumo de ração diário (CRD) e ganho de peso diário (GPD), sem efeito sobre a eficiência alimentar (EA) (Tabela 2). A EM da dieta não afetou nenhuma variável de desempenho. A espessura de toucinho não foi influenciada pelos fatores estudados e a AOL tendeu a ser maior em leitões pesados ( $P < 0,10$ ). O peso ao desmame não afetou as respostas de digestibilidade. O aumento da EM da dieta melhorou linearmente a digestibilidade dos nutrientes e energia ( $P < 0,05$ ).

#### *3.2 Composição corporal física e química*

O nível de EM não influenciou nenhuma resposta de composição corporal física (Tabela 3). Por outro lado, leitões pesados apresentaram maior PV, de carcaça, de corpo vazio e do trato gastrintestinal (TGI) ( $P < 0,05$ ). O peso da fração órgão + sangue, expresso em relação ao PV, foi maior para leitões leves ( $P < 0,05$ ). Os fatores peso ao desmame e níveis de EM não influenciaram a composição química das diferentes frações corporais (Tabela

4).

### *3.3 Taxa de deposição de nutrientes e eficiência de utilização da EM*

O aumento da EM da dieta aumentou a taxa de deposição de cinzas da carcaça ( $P < 0,05$ ), porém sem efeito sobre as outras respostas da carcaça, órgão + sangue e corpo vazio (Tabela 5). Leitões pesados depositaram mais água e proteína nas três frações corporais, além de maiores ganhos de cinza na carcaça, energia no órgão + sangue e energia retida como proteína no corpo vazio ( $P < 0,05$ ). As outras respostas não foram influenciadas pelos fatores testados. Não houve efeito dos fatores sobre as relações da proteína com água, cinza ou gordura nas diferentes frações corporais. Na Tabela 6 observa-se que o consumo de EM diário, o consumo de  $EM_m$ , e a produção de calor foram maiores em leitões pesados ( $P < 0,05$ ). A conversão calórica e a eficiência energética não foram influenciadas pelos fatores testados.

### *3.4 Análise de correlação*

O peso ao desmame se correlacionou forte e positivamente com o peso final , CDR, GDP, AOL e consumo de EM ( $P < 0,01$ ) (Tabela 7). Contudo, não houve correlação com a EA, espessura de toucinho e digestibilidade dos nutrientes. Houve forte correlação com todas as frações corporais ( $P < 0,05$ ). Não houve correlação do peso ao desmame com a taxa de deposição de gordura e energia retida como gordura, porém observou-se correlação moderada a forte com a deposição de MS, proteína, água, cinza, energia retida e energia retida como proteína ( $P < 0,05$ ). O nível de EM da dieta apresentou

correlação forte e positiva apenas com a digestibilidade da MS, PB, EB e RN ( $P < 0,05$ ).

#### **4. Discussão**

A hipótese deste estudo era de que leitões leves ao serem alimentados com uma dieta concentrada em energia e nutrientes, em especial lisina, fossem capazes de atingir crescimento compensatório em relação aos pesados devido a uma necessidade específica por energia e nutrientes. Entretanto, os resultados obtidos no presente experimento refutam nossa hipótese. Isto pode ser observado em função da ausência de interação entre peso ao desmame e concentração de EM para todas as respostas avaliadas.

Por outro lado, o peso ao desmame influenciou significativamente o desempenho dos leitões. De fato, leitões desmamados pesados apresentaram 15 % maior CDR, 16 % maior GDP e foram 19 % mais pesados aos 28 dias que leitões leves. Além disso, tenderam a ter maior AOL em relação aos leves, concordando com os resultados de Beaulieu et al. (2010) e Jones et al. (2012). Este resultado pode ser um reflexo do peso ao nascimento já que estudos anteriores reportam que o peso ao desmame tem alta correlação com o peso ao nascimento, de forma que leitões leves ao nascimento/desmame crescem a uma taxa mais lenta exigindo mais dias para chegar ao peso de abate (Václavková et al., 2012; Pardo et al., 2013a). Contudo, a ausência de efeito do peso sobre a EA mostra que leitões pesados não foram mais eficientes na utilização do alimento, como observado em estudos prévios (Bruininx et al., 2001; Wolter et al., 2002) e sugere que o maior GDP de leitões pesados

ocorreu primariamente devido ao maior CDR, provavelmente em função de uma maior capacidade física de consumo.

O aumento da EM da dieta, de 3,40 a 3,80 Mcal/kg, por sua vez, não influenciou as respostas de desempenho. A habilidade de adaptar o CDR em função do nível de energia é observada em suínos em crescimento, porém leitões desmamados apresentam respostas variadas. Schneider et al. (2010) por exemplo, observaram redução no CDR quando a energia da dieta aumentou de 2,95 para 3,52 Mcal EM/kg em leitões desmamados com 9,4 kg. Ao contrário, Arnaiz et al. (2009) não observaram efeito do aumento da EM (3,25 a 3,70 Mcal EM/kg) sobre o CDR e GDP. Talvez haja um mínimo de energia que após ser atingido deixe de influenciar o consumo. É geralmente aceito que a concentração energética não é o único fator que afeta o CDR de leitões desmamados. Uma deficiência de nutrientes, especialmente lisina leva a efeitos deletérios sobre o CDR. Em função disto, nós mantivemos constante a relação lisina:EM e concentrou-se todos os nutrientes da dieta com o aumento da energia. Nossos resultados sugerem que a menor concentração de energia usada (3,40 Mcal/kg) foi suficiente para o crescimento de leitões no pós desmame e que a manutenção de uma mesma relação lisina:EM não teve influencia sobre o consumo. Vale ressaltar que a elevada concentração de nutrientes, principalmente cálcio e PB, não resultou em diarreia ou doença do edema. Lima et al. (2009) reportam que níveis de cálcio > 0,8% e PB > 20% na dieta de leitões recém-desmamados são potenciais fatores de risco para as referidas doenças, pois favorecem o crescimento de bactérias patogênicas como *E. coli*. No presente experimento a alta qualidade dos ingredientes das

dietas, a suplementação com óxido de zinco e antimicrobiano e a criação dos animais em gaiolas individuais provavelmente favoreceu a manutenção do status saudável observado.

A ausência de correspondência entre peso ao desmame e digestibilidade dos nutrientes apontam que o melhor desempenho de leitões pesados ocorreu em função do maior consumo de EM e lisina digestível e não por causa de um maior aproveitamento da dieta. Ao avaliarmos o consumo de lisina, observamos que leitões leves consumiram em torno de 10,0 g/d alcançando as exigências estimadas na literatura (NRC, 1998; Schneider et al., 2010; Rostagno et al., 2011). Desta forma, o baixo desempenho destes animais não teve relação com restrição no consumo de lisina.

O aumento da energia da dieta melhorou linearmente a digestibilidade dos nutrientes, o que pode ser explicado pelo aumento dos níveis de óleo, leite em pó integral e menor nível de farelo de arroz integral (Donzele et al., 1998; Kunrath et al., 2010). Porém este resultado não se refletiu em melhor desempenho, provavelmente em função do consumo constante de EM. É possível que tenha havido aumento no consumo de energia líquida em função do aumento de óleo (Noblet et al., 1994), como nos resultados de Oresanya et al. (2008). Por outro lado, a manutenção da relação lisina:energia elevou a concentração de aminoácidos da dieta, podendo ter aumentado os gastos com desaminação (Urynek e Buraczewska, 2003).

A composição corporal química não foi influenciada pelos fatores testados, enquanto o peso ao desmame influenciou significativamente a composição física. Animais de baixo peso ao nascimento, com órgãos

subdesenvolvidos e maior deposição de gordura na carcaça são frequentemente relacionados à síndrome da restrição no crescimento uterino (Pluske et al., 2003; Jones et al., 2012; Pardo et al., 2013). Observamos que leitões pesados apresentaram maior peso do trato gastrintestinal (TGI), mas este resultado não se refletiu em maior peso da fração órgão + sangue. Ao contrário, em relação ao peso vivo, leitões leves apresentaram maior peso relativo da fração órgão + sangue e do corpo vazio. Esses resultados não permitem afirmar que leitões leves sofreram alguma restrição durante o crescimento uterino, de forma a justificar o baixo desempenho.

Não houve efeito do peso ao desmame sobre a taxa de deposição de gordura. Ao contrário, leitões pesados depositaram mais proteína e foram mais eficientes na retenção desse nutriente, como observado por Jones et al. (2012). A maior deposição de água e cinzas é coerente com a maior deposição de proteína devido à íntima associação destes nutrientes na composição corporal.

Leitões mais pesados ao desmame exigiram mais energia para manutenção, resultando em maior produção de calor. No entanto, a retenção de energia foi constante entre leves e pesados, de forma que a eficiência energética não foi alterada. Além disso, não houve diferença na conversão calórica e na relação gordura:proteína. Arnaiz et al. (dados não publicados) observaram resultados semelhantes, no entanto o maior GDP dos animais foi associado a um maior ganho de proteína e gordura. No presente experimento, o maior consumo de energia dos animais pesados foi empregado apenas para maximizar a deposição de proteína, como observado no maior valor de energia retida como proteína. Esta diferença pode ser explicada pela manutenção da

relação lisina:energia constante entre as dietas, o que não ocorreu no trabalho de Arnaiz et al. (dados não publicados).

Os resultados observados na análise de correlação apoiam a ausência de correspondência entre concentração de EM e melhora no desempenho. A EM foi apenas correlacionada com as respostas de digestibilidade. A correlação significativa entre peso ao desmame e deposição de proteína, bem como a ausência de correlação com a deposição de gorduras reforça a ideia de que o maior consumo de EM associado ao aumento no consumo de lisina foi empregado para deposição de tecido magro. No entanto, esta resposta foi apenas observada em leitões pesados.

## 5. Conclusões

A ausência de interação entre os fatores peso ao desmame e concentração de EM da dieta não apoiam a hipótese de que leitões leves não atingem crescimento compensatório devido a limitações no consumo de energia e nutrientes. O aumento da energia melhorou a digestibilidade dos nutrientes, mas não teve efeito sobre o desempenho. Leitões pesados apresentaram melhor desempenho e utilizaram o maior consumo de energia para deposição de proteína.

## 6. Referências

AOAC, 1990. Official Methods of Analyses, 15nd ed. Association of Official Analytical Chemists. Arlington, Virginia.

Arnaiz, V., Ribeiro, A.M.L., Kessler, A.M., Raber, M., Kuana, S., 2009. Efecto

- del peso al destete, temperatura ambiental y energía metabolizable del pienso en lechones recién destetados. Rev. Bras. Cienc. Agrar. 4, 472–478.
- Beaulieu, A.D., Levesque, C.L., Patience, J.F., 2006. The effects of dietary energy concentration and weaning site on weanling pig performance. J. Anim. Sci. 84, 1159–1168.
- Beaulieu, A.D., Aalhus, J.L., Williams, N. H., Patience, J. F., 2010. Impact of piglet birth weight, birth order, and litter size on subsequent growth performance, carcass quality, muscle composition, and eating quality of pork. J. Anim. Sci. 90, 4072–4080.
- Bérard, J., Kreuzer, M., Bee, G., 2008. Effect of litter size and birth weight on growth, carcass and pork quality, and their relationship to postmortem proteolysis. J. Anim. Sci. 86, 2357–2368.
- Bruininx, E. M., van der Peet-Schwingen, C. M., Schrama, J. W., Vereijken, P. F., Vesseur, P.C., Everts, H., den Hartog, L.A., Beynen, A.C., 2001. Individually measured feed intake characteristics and growth performance of group-housed weaned pigs: Effects of sex, initial body weight, and body weight distribution within groups. J. Anim. Sci. 79, 301–308.
- Donzele, J.L., Silva, F.C.O., Ferreira, A.S., Freitas, R.T.F., Kill, J.L., 1998. Digestibilidade e metabolizabilidade da energia de rações com diferentes níveis de óleo de soja para suínos. R. Bras. Zootec. 27, 922–927.
- Foxcroft, G. R., Dixon, W.T., Novak, S., Putman, C.T., Town, S.C., Vinsky, M.D.A., 2006. The biological basis for prenatal programming of postnatal

- performance in pigs. *J. Anim. Sci.* 84, E105–E112.
- Fix, J.S., Cassady, J.P., Holl, J.W., Herring, W.O., Culbertson, M.S., See, M.T., 2010. Effect of piglet birth weight on survival and quality of commercial market swine. *Livestock Science* 132, 98–106.
- Gondret, F., Lefaucheur, L., Juin, H., Louveau, I., Lebret, B., 2006. Low birth weight is associated with enlarged muscle fiber area and impaired meat tenderness of the longissimus muscle in pigs. *J. Anim. Sci.* 84, 93–103.
- Jones, C.K., Gabler, N.K., Main, R.G., Patience, J.F., 2012. Characterizing growth and carcass composition differences in pigs with varying weaning weights and postweaning performance. *J. Anim. Sci.* 90, 4072–4080.
- Kunrath, M.A., Kessler, A.M., Ribeiro, A.M.L., Vieira, M.M., Silva, G.L., Peixoto, F.D., 2010 Metodologias de avaliação do valor nutricional do farelo de arroz desengordurado para suínos. *Pesq. Agropec. Bras.* 45, 1172–1179.
- Lima, G.J.M.M., Morés, N., Sanches, R.L., 2009. As diarréias nutricionais na suinocultura. *Acta Sci. Vet.* 37, 17–30.
- Mahan, D.C.; Lepine, A.J. 1991. Effect of pig weaning weight and associated nursery feeding programs on subsequent performance to 105 kilograms body weight. *J. Anim. Sci.* 69, 1370 – 1378.
- Nissen, P. M., Oksbjerg, N., 2011. Birth weight and postnatal dietary protein level affect performance, muscle metabolism and meat quality in pigs. *Animal* 5, 1382–1389.
- Noblet, J., Fortune, H., Shi, X.S., Dubois, S., 1994. Prediction of net energy value of feeds for growing pigs. *J. Anim. Sci.* 72, 344–354.

- NRC, 1998. Nutrient Requirements of Swine, 10nd ed. National Academy Press, Washington, DC.
- Oresanya, T.F., Beaulieu, A.D., Patience, J.F., 2008. Investigations of energy metabolism in weanling barrows: The interaction of dietary energy concentration and daily feed (energy) intake. *J. Anim. Sci.* 86, 348–363.
- Pardo, C.E., Bérard, J., Kreuzer, M., Bee, G., 2013. Intrauterine crowding impairs formation and growth of secondary myofibers in pigs. *Animal.* 7, 430–438.
- Pardo, C.E., Kreuzer, M., Bee, G., 2013a. Effect of average litter weight in pigs on growth performance, carcass characteristics and meat quality of the offspring as depending on birth weight. *Animal.* 7, 1884–1892.
- Pluske, J.R., Kerton, D.J., Cranwell, P.D., Campbell, R.G., Mullan, B.P., King, R.H., Power, G.N., Pierzynowski, S.G., Westrom, B., Rippe, C., Peulen, O., Dunshea, F.R., 2003. Age, sex, and weight at weaning influence organ weight and gastrointestinal development of weanling pigs. *Aust. J. Agric. Res.* 54, 515–527.
- Rostagno, H.S., Albino, L.F.T., Donzele, J.L., 2011. Tabelas brasileiras para aves e suínos: composição de alimentos e exigências nutricionais. 3nd ed. Universidade Federal de Viçosa, MG, Brazil.
- Rehfeldt, C., Kuhn, G., 2006. Consequences of birth weight for postnatal growth performance and carcass quality in pigs as related to myogenesis. *J. Anim. Sci.* 84, E113–E123.
- Schneider, J.D., Tokach, M.D., Dritz, S.S., Nelssen, J.L., DeRouchey, J.M., Goodband, R.D., 2010. Determining the effect of lysine:calorie ratio on

- growth performance of ten- to twenty-kilogram of body weight nursery pigs of two different genotypes. *J. Anim. Sci.* 88, 137–146.
- Urynek, W., Buraczewska , L., 2003. Effect of dietary energy concentration and apparent ileal digestible lysine:metabolizable energy ratio on nitrogen balance and growth performance of young pigs. *J. Anim. Sci.* 81, 1227–1236.
- Václavková, E., Daněk, P., Rozkot, M., 2012. The influence of piglet birth weight on growth performance. *Research in Pig Breeding*, 6, 1–5.
- Wolter, B.F.; Ellis, M. 2001. The effects of weaning weight and rate of growth immediately after weaning on subsequent pig growth performance and carcass characteristics. *Can. J. Anim. Sci.* 81, 363 – 369.
- Wolter, B.F., Ellis, M., Corrigan, B.P., De Decker, J.M., 2002. The effect of birth weight and feeding of supplemental milk replacer to piglets during lactation on preweaning and postweaning growth performance and carcass characteristics. *J. Anim. Sci.* 80, 301–308.
- Wu, G., Bazer, F.W., Wallace, J.M., Spencer, T.E., 2006. Intrauterine growth retardation: Implications for the animal sciences. *J. Anim. Sci.* 84, 2316–2337.

**Tabela 1**

Composição de ingredientes e níveis nutricionais das dietas experimentais, na matéria natural

Item	Phase I <sup>h</sup>			Phase II <sup>i</sup>		
	3,40	3,60	3,80	3,40	3,60	3,80
<b>Ingredient (%)</b>						
Milho	35,32	31,20	27,07	35,12	36,69	38,24
Farelo de soja	18,00	19,500	21,00	22,00	22,15	22,30
Óleo de soja	0,73	3,12	5,50	2,93	3,96	5,00
Soro de leite	15,86	14,81	13,76	10,96	7,29	3,63
Açúcar	3,00	3,00	3,00	3,00	3,00	3,00
Plasma suíno	4,00	4,25	4,50	1,00	1,00	1,00
Glúten milho (64% PB)	3,57	4,39	5,20	6,20	6,60	7,00
Leite em pó Integral	6,06	9,97	13,88	0,00	7,94	15,87
Farelo Arroz Integral	10,00	6,23	2,46	15,00	7,50	0,00
Fosfato bicálcico	0,98	1,10	1,22	1,04	1,12	1,20
Calcário	0,95	0,94	0,92	1,15	1,13	1,11
Sal	0,00	0,01	0,01	0,24	0,24	0,25
Premix Vitamínico <sup>a,b</sup>	0,04	0,04	0,04	0,04	0,04	0,05
Premix Mineral <sup>c,d</sup>	0,08	0,08	0,08	0,07	0,07	0,07
DL-Metionina	0,14	0,15	0,15	0,14	0,16	0,17
L-Lisina - HCL	0,42	0,40	0,38	0,57	0,57	0,57
L-Treonina	0,08	0,07	0,06	0,13	0,13	0,13
L-Triptofano	0,02	0,02	0,02	0,04	0,04	0,04
Óxido Zinco	0,27	0,27	0,27	0,00	0,00	0,00
Sulfato de cobre	0,04	0,04	0,04	0,03	0,03	0,03
Acidificante <sup>e</sup>	0,40	0,40	0,40	0,30	0,30	0,30
Halquinol 60% <sup>f</sup>	0,02	0,02	0,02	0,02	0,02	0,02
Etoxiquim <sup>g</sup>	0,02	0,02	0,02	0,02	0,02	0,02
Total	100,00	100,00	100,00	100,00	100,00	100,00
<b>Composição calculada</b>						
Energia metabolizável (kcal/kg)	3,40	3,60	3,80	3,40	3,60	3,80
Proteína bruta (%)	21,00	22,50	24,00	21,00	22,15	23,30
Gordura (%)	5,78	8,46	11,15	7,25	9,18	11,12
Cálcio (%)	0,82	0,87	0,92	0,83	0,88	0,93
P disponível (%)	0,49	0,52	0,55	0,45	0,48	0,51
Ca:P	1,67	1,67	1,67	1,84	1,83	1,83
Lisina digestível (%)	1,41	1,49	1,58	1,33	1,41	1,49
Lactose (%)	14,00	14,80	15,60	8,00	8,50	9,00
Lis:EM (g/Mcal)	4,14	4,14	4,14	3,91	3,91	3,91
<b>Composição analisada</b>						
EM (Mcal/kg)	3,46	3,60	3,79	3,47	3,58	3,83

<sup>a</sup> Adição por kg da dieta: vitamina A, 14400 UI; vitamina D3, 2700 UI; vitamina

E, 32,40 mg; vitamina K, 3,60 mg; vitamina B1, 2,88 mg; vitamina B2, 9,18 mg; vitamina B6, 2,79 mg; vitamina B12, 34,20 mg; ácido pantotênico, 23,40 mg; niacina, 46,80 mg; ácido fólico, 0,81 mg e biotina, 162 mcg.

<sup>b</sup> Adição por kg da dieta: vitamina A, 112800 UI; vitamina D3, 2400 UI; vitamina E, 28,80 mg; vitamina K, 3,20 mg; vitamina B1, 2,56 mg; vitamina B2, 8,16 mg; vitamina B6, 2,48 mg; vitamina B12, 30,4 mg; ácido pantotênico, 20,80 mg; niacina, 41,60 mg; ácido fólico, 0,72 mg e biotina, 144 mcg.

<sup>c</sup> Adição por kg da dieta: Selênio, 0,48 mg; Iodo, 0,56 mg; Ferro, 64,0 mg; Cobre, 12,80 mg; Zinco, 128,0 mg e Manganês, 48,0 mg.

<sup>d</sup> Adição por kg da dieta: Selênio, 0,42 mg; Iodo, 0,49 mg; Ferro, 56,0 mg; Cobre, 11,20 mg; Zinco, 112,0 mg e Manganês, 42,0 mg.

<sup>e</sup> Ultracid Plus (14,4 mg/kg, INVE Technologies, Dendermonde, Belgium).

<sup>f</sup> 120 mg/kg (Novartis, Barueri, São Paulo, Brasil).

<sup>g</sup> 66 mg/kg (Novus Int., Mississauga, ON, Canadá).

Fase I ( 0 a 14 dias). Fase 2 (15 a 28 dias).

## Tabela 2

Desempenho e digestibilidade dos nutrientes de acordo com a energia metabolizável (EM) da dieta e peso ao desmame (PD) de leitões no período de 28 dias pós desmame<sup>a,b</sup>

Item	EM (Mcal/kg)			PD (kg)		DPR <sup>d</sup>	P-valor	
	3,40	3,60	3,80	6,7	4,5		EM	PD
Leitões, n	11	10	11	16	16	-	-	-
<b>Desempenho</b>								
Peso final (kg)	20,2	20,9	20,8	22,8	18,5	1,6	0,575	0,000
CDR (g)	635	634	624	681	581	78	0,929	0,021
GDP (g)	521	542	545	582	490	51	0,497	0,002
EA (g/kg)	824	858	877	859	847	66	0,185	0,739
AOL (cm <sup>2</sup> )	10,2	9,9	10,3	10,7	9,6	1,2	0,816	0,080
ET (mm)	1,3	1,8	1,1	1,3	1,1	0,3	0,328	0,461
Digestibilidade (%) <sup>c</sup>								
MS	89,8	90,5	92,4	91,1	90,7	1,0	0,000	0,448
EB	90,5	91,3	93,2	91,8	91,6	0,9	0,000	0,596
PB	88,5	90,6	92,0	90,5	90,2	1,8	0,000	0,818
RN	78,1	79,5	81,4	79,7	79,6	2,7	0,030	0,952
Energia (Mcal/kg) <sup>c</sup>								
ED	3,78	3,94	4,20	3,98	3,96	0,04	0,000	0,599
EM	3,47	3,58	3,83	3,63	3,62	0,03	0,000	0,574

<sup>a</sup> CDR = consumo diário de ração, GDP = ganho diário de peso, EA = eficiência alimentar, AOL = área de olho de lombo, ET = espessura de toucinho, MS = matéria seca, EB = energia bruta, PB = proteína bruta, RN = retenção de nitrogênio, ED = energia digestível e MEB = metabolizabilidade da energia bruta.

<sup>b</sup> Não houve interações significativas.

<sup>c</sup> Efeito linear.

<sup>d</sup> Desvio padrão residual (Raíz quadrada do quadrado médio do erro que se aplica a todo o modelo).

**Tabela 3**

Composição corporal física de leitões aos 28 dias pós-desmame, de acordo com a energia metabolizável (EM) da dieta e peso ao desmame (PD)<sup>a,b</sup>

Item	EM (Mcal/kg)			PD (kg)		DPR <sup>g</sup>	P-valor	
	3,40	3,60	3,80	6,7	4,5		EM	PD
Leitões, n	11	10	11	16	16	-	-	-
Peso (kg)								
Peso vivo <sup>c</sup>	19,4	19,9	20,3	22,0	17,7	1,6	0,491	0,000
Carcaça <sup>d</sup>	14,9	15,2	15,6	16,8	13,5	1,4	0,479	0,000
Órgãos + Sangue <sup>e</sup>	3,6	3,6	3,8	3,9	3,5	0,4	0,492	0,118
Corpo vazio <sup>f</sup>	18,5	18,9	19,4	20,8	17,0	1,7	0,434	0,000
Peso relativo (g/kg de peso vivo)								
Carcaça	764	764	767	770	760	20	0,892	0,376
Órgãos + Sangue	185	184	188	173	198	13	0,808	0,002
Corpo vazio	949	948	955	943	958	14	0,444	0,059
Peso do TGI								
TGI (g)	1406	1444	1456	1577	1294	113	0,561	0,000
TGI (g/kg Corpo vazio)	76,8	77,2	75,5	76,3	76,6	6,7	0,839	0,913

<sup>a</sup> TGI = trato gastrintestinal (incluindo estômago e intestinos vazios)

<sup>b</sup> Não houve interações significativas.

<sup>c</sup> Peso vivo pós jejum.

<sup>d</sup> Peso da carcaça (incluindo cabeça, pés e rabo).

<sup>e</sup> Soma de todos os órgãos, sem conteúdo digestivo.

<sup>f</sup> Média ponderada da carcaça e órgãos + sangue (sem conteúdo intestinal).

<sup>g</sup> Desvio padrão residual (Raíz quadrada do quadrado médio do erro que se aplica a todo o modelo).

**Tabela 4**

Composição corporal química de leitões aos 28 dias pós-desmame, de acordo com a energia metabolizável (EM) da dieta e peso ao desmame (PD)<sup>a</sup>

Item	EM (Mcal/kg)			PD (kg)		DPR <sup>e</sup>	P-valor	
	3,40	3,60	3,80	6,7	4,5		EM	PD
Leitões, n	11	10	11	16	16	-	-	-
Carcaça (%) <sup>b</sup>								
Matéria seca	29,6	30,6	29,4	29,9	29,9	1,9	0,378	0,996
Cinza	2,9	3,3	2,9	2,9	3,2	0,5	0,269	0,275
Proteína	15,8	15,8	15,9	15,8	15,9	0,4	0,930	0,449
Gordura	10,8	11,4	11,0	11,2	10,7	1,5	0,459	0,569
Energia bruta (Mcal/kg)	1,90	1,97	1,89	1,94	1,90	0,15	0,511	0,678
Órgãos + sangue (%) <sup>c</sup>								
Matéria seca	18,9	19,4	19,0	19,2	18,9	1,0	0,558	0,628
Cinza	1,4	1,9	1,50	1,4	1,8	0,6	0,246	0,270
Proteína	13,2	12,9	13,1	13,2	12,9	0,8	0,758	0,500
Gordura	4,3	4,6	4,4	4,6	4,2	0,70	0,599	0,354
Energia bruta (Mcal/kg)	1,15	1,16	1,16	1,18	1,13	0,06	0,839	0,167
Corpo vazio (%) <sup>d</sup>								
Matéria seca	27,5	28,4	27,4	27,9	27,6	1,7	0,374	0,748
Cinza	2,6	2,9	2,6	2,6	2,9	0,4	0,106	0,202
Proteína	15,6	15,5	15,6	15,5	15,6	0,4	0,982	0,898
Gordura	9,3	9,9	9,2	9,7	9,1	1,3	0,491	0,388
Energia bruta (Mcal/kg)	1,75	1,80	1,74	1,79	1,74	0,13	0,568	0,443

<sup>a</sup> Não houve interações significativas.

<sup>b</sup> Incluindo cabeça, pés e rabo.

<sup>c</sup> Soma de todos os órgãos, sem conteúdo digestivo.

<sup>d</sup> Média ponderada da carcaça e órgãos + sangue (sem conteúdo intestinal).

<sup>e</sup> Desvio padrão residual (Raíz quadrada do quadrado médio do que se aplica a todo o modelo);

**Tabela 5**

Taxa de deposição de nutrientes de leitões aos 28 dias pós-desmame, de acordo com a energia metabolizável (EM) da dieta e peso ao desmame (PD)<sup>a,b</sup>

Item	EM (Mcal/kg)			PD (kg)		DPR <sup>f</sup>	P-valor	
	3,40	3,60	3,80	6,7	4,5		EM	PD
Leitões, n	11	10	11	16	16	-	-	-
Carcaça (g/d) <sup>c</sup>								
Água	274	277	294	308	255	28	0.245	0.001
Proteína	61.5	63.6	66.2	69.1	58.5	7.9	0.400	0.016
Cinza	10.7	12.5	12.9	13.5	10.6	1.9	0.027	0.008
Gordura	38.7	43.3	41.2	42.4	39.7	11.6	0.672	0.663
Água: Proteína	4.48	4.37	4.46	4.48	4.39	0.29	0.685	0.598
Cinza: Proteína	0.17	0.19	0.19	0.19	0.18	0.03	0.234	0.538
Gordura: Proteína	0.62	0.68	0.61	0.60	0.67	0.13	0.465	0.332
ER (Mcal/d)	0.71	0.76	0.76	0.79	0.70	0.15	0.637	0.277
Órgãos + sangue (g/d) <sup>d</sup>								
Água	70	71	76	76	68	6	0.403	0.002
Proteína	12.4	12.2	13.0	13.1	12.0	1.4	0.542	0.027
Cinza	1.1	2.0	0.9	0.90	2.3	0.6	0.404	0.594
Gordura	3.4	3.7	4.1	4.2	3.3	0.9	0.611	0.274
Água: Proteína	5.64	5.78	5.80	6.14	6.1	0.74	0.985	0.907
Cinza: Proteína	0.09	0.16	0.07	0.10	0.16	0.09	0.279	0.237
Gordura: Proteína	0.27	0.30	0.31	0.38	0.40	0.11	0.586	0.781
ER (Mcal/d)	0.10	0.10	0.11	0.11	0.99	0.01	0.582	0.056
Corpo vazio (g/d) <sup>e</sup>								
Água	344	348	369	384	324	34	0.204	0.002
Proteína	73.94	75.88	79.24	82.26	70.45	9.26	0.417	0.022
Cinza	11.85	14.56	12.73	13.18	12.92	3.61	0.250	0.893
Gordura	42.05	47.02	45.35	46.60	43.01	12.04	0.639	0.576
Água: Proteína	4.67	4.60	4.68	4.68	4.62	0.20	0.799	0.694
Gordura: Proteína	0.57	0.62	0.56	0.56	0.61	0.11	0.442	0.437
Cinza: Proteína	0.16	0.19	0.16	0.16	0.18	0.03	0.126	0.271
ER(Mcal/d)	0.82	0.87	0.88	0.91	0.81	0.16	0.608	0.235
ERP	0.42	0.43	0.45	0.47	0.40	0.05	0.376	0.000
ERG	0.40	0.44	0.43	0.44	0.41	0.11	0.629	0.358

<sup>a</sup> ER = energia retida, ERP = energia retida como proteína, ERG = energia

retida como gordura, ERP e ERG,

<sup>b</sup> Não houve interações significativas.

<sup>c</sup> Incluindo cabeça, pés e rabo.

<sup>d</sup> Soma de todos os órgão, sem conteúdo digestivo.

<sup>e</sup> Média ponderada da carcaça e órgãos + sangue (sem conteúdo intestinal).

<sup>f</sup> Desvio padrão residual (Raíz quadrada do quadrado médio do erro que se aplica a todo o modelo).

**Tabela 6**

Eficiência de utilização da energia de acordo com a energia metabolizável (EM) da dieta e peso ao desmame (PD) de leitões no período de 28 dias pós-desmame <sup>a,b</sup>

Item	EM (Mcal/kg)			PD (kg)		DPR <sup>d</sup>	P-valor	
	3,40	3,60	3,80	6,7	4,5		EM	PD
Leitões, n	11	10	11	16	16	-	-	-
Consumo EM (Mcal/d)	2,20	2,27	2,38	2,47	2,09	0,27	0,277	0,000
Consumo EM <sub>m</sub> (Mcal/d) <sup>c</sup>	0,70	0,71	0,72	0,78	0,65	0,04	0,621	0,000
Consumo EM <sub>c</sub> (Mcal/d) <sup>c</sup>	1,50	1,56	1,66	1,69	1,45	0,24	0,289	0,065
PC (Mcal/d)	1,39	1,40	1,52	1,59	1,28	0,17	0,165	0,000
CC (Mcal ME/kg GP)	4,46	4,46	4,57	4,52	4,47	0,36	0,700	0,659
Eficiência energética	0,37	0,38	0,36	0,36	0,38	0,04	0,586	0,186

<sup>a</sup> EMm = energia metabolizável para manutenção, EMc = energia metabolizável para crescimento, CC = conversão calórica, PC = produção de calor, GP = ganho de peso.

<sup>b</sup> Não houve interações significativas.

<sup>c</sup> Energia metaboliável para manutenção foi calculada como 0,106 Mcal/(kg de PV<sup>0,75</sup> x d), segundo NRC (1998). Energia metabolizável disponível para crescimento foi calculada como consumo EM total – consumo EMm.

<sup>d</sup> Desvio padrão residual (Raíz quadrada do quadrado médio do erro que se aplica a todo o modelo).

**Tabela 7**

Correlações da energia metabolizável (EM) e peso ao desmame (PD) com as variáveis de desempenho, digestibilidade e composição corporal <sup>a</sup>

Item	EM		PD	
	Coefficiente	P-valor	Coefficiente	P-valor
<b>Desempenho</b>				
Peso final	0,031	0,867	0,884	0,000
Consumo de ração	-0,096	0,600	0,723	0,000
Ganho de peso	0,093	0,612	0,712	0,000
Conversão alimentar	-0,313	0,081	0,186	0,300
Área de olho de lombo	-0,008	0,967	0,739	0,000
Espessura de toucinho	-0,283	0,116	0,223	0,220
<b>Digestibilidade</b>				
Matéria seca	0,750	0,000	-0,052	0,777
Proteína bruta	0,641	0,000	-0,020	0,913
Energia bruta	0,772	0,000	-0,038	0,833
Rentenção N	0,460	0,000	-0,006	0,969
Consumo EM	0,182	0,316	0,633	0,000
<b>Composição física corporal</b>				
Peso vivo <sup>b</sup>	0,068	0,711	0,869	0,000
Carcaça <sup>c</sup>	0,072	0,694	0,872	0,000
Órgãos + sangue <sup>d</sup>	0,151	0,409	0,645	0,000
Corpo vazio <sup>e</sup>	0,087	0,634	0,864	0,000
<b>Taxa de deposição no corpo vazio</b>				
Água	0,180	0,323	0,720	0,000
Proteína	0,149	0,412	0,634	0,000
Gordura	0,100	0,583	0,165	0,364
Cinza	0,080	0,663	0,394	0,026
ERP	0,150	0,413	0,660	0,000
ERG	0,101	0,584	0,160	0,381

<sup>a</sup> ERP = energia retida como proteína, ERG = energia retida como gordura.

<sup>b</sup> Peso vivo pós jejum.

<sup>c</sup> Peso da carcaça (incluindo cabeça, pés e rabo).

<sup>d</sup> Soma de todos os órgãos, sem conteúdo digestivo.

<sup>e</sup> Média ponderada da carcaça e órgãos + sangue (sem conteúdo intestinal).



### CAPÍTULO III

**Meta-análise de fatores nutricionais e de desempenho que influenciam a eficiência de ganho de peso em relação ao nitrogênio excretado em leitões recém-desmamados<sup>1</sup>**

---

<sup>1</sup>Elaborado de acordo com as normas da Livestock Sciences (Apêndice 1)



**Meta-análise de fatores nutricionais e de desempenho que influenciam a eficiência de ganho de peso em relação ao nitrogênio excretado em leitões recém-desmamados**

**M.S. Vieira <sup>a\*</sup>, A.M.L. Ribeiro <sup>a</sup>, A.M. Kessler <sup>a</sup>, M.B. Warpechowski <sup>b</sup>, P.K. Zielgelmann <sup>c</sup>, L. Montagne <sup>d</sup>, I. Andretta <sup>e</sup>,**

<sup>a</sup> Departamento de Zootecnia, Universidade Federal do Rio Grande do Sul, Porto Alegre, RS 91540-000, Brasil

<sup>b</sup> Departamento de Zootecnia, Universidade Federal do Paraná, Curitiba, PR 80035-050, Brasil.

<sup>c</sup> Departamento de Estatística, Universidade Federal do Rio Grande do Sul, Porto Alegre, RS 91509-000, Brasil

<sup>d</sup> INRA/Agrocampus Ouest, UMR 1079, Systèmes d'Elevage, Nutrition Et Humaine, F. 35000 Rennes, França.

<sup>e</sup> Departamento de Zootecnia, Universidade Federal de Santa Maria, Campus Camobi, Santa Maria, RS 97105-900, Brasil

---

\* Autor para correspondência. Tel: (51) 8179-9529.

E-mail: [msvzootec@yahoo.com.br](mailto:msvzootec@yahoo.com.br) (M.S. Vieira)

## **Resumo**

Uma meta-análise foi conduzida com o objetivo de investigar a influência das variáveis dietéticas, de desempenho e de digestibilidade sobre a eficiência do ganho de peso em relação ao nitrogênio excretado (GP/NE) em leitões. O

banco de dados foi composto por 10 ensaios realizados entre 2000 e 2012, totalizando 62 tratamentos e 726 leitões desmamados entre 21 e 28 dias. Dois modelos foram gerados para predição da eficiência GP/NE, com e sem o valor de retenção de nitrogênio (RN) a fim de obter-se uma equação mais exequível em condições práticas. A equação I mostra que quanto mais eficientes em reter N são os animais, maior a o GP/NE, principalmente no início da fase pós-desmame (Peso vivo x RN;  $P < 0,00$ ). O aumento no consumo de energia metabolizável maximizou o GP/NE em animais com maior retenção de N (EMi x RN;  $P < 0,00$ ). Houve interação entre N ingerido (Ni) e conversão alimentar (CA) (Ni x CA;  $P < 0,00$ ), mostrando que com baixo Ni e melhor CA o GP/NE foi maximizado, porém com alto Ni, boa CA tem pouca influenciou sobre a GP/NE. No modelo II houve interação da CA e PV ( $P < 0,00$ ) mostrando que, leitões com melhor CA melhoraram o GP/NE com o aumento do peso vivo, enquanto que animais com CA ruim não melhoraram GP/NE com o passar do tempo. Leitões desmamados, de linhagem comercial, alimentados com dietas concentradas em energia e adequado perfil de aminoácidos maximizam o ganho de peso/nitrogênio excretado.

Palavras-chave: Nutrição de leitão, Dejetos, Desempenho produtivo, Ambiente

## Abstract

A meta-analysis was carried out to investigate the influence of dietary, performance and nutrient digestibility variables on efficiency of weight gain/nitrogen excretion (WG/NE). The database included ten experiments, conducted between 2000 and 2012, totaling 62 treatments and 726 piglets

weaned between 21 and 28 days. Two models were generated to predict efficiency of WG/NE, with and without N retention (NR) to provide a feasible equation for practical conditions. The increase in the ME intake maximized efficiency in animals with greater N retention (MEi x RN;  $P < 0.00$ ). Equation I shows that the more efficient in retaining N are the animals, the greater WG/NE, especially in the early post-weaning phase (BW x RN,  $P < 0.00$ ). There was interaction between N intake and feed: gain (Ni x F:G,  $P < 0.00$ ), showing that with low Ni and better F:G, WG/Ne was maximized, but with high Ni, F:G has little influence on WG/NE. In model II, there was an interaction between F:G and BW ( $P < 0.00$ ) showing that piglets with better F:G improved WG/NE as body weight increased, whereas animals with worst F:G did not improve WG/NE over time. Weaned piglets, with high genetic potential, feed diets with high energy and appropriate amino acid profile improve efficiency of WG/NE.

Keywords: Piglet nutrition, Manure, Productive performance, Environment

## 1. Introdução

A maximização do desempenho dos suínos tem sido tradicionalmente o objetivo de produtores e nutricionistas. As dietas são geralmente formuladas para alcançar este objetivo com pouca ou nenhuma consideração em relação a quantidade de nutrientes excretados. Consequentemente, o excesso de nutrientes utilizados nas dietas para garantir o máximo desempenho resultam em excesso de nutrientes excretados nas fezes e urina (NRC, 1998). Em áreas onde o sistema de produção é intensivo os problemas ambientais são agravados, de forma que nas últimas décadas as leis e regulamentações

relacionadas a limites de produção e utilização de dejetos como fertilizante têm sido cada vez mais restritivas, na tentativa de mitigar o impacto ambiental.

Durante o armazenamento, tratamento e lançamento dos dejetos no solo, o nitrogênio (N) pode formar perigosos compostos, tais como nitrato, amônia e óxido nitroso sendo este, dentre os componentes dos dejetos, o de maior potencial poluidor também. O óxido nítrico tem potencial de aquecimento global aproximadamente 300 vezes superior ao do CO<sub>2</sub> (MCTI, 2013).

Particularmente em leitões pós-desmame, o baixo consumo de ração associado ao alto potencial para deposição proteica resulta no fornecimento de dietas com altos níveis de proteína bruta (PB). Embora haja inúmeras pesquisas relacionadas à redução de proteína da dieta, ajustadas à suplementação de aminoácidos sintéticos (Gloaguen et al., 2013; Berrocoso et al., 2013; Gloaguen et al., 2014), utilização de enzimas exógenas (Guggenbuhl et al., 2012; Metzler-Zebeli e Zebeli, 2013; Yáñez et al., 2013) e melhorias nas estratégias de manejo (Hutchings et al., 2013; Montes et al., 2013; Garcia-Launay et al., 2014) que podem resultar em redução na excreção de nutrientes, altas margens de segurança, principalmente relacionadas ao teor de proteína nas dietas de leitões, ainda são amplamente utilizadas. Além das ferramentas nutricionais e de manejo, a seleção genética também pode ser utilizada para melhorar a eficiência de utilização dos nutrientes e reduzir a excreção. Neste sentido, Saintilan et al. (2013) ao utilizarem o consumo alimentar residual (CAR) para estimar e correlacionar parâmetros genéticos associados ao desempenho e excreção, afirmaram que a seleção para menor CAR pode ser eficiente em melhorar o desempenho com efeitos positivos sobre a mitigação

na excreção de N. Desta forma, o desenvolvimento de novas estratégias nutricionais exige a melhora na predição da eficiência de utilização do N, considerando as principais variáveis envolvidas com as características produtivas, de forma a maximizar a relação entre ganho e excreção.

A meta-análise é um método relevante para agrupamento de dados e quantificação de resultados oriundos de ensaios onde o esforço da pesquisa sobre um determinado tema foi apenas secundário ou não investigado (Sauvant et al., 2008). Assim, a partir de um mesmo banco de dados é possível inferir sobre um novo objeto de estudo. Um estudo meta-analítico foi realizado com o objetivo de investigar a influência das variáveis dietéticas, de desempenho e digestibilidade sobre a eficiência de ganho de peso em relação ao N excretado em leitões no pós desmame.

## **2. Material e Métodos**

O banco de dados foi composto por dados brutos de 10 ensaios realizados no período de 2000 a 2012, na Universidade Federal do Rio Grande do Sul – Porto Alegre. Um total de 726 animais (30 % fêmeas e 70 % machos castrados) e 62 tratamentos compôs o banco de dados. Todos os leitões foram provenientes de linhagem comercial e desmamados entre 17 a 28 dias de idade. O peso vivo médio dos leitões no ínicio da fase pré-inicial e no fim da fase inicial pós-desmame foi de 5,05 kg (desvio padrão: 2,90) e 13,38 kg (desvio padrão: 4,50), respectivamente. Todos os animais foram alojados em gaiolas de metabolismo, individualmente equipada com um comedouro e bebedouro frontal, localizadas em sala climatizada e com temperatura

preconizada para a idade, e representaram a unidade experimental nos dez ensaios. Os principais ingredientes utilizados nas dietas, a composição média e a estatística descritiva estão apresentados na Tabela 1. As dietas foram formuladas com níveis nutricionais próximos dos recomendados por Rostagno et al. (2005) (50%), (2011) (10%) ou NRC (1988) (40%) e fornecidas à vontade. O milho e o farelo de soja foram as principais fontes energética e proteica, utilizados em 60 % e 100 % das dietas, respectivamente.

Os principais critérios de seleção foram (a) resultados que incluíram análises de desempenho e (b) digestibilidade na (c) fase pós-desmame. Após a seleção dos ensaios e subsequente análise exploratória dos dados, informações sobre o modelo teórico e outras variáveis foram tabuladas para permitir a análise descritiva dos ensaios incluídos no banco de dados. Essas informações foram selecionadas das seções de material e métodos e resultados das teses/dissertações ou relatórios e tabuladas em planilha eletrônica.

Para a seleção das observações relevantes para análises, o uso da codagem foi utilizado para categorizar os dados; para cada publicação incluída no banco de dados foi dado um código único (Sauvant et al., 2008). Outras codificações foram usadas na análise com o objetivo de considerar a variabilidade no estudo com dados compilados (experimento, inter e intra-efeitos). A codagem geral (efeito do ensaio) foi feita atribuindo-se uma numeração sequencial para cada experimento inserido no banco de dados. A codagem inter-ensaços (para cada tratamento) foi realizada associando-se o primeiro número da codagem geral + outra sequencia numérica (ensaio 1,

tratamento 01 = 1 + 01 = 101). A codagem intra-ensaios foi realizada de forma similar à anterior, na presença de medidas repetidas (ex. peso vivo do mesmo animal em diferentes períodos).

A seleção das co-variáveis foi feita por stepwise, utilizando-se o teste F como critério de seleção. Desta forma, foram selecionadas as variáveis significativas no modelo para compor as equações de regressão, tais como: variáveis experimentais (fase alimentar, composição nutricional das dietas e peso vivo), de desempenho (consumo de ração, ganho de peso e conversão alimentar), digestibilidade aparente dos nutrientes e composição da dieta em energia e proteína (concentração e consumo de EM, consumo, excreção e retenção de N). A variável resposta foi a relação entre ganho de peso e N excretado (GP/NE, g/d).

Estatísticas descritivas (média, desvios e amplitudes) foram geradas para cada variável nos grupos e subgrupos selecionados (Tabela 2 e 3). Gráficos de dispersão da variável resposta com cada covariável foram utilizados para explorar o tipo de relação entre as covariáveis e variável resposta em cada ensaio e a heterogeneidade dos resultados entre os ensaios. Diversos modelos da classe de modelos lineares generalizados foram ajustados de modo a permitir que a relação entre covariável e variável resposta fosse diferente da relação linear e permitir que a distribuição dos resíduos fosse diferente da distribuição normal (suposições do modelo linear geral). Ajuste do modelo foi avaliado através de inspeção gráfica dos resíduos de desvio e o teste Shapiro-Wilk para normalidade. Comparação entre modelos foi realizada através do critério BIC (Bayesian information criterion). Variáveis não

significativas foram sequencialmente removidas do modelo para simplificar a equação final. Um ensaio utilizou desafio térmico como fator de estudo. No entanto, não houve efeito significativo deste fator sobre as variáveis resposta o que justificou a retirada deste fator do modelo meta-analítico. Em todas as análises foi considerado significativo valores  $P < 0,05$ . As análises foram realizadas no pacote estatístico SPSS versão 18.

### **3. Resultados**

Nitrogênio ingerido (Ni, g/d), retenção de nitrogênio (RN, %), consumo de ração em relação ao peso vivo médio (CR/PVm, g/d por kg), conversão alimentar (CA), energia metabolizável ingerida (EMi, kcal/d), peso vivo (Inicial e final, kg) foram significativos ( $P < 0,05$ ) no modelo de predição da eficiência do GP/NE. As estatísticas descritivas das variáveis significativas no modelo estão apresentadas na Tabela 2, e das variáveis de desempenho e digestibilidade não significativas estão apresentadas na Tabela 3. De uma forma geral as médias do consumo de ração e do ganho de peso estão dentro do esperado para a faixa de peso avaliada no banco de dados. O bom desempenho é apoiado pelos altos coeficientes de digestibilidade dos nutrientes que atingiram valores máximos médios de 74%. Isto ocorreu devido à qualidade das dietas, formuladas com ingredientes de alta digestibilidade.

Definidas as variáveis significativas, optou-se por gerar dois modelos. No modelo I todas as variáveis significativas foram mantidas e seus coeficientes determinados. O modelo II não considerou a RN na análise, na tentativa de se estimar a eficiência com variáveis de fácil obtenção em condições práticas, e

desta forma criar um modelo facilmente aplicável . As Figuras 1 e 2 mostram a relação entre a eficiência observada e a predita nos modelos. Como era esperado, o modelo I apresentou um  $R^2$  superior ao modelo II (0,97 vs 0,73), devido ao melhor ajuste dos dados. Este resultado é coerente, considerando a importância da RN, uma variável que por si só é auto-explicativo dentro do modelo I. Além das interações da RN com as outras variáveis que compõem o modelo I. Ainda que o modelo II tenha apresentado menor previsibilidade para estimar o GP/NE, a ausência da RN torna o modelo II mais aplicável, sem a necessidade de uma variável de difícil obtenção prática.

Para o modelo I (Tabela 4) a eficiência de GP/NE foi maximizada com aumento no CR/PVm ( $P < 0,00$ ). Houve interação significativa entre PVI x RN e PVF x RN (Figura 3), EMi x RN (Figura 4), Ni x CA (Figura 5) ( $P < 0,05$ ). A seguinte equação de predição foi gerada no modelo I:  $GP/NE = \exp [1,923 - 0,077 * Ni + 0,041 * RN + 0,008 * CR/PVm - 0,578 * CA + 0,132 * PVI + 0,016 * Ni * CA + 0,0000011 * RN * EMi - 0,003 * RN * PVI + 0,002 * RN * PVF]$ .  $R^2 = 0,97$ .

Para o modelo II (Tabela 4) não houve efeito significativo do PVI. A eficiência do GP/NE aumentou com aumento na EMi e, reduziu com o aumento do Ni ( $P < 0,00$ ). Houve interação significativa entre CR/PVm x CA e PVF x CA (Figura 6) ( $P < 0,00$ ). A seguinte equação de predição foi gerada no modelo II:  $GP/NE = \exp [4,703 - 0,035 * Ni - 0,392 * CA + 0,062 * PVF + 0,00016 * EMi + 0,007 * CR/PVm * CA - 0,032 * CA * PVF]$ .  $R^2 = 0,73$ .

#### **4. Discussão**

O efeito do aumento do consumo de N sobre as variáveis de desempenho e excreção de N são bem documentadas na literatura. A associação entre essas variáveis, na tentativa de melhor entender quais os principais fatores que afetam a eficiência do ganho de peso em relação ao N excretado, entretanto não tem sido discutido. Do ponto de vista econômico e ambiental é desejável que o ganho seja maximizado e a excreção minimizada a um determinado nível de N ingerido.

É geralmente aceito que suínos jovens (5 a 25 kg de PV) têm limitada capacidade física intestinal para consumo de ração (Whittemore e Kyriazakis 1993). Somam-se a isso, fatores relacionados ao estresse do pós-desmame e a baixa habilidade em digerir os nutrientes da dieta (Dong e Pluske, 2007), levando a redução do desempenho. A análise dos dados demonstrou que o GP/NE aumenta exponencialmente com aumento na relação do CR/PVm, no modelo I. Isso significa que, para cada aumento em uma unidade da relação CR/PVm ocorre um aumento de  $\pm 0,14\%$  sobre o valor do ganho de peso/nitrogênio excretado. Ou seja, leitões com maior capacidade de consumo de ração em relação ao peso vivo serão mais eficientes devido a maior disponibilidade de nutrientes em uma fase de alta eficiência na utilização dos nutrientes.

Energia e nutrientes, especialmente lisina são os principais fatores nutricionais envolvidos na eficiência de ganho de proteína em leitões jovens. Van Milgen e Noblet (2003) reportam que a resposta do ganho em gordura é próxima à linearidade. Por outro lado, a resposta do ganho de proteína em relação à ingestão de energia é curvilinear e, o acréscimo protéico em animais

em crescimento se dá em uma faixa de peso proteína-dependente, seguida por outra energia-dependente. Em nossos resultados ficou caracterizada a interação entre PV e RN. A equação I mostra que quanto mais eficientes em reter N são os animais, maior o GP/NE, principalmente no início da fase pós-desmame. A vantagem dos leitões desmamados em depositar proteína em detrimento da deposição de gordura evidencia a eficiência destes animais quanto ao desempenho e excreção de N. Os leitões do banco de dados apresentaram alta eficiência na utilização deste nutriente. Em média, a retenção de N foi de 75% (Tabela 2). Em suínos na fase de crescimento/terminação alimentados com dietas a base de cereal e farelo de soja, apenas aproximadamente 35% no N ingerido é retido (Dourmad et al., 1999; Dourmad et al., 2009).

Segundo Möhn e De Lange (1998), em um ambiente livre de estresse e com adequado fornecimento e ingestão de energia e nutrientes, a deposição de proteína é determinada pelo consumo de energia ou pelo potencial genético para máxima deposição. Desta forma o principal limitante nutricional da deposição de proteína em suínos jovens é o consumo de energia (Dunshea et al., 1998). A interação EMi e RN demonstra que o aumento no consumo de EM maximiza a eficiência em animais com maior potencial para retenção de N (Figura 4). A estratégia de aumentar a concentração em energia da dieta tem sido utilizada para minimizar o baixo desempenho de leitões na fase inicial (Beaulieu et al., 2006; Oresanya et al., 2008). Arnaiz et al. (2009) observaram aumento do consumo de ração e na retenção de N, com aumento nos níveis de energia de 3250 a 3700 kcal/kg EM, porém isto não se refletiu em melhora do

desempenho. Nossos resultados demonstram que, em relação à eficiência do GP/NE, a interação entre estas variáveis resulta em melhora desta eficiência e que a estratégia de aumentar a concentração da energia poderia também ser usada para diminuir o impacto ambiental.

Os modelos indicam que ambos, Ni e CA são as principais variáveis que influenciam negativamente a eficiência do GP/NE. No modelo I houve interação entre Ni e CA, mostrando que com baixo Ni e melhor CA a eficiência foi maximizada, porém com alto Ni, boa CA tem pouca influência sobre a eficiência (Figura 5)

No modelo II o efeito do consumo de N sobre a eficiência foi exponencial e independente das outras variáveis, de forma que para cada aumento em uma unidade do Ni ocorre a redução de  $\pm 0,10\%$  sobre o valor do GP/NE. Planos nutricionais com altos níveis de PB são frequentemente observados em dietas de leitões recém-desmamados. Contudo, para a maior parte dos nutrientes ingeridos, a retenção máxima é obtida numa curva de eficiência decrescente. Isso é particularmente válido para proteína e aminoácidos, que a medida que têm aumentada sua ingestão, experimentam aumento nas taxas de degradação e/ou excreção pelo animal (Kessler, 2001). Elevados níveis de proteína dietética aumentam a desaminação de aminoácidos, com consequente aumento na produção de calor (van Milgen e Noblet, 2003; Roth et al., 1999) e redução na energia disponível para deposição de proteína nos tecidos (Le Bellego et al., 2001), tornando o animal menos eficiente em desempenho e excreção.

No presente banco de dados o nível médio de PB da dieta foi de 20,17%

(variando entre 17,5% e 24,00% e moda 20%), 100% suplementadas com lisina e metionina, 90% com treonina e 50% com triptofano, respectivamente os quatro primeiros aminoácidos limitantes em uma dieta à base de cereal e farelo de soja. Estudos concluíram que a PB da dieta pode ser reduzida em até 4 unidades percentuais (Lordelo et al., 2008; Patrás et al., 2012; Gloaguen et al., 2014) quando suplementadas com aminoácidos sintéticos, sem efeitos deletérios sobre o desempenho. Além disso, Webb et al. (2014) ao revisarem ensaios que avaliaram a redução na PB da dieta, em relação à excreção de N, concluíram que para cada redução de 1 unidade na PB, a excreção de N pode ser reduzida em até 10%. Portanto, considerando a alta eficiência de leitões desmamados em depositar proteína, a melhor estratégia para melhorar a eficiência e reduzir o impacto do N excretado seria a redução na ingestão de N.

No modelo II houve interação entre CA e PV (Figura 6) mostrando que, leitões com boa CA melhoraram o GP/NE na medida em que o peso vivo aumenta, enquanto que animais com CA ruim não melhoraram o GP/NE com o passar do tempo. Isso significa que, independentemente do PV, animais com CA ruim serão sempre ineficientes. Isto ocorre devido à alta correlação desta variável com o ganho de proteína corporal (-0,75) (Kessler, 2001). Logo, piores CA significam redução na deposição de proteína e consequente queda do GP/NE. Shirali et al. (2012), ao correlacionarem variáveis de desempenho e excreção de N em diferentes fases do crescimento de suínos, observaram correlação  $> 0,90$  entre CA, N excretado e relação N excretado/ganho de peso. Estes autores reportam que a redução da excreção de N através da melhora na CA deveria ser a primeira escolha na seleção de animais com menor

capacidade poluente, sem efeitos negativos sobre as características de desempenho, principalmente nos estágios finais do crescimento. Nós encontramos baixa correlação entre CA e N excretado (-0,07), enquanto o N ingerido apresentou correlação moderada (-0,46) indicando que, para leitões nas fases iniciais do crescimento, a redução no Ni teria maior impacto sobre a eficiência que a melhora na CA.

A análise conjunta dos dados de desempenho, digestibilidade dos nutrientes e composição da dieta mostrou as principais variáveis e as interações envolvidas na relação GP/NE. Além disso, a estimativa do GP/NE apresentada neste estudo agrupa características de produtividade e sustentabilidade, sendo um número positivo e de fácil interpretação.

Deve-se considerar que o modelo estático não é o melhor preditor da eficiência numa situação prática, onde outros fatores podem interagir de forma a acentuar a redução ou melhorar o GP/NE. Além disso, outros fatores como status de saúde do animal, ambiente térmico e capacidade genética para ganho de tecido magro também interferem na dinâmica da eficiência aqui avaliada. Contudo, foi possível identificar animais mais eficientes mesmo dentro de um grupo de animais homogêneos de alto potencial para desempenho e reduzida excreção de nitrogênio.

Avanços genéticos obtidos na suinocultura, nas últimas décadas, proporcionaram animais com maior ganho de tecido magro, menor exigência para manutenção (Boddicker et al., 2011), produção de calor (Barea et al., 2010) e melhor eficiência na utilização dos nutrientes. A análise de 6 linhagens genéticas de suínos mostrou que de 1969 a 2004 houve 19% de melhora na

retenção de N, e isto resultou em 20% menos N excretado nas linhagens modernas (Knap, 2000). Uma vez que a taxa de crescimento é relacionada à eficiência produtiva, isto incorre que animais mais produtivos serão consequentemente menos poluidores.

A grande maioria das pesquisas sobre o impacto da excreção de N nos sistemas de produção de suínos tem focado nos animais em fase final do ciclo produtivo, devido ao maior volume de dejetos produzidos e a menor eficiência na utilização dos nutrientes, quando comparado a leitões na fase inicial. Contudo, ao considerarmos sistemas de produção intensivos, o volume de dejetos produzidos pelos animais na fase inicial é considerável. Portanto, a obtenção de estimativas acuradas para predizer a eficiência do ganho de peso em relação ao nitrogênio excretado em leitões recém-desmamados, visando obter ferramentas para mitigar o impacto dos dejetos no ambiente é de grande relevância dentro do contexto da suinocultura moderna e sustentável.

## 5. Conclusões

Os modelos gerados para estimar a eficiência do ganho de peso/nitrogênio excretado apresentaram previsibilidade média a alta, sendo as variáveis nitrogênio ingerido e conversão alimentar que mais influenciam negativamente a eficiência.

Leitões desmamados, de linhagem comercial, alimentados com dietas concentradas em energia e adequado perfil de aminoácidos maximizam o ganho de peso/nitrogênio excretado.

## Agradecimentos

Este artigo é integrado ao projeto CAPES COFECUB 687/10 “Biologia integrativa na produção animal: Modelagem de processos e sistemas de produção de suínos e aves”

## 6. Referências

- Arnaiz, V., Ribeiro, A.M.L., Kessler, A.M., Raber, M., Kuana, S., 2009. Efecto del peso al destete, temperatura ambiental y energía metabolizable del pienso en lechones recién destetados. Rev. Bras. Cienc. Agrar. 4, 472–478.
- Barea, R.S., Dubois, S., Gilbert, H., Sellier, P., van Milgen, J., Noblet, J. 2010. Energy utilization in pigs selected for high and low residual feed intake. J. Anim. Sci. 88, 2062–2072.
- Beaulieu, A.D., Levesque, C.L., Patience, J.F., 2006. The effects of dietary energy concentration and weaning site on weanling pig performance. J. Anim. Sci. 84, 1159–1168.
- Berrocoso, J.D., Saldaña, B., Serrano, M.P., Cámara, L., Ibáñez, M.A., Mateos, G.G. 2013. Influence of crude protein content, ingredient complexity, feed form, and duration of feeding of the Phase I diets on productive performance and nutrient digestibility of Iberian pigs. J. Anim. Sci. 91, 1237–1246.
- Boddicker, N., Gabler, N.K., Spurlock, M.E., Nettleton, D., Dekkers, J.C.M. 2011. Effects of ad libitum and restricted feeding on early production performance and body composition of Yorkshire pigs selected for

- reduced residual feed intake. *Animal.* 5, 1344–1353.
- Dunshea, F.R., King, R.H., Eason, P.J., Campbell, R.G. 1998. Interrelationships between dietary ractopamine, energy intake, sex in pigs. *Aust. J. Agric. Res.* 49, 565–574.
- Dourmad, J.Y., Sèvre, B., Latimier, P., Boisen, S., Fernandez, J., Van de Peet-Schowering, C., Jongbloed, A.W., 1999. Nitrogen consumption, utilisation and losses in pig production in France, The Netherlands and Denmark. *Livest. Prod. Sci.* 58, 199–211
- Dourmad, J.Y., Hassouna, M., Robin, P., Guingand, N., Meunier-Salau, M.C. 2009. Influence of pig rearing system on animal performance and manure composition. *Animal.* 3, 606–616.
- Dong, G.Z., Pluske, J.R. 2007. The low feed intake in newly-weaned pigs: problems and possible solutions. *Asian-Aust. J. Anim. Sci.* 20, 440–452
- Garcia-Launay, F., vander Werf, H.M.G., Nguyen, T.T.H., LeTutour, L., Dourmad, J.Y. 2014. Evaluation of the environmental implications of the incorporation of feed-use amino acids in pig production using Life Cycle Assessment. *Livest. Sci.* 161, 158–175.
- Gloaguen, M., Le Floc'h, N., Primot, Y., Corrent, E., van Milgen, J. 2013. Response of piglets to the standardized ileal digestible isoleucine, histidine and leucine supply in cereal-soybean meal-based diets. *Animal,* 7, 901–908.
- Gloaguen, M., Le Floc'h, N., Corrent, E., Primot, Y., van Milgen, J. 2014. The use of free amino acids allows formulating very low crude protein diets for piglets. *J. Anim. Sci.* 92, 637–644.

- Guggenbuhl, P., Waché, Y., Wilson, J.H. 2012. Effects of dietary supplementation with a protease on the apparent ileal digestibility of the weaned piglet. *J. Anim. Sci.* 90, 152–154.
- Hutchings, J.N., Hoeve, M.T., Jensen, R., Bruun, S., Søtoft, L.F. 2013. Modelling the potential of slurry management technologies to reduce the constraints of environmental legislation on pig production. *J. Environ. Manag.* 130, 447–456.
- Kessler, A.M., 2001. O significado da conversão alimentar para suínos em crescimento: sua relevância para modelagem e características de carcaça. In: Proceedings of the 2th Conferência Internacional virtual sobre qualidade de carne suína, November 5 to December 6, Concórdia, Brazil. Santa Catarina, Brazil, pp.360–369.
- Knap, P.W. 2000. Stochastic simulation of growth in pigs: relations between body composition and maintenance requirements as mediated through protein turn-over and thermoregulation. *Anim. Sci.* 71, 11–30.
- Le Bellego, L., van Milgen, J., Dubois, S., Noblet, J. 2001. Energy utilization of low-protein diets in growing pigs. *J. Anim. Sci.* 79, 1259–1271.
- Lordelo, M.M., Gaspar, A.M., Le Bellego, L., Freire, J.P.B. 2008. Isoleucine and valine supplementation of a low-protein corn-wheat-soybean meal-based diet for piglets: Growth performance and nitrogen balance. *J. Anim. Sci.* 86, 2936–2941.
- Metzler-Zebeli, B.U., Zebeli, Q. 2013. Cereal β-glucan alters nutrient digestibility and microbial activity in the intestinal tract of pigs, and lower manure ammonia emission: A meta-analysis. *J. Anim. Sci.* 91, 3188–3199.

MCTI (Ministério da Ciência, Tecnologia e Inovação), 2013. Estimativas anuais de gases de efeito estufa no Brasil. De: (<http://www.mct.gov.br/index.php/content/view/347281.html>) (Acesso 09/03/2014).

Möhn, S., de Lange, C.F. 1998. The effect of body weight on the upper limit to protein deposition in a defined population of growing gilts. *J. Anim. Sci.* 76, 124–133.

Montes, F., Meinen, R., Dell, C., Rotz, A., Hristov, A.N., Oh, J., Waghorn, G., Gerber, P.J. Henderson, B., Makkar, H.P.S., Dijkstra, J. 2013. Mitigation of methane and nitrous oxide emissions from animal operations: II. A review of manure management mitigation options. *J. Anim. Sci.* 91, 5070–5094.

NRC, 1998. Nutrient Requirements of Swine, 10nd ed. National Academy Press, Washington, DC.

Oresanya, T.F., Beaulieu, A.D., Patience, J.F., 2008. Investigations of energy metabolism in weanling barrows: The interaction of dietary energy concentration and daily feed (energy) intake. *J. Anim. Sci.* 86, 348–363.

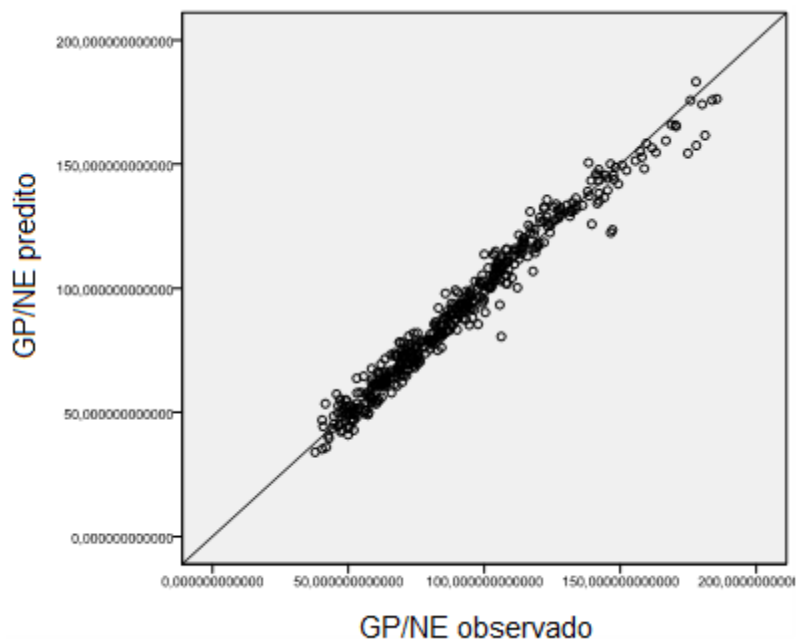
Patrás, P., Nitrayová, S., Brestenský, M., Heger, J. 2012. Effect of dietary fiber and crude protein content in feed on nitrogen retention in pigs. *J. Anim. Sci.* 90, 158–160.

Rostagno, H.S., Albino, L.F.T., Donzele, J.L. 2005. Tabelas brasileiras para aves e suínos: composição de alimentos e exigências nutricionais. 2nd ed. Universidade Federal de Viçosa, MG, Brazil.

Rostagno, H.S., Albino, L.F.T., Donzele, J.L., 2011. Tabelas brasileiras para

- aves e suínos: composição de alimentos e exigências nutricionais. 3nd ed. Universidade Federal de Viçosa, MG, Brazil.
- Roth, F.X., Gotterbarm, G.G., Windisch, W., Kirchgessner. 1999. Influence of dietary level of dispensable amino acids on nitrogen balance and whole-body protein turnover in growing pigs. *J.Anim. Physiol. Anim. Nutr.* 8, 1232–238.
- Saintilan, R., Mérour, I., Brossard, L., Tribout, T., Dourmad, J.Y., Sellier, P., Bidanel, J., van Milgen, J., Gilbert, H. 2013. Genetics of residual feed intake in growing pigs: Relationships with production traits, and nitrogen and phosphorus excretion traits. *J. Anim. Sci.* 91, 2542–2554.
- Sauvant, D., Schmidely, P., Daudin, J.J., St-Pierre, N.R. 2008. Meta-analyses of experimental data in animal nutrition. *Animal.* 8, 1203–1214.
- Shirali, M., Doeschl-Wilson, A., Knap, P.W., Duthie, C., Kanis, E., van Arendonk, J.A.M., Roehe, R. 2012. Nitrogen excretion at different stages of growth and its association with production traits in growing pigs. *J. Anim. Sci.* 90, 1756–1765.
- van Milgen, J.; Noblet, J. 2003. Partitioning of energy intake to heat, protein, and fat in growing pigs. *J. Anim. Sci.* 81, E86–E93.
- Webb, J., Broomfield, M., Jones, S., Donovan, Brian. 2014. Ammonia and odour emissions from UK pig farms and nitrogen leaching from outdoor pig production. A review. *Sci. Total Environ.* 470-471, 865 – 875.
- Whittemore, C.T., Kyriazakis, I. 1993. The science and practice of pig production. Longman Scientific and Technical, Harlow.
- Yáñez, J.L. Landero, J.L., Owusu-Asiedu, M., Cervantes, M., Zijlstra, R.T. 2013.

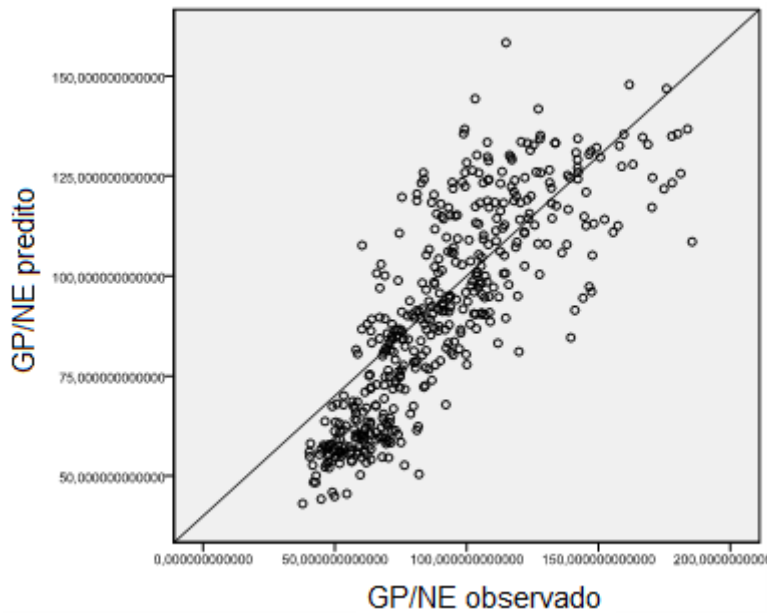
Growth performance, diet nutrient digestibility, and bone mineralization in weaned pigs fed pelleted diets containing thermostable phytase. J. Anim. Sci. 91, 745–754.



**Figura 1**

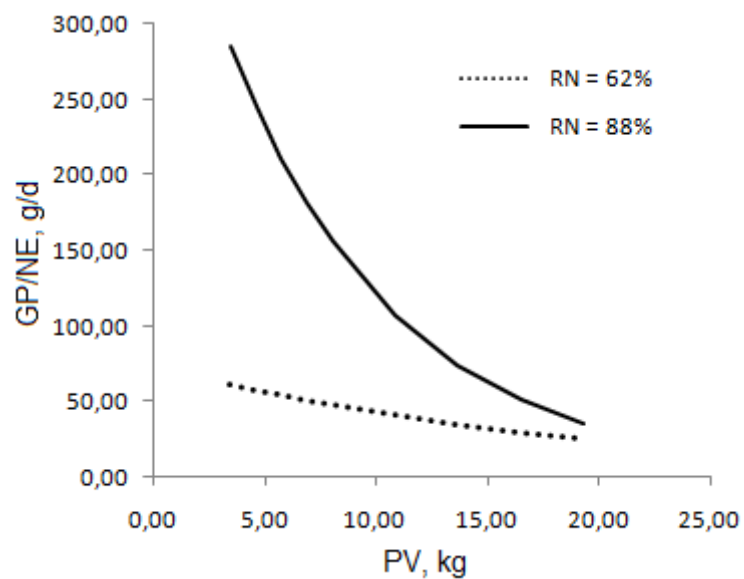
Resposta do ganho de peso/nitrogênio excretado (GP/NE, g/d) observado em relação ao predito, de acordo com: N ingerido (g/d), EM ingerida (kcal/d), conversão alimentar (g/g), consumo de ração/peso vivo médio (g/d/kg), retenção de N, (%), peso vivo inicial (kg) e peso vivo final (kg). Modelo I:

$$\text{GP/NE} = \exp [1,923 - 0,077 * \text{Ni} + 0,041 * \text{RN} + 0,0008 * \text{CR/PVm} - 0,578 * \text{CA} + 0,132 * \text{PVI} + 0,016 * \text{Ni} * \text{CA} + 0,0000011 * \text{RN} * \text{EMi} - 0,03 * \text{RN} * \text{PVI} + 0,002 * \text{RN} * \text{PVF}]. R^2 = 0,97.$$



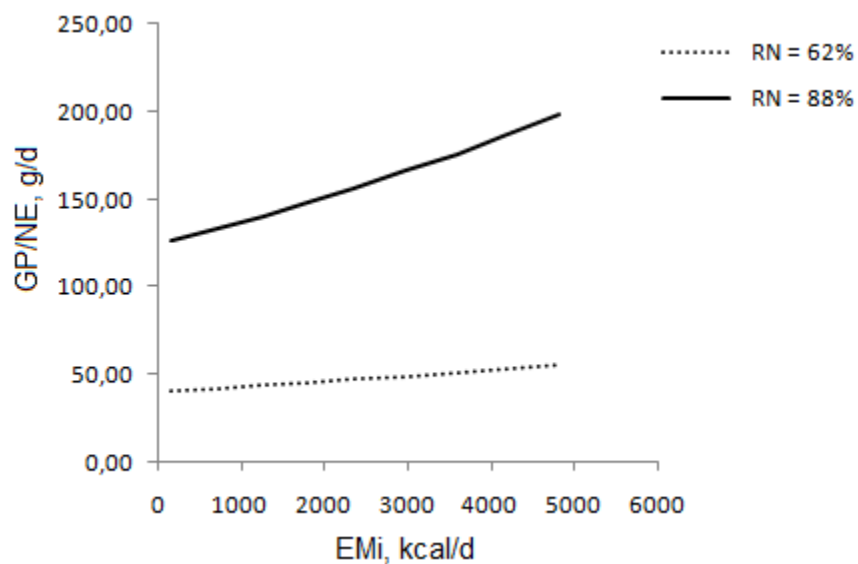
**Figura 2**

Resposta do ganho de peso/nitrogênio excretado (GP/NE, g/d) observado em relação ao predito, de acordo com: N ingerido (g/d), EM ingerida (kcal/d), conversão alimentar (g/g), consumo de ração/peso vivo médio (g/d/kg) e peso vivo inicial (kg). Modelo II:  $GP/NE = \exp [4,703 - 0,035 * Ni - 0,392 * CA + 0,062 * PVF + 0,00016 * EMi + 0,007 * CR/PVm * CA - 0,032 * CA * PVF]$ .  $R^2 = 0,73$ .



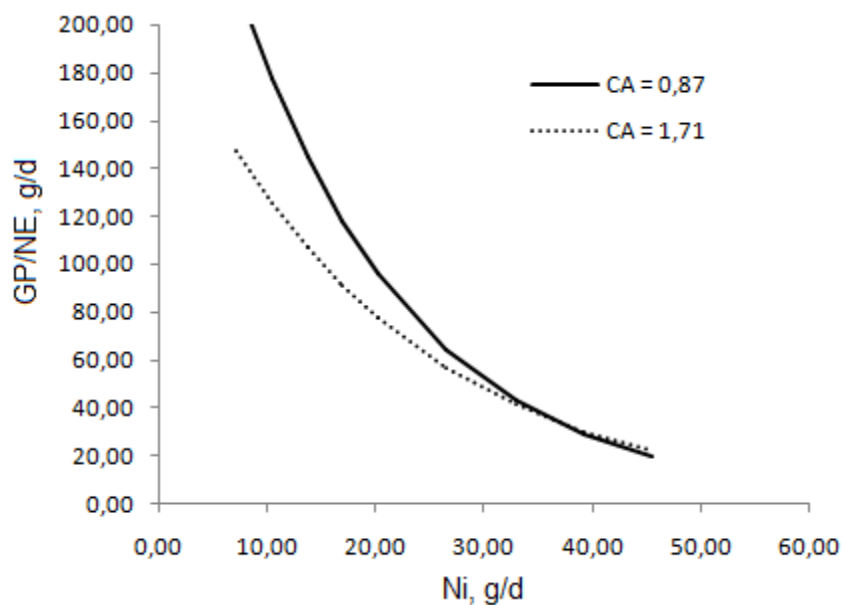
**Figura 3**

Eficiência ganho de peso/nitrogênio excretado (GP/NE, g/d) em função da interação: peso vivo (PV, kg) x retenção de nitrogênio (RN, %). Modelo I.



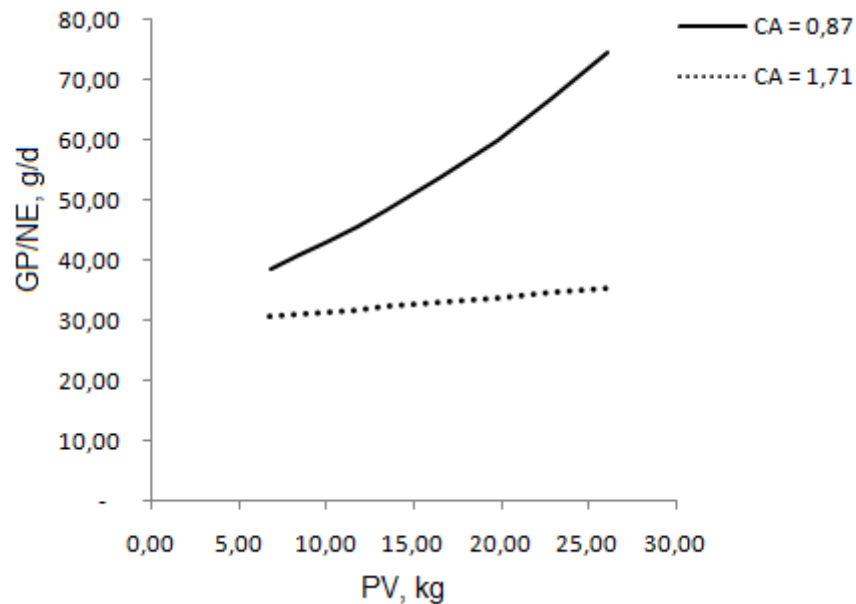
**Figura 4**

Eficiência do ganho de peso/nitrogênio excretado (GP/NE, g/d) em função da interação: consumo de energia metabolizável (EM, kcal/d) x retenção de nitrogênio (RN, %). Modelo I.



**Figura 5**

Eficiência do ganho de peso/nitrogênio excretado (GP/NE, g/d) em função da interação: consumo de nitrogênio (g/d) x conversão alimentar (CA). Modelo I.



**Figura 6**

Eficiência do ganho de peso/nitrogênio excretado (GP/NE, g/d) em função da interação: peso vivo (g/d) x conversão alimentar (CA). Modelo II.

**Tabela 1**

Estatística descritiva dos principais ingredientes e composição média das dietas

	N	Média	d.p.	Mínimo	Máximo
<b>Ingredientes (%)</b>					
Milho	337	35,14	16,69	0,00	53,30
Milho cozido	212	38,10	21,94	0,00	62,61
Farelo soja	491	17,02	9,01	0,00	35,94
Soja desativada	53	8,21	11,61	0,00	30,00
Soja micronizada	116	11,55	11,29	0,00	30,00
Proteína isolada de soja	93	2,17	1,95	0,00	5,00
Leite em pó integral	155	6,42	4,94	0,00	15,87
Lactose	92	7,27	2,52	0,00	10,00
Glicerol	31	7,58	5,14	0,00	15,00
Glúten Milho	399	3,81	1,66	2,00	7,00
Açúcar	491	2,99	0,05	2,55	3,00
Plasma suíno	303	3,19	1,33	1,00	5,00
Soro leite	336	12,97	4,99	3,63	20,00
Nuklospray E50 <sup>a</sup>	63	25,08	5,04	20,00	30,00
Extrato Levedura	30	2,53	1,81	0,00	5,00
Betaglucano <sup>b</sup>	30	0,02	0,01	0,00	0,04
Promosoy 90 <sup>c</sup>	61	5,31	1,97	3,32	7,24
Trigo Cru	58	7,89	17,44	0,00	45,76
Trigo Cozido	58	7,89	17,44	0,00	45,76
Arroz Cru	58	7,87	17,38	0,00	45,62
Arroz Cozido	58	7,87	17,38	0,00	45,62
Leite pó desnatado	58	12,00	0,00	12,00	12,00
Cevada	39	10,00	0,00	10,00	10,00
Óleo	246	2,93	1,11	0,73	5,50
Farelo arroz integral	63	6,97	4,96	0,00	15,00
Gordura	119	3,43	1,65	1,28	5,40
Fosfato	492	1,33	0,27	0,98	1,92
L-Lisina	491	0,43	0,08	0,29	0,57
DL-Metionina	491	0,22	0,06	0,10	0,35
L-Treonina	430	0,15	0,03	0,06	0,23
L-Triptofano	311	0,03	0,03	0,00	0,10
Acidificante	491	0,27	0,11	0,00	0,40
Óxido de zinco	491	0,12	0,12	0,00	0,40
Antibiótico	491	0,04	0,03	0,00	0,10
<b>Composição calculada</b>					
EM (kcal/kg)	491	3550	184	3194	4034
PB (%)	491	20,17	1,32	17,50	24,00
Lisina total (%)	491	1,44	0,11	1,13	1,71
Ca (%)	491	0,73	0,07	0,60	0,93

P (%)	491	0,48	0,02	0,43	0,55
Gordura (%)	391	6,51	2,94	1,17	11,15

<sup>a</sup> Nuklospray E50®(Sloten do Brasil Ltda, Santos, São Paulo, Brasil)

<sup>b</sup> Betaglucano (Betamune, Biorigin – São Paulo, Brasil)

<sup>c</sup> Promosoy 90® (Central Soya Inc., Chicago, Ill)

d.p = desvio padrão

**Tabela 2**

Estatística descritiva das variáveis associadas aos modelos

Variáveis	Nº observações	Média	d.p	Mínimo	Máximo
Dependente					
GP/NE <sup>a</sup>	478	90,99	31,01	37,76	185,52
Covariáveis					
EMi <sup>b</sup> , kcal/d	491	2351	905	160	4823
Ni, g/d	491	20,20	8,31	7,19	45,59
CR/PVm <sup>c</sup> g/d/kg	491	48,04	9,81	21,72	77,52
RN <sup>d</sup> , %	487	74,99	6,46	50,33	90,05
CA <sup>e</sup> , g/g	487	1,29	0,21	0,83	2,38
PVI <sup>f</sup> , kg	491	8,05	2,95	3,48	19,30
PVF <sup>g</sup> , kg	491	13,38	4,50	6,82	26,10

<sup>a</sup> Ganho de peso em relação ao nitrogênio excretado. <sup>b</sup> Energia metabolizável ingerida (consumo de ração X energia metabolizável analisada/número de dias de coleta). <sup>c</sup> Consumo de ração em relação ao peso vivo médio .<sup>d</sup> Coeficiente de retenção de nitrogênio .<sup>e</sup> Conversão alimentar. <sup>f</sup> Peso vivo inicial. <sup>g</sup> Peso vivo final.

d.p = desvio padrão

**Tabela 3**

Estatística descritiva das variáveis de desempenho e digestibilidade

Item	Nº observações	Média	d.p	Mínimo	Máximo
<b>Desempenho (g/d)</b>					
Consumo de ração	491	526,4	212,1	150,6	1104,3
Ganho de peso	491	406,3	147,5	135,0	918,6
<b>Digestibilidade (%)</b>					
Matéria seca	491	89,73	3,53	76,65	97,25
Proteína bruta	491	88,00	5,48	70,07	97,86
Gordura bruta	177	78,97	12,02	42,98	96,48
Energia bruta	491	89,90	3,70	75,04	97,69

<sup>a</sup> d.p = desvio padrão

**Tabela 4**

Respostas das variáveis explicativas ajustadas à eficiência de ganho do peso em relação ao nitrogênio excretado (GP/NE)

Variáveis do modelo <sup>a</sup>	GP/NE <sup>b</sup>					
	Modelo I			Modelo II <sup>c</sup>		
	Coeficiente	d.p.	P-valor	Coeficiente	d.p.	P-valor
Intercepto	1,923	0,1474	**	4,703	0,2163	**
RN	0,041	0,0020	**			
Ni	-0,077	0,0036	**	-0,035	0,0050	**
CR/PVm	0,008	0,0008	**			ns
CA	-0,578	0,0459	**	-0,392	0,1938	*
EMi <sup>d</sup>			ns	0,00016	0,0000	ns
PVI	0,132	0,0168	**			ns
PVF			ns	0,062	0,0146	**
Ni x CA	0,016	0,0023	**			ns
EMi x RN	0,0000011	0,0000	**			ns
PVI x RN	-0,003	0,0003	**			ns
PVF x RN	0,002	0,0000	**			ns
CR/PVm x CA			ns	0,007	0,0012	**
PVF x CA			ns	-0,032	0,0113	**
Nº ensaios			10			
Nº tratamentos			62			
Nº observações			473			
R <sup>2</sup>		0,97			0,73	
e.p.r		5,49			0,18	

RN = retenção de nitrogênio, Ni = nitrogênio ingerido, CR/PVm = consumo de ração/peso vivo médio, CA = conversão alimentar, EMi = Energia metabolizável ingerida, PVI = peso vivo inicial, PVF = peso vivo final

<sup>a</sup> Somente variáveis significativas ( $P < 0,05$ ) são apresentadas.

<sup>b</sup> Ganho de peso em relação ao nitrogênio excretado.

<sup>c</sup> Modelo II não incluiu a variável coeficiente de retenção de nitrogênio na análise.

<sup>d</sup> Energia metabolizável ingerida (consumo de ração X energia metabolizável analisada/número de dias de coleta).

d.p. = desvio padrão

e.p.r = erro padrão residual.

ns = não significativo.

$^{**}P < 0,001$

$^{*} P < 0,05$



**CAPÍTULO IV**



## CONSIDERAÇÕES FINAIS

Este trabalho foi realizado em duas etapas.

A primeira etapa consistiu de um estudo no qual o foco foi avaliar o efeito dos níveis de energia da dieta sobre as variáveis de desempenho, digestibilidade, composição corporal e eficiência energética em leitões recém desmamados. Ainda há uma grande lacuna no conhecimento sobre a utilização de energia em animais leves ao desmame. Esperava-se que com o aumento da concentração de energia e nutrientes da dieta, mantendo relação lisina:EM, esses animais fossem capazes de atingir crescimento compensatório. No entanto, não observamos algum efeito do incremento energético e de nutrientes sobre as respostas de desempenho desses animais.

O baixo peso dos leitões ao desmame pode ser consequência do baixo peso ao nascimento e reduzido potencial genético para hipertrofia muscular, devido a uma restrição experimentada durante o desenvolvimento uterino. Estes animais são chamados de IUGR e, geralmente apresentam alto percentual de gordura na carcaça, subdesenvolvimento dos órgãos, desempenho aquém do esperado e altas taxas de mortalidade. Nossos resultados não nos permitem concluir que os leitões leves não eram IUGR, porém podemos fazer algumas inferências; leitões leves não apresentaram carcaça mais gorda; os órgãos não estavam subdesenvolvidos; consumo de ração e ganho de peso foram piores quando comparado com leitões pesados, porém dentro da variação normal encontrada na literatura; durante todo o período experimental, a ocorrência de diarreias foi esporádica (para leves e pesados) e não representou uma limitação ao desempenho. Desta forma, seria recomendável que no estudo do metabolismo energético sobre as respostas de leitões desmamados, o peso ao nascimento fosse considerado, evitando possíveis confundimento dos resultados.

O segundo estudo foi realizado com o objetivo de investigar as principais variáveis que influenciam a eficiência do ganho de peso em função do nitrogênio excretado em leitões desmamados. Este conceito foi “criado” para atender a demanda por uma produção sustentável: manter o foco no desempenho, mas ao mesmo tempo tentar mitigar o impacto ambiental causado pelo excesso de dejetos dos leitões. Nossos resultados estão de acordo com aqueles obtidos com outras espécies em relação à produtividade e excreção ou emissão de gases. O avanço genético ocorrido nas últimas décadas tem proporcionado animais cada vez mais produtivos e menos poluidores. Especificamente em leitões desmamados, os valores de digestibilidade dos nutrientes e retenção de nitrogênio estão na faixa de 70-90%.

As equações de predição da eficiência mostraram que os principais fatores associados com a redução na eficiência de leitões são o excesso de nitrogênio da dieta e a piora na conversão alimentar. Desta forma, este trabalho concorda com resultados da literatura que mostram que a redução da proteína bruta da dieta, mantendo as exigências de aminoácidos, é benéfica em ambos os aspectos, produtivo e de excreção.

A realização deste trabalho incorreu em intenso aprendizado,

principalmente no que se refere à meta-análise, para a qual minha experiência pessoal era apenas de ouvir falar. Quando a mim foi proposta a realização de ambos os estudos, surgiu a incógnita de como transformá-los em uma tese quando, a princípio, eles pareciam completamente independentes. Porém durante o levantamento bibliográfico e discussão dos artigos, pude perceber que na verdade havia uma enorme identidade entre eles. A meta-análise, por exemplo, revelou que animais melhoraram a eficiência do ganho de peso/N excretado quando se fornece aos leitões dietas com elevados níveis de energia. Já na ótica de produção do estudo I, o aumento dos níveis de energia da dieta não favorece o desempenho. Desta forma, pude ter uma visão holística dos resultados.

As equações obtidas no estudo II foram aplicadas aos resultados obtidos no estudo I. A estatística descritiva desta análise está apresentada na seguinte tabela:

GP/NE, g/d	Nº observações	Média	d.p	Mínimo	Máximo
Modelo I	32	180,4	83,44	61,55	386
Modelo II	32	18,50	4,52	9,87	26,62

## REFERÊNCIAS BIBLIOGRÁFICAS

AGRICULTURE RESEARCH COUNCIL. **The Nutrient Requirements of Pigs.** Slough, England: Commonwealth Agricultural Bureaux, 1981.

AGRINESS. Disponível em: <<http://www.agriness.com.br/home.php>>. Acesso em: 20 mar. 2014.

ALVARENGA, A. L. N. et al. Intra-uterine growth retardation affects birth weight and post natal development in pigs, impairing muscle accretion, duodenal mucosa morphology and carcass traits. **Reproduction Fertility and Development**, Collingwood, v. 25, n. 2, p. 387-395, 2012.

ARNAIZ, V. et al. Efecto del peso al destete, temperatura ambiental y energía metabolizable del pienso en lechones recién destetados. **Revista Brasileira de Ciências Agrárias**, Recife, v. 4, n. 4, p. 472-478, 2009.

ASSOCIAÇÃO BRASILEIRA DE PROTEÍNA ANIMAL. Relatório ABIPECS 2012 - 2013. **ABPA**, São Paulo. 8 p. Disponível em: <[http://www.abipecs.org.br/uploads/relatorios/relatorios-associados/ABIPECS\\_relatorio\\_2012\\_pt.pdf](http://www.abipecs.org.br/uploads/relatorios/relatorios-associados/ABIPECS_relatorio_2012_pt.pdf)>. Acesso em: 14 fev. 2014.

ASSOCIATION OF OFFICIAL ANALYTICAL CHEMISTS. **Official methods of analysis**. 15. ed. Washington, DC: Association of Official Analytical Chemists, 1990. 1094 p.

AZAIN, M. J. Fat in swine nutrition. In: LEWIS, A. J.; SOUTHERN, L. L. (Ed.). **Swine nutrition**. 2<sup>nd</sup> edition. Boca Raton: CRC, 2001. p. 95–105.

BAREA, R. et al. Energy utilization in pigs selected for high and low residual feed intake. **Journal of Animal Science**, Champaign, v. 88, n. 6, p. 2062-2072, 2010.

BAXTER, E. M. et al. The welfare implications of large litter size in the domestic pig II:management factors. **Animal Welfare**, Hertfordshire, v. 22, n. 2, p. 219-238, 2013.

BEAULIEU, A. D.; LEVESQUE, C. L.; PATIENCE, J. F. The effects of dietary

energy concentration and weaning site on weanling pig performance. **Journal of Animal Science**, Champaign, v. 84, n. 5, p. 1159-1168, 2006.

BEAULIEU, A. D. et al. Impact of piglet birth weight, birth order, and litter size on subsequent growth performance, carcass quality, muscle composition, and eating quality of pork. **Journal of Animal Science**, Champaign, v. 90, p. 4072-4080, 2010.

BEE, G. Effect of early gestation feeding, birth weight, and gender of progeny on muscle fiber characteristics of pigs at slaughter. **Journal of Animal Science**, Champaign, v. 82, n. 3, p. 826-836, 2004.

BÉRARD, J.; KREUZER, M.; BEE, G. Effect of litter size and birth weight on growth, carcass and pork quality, and their relationship to postmortem proteolysis. **Journal of Animal Science**, Champaign, v. 86, n. 9, p. 2357-2368, 2008.

BÉRARD, J. et al. Intrauterine crowding decreases average birth weight and affects muscle fiber hyperplasia in piglets. **Journal of Animal Science**, Champaign, v. 88, n. 10, p. 3242-3250, 2010.

BERROCOSO, J. D. et al. Influence of crude protein content, ingredient complexity, feed form, and duration of feeding of the Phase I diets on productive performance and nutrient digestibility of Iberian pigs. **Journal of Animal Science**, Champaign, v. 91, n. 3, p. 1237-1246, 2013

BODDICKER, N. et al. Effects of ad libitum and restricted feeding on early production performance and body composition of Yorkshire pigs selected for reduced residual feed intake. **Animal**, Cambridge, v. 5, n. 9, p. 1344-1353, 2011.

BROUWER, E. On simple formula for calculating the heat expenditure and the quantities of carbohydrate and fat metabolized in ruminants, from data on gaseous exchange and urine-N. In: SYMPOSIUM ENERGY METABOLISM, 1958, Copenhagen. **Proceedings...** Copenhagen: EAAP Publication, 1958. p. 15-19.

BRUININX, E. M. et al. Individually measured feed intake characteristics and growth performance of group-housed weaned pigs: Effects of sex, initial body

weight, and body weight distribution within groups. **Journal of Animal Science**, Champaign, v. 79, n. 2, p. 301-308, 2001.

CABRERA, R. A. et al. Impact of lactation length and piglet weaning weight on long-term growth and viability of progeny. **Journal of Animal Science**, Champaign, v. 88, n. 7, p. 2265-2276, 2010.

CAMPBELL, R. G., DUNKIN, A. C. The effect of energy intake and dietary protein on nitrogen retention, growth performance, body composition and some aspects of energy metabolism of baby pigs. **British Journal of Nutrition**, Cambridge, v. 49, n. 2, p. 221-230, 1983

CAMPBELL, R. G.; TAVERNE, M. R.; CURIC, D. M. The influence of feeding level from 20 to 45 kg live weight on the performance and body composition of female and entire male pigs. **Animal Production**, Bletchley, v. 36, n. 2, p. 193-199, 1983.

CAMPBELL, R.; TAVERNE, M. R.; CURIC, D. M. The influence of feeding level on the protein requirement of pigs between 20 and 45 kg live weight. **Animal Production**, Bletchley, v. 40, n. 3, p. 489-496, 1985.

CAMPBELL, R. G.; TAVERNER, M. R. Genotype and sex effects on the relationship between energy intake and protein deposition in growing pigs. **Journal of Animal Science**, Champaign, v. 66, n. 3, p. 676-686, 1988.

CAMPOS, P. H. R. F. et al. Effects of sow nutrition during gestation on within-litter birth weight variation: a review. **Animal**, Cambridge, v. 6, n. 5, p. 797-806, 2011.

CHWALIBOG, A. **Husdyrernæring, bestemmelse af næringsværdi og Næringsbehov**. Copenhagen: Faculty of Life Sciences, University of Copenhagen. DSR forlag. [1993]. 180 p.

CHWALIBOG, A. et al. Energy metabolism and substrate oxidation in pigs during feeding, fasting and re-feeding. **Journal of Animal Physiology and Animal Nutrition**, Berlin, v. 88, n. 3-4, p. 101-112, 2004.

CLOSE, W. H.; MOUNT, L. E. The influence of plane of nutrition and

environmental temperature on heat loss and energy retention in the pig. **Proceedings of the Nutrition Society**, Cambridge, v. 35, n. 2, p. 60A-61A, 1976.

CLOSE, W. H. The effect of plane of nutrition and environmental temperature on the energy metabolism of the growing pig. 3. The efficiency of energy utilization for maintenance and growth. **British Journal of Nutrition**, Cambridge, v. 40, n. 3, p. 433-438, 1978.

DHAKAL, S. et al. Uterine spaciousness during embryo and fetal development in multiparous sows improves birth weight and postnatal growth performance. **Livestock Science**, Amsterdam, v. 153, n. 1-3, p. 154-164, 2013.

D'INCA, R. et al. Intrauterine growth restriction delas feeding-induced gut adaptation in term newborn pigs. **Neonatology**, Basel, v. 99, p. 208-2016, 2011.

DONG, G. Z.: PLUSKE, J. R. The low feed intake in newly-weaned pigs: problems and possible solutions. **Asian-Australasian Journal of Animal Science**, Korea, v. 20, n. 3, p. 440-452, 2007

DONZELE, J. L. et al. Digestibilidade e metabolizabilidade da energia de rações com diferentes níveis de óleo de soja para suínos. **Revista Brasileira de Zootecnia**, Viçosa, v. 27, n. 5, p. 922-927, 1988.

DOUGLAS, S. L. et al. Management strategies to improve the performance of low birth weight pigs to weaning and their long term consequences. **Journal of Animal Science**, Champaign, v. 26, 2014.

DOURMAD, J. Y.; JONDREVILLE, C. Impact of nutrition on nitrogen, phosphorus, Cu and Zn in pig manure, and on emissions of ammonia and odours. **Livestock Science**, Amsterdam, v. 112, n. 3, p. 192-198, 2007.

DOURMAD, J. Y. et al. Nitrogen consumption, utilisation and losses in pig production in France, The Netherlands and Denmark. **Livestock Production Science**, Amsterdam, v. 58, n. 3, p. 199-211, 1999.

DOURMAD, J. Y. et al. Influence of pig rearing system on animal performance

and manure composition. **Animal**, Cambridge, v. 3, n. 4, p. 606-616, 2009.

DOURMAD, J. Y. et al. Evaluation of environmental sustainability of different European pig production system using life cycle assessment. In: INTERNATIONAL CONFERENCE ON LIFE CYCLE ASSESSMENT IN THE AGRI-FOOD SECTOR (LCAFood 2012), 8., 2012, Rennes, França. **Proceedings...** Rennes, França: [s.n.], 2012. p. 20-25.

DUBE, B. et al. Non genetic factors affecting growth performance and carcass characteristics of two South African pig breeds. **South African Journal of Animal Science**, Hatfield, v. 41, n. 2, p. 161-176, 2011.

DUNSHEA, F. R. et al. Interrelationships between dietary ractopamine, energy intake, sex in pigs. **Australian Journal of Agricultural Research**, Victoria, v. 49, p. 565-574, 1998.

DWYER, C. M.; FLETCHER, J. M.; STICKLAND, N. C. Muscle cellularity and postnatal growth in the pig. **Journal of Animal Science**, Champaign, v. 71, n. 12, p. 3339-3343, 1993.

ERIKSSON, I. S. et al. Environmental system analysis of pig production – the impact of feed choice. **International Journal of Life Cycle Assessment**, [S.I.], v. 10, n. 2, p. 143-154, 2005.

FIX, J. S. et al. Effect of piglet birth weight on survival and quality of commercial market swine. **Livestock Science**, Amsterdam, v. 132, n. 1-3, p. 98-106, 2010.

FOXCROFT, G. R. et al. The biological basis for prenatal programming of postnatal performance in pigs. **Journal of Animal Science**, Champaign, v. 84, p. E105-E112, 2006.

GARCIA-LAUNAY, F. et al. Evaluation of the environmental implications of the incorporation of feed-use amino acids in pig production using Life Cycle Assessment. **Livestock Science**, Amsterdam, v. 161, p. 158-175, 2014.

GATEL, F.; BURON, G.; FEKETE, J. Total amino acid requirements of weaned piglets 8 to 25 kg live weight given diets based on wheat and soya-bean meal fortified with free amino acids. **Animal Production**, Bletchley, v. 54, n. 2, p.

281-287, 1992.

GLASS, G. V. Primary, secondary, and meta-analysis of research. **Educational Researcher**, Washington, v. 5, n. 10, p. 3-8, 1976.

GLOAGUEN, M. et al. Response of piglets to the standardized ileal digestible isoleucine, histidine and leucine supply in cereal-soybean meal-based diets. **Animal**, Cambridge, v. 7, n. 6, p. 901-908, 2013.

GLOAGUEN, M. et al. The use of free amino acids allows formulating very low crude protein diets for piglets. **Journal of Animal Science**, Champaign, v. 92, n. 2, p. 637-644, 2014.

GONDRET, F. et al. Low birth weight is associated with enlarged muscle fiber area and impaired meat tenderness of the longissimus muscle in pigs. **Journal of Animal Science**, Champaign, v. 84, n. 1, p. 93-103, 2006.

GONDRET, F. et al. Influence of piglet birth weight on postnatal growth performance, tissue lipogenic capacity and muscle histological traits at market weight. **Livestock Production Science**, Amsterdam, v. 93, n. 2, p. 137-146, 2005.

GRAHAM, P. L.; MAHAN, D. C.; SHIELDS JUNIOR, R. G. Effect of starter diet and length of the feeding regime on performance and digestive activity of 2-week old weaned pigs. **Journal of Animal Science**, Champaign, v. 53, p. 299-307, 1981.

GRIZZETTI, B. et al. Nitrogen as a threat to European Water Quality. In: SUTTON, M. A. et al. (Ed.). **The European Nitrogen Assessment**. Cambridge, UK: Cambridge University Press, 2011. p. 379-404.

GUGGENBUHL, P.; WACHÉ, Y.; WILSON, J. W. Effects of dietary supplementation with a protease on the apparent ileal digestibility of the weaned piglet. **Journal of Animal Science**, Champaign, v. 90, p. 152-154, 2012.

HENN, J. D. **Modelagem da emissão de dióxido de carbono na produção de frangos de corte**. 2013. 186 f. Tese (Doutorado em Zootecnia) – Programa

de Pós-Graduação em Zootecnia, Departamento de Zootecnia, Faculdade de Agronomia, Universidade Federal do Rio Grande do Sul, Porto Alegre, 2013.

HEO, J. M. et al. Feeding a diet with decreased protein content reduces indices of protein fermentation and the incidence of postweaning diarrhea in weaned pigs challenged with an enterotoxigenic strain of *Escherichia coli*. **Journal of Animal Science**, Champaign, v. 87, n. 9, p. 2833-2843, 2009.

HUME, D. A.; WHITELAW, C. B. A.; ARCHIBALD, A. L. The future of animal production: improving productivity and sustainability. **The Journal of Agricultural Science**, Cambridge, v. 149, p. 9-16, 2011.

HUTCHINGS, J. N. et al. Modelling the potential of slurry management technologies to reduce the constraints of environmental legislation on pig production. **Journal of Environment Management**, Londres, v. 130, p. 447-456, 2013.

IRWIG, L. A statistician at met-analysis: discussion. **Journal of Clinical Epidemiology**, New Haven, v. 48, n. 1, p. 105-108, 1995.

JONES, C. K. et al. Characterizing growth and carcass composition differences in pigs with varying weaning weights and postweaning performance. **Journal of Animal Science**, Champaign, v. 90, n. 11, p. 4072-4080, 2012.

KESSLER, A. A. O significado da conversão alimentar para suínos em crescimento: sua relevância para modelagem e características de carcaça. In: CONFERÊNCIA INTERNACIONAL VIRTUAL SOBRE QUALIDADE DE CARNE SUÍNA, 2., 2001, Concórdia. **Anais...** Concórdia: [s.n.], 2001. p. 360-369.

KNAP, P. W. Stochastic simulation of growth in pigs: relations between body composition and maintenance requirements as mediated through protein turnover and thermoregulation. **Journal of Animal Science**, Champaign, v. 71, p. 11-30, 2000.

KUNRATH, M. A. et al. Metodologias de avaliação do valor nutricional do farelo de arroz desengordurado para suínos. **Pesquisa Agropecuária Brasileira**, Brasília, v. 45, n. 10, p. 1172-1179, 2010.

KYRIAZAKIS, I.; EMMANS, G. C. The effects of varying protein and energy

intakes on the growth and body composition of pigs. The effects of varying both energy and protein intake. **British Journal of Nutrition**, Cambridge, v. 68, n. 3, p. 615-625, 1992.

LABUSSIÈRE, E. et al. Partitioning of heat production in growing pigs as a tool to improve the determination of efficiency of energy utilization. **Frontier in Physiology**, [S.I.], v. 4, n. 146, p. 2013.

LAWLOR, P. G et al. Effect of pre and post-weaning management on subsequent pig performance to slaughter and carcass quality. **Journal of Animal Science**, Champaign, v. 75, p. 245-256, 2002.

LEANDRO, G. **Meta-analysis in medical research**. The handbook for the understanding and practice of meta-analysis. BMJ Books, Blackwell Publishing, 2005. 112 p.

LE BELLEGO, L. et al. Energy utilization of low-protein diets in growing pigs. **Journal of Animal Science**, Champaign, v. 79, n. 5, p. 1259-1271, 2001.

LE BELLEGO, L.; NOBLET, J. Performance and utilization of dietary energy and amino acids in piglets fed low protein diets. **Livestock Production Science**, Amsterdam, v. 76, n. 1-2, p. 45-58, 2002.

LIMA, G. J. M. M.; MORÉS, N.; SANCHES, R. L. As diarréias nutricionais na suinocultura. **Acta Scientiae Veterinarie**, Porto Alegre, v. 37, p. 17-30, 2009.

LIU, J. et al. Intrauterine growth retardation increases the susceptibility of pigs to high-fat diet-induced mitochondrial dysfunction in skeletal muscle. **PLoS ONE**, [S.I.], n. 7, v. 4, 2012.

LIU, Z. et al. Ammonia and Hydrogen Sulfide Emissions from Swine Production Facilities in North America: a Meta-Analysis. **Journal of Animal Science**, Champaign, v. 92, n. 4, p. 1656-1665, 2014.

LOPES, E. L. et al. Fontes e níveis de proteína em rações iniciais para leitões desmamados aos 21 dias de idade. **Revista Brasileira de Zootecnia**, Viçosa, v. 33, n. 6, p. 2292-2299, 2004.

LORDELO, M. M. et al. Isoleucine and valine supplementation of a low-protein

corn-wheat-soybean meal-based diet for piglets: Growth performance and nitrogen balance. **Journal of Animal Science**, Champaign, v. 86, n. 11, p. 2936-2941, 2008.

LOVATTO, P. A. et al. Meta-análise em pesquisas científicas - enfoque em metodologias. **Revista Brasileira de Zootecnia**, Viçosa, v. 36, p. 285-294, 2007.

LUIZ, A. J. B. Meta-análise: Definição, aplicações e sinergia com dados espaciais. **Cadernos de Ciência & Tecnologia**, Brasília, v. 19, n. 3, p. 407-428, 2002.

MAHAN, D. C.; LEPINE, A. J. Effect of pig weaning weight and associated nursery feeding programs on subsequent performance to 105 kilograms body weight. **Journal of Animal Science**, Champaign, v. 69, n. 4, p. 1370-1378, 1991.

METZLER-ZEBELI, B. U.; ZEBELI, Q. Cereal β-glucan alters nutrient digestibility and microbial activity in the intestinal tract of pigs, and lower manure ammonia emission: A meta-analysis. **Journal of Animal Science**, Champaign, v. 91, n. 7, p. 3188-3199, 2013.

MINISTÉRIO DA CIÊNCIA, TECNOLOGIA E INOVAÇÃO. **Estimativas anuais de gases de efeito estufa no Brasil**. Brasília: MCTI, 2013. 80 p. Disponível em: <<http://www.mct.gov.br/index.php/content/view/347281.html>>. Acesso em: 9 mar. 2014.

MÖHN, S.; de LANGE, C. F. M. The effect of body weight on the upper limit to protein deposition in a defined population of growing gilts. **Journal of Animal Science**, Champaign, v. 76, n. 1, p. 124-133, 1998.

MONTES, F. et al. Mitigation of methane and nitrous oxide emissions from animal operations: II. A review of manure management mitigation options. **Journal of Animal Science**, Champaign, v. 91, n. 11, p. 5070-5094, 2013.

MOREL, P. C. H.; WOOD, G. R. Optimization of nutrient use to maximize profitability and minimize nitrogen excretion in pig meat production systems. **Acta Horticulturae**, Hague, v. 674, p. 269-275, 2005.

NAM, D. S.; AHERNE, F. X. The effects of lysine:energy ratio on the

performance of weanling pigs. **Journal of Animal Science**, Champaign, v. 72, n. 5, p. 1247-1256, 1994.

NATIONAL RESEARCH COUNCIL. **Nutrient Requirements of Swine**. 10. ed. Washington: National Academic Press. 1998. 211 p.

NISSEN, P. M.; OKSBJERG, N. Birth weight and postnatal dietary protein level affect performance, muscle metabolism and meat quality in pigs. **Animal**, Cambridge, v. 5, n. 9, p. 1382-1389, 2011.

NOBLET, J. et al. Prediction of net energy value of feed for growing pigs. **Journal of Animal Science**, Champaign , v. 72, n. 2, p. 344-354, 1994.

NOBLET, J. Effects of reduced dietary protein level and fat addition on heat production and nitrogen and energy balance in growing pigs. **Animal Research**, Rennes, v. 50, n. 3, p. 227-238, 2001.

NOBLET, J.; van MILGUEN, J. Energy and energy metabolism in swine. In: Chiba, L. I. **Sustainable swine nutrition**. Iowa: Wile-Blackwell, 2013. p. 23-57.

NYACHOTI, C. M. et al. Voluntary feed intake in growing-finishing pigs: A review of the main determining factors and potential approaches for accurate predictions. **Canadian Journal of Animal Science**, Ottawa, v. 84, n. 4, p. 549-566, 2004.

OGINO, et al. Life cycle assessment of Japanese pig farming using low-protein diet supplemented with amino acids. **Soil Science and Plant Nutrition**, Tóquio, v. 59, n. 1, p. 107-118, 2013.

ORESANYA, T. F. **Energy metabolism in the weanling pig: effects of energy concentration and intake on growth, body composition and nutrient accretion in the empty body**. 2005. 261 f. Tese (PhD in Animal Science) - University of Saskatchewan, Saskatchewan, Canada, 2005.

ORESANYA, T. F.; BEAULIEU, A. D.; PATIENCE, J. F. Investigations of energy metabolism in weanling barrows: The interaction of dietary energy concentration and daily feed (energy) intake. **Journal of Animal Science**, Champaign, v. 86, n. 2, p. 348-363, 2008.

PARDO, C. E. et al. Intrauterine crowding impairs formation and growth of secondary myofibers in pigs. **Animal**, Cambridge, v. 7, n. 3, p. 430-438, 2013.

PARDO, C. E.; KREUZER, M.; BEE, G. Effect of average litter weight in pigs on growth performance, carcass characteristics and meat quality of the offspring as depending on birth weight. **Animal**, Cambridge, v. 7, n. 11, p. 1884–1892, 2013a.

PAREDES, S. P. et al. Analysis of factors to predict piglet body weight at the end of the nursery phase. **Journal of Animal Science**, Champaign, v. 90, n. 4, p. 3243-3251, 2012.

PAREDES, S. P. et al. Predicted high-performing piglets exhibit more and larger skeletal muscle fibers. **Journal of Animal Science**, Champaign, v. 91, n. 12, p. 5589-5598, 2013.

PASSOS, H. S. Nutrição e meio ambiente para leitões em sistema de produção com desmame precoce segregado. In: CONGRESSO BRASILEIRO DE VETERINÁRIOS ESPECIALISTAS EM SUÍNOS, 1997, Foz do Iguaçu. **Anais...** Foz do Iguaçu: [s.n.], 1997. p. 41-54.

PATRÁS, P. et al. Effect of dietary fiber and crude protein content in feed on nitrogen retention in pigs. **Journal of Animal Science**, Champaign, v. 90, n. 4, p. 158-160, 2012.

PÉRE, M. C.; ETIENNE, M. Uterine blood flow in sows: Effects of pregnancy stage and litter size. **Reproduction Nutrition Development**, Les Ulis, v. 40, n. 4, p. 369-382, 2000.

PERMENTIER, L. et al. Effect of different dietary total Lys:energy ratios and dietary energy concentrations in phase feeding from weaning to slaughter on performance and carcass measures of crossbred pigs selected for leanness. **Livestock Science**, Amsterdam, v. 155, n. 2-3, p. 332-342, 2013.

PLUSKE, J. R.; HAMPSON, D. J.; WILLIAMS, I. H. Factors influencing the structure and function of the small intestine in the weaned pig: a review. **Livestock Production Science**, Amsterdam, v. 51, n. 1-3, p. 215-236, 1997.

PLUSKE, J. R. et al. Age, sex, and weight at weaning influence organ weight and gastrointestinal development of weanling pigs. **Australian Journal of Agricultural Research**, Victoria, v. 54, p. 515-527, 2003.

PUPA, J. M. R.; ORLANDO, U. A. D.; DONZELE, J. L. Requerimentos nutricionais de suínos nas condições brasileiras. In: WORKSHOP LATINO-AMERICANO AJINOMOTO BIOLATINA, 1., 2001, Foz do Iguaçu. **Anais...** Foz do Iguaçu: [s.n.], 2001. p. 14-153.

QUINIOU, J. et al. Effect of energy intake on the performance of different types of pig from 45 to 100 kg body weight . 1. Protein and lipid deposition. **Journal of Animal Science**, Champaign, v. 63, p. 277-288, 1996.

QUINIOU, J. et al. Influence of energy supply on growth characteristics in pigs and consequences for growth modelling. **Livestock Production Science**, Amsterdam, v. 60, n. 2-3, p. 317-328, 1999.

QUINIOU, N.; NOBLET, J. Effect of the dietary net energy concentration on feed intake and performance of growing-finishing pigs housed individually. **Journal of Animal Science**, Champaign, v. 90, n. 12, p.4362-4372, 2012.

REHFELDT, C.; KUHN, G. Consequences of birth weight for postnatal growth performance and carcass quality in pigs as related to myogenesis. **Journal of Animal Science**, Champaign, v. 84, p. E113-E123, 2006.

RIBEIRO, A. M. L.; PINHEIRO, C. C.; GIANFELICE, M. Nutrientes que afetam a imunidade dos leitões. **Acta Scientiae Veterinariae**, Porto Alegre, v. 36, p. 119-124, 2008.

ROSTAGNO, H. S. et al. (Ed.). **Tabelas brasileiras para aves e suínos:** composição de alimentos e exigências nutricionais. 2. ed. Viçosa, MG: UFV, Departamento de Zootecnia, 2005. 186 p.

ROSTAGNO, H. S. et al. (Ed.). **Tabelas brasileiras para aves e suínos:** composição de alimentos e exigências nutricionais. 3. ed. Viçosa, MG: UFV, Departamento de Zootecnia, 2011. 252 p.

ROTH, F. X. et al. Influence of dietary level of dispensable amino acids on nitrogen balance and whole-body protein turnover in growing pigs. **Journal of**

**Animal Physiology and Animal Nutrition**, Berlin, v. 81, p. 1232-238, 1999.

RUTHERFORD, K. M. D. et al. The welfare implications of large litter size in the domestic pig I: biological. **Animal Welfare**, Hertfordshire, v. 22, p. 199-218, 2013

SAINTILAN, R. et al. Genetics of residual feed intake in growing pigs: Relationships with production traits, and nitrogen and phosphorus excretion traits. **Journal of Animal Science**, Champaign, v. 91, n. 6, p. 2542–2554, 2013.

SAKOMURA, N. K.; ROSTAGNO, H. S. **Métodos de pesquisa em nutrição de monogástricos**. Jaboticabal, SP: Funep, 2007. 283 p.

SAUVANT, D. et al. Meta-analyses of experimental data in animal nutrition. **Animal**, Cambridge, v. 2, n. 8, p. 1203-1214, 2008.

SCHNEIDER, J. D. et al. Determining the effect of lysine:calorie ratio on growth performance of ten- to twenty-kilogram of body weight nursery pigs of two different genotypes. **Journal of Animal Science**, Champaign, v. 88, n. 1, p. 137-146, 2010.

SHIRALI, M. et al. Nitrogen excretion at different stages of growth and its association with production traits in growing pigs. **Journal of Animal Science**, Champaign, v. 90, n. 6, p. 1756-1765, 2012.

SMITH, J. W. et al. Effects of lysine: calorie ratio on growth performance of 10- to 25-kilogram pigs. **Journal of Animal Science**, Champaign, v. 77, p. 3000–3006, 1999.

TOKACH, M. D. Effect of adding fat and (or) milk products to the weanling pig diets on performance in the nursery and subsequent grow-finish stages. **Journal of Animal Science**, Champaign, v. 73, n. 11, p. 3358-3368, 1995.

TRINDADE NETO, M. A. et al. Níveis de lisina para suínos na fase inicial-I do crescimento, desempenho e retenção de nitrogênio. **Boletim da Indústria Animal**, Nova Odessa, v. 57, n. 1, p. 65-74, 2000.

TRINDADE NETO, M. A. T. et al. Níveis de lisina para leitões na fase inicial-1 do crescimento pós-desmame: composição corporal aos 11,9 e 19,0 kg. **Revista Brasileira de Zootecnia**, Viçosa, v. 33, n. 6, p. 1777-1789, 2004.

TRINDADE NETO, M. A. T. et al. Relação lisina digestível e energia metabolizável para leitões em fase pré-inicial de creche. **Revista Brasileira de Zootecnia**, Viçosa, v. 38, n. 7, p. 1291-1300, 2009.

TRINDADE NETO, M. A. T. et al. Energy and amino acid content in phase 1 nursery diet: piglet performance and body chemical composition. **Revista Brasileira de Zootecnia**, Viçosa, v. 39, n. 6, p. 1286-1294, 2010

TRISTÁN, F. et al. Relationship of birth weight with the size, number and proportion of fibres in the pig semitendinosus muscle. **Anatomia, Histologia Embryologia**, Berlin, v. 38, n. 4, p. 275-278, 2009.

URYNEK, W.; BURACZEWSKA, L. Effect of dietary energy concentration and apparent ileal digestible lysine:metabolizable energy ratio on nitrogen balance and growth performance of young pigs. **Journal of Animal Science**, Champaign, v. 81, n. 5, p. 1227-1236, 2003.

VÁCLAVKOVÁ, E.; DANEK, P.; ROZKOT, M. The influence of piglet birth weight on growth performance. **Research in Pig Breeding**, Kostelec Nad Orlicí, v. 6, p. 1-5, 2012.

VAN LUNEN, T. A.; COLE, D. J. A. The effect of dietary concentration and lysine/digestible energy ratio on growth performance and nitrogen deposition of young hybrid pigs. **Animal Science**, Penicuik, v. 67, n. 1, p. 117-129, 1998.

VAN MILGEN, J.; NOBLET, J. Partitioning of energy intake to heat, protein, and fat in growing pigs. **Journal of Animal Science**, Champaign, v. 81, n. 14, p. E86-E93, 2003.

WANG, X. et al. Temporal proteomic analysis reveals continuous impairment of intestinal development in neonatal piglets with intrauterine growth restriction. **Journal of Proteome Research**, Boston, v. 9, n. 2, p. 924-935, 2010.

WEBB, J. et al. Ammonia and odour emissions from UK pig farms and nitrogen leaching from outdoor pig production. A review. **Science of the Total**

**Environment**, Amsterdam, v. 470, n. 471, p. 865-875, 2014.

WHANG, K. Y. et al. Effect of starter feeding programme on growth performance and gains of body components from weaning to market weight in swine. **Journal of Animal Science**, Champaign, v. 78, n. 11, p. 2885-2895, 2000.

WILLIAMS, I. H. Protein and energy relationships in the nutrition of the growing pig. **Proceedings of the Australian Society of Animal Production**, Armidale, v. 13, p. 126, 1980.

WHITTEMORE, C. T. An approach to pig growth modeling. **Journal of Animal Science**, Champaign, v. 63, p. 615-621, 1986.

WHITTEMORE, C. T.; KYRIAZAKIS, I. **Whittemore's Science and practice of pig production**. 3th ed. Harlow: Longman Scientific and Technical, 1993. 704 p.

WITTENBURG, D. et al. Analysis of birth weight variability in pigs with respect to live born and total born offspring. **Journal of Animal Breeding and Genetics**, Berlin, v. 128, n. 1, p. 35-43, 2011.

WOLTER, B. F. et al. The effect of birth weight and feeding of supplemental milk replacer to piglets during lactation on preweaning and postweaning growth performance and carcass characteristics. **Journal of Animal Science**, Champaign, v. 80, p. 301-308, 2002.

WU, G. et al. Intrauterine growth retardation: Implications for the animal sciences. **Journal of Animal Science**, Champaign, v. 84, p. 2316-2337, 2006.

YÁÑES, J. L. et al. Growth performance, diet nutrient digestibility, and bone mineralization in weaned pigs fed pelleted diets containing thermostable phytase. **Journal of Animal Science**, Champaign, v. 91, n. 2, p. 745-754, 2013.

ZHANG, Y. et al. Dietary amino acid balance and requirements for pigs weaned at three weeks of age. **Animal Production**, Bletchley, v. 39, n. 3, p. 441-448, 1984.

ZINDOVE, J. et al. Effects of within-litter birth weight variation of piglets on performance at 3 weeks of age and at weaning in a Large White-Landrace sow herd. **Livestock Science**, Amsterdam, v. 155, n. 2-3, p. 348-354, 2013.

## APÊNDICES

**Apêndice 1.** Observações experimentais: Desempenho zootécnico e dados de ultrassom no período total – 28 dias pós-desmame

EM	CATEG	IDADE	PESOINICIAL	PESOFINAL	CDR	GDP	EA	AOL	ET
3400	L	22	4,00	15,92	542	426	785	7,50	1,30
3800	L	21	4,36	19,60	557	544	977	9,40	1,40
3600	L	21	3,86	18,44	601	521	867	7,40	1,20
3800	L	21	4,72	19,74	606	536	886	10,10	1,20
3400	L	21	4,24	17,14	517	461	891	8,80	1,40
3600	L	21	4,36	17,72	490	477	975	8,80	1,20
3800	L	22	3,96	16,98	540	465	861	8,30	0,80
3400	L	21	4,96	20,26	675	546	810	12,00	1,10
3600	L	22	4,40	19,82	603	551	913	9,00	1,30
3800	L	22	5,08	16,88	588	421	716	9,60	1,30
3400	L	22	4,58	17,42	531	459	863	8,50	0,80
3600	L	22	5,24	18,48	611	473	774	9,80	0,90
3600	L	22	5,04	17,56	538	447	831	9,30	0,80
3800	L	22	4,86	18,02	571	470	824	7,90	1,10
3400	L	24	5,12	20,04	671	533	794	10,40	1,70
3800	L	24	4,44	17,36	489	461	943	10,20	0,80
3400	P	22	5,90	21,34	700	551	788	10,00	1,20
3800	P	23	7,16	22,74	589	556	945	9,90	0,90
3600	P	22	6,36	21,76	620	550	887	9,30	1,40
3800	P	24	5,72	23,06	643	619	964	11,70	1,10
3400	P	24	5,98	19,76	579	492	850	10,50	1,70
3800	P	24	7,08	25,16	809	646	798	12,70	1,20
3600	P	23	6,30	21,98	710	560	788	10,10	1,20
3400	P	24	7,02	23,92	742	604	813	11,60	1,20
3800	P	24	6,50	22,50	650	571	880	11,50	0,90
3400	P	24	7,18	25,34	855	649	759	12,90	1,70
3600	P	24	6,48	22,14	641	559	873	12,00	0,90
3600	P	24	7,24	25,56	734	654	892	10,80	1,40
3400	P	24	7,16	20,64	560	481	859	9,50	1,20
3800	P	24	7,02	25,02	769	643	835	11,90	1,70
3600	P	24	7,14	24,56	770	622	808	12,20	1,40
3400	P	24	7,12	22,96	673	566	840	11,80	1,10

EM = Energia metabolizável; CATEG = Categoria; CDR = Consumo diário de ração; GDP = Ganho diário de peso; EA = Eficiência alimentar; AOL = Área de olho de lombo ET = espessura de toucinho;

**Apêndice 2:** Observações experimentais: Digestibilidade aparente dos nutrientes no período total – 28 dias pós-desmame

EM	CATEG	IDADE	MS	EB	PB	RN	ED	EM
3400	L	22	86,34	87,06	83,65	64,10	3,73	3,44
3800	L	21	92,46	93,31	91,21	72,64	4,26	3,89
3600	L	21	89,14	89,99	89,12	70,99	3,95	3,59
3800	L	21	89,11	90,30	88,75	74,73	4,16	3,80
3400	L	21	87,06	87,76	84,32	72,54	3,74	3,44
3600	L	21	87,99	89,00	88,81	75,77	3,93	3,58
3800	L	22	92,94	93,72	93,04	84,44	4,27	3,88
3400	L	21	86,10	86,91	81,90	70,35	3,73	3,43
3600	L	22	88,61	89,63	88,03	71,67	3,95	3,61
3800	L	22	91,53	93,02	92,20	77,31	4,26	3,86
3400	L	22	87,31	88,20	85,74	75,61	3,78	3,46
3600	L	22	86,38	87,52	84,88	73,82	3,89	3,55
3600	L	22	88,26	89,06	87,56	77,18	3,94	3,57
3800	L	22	89,17	90,29	88,34	77,71	4,15	3,78
3400	L	24	88,67	89,94	89,66	71,93	3,83	3,51
3800	L	24	90,28	91,72	91,80	81,30	4,19	3,81
3400	P	22	88,68	89,74	88,78	81,73	3,81	3,49
3800	P	23	91,71	92,46	92,67	76,51	4,24	3,86
3600	P	22	90,39	91,33	91,65	72,85	4,02	3,64
3800	P	24	89,35	90,45	88,84	75,66	4,16	3,79
3400	P	24	87,76	88,63	85,88	72,40	3,79	3,48
3800	P	24	88,55	89,90	85,82	75,56	4,14	3,78
3600	P	23	87,22	88,53	87,77	72,49	3,92	3,58
3400	P	24	87,02	87,92	85,75	73,89	3,77	3,46
3800	P	24	90,03	91,05	88,75	72,47	4,19	3,85
3400	P	24	86,28	87,17	82,64	70,40	3,75	3,44
3600	P	24	88,97	90,02	90,47	79,83	3,96	3,59
3600	P	24	85,95	87,12	85,06	73,78	3,88	3,52
3400	P	24	87,07	88,41	87,94	74,29	3,79	3,48
3800	P	24	89,95	91,08	89,43	73,36	4,19	3,82
3600	P	24	87,69	88,71	87,37	69,23	3,93	3,60
3400	P	24	89,01	90,20	88,93	73,64	3,83	3,52

EM = Energia metabolizável; CATEG = Categoria; MS = matéria seca; EB = Energia bruta; PB = Proteína bruta; RN = retenção de nitrogênio; ED = Energia digestível.

**Apêndice 3.** Observações experimentais. Composição corporal física dos leitões no 28º dia

EM	CATEG	IDADE	PV	(kg)			g/Kg PV		
				CARCAÇA	O + S	CV	CARCAÇA	O + S	CV
3400	L	22	15,42	11,88	2,78	14,66	770,1	180,37	950,47
3800	L	21	19,16	14,94	3,47	18,41	779,49	181,26	960,75
3600	L	21	17,52	12,93	3,46	16,39	738,18	197,37	935,56
3800	L	21	19,20	15,09	3,35	18,43	785,68	174,24	959,92
3400	L	21	16,00	11,83	2,95	14,77	739,06	184,33	923,39
3600	L	21	16,92	12,80	3,05	15,85	756,50	180,54	937,04
3800	L	22	16,98	11,72	4,13	15,84	689,93	243,08	933,01
3400	L	21	20,60	15,41	4,24	19,65	747,82	205,85	953,67
3600	L	22	18,68	14,10	3,56	17,66	754,82	190,58	945,40
3800	L	22	16,32	12,36	3,24	15,59	757,05	198,25	955,30
3400	L	22	16,74	12,58	3,39	15,97	751,19	202,66	953,85
3600	L	22	17,88	13,92	3,42	17,34	778,24	191,33	969,57
3600	L	22	16,48	12,42	3,30	15,71	753,34	200,21	953,55
3800	L	22	17,58	13,52	3,51	17,03	769,06	199,43	968,49
3400	L	24	19,24	14,66	3,60	18,26	761,95	187,24	949,19
3800	L	24	16,88	12,83	3,44	16,27	759,77	203,82	963,60
3400	P	22	20,58	15,89	3,46	19,35	771,87	168,15	940,01
3800	P	23	22,42	17,08	4,03	21,11	761,82	179,67	941,49
3600	P	22	20,84	15,23	3,33	18,56	730,57	159,86	890,43
3800	P	24	22,42	17,41	3,85	21,26	776,54	171,67	948,21
3400	P	24	18,68	14,60	3,28	17,87	781,32	175,39	956,71
3800	P	24	23,86	19,00	3,99	22,99	796,31	167,23	963,54
3600	P	23	21,24	16,41	4,03	20,44	772,36	189,85	962,22
3400	P	24	22,76	17,83	3,91	21,74	783,39	171,86	955,25
3800	P	24	21,56	17,09	3,74	20,83	792,67	173,42	966,09
3400	P	24	24,40	18,82	4,45	23,27	771,31	182,40	953,71
3600	P	24	21,18	16,15	3,85	20,00	762,51	181,68	944,19
3600	P	24	24,32	19,12	4,17	23,28	785,98	171,38	957,36
3400	P	24	19,92	15,23	3,80	19,02	764,31	190,64	954,94
3800	P	24	24,66	19,01	4,75	23,75	770,68	192,58	963,26
3600	P	24	23,56	18,67	4,08	22,75	792,23	173,24	965,47
3400	P	24	21,76	16,86	3,88	20,73	774,59	178,26	952,85

EM = Energia metabolizável; CATEG = Categoria; PV = Peso vivo; O + S = Órgãos + Sangue; CV = Corpo vazio

**Apêndice 3.** Continuação - Observações experimentais. Peso do trato gastrintestinal dos leitões no 28º dia (kg)

EM	CATEG	IDADE	TGI, g	TGI, g/kg CV
3400	L	22	1260,00	85,97
3800	L	21	1440,00	78,23
3600	L	21	1510,00	92,12
3800	L	21	1435,00	77,86
3400	L	21	1325,00	89,68
3600	L	21	1240,00	78,21
3800	L	22	1210,00	76,38
3400	L	21	1255,00	63,88
3600	L	22	1335,00	75,59
3800	L	22	1235,00	79,21
3400	L	22	1230,00	77,03
3600	L	22	1225,00	70,66
3600	L	22	1285,00	81,77
3800	L	22	1250,00	73,42
3400	L	24	1470,00	80,49
3800	L	24	1315,00	80,85
3400	P	22	1575,00	81,41
3800	P	23	1705,00	80,77
3600	P	22	1650,00	88,92
3800	P	24	1495,00	70,32
3400	P	24	1245,00	69,66
3800	P	24	1560,00	67,86
3600	P	23	1640,00	80,24
3400	P	24	1555,00	71,52
3800	P	24	1575,00	75,62
3400	P	24	1755,00	75,42
3600	P	24	1555,00	77,76
3600	P	24	1550,00	66,57
3400	P	24	1405,00	73,86
3800	P	24	1625,00	68,41
3600	P	24	1510,00	66,38
3400	P	24	1465,00	70,66

EM = Energia metabolizável; CATEG = Categoria; TGI = Trato gastrintestinal

**Apêndice 4.** Observações experimentais. Composição química da carcaça no 28º dia (%)

EM	CATEG	IDADE	FRAÇÃO	MS	CZ	PB	GB	EB
3400	L	22	CARCAÇA	32,11	2,92	16,22	12,97	2,13
3800	L	21	CARCAÇA	30,31	3,03	15,47	11,81	1,98
3600	L	21	CARCAÇA	32,71	3,28	15,78	13,64	2,17
3800	L	21	CARCAÇA	29,01	2,90	16,05	10,06	1,85
3400	L	21	CARCAÇA	28,24	2,97	15,07	10,20	1,81
3600	L	21	CARCAÇA	26,63	2,85	14,75	9,02	1,68
3800	L	22	CARCAÇA	27,68	3,26	15,32	9,09	1,72
3400	L	21	CARCAÇA	29,32	2,60	15,70	11,02	1,92
3600	L	22	CARCAÇA	31,56	3,09	15,84	12,62	2,08
3800	L	22	CARCAÇA	27,70	2,99	15,95	8,77	1,72
3400	L	22	CARCAÇA	28,82	3,23	15,47	10,13	1,82
3600	L	22	CARCAÇA	31,24	3,27	15,49	12,48	2,04
3600	L	22	CARCAÇA	29,33	3,60	15,78	9,95	1,82
3800	L	22	CARCAÇA	29,11	3,60	16,23	9,27	1,79
3400	L	24	CARCAÇA	30,43	3,23	16,67	10,54	1,93
3800	L	24	CARCAÇA	28,50	2,91	15,92	9,67	1,81
3400	P	22	CARCAÇA	28,83	2,52	15,71	10,59	1,88
3800	P	23	CARCAÇA	25,10	1,00	15,49	8,61	1,68
3600	P	22	CARCAÇA	30,91	3,84	15,60	11,47	1,96
3800	P	24	CARCAÇA	30,53	3,42	16,40	10,71	1,93
3400	P	24	CARCAÇA	29,59	3,70	15,24	10,66	1,86
3800	P	24	CARCAÇA	32,14	3,61	15,83	12,71	2,08
3600	P	23	CARCAÇA	32,68	3,36	16,33	12,99	2,14
3400	P	24	CARCAÇA	29,91	2,88	15,72	11,31	1,95
3800	P	24	CARCAÇA	32,13	2,77	16,63	12,73	2,13
3400	P	24	CARCAÇA	32,01	3,09	16,05	12,87	2,11
3600	P	24	CARCAÇA	29,26	3,17	16,20	9,89	1,84
3600	P	24	CARCAÇA	29,66	2,89	15,87	10,89	1,92
3400	P	24	CARCAÇA	26,10	3,03	15,67	7,41	1,58
3800	P	24	CARCAÇA	31,21	3,35	15,69	12,16	2,03
3600	P	24	CARCAÇA	31,20	3,28	16,32	11,61	2,01
3400	P	24	CARCAÇA	30,49	2,86	16,65	10,97	1,97

EM = Energia metabolizável; CATEG = Categoria; MS = Matéria seca; CZ = Cinza; PB = Proteína bruta; GB = Gordura bruta; EB = Energia bruta

**Apêndice 4.** Continuação - Observações experimentais. Composição química dos órgãos + sangue no 28º dia (%)

EM	CATEG	IDADE	FRAÇÃO	MS	CZ	PB	GB	EB
3400	L	22	O + S	18,93	0,63	13,21	5,09	1,23
3800	L	21	O + S	18,90	0,92	13,28	4,71	1,20
3600	L	21	O + S	18,94	1,27	12,82	4,85	1,18
3800	L	21	O + S	18,10	0,78	12,95	4,38	1,15
3400	L	21	O + S	17,84	0,76	13,15	3,93	1,12
3600	L	21	O + S	19,04	1,40	13,39	4,26	1,16
3800	L	22	O + S	18,83	0,78	13,58	4,46	1,19
3400	L	21	O + S	20,13	1,96	14,10	4,08	1,18
3600	L	22	O + S	19,45	1,70	12,07	5,69	1,22
3800	L	22	O + S	16,67	1,66	11,88	3,13	0,97
3400	L	22	O + S	17,56	1,60	12,02	3,94	1,05
3600	L	22	O + S	20,61	2,77	12,88	4,95	1,20
3600	L	22	O + S	19,17	2,21	13,17	3,79	1,10
3800	L	22	O + S	18,72	1,13	14,10	3,50	1,13
3400	L	24	O + S	19,93	2,04	13,90	3,99	1,16
3800	L	24	O + S	18,63	1,99	12,40	4,24	1,10
3400	P	22	O + S	19,81	1,86	13,97	3,99	1,17
3800	P	23	O + S	18,98	0,92	13,90	4,15	1,18
3600	P	22	O + S	19,14	0,99	12,73	5,43	1,23
3800	P	24	O + S	18,26	1,12	13,15	4,00	1,12
3400	P	24	O + S	16,80	0,72	12,75	3,32	1,04
3800	P	24	O + S	20,62	1,91	14,09	4,61	1,23
3600	P	23	O + S	19,45	1,47	12,78	5,20	1,21
3400	P	24	O + S	20,28	1,84	13,81	4,63	1,22
3800	P	24	O + S	20,46	2,08	13,27	5,10	1,23
3400	P	24	O + S	19,36	1,25	13,12	4,98	1,21
3600	P	24	O + S	17,83	1,16	12,98	3,69	1,08
3600	P	24	O + S	19,74	2,57	13,21	3,96	1,12
3400	P	24	O + S	18,44	1,78	12,40	4,26	1,10
3800	P	24	O + S	20,77	3,37	11,19	6,21	1,22
3600	P	24	O + S	20,05	2,31	13,58	4,16	1,16
3400	P	24	O + S	18,59	1,67	12,23	4,69	1,14

EM = Energia metabolizável; CATEG = Categoria; O + S =Órgão + sangue; MS = Matéria seca; CZ = Cinza; PB = Proteína bruta; GB = Gordura bruta; EB = Energia bruta

**Apêndice 4.** Continuação - Observações experimentais. Composição química do corpo vazio no 28º dia (%)

EM	CATEG	IDADE	FRAÇÃO	MS	CZ	PB	GB	EB
3400	L	22	CV	29,61	2,37	16,04	11,21	1,96
3800	L	21	CV	28,16	2,54	15,39	10,22	1,83
3600	L	21	CV	29,80	2,78	15,61	11,42	1,95
3800	L	21	CV	27,03	2,42	15,75	8,86	1,72
3400	L	21	CV	26,16	2,42	15,02	8,71	1,67
3600	L	21	CV	25,16	2,53	14,66	7,97	1,58
3800	L	22	CV	25,37	2,48	15,16	7,73	1,58
3400	L	21	CV	27,34	2,47	15,61	9,25	1,75
3600	L	22	CV	29,12	2,79	15,31	11,02	1,90
3800	L	22	CV	25,41	2,70	15,35	7,37	1,56
3400	L	22	CV	26,43	2,84	15,01	8,57	1,65
3600	L	22	CV	29,14	3,22	15,19	10,73	1,86
3600	L	22	CV	27,20	3,30	15,48	8,42	1,66
3800	L	22	CV	26,97	2,99	16,12	7,86	1,65
3400	L	24	CV	28,36	2,99	16,38	9,00	1,77
3800	L	24	CV	26,41	2,72	15,35	8,34	1,65
3400	P	22	CV	27,22	2,41	15,61	9,19	1,74
3800	P	23	CV	23,93	0,99	15,30	7,64	1,58
3600	P	22	CV	28,80	3,20	15,36	10,23	1,83
3800	P	24	CV	28,31	2,91	16,14	9,25	1,78
3400	P	24	CV	27,25	2,99	15,25	9,00	1,71
3800	P	24	CV	30,14	3,28	15,84	11,02	1,93
3600	P	23	CV	30,07	2,93	15,96	11,18	1,95
3400	P	24	CV	28,18	2,69	15,60	9,89	1,81
3800	P	24	CV	30,03	2,67	16,25	11,11	1,96
3400	P	24	CV	29,59	2,68	15,84	11,08	1,93
3600	P	24	CV	27,06	2,70	15,89	8,47	1,69
3600	P	24	CV	27,88	2,88	15,59	9,41	1,76
3400	P	24	CV	24,57	2,76	15,10	6,71	1,48
3800	P	24	CV	29,12	3,45	14,85	10,82	1,85
3600	P	24	CV	29,20	3,12	16,08	10,00	1,85
3400	P	24	CV	28,26	2,63	16,03	9,60	1,81

EM = Energia metabolizável; CATEG = Categoria; CV = Corpo vazio; MS = Matéria seca; CZ = Cinza; PB = Proteína bruta; GB = Gordura bruta; EB = Energia bruta

**Apêndice 5.** Observações experimentais. Taxa de deposição de nutrientes na carcaça (g/d)

EM	CATEG	IDADE	FRAÇÃO	AGUA	PB	CZ	GB	ER	GB:PB	CZ:PB
3400	L	22	CARC	218,47	53,12	8,56	44,76	0,72	0,84	0,16
3800	L	21	CARC	296,01	65,45	12,02	51,80	0,85	0,79	0,18
3600	L	21	CARC	243,81	57,79	11,48	53,09	0,82	0,91	0,19
3800	L	21	CARC	300,51	68,01	11,11	42,07	0,78	0,61	0,16
3400	L	21	CARC	229,46	47,03	8,49	32,19	0,57	0,68	0,18
3600	L	21	CARC	259,73	50,36	8,89	30,05	0,57	0,59	0,17
3800	L	22	CARC	233,82	48,61	9,87	27,89	0,54	0,57	0,20
3400	L	21	CARC	302,75	66,96	9,57	47,91	0,83	0,71	0,14
3600	L	22	CARC	268,27	62,55	11,35	52,28	0,84	0,83	0,18
3800	L	22	CARC	230,81	50,46	8,35	25,65	0,53	0,50	0,16
3400	L	22	CARC	240,14	51,53	10,14	33,73	0,61	0,65	0,19
3600	L	22	CARC	250,75	56,44	11,26	48,57	0,77	0,86	0,20
3600	L	22	CARC	225,82	50,23	11,17	31,18	0,58	0,62	0,22
3800	L	22	CARC	257,94	59,33	12,76	32,31	0,64	0,54	0,21
3400	L	24	CARC	275,33	67,24	12,01	42,02	0,77	0,62	0,17
3800	L	24	CARC	250,41	55,52	9,09	32,91	0,62	0,59	0,16
3400	P	22	CARC	298,17	65,09	9,07	37,20	0,72	0,57	0,13
3800	P	23	CARC	328,73	65,31	s/obs	24,75	0,60	0,37	s/obs
3600	P	22	CARC	261,87	58,90	15,21	37,68	0,69	0,64	0,25
3800	P	24	CARC	329,61	78,66	16,15	44,38	0,86	0,56	0,20
3400	P	24	CARC	259,98	55,06	13,94	32,34	0,61	0,58	0,25
3800	P	24	CARC	333,74	78,52	18,18	58,78	0,99	0,74	0,23
3600	P	23	CARC	281,68	69,97	14,08	51,67	0,88	0,73	0,20
3400	P	24	CARC	320,68	71,49	12,10	44,77	0,82	0,62	0,16
3800	P	24	CARC	297,95	75,01	11,11	52,45	0,91	0,69	0,14
3400	P	24	CARC	328,51	78,60	14,40	58,61	0,99	0,74	0,18
3600	P	24	CARC	292,06	67,02	12,49	31,91	0,68	0,47	0,18
3600	P	24	CARC	350,64	78,83	13,31	46,27	0,88	0,58	0,16
3400	P	24	CARC	273,68	55,99	10,11	12,48	0,43	0,22	0,18
3800	P	24	CARC	341,30	77,90	16,50	55,30	0,96	0,71	0,21
3600	P	24	CARC	330,86	79,65	15,49	49,65	0,92	0,62	0,19
3400	P	24	CARC	291,03	71,20	10,90	38,41	0,76	0,53	0,15

EM = Energia metabolizável; CATEG = Categoria; CARC = carcaça; PB = Proteína bruta; CZ = Cinza; GB = Gordura bruta; ER = Energia retida; GB:PB = Gordura bruta:proteína; CZ:PB = Cinza:proteína; ÁGUA:PB = Água:proteína; s/obs=sem observação

**Apêndice 5.** Continuação - Observações experimentais. Taxa de deposição nos órgãos + sangue (g/d)

EM	CATEG	IDADE	FRAÇÃO	ÁGUA	PB	CZ	GB	ER	GB:PB	ÁGUA:PB
3400	L	22	O + S	38,53	6,58	0,06	3,19	0,07	0,48	5,85
3800	L	21	O + S	46,93	8,05	0,38	3,41	0,08	0,42	5,83
3600	L	21	O + S	49,25	7,96	0,76	3,60	0,08	0,45	6,18
3800	L	21	O + S	46,70	7,58	0,23	3,09	0,07	0,40	6,15
3400	L	21	O + S	35,62	5,94	0,12	2,07	0,05	0,34	5,99
3600	L	21	O + S	36,43	6,43	0,67	2,44	0,06	0,37	5,66
3800	L	22	O + S	44,44	7,86	0,24	2,98	0,07	0,38	5,65
3400	L	21	O + S	42,89	8,43	1,34	2,73	0,07	0,32	5,08
3600	L	22	O + S	45,75	6,79	1,12	4,31	0,08	0,63	6,74
3800	L	22	O + S	33,52	4,44	0,80	1,33	0,04	0,30	7,54
3400	L	22	O + S	40,18	5,66	0,88	2,31	0,05	0,40	7,09
3600	L	22	O + S	31,26	5,45	1,78	2,94	0,06	0,53	5,73
3600	L	22	O + S	33,14	5,78	1,30	1,95	0,05	0,33	5,72
3800	L	22	O + S	38,74	7,45	0,46	1,92	0,06	0,25	5,19
3400	L	24	O + S	43,45	8,33	1,44	2,68	0,07	0,32	5,21
3800	L	24	O + S	40,31	6,15	1,24	2,62	0,06	0,42	6,55
3400	P	22	O + S	47,91	8,73	1,27	2,41	0,07	0,27	5,48
3800	P	23	O + S	52,38	9,36	0,34	2,78	0,08	0,29	5,59
3600	P	22	O + S	53,66	8,29	0,46	4,22	0,09	0,50	6,47
3800	P	24	O + S	51,23	8,21	0,57	2,51	0,07	0,30	6,24
3400	P	24	O + S	38,90	5,69	0,04	1,27	0,04	0,22	6,83
3800	P	24	O + S	53,82	10,15	1,52	3,48	0,09	0,34	5,30
3600	P	23	O + S	49,07	7,68	0,90	3,69	0,08	0,48	6,39
3400	P	24	O + S	51,05	9,27	1,36	3,31	0,08	0,35	5,50
3800	P	24	O + S	44,74	7,64	1,45	3,40	0,08	0,44	5,85
3400	P	24	O + S	64,15	10,47	0,89	4,46	0,10	0,42	6,12
3600	P	24	O + S	47,29	7,34	0,53	1,99	0,06	0,27	6,44
3600	P	24	O + S	46,64	7,78	2,03	2,32	0,07	0,29	5,99
3400	P	24	O + S	38,97	5,55	0,99	2,16	0,05	0,39	7,01
3800	P	24	O + S	55,10	7,01	3,26	5,42	0,09	0,77	7,86
3600	P	24	O + S	44,67	7,89	1,70	2,45	0,07	0,31	5,66
3400	P	24	O + S	41,85	5,85	0,95	2,74	0,06	0,46	7,15

EM = Energia metabolizável; CATEG = Categoria; O + S = Órgão + sangue; PB = Proteína bruta; CZ = Cinza; GB = Gordura bruta; ER = Energia retida; GB:PB; GB:PB = Gordura bruta:proteína; ÁGUA:PB = Água:proteína;

**Apêndice 5.** Continuação - Observações experimentais. Taxa de deposição no corpo vazio (g/d)

EM	CATEG	IDADE	FRAÇÃO	ÁGUA	PB	CZ	GB	ER	GB:PB
3400	L	22	CV	270,93	63,33	8,31	47,88	0,81	0,76
3800	L	21	CV	366,00	78,73	12,27	55,46	0,96	0,70
3600	L	21	CV	316,83	71,46	12,34	56,42	0,93	0,79
3800	L	21	CV	365,24	79,36	11,12	45,58	0,88	0,57
3400	L	21	CV	286,25	57,42	8,45	34,56	0,65	0,60
3600	L	21	CV	317,46	60,56	9,90	33,36	0,66	0,55
3800	L	22	CV	325,69	65,35	10,01	33,08	0,68	0,51
3400	L	21	CV	388,90	83,98	12,29	51,56	0,96	0,61
3600	L	22	CV	339,81	73,91	13,08	57,63	0,96	0,78
3800	L	22	CV	291,45	59,29	9,84	27,33	0,59	0,46
3400	L	22	CV	307,89	62,02	11,53	36,55	0,69	0,59
3600	L	22	CV	310,98	67,05	14,60	52,29	0,87	0,78
3600	L	22	CV	285,71	60,92	13,37	33,66	0,66	0,55
3800	L	22	CV	325,61	72,98	13,19	34,71	0,74	0,48
3400	L	24	CV	342,42	80,43	14,24	44,91	0,88	0,56
3800	L	24	CV	319,24	66,29	11,27	36,49	0,72	0,55
3400	P	22	CV	365,83	77,66	10,95	40,09	0,81	0,52
3800	P	23	CV	407,14	78,67	0,53	29,21	0,72	0,37
3600	P	22	CV	324,17	69,24	15,05	42,57	0,79	0,61
3800	P	24	CV	411,48	93,28	16,53	47,56	0,97	0,51
3400	P	24	CV	325,46	66,73	13,32	33,71	0,69	0,51
3800	P	24	CV	409,12	93,82	20,08	62,40	1,12	0,67
3600	P	23	CV	364,12	84,21	15,28	56,61	1,01	0,67
3400	P	24	CV	394,63	85,17	14,05	48,97	0,94	0,57
3800	P	24	CV	369,52	87,62	13,58	56,83	1,03	0,65
3400	P	24	CV	418,42	94,84	15,28	63,56	1,13	0,67
3600	P	24	CV	370,44	80,31	13,02	34,76	0,78	0,43
3600	P	24	CV	431,51	92,57	16,96	49,51	0,99	0,53
3400	P	24	CV	346,13	65,95	11,79	17,19	0,53	0,26
3800	P	24	CV	438,27	90,06	22,44	63,93	1,11	0,71
3600	P	24	CV	409,35	94,05	18,43	52,90	1,03	0,56
3400	P	24	CV	365,86	82,22	12,60	42,84	0,87	0,52

EM = Energia metabolizável; CATEG = Categoria; CV = Corpo vazio; PB = Proteína bruta; CZ = Cinza; GB = Gordura bruta; ERT = Energia retida total; GB:PB = Gordura bruta:proteína; ÁGUA:PB = Água:proteína

**Apêndice 5.** Continuação - Observações experimentais. Taxa de deposição no corpo vazio (g/d)

EM	CATEG	IDADE	FRAÇÃO	ÁGUA:PB	ERP	ERG
3400	L	22	CV	4,28	0,36	0,45
3800	L	21	CV	4,65	0,45	0,52
3600	L	21	CV	4,43	0,40	0,53
3800	L	21	CV	4,60	0,45	0,43
3400	L	21	CV	4,98	0,33	0,33
3600	L	21	CV	5,24	0,34	0,32
3800	L	22	CV	4,98	0,37	0,31
3400	L	21	CV	4,63	0,48	0,49
3600	L	22	CV	4,60	0,42	0,55
3800	L	22	CV	4,92	0,34	0,26
3400	L	22	CV	4,96	0,35	0,35
3600	L	22	CV	4,64	0,38	0,49
3600	L	22	CV	4,69	0,34	0,32
3800	L	22	CV	4,46	0,41	0,33
3400	L	24	CV	4,26	0,46	0,42
3800	L	24	CV	4,82	0,38	0,35
3400	P	22	CV	4,71	0,44	0,38
3800	P	23	CV	5,18	0,45	0,28
3600	P	22	CV	4,68	0,39	0,40
3800	P	24	CV	4,41	0,53	0,45
3400	P	24	CV	4,88	0,38	0,32
3800	P	24	CV	4,36	0,53	0,59
3600	P	23	CV	4,32	0,48	0,54
3400	P	24	CV	4,63	0,48	0,46
3800	P	24	CV	4,22	0,50	0,54
3400	P	24	CV	4,41	0,54	0,60
3600	P	24	CV	4,61	0,45	0,33
3600	P	24	CV	4,66	0,52	0,47
3400	P	24	CV	5,25	0,37	0,16
3800	P	24	CV	4,87	0,51	0,60
3600	P	24	CV	4,35	0,53	0,50
3400	P	24	CV	4,45	0,47	0,41

EM = Energia metabolizável; CATEG = Categoria; CV = Corpo vazio; ERP = Energia retida como proteína; ERG = Energia retida como gordura;

**Apêndice 6.** Observações experimentais. Eficiência de utilização da energia metabolizável

EM	CATEG	IDADE	FRAÇÃO	EMi	EMm	EMc	CC	PC	EE
3400	L	22	CV	1,86	0,70	1,16	4,57	1,06	0,371
3800	L	21	CV	2,17	0,77	1,39	4,10	1,20	0,376
3600	L	21	CV	2,16	0,82	1,34	4,42	1,23	0,359
3800	L	21	CV	2,30	1,02	1,28	4,45	1,43	0,330
3400	L	21	CV	1,78	0,83	0,95	4,23	1,13	0,297
3600	L	21	CV	1,75	0,79	0,96	3,90	1,10	0,316
3800	L	22	CV	2,10	1,09	1,00	4,51	1,42	0,260
3400	L	21	CV	2,31	0,92	1,40	4,14	1,35	0,354
3600	L	22	CV	2,17	0,80	1,37	4,26	1,22	0,370
3800	L	22	CV	2,27	1,39	0,88	5,66	1,68	0,211
3400	L	22	CV	1,84	0,83	1,01	4,23	1,15	0,316
3600	L	22	CV	2,17	0,92	1,25	4,80	1,30	0,348
3600	L	22	CV	1,92	0,95	0,97	4,70	1,26	0,291
3800	L	22	CV	2,16	1,06	1,10	4,75	1,42	0,293
3400	L	24	CV	2,36	1,07	1,29	4,68	1,48	0,304
3800	L	24	CV	1,87	0,81	1,05	4,20	1,15	0,319
3400	P	22	CV	2,44	1,24	1,20	4,66	1,63	0,271
3800	P	23	CV	2,27	1,19	1,08	4,17	1,55	0,278
3600	P	22	CV	2,26	1,10	1,15	4,36	1,47	0,301
3800	P	24	CV	2,44	1,00	1,44	4,08	1,46	0,331
3400	P	24	CV	2,01	0,99	1,02	4,44	1,32	0,291
3800	P	24	CV	3,06	1,44	1,62	5,11	1,94	0,305
3600	P	23	CV	2,54	1,08	1,46	4,76	1,53	0,328
3400	P	24	CV	2,57	1,19	1,38	4,57	1,63	0,308
3800	P	24	CV	2,50	1,01	1,49	4,64	1,47	0,348
3400	P	24	CV	2,94	1,30	1,64	4,79	1,81	0,329
3600	P	24	CV	2,30	1,14	1,17	4,38	1,52	0,282
3600	P	24	CV	2,58	1,13	1,45	4,23	1,59	0,316
3400	P	24	CV	1,95	1,13	0,82	4,28	1,42	0,245
3800	P	24	CV	2,94	1,34	1,60	4,66	1,83	0,317
3600	P	24	CV	2,77	1,26	1,51	4,72	1,74	0,323
3400	P	24	CV	2,37	1,09	1,28	4,53	1,50	0,297

EM = Energia metabolizável; CATEG = Categoria; CV = Corpo vazio; EMi = Energia metabolizável ingerida ; EMm = Energia metabolizável para manutenção; EMc = Energia metabolizável para crescimento; CC = Conversão calórica; PC = Produção de calor; EE = Eficiência energética

**Apêndice 7.** Análise estatística. Desempenho zootécnico e dados de ultrassom do período total

The GLM Procedure

**Class Level Information**

Class	Levels	Values
TRAT	3	3400 3600 3800
CATEG	2	L P

**Number of Observations Read** 32

**Number of Observations Used** 32

Dependent Variable: Peso inicial

Source	DF	Sum of Squares	Mean Square	F Value	Pr > F
Model	6	37.22961425	6.20493571	24.73	<.0001
Error	25	6.27367325	0.25094693		
Corrected Total	31	43.50328750			

R-Square	Coeff Var	Root MSE	PESO01 Mean
0.855789	8.877103	0.500946	5.643125

Source	DF	Type III SS	Mean Square	F Value	Pr > F
ENERGIA	2	0.03933485	0.01966743	0.08	0.9248
CATEG	1	11.54320011	11.54320011	46.00	<.0001
ENERGIA*CATEG	2	0.00412729	0.00206365	0.01	0.9918
IDADE	1	0.80330009	0.80330009	3.20	0.0857

ENERGIA	PESO01 LSMEAN	Standard Error	Pr >  t	LSMEAN Number
3400	5.63685065	0.15194848	<.0001	1
3600	5.69144805	0.16080589	<.0001	2
3800	5.60333117	0.15257277	<.0001	3

**Least Squares Means for effect ENERGIA  
Pr > |t| for H0: LSMean(i)=LSMean(j)  
Dependent Variable: PESO01**

i/j	1	2	3
1		0.8081	0.8771
2	0.8081		0.6970
3	0.8771	0.6970	

CATEG	PESO01 LSMEAN	Standard Error	H0:LSMEAN=0	H0:LSMean1=LSMean2	Pr >  t	Pr >  t
L	4.75138312	0.15917437		<.0001		<.0001
P	6.53637013	0.15842376		<.0001		

ENERGIA	CATEG	PESO01 LSMEAN	Standard Error	Pr >  t	LSMEAN Number
3400	L	4.72834416	0.23888061	<.0001	1
3400	P	6.54535714	0.22824087	<.0001	2
3600	L	4.80746104	0.25758929	<.0001	3
3600	P	6.57543506	0.23527207	<.0001	4
3800	L	4.71834416	0.22067861	<.0001	5
3800	P	6.48831818	0.25231632	<.0001	6

Least Squares Means for effect ENERGIA*CATEG						
Pr >  t  for H0: LSMean(i)=LSMean(j)						
Dependent Variable: PESO01						
i/j	1	2	3	4	5	6
1		<.0001	0.8067	<.0001	0.9740	<.0001
2	<.0001		0.0001	0.9222	<.0001	0.8525
3	0.8067	0.0001		<.0001	0.7737	0.0003
4	<.0001	0.9222	<.0001		<.0001	0.7876
5	0.9740	<.0001	0.7737	<.0001		<.0001
6	<.0001	0.8525	0.0003	0.7876	<.0001	

Dependent Variable: Peso final

Source	DF	Sum of Squares	Mean Square	F Value	Pr > F
Model	6	192.7832612	32.1305435	12.25	<.0001
Error	25	65.5515263	2.6220611		
Corrected Total	31	258.3347875			

R-Square	Coeff Var	Root MSE	PESOF Mean
0.746254	7.853186	1.619278	20.61938

Source	DF	Type III SS	Mean Square	F Value	Pr > F
ENERGIA	2	2.96385315	1.48192657	0.57	0.5754
CATEG	1	69.02168339	69.02168339	26.32	<.0001
ENERGIA*CATEG	2	2.65707546	1.32853773	0.51	0.6085
IDADE	1	1.60310035	1.60310035	0.61	0.4416

ENERGIA	PESOF LSMEAN	Standard Error	Pr >  t	LSMEAN Number
3400	20.2180487	0.4911643	<.0001	1
3600	20.8718539	0.5197954	<.0001	2
3800	20.8544210	0.4931823	<.0001	3

**Least Squares Means for effect ENERGIA**  
**Pr > |t| for H0: LSMean(i)=LSMean(j)**  
**Dependent Variable: PESOF**

i/j	1	2	3
1		0.3718	0.3677
2	0.3718		0.9810
3	0.3677	0.9810	

CATEG	PESOF	LSMEAN	Standard Error	H0:LSMEAN=0	H0:LSMean1=LSMean2
				Pr >  t	Pr >  t
L	18.4657060	0.5145216		<.0001	<.0001
P	22.8305097	0.5120953		<.0001	

ENERGIA	CATEG	PESOF	LSMEAN	Standard Error	Pr >  t	LSMEAN Number
3400	L	18.3655617	0.7721672	<.0001		1
3400	P	22.0705357	0.7377749	<.0001		2
3600	L	18.7253279	0.8326419	<.0001		3
3600	P	23.0183799	0.7605028	<.0001		4
3800	L	18.3062284	0.7133303	<.0001		5
3800	P	23.4026136	0.8155973	<.0001		6

**Least Squares Means for effect ENERGIA\*CATEG**  
**Pr > |t| for H0: LSMean(i)=LSMean(j)**  
**Dependent Variable: PESOF**

i/j	1	2	3	4	5	6
1		0.0035	0.7308	0.0004	0.9522	0.0003
2	0.0035		0.0116	0.3452	0.0023	0.1869
3	0.7308	0.0116		0.0016	0.6759	0.0013
4	0.0004	0.3452	0.0016		0.0002	0.7133
5	0.9522	0.0023	0.6759	0.0002		0.0002
6	0.0003	0.1869	0.0013	0.7133	0.0002	

Dependent Variable: Consumo diário de ração

Source	DF	Sum of Squares	Mean Square	F Value	Pr > F
Model	6	119474.9042	19912.4840	3.28	0.0162
Error	25	151979.6278	6079.1851		
Corrected Total	31	271454.5321			

R-Square	Coeff Var	Root MSE	CDR Mean
0.440129	12.36788	77.96913	630.4165

Source	DF	Type III SS	Mean Square	F Value	Pr > F
<b>ENERGIA</b>	2	893.86875	446.93438	0.07	0.9293
<b>CATEG</b>	1	36467.20390	36467.20390	6.00	0.0217
<b>ENERGIA*CATEG</b>	2	1774.57942	887.28971	0.15	0.8649
<b>IDADE</b>	1	2370.28999	2370.28999	0.39	0.5380

ENERGIA	CDR LSMEAN	Standard Error	Pr >  t	LSMEAN Number
<b>3400</b>	635.211861	23.649834	<.0001	1
<b>3600</b>	634.371556	25.028434	<.0001	2
<b>3800</b>	623.585348	23.747001	<.0001	3

Least Squares Means for effect ENERGIA Pr >  t  for H0: LSMean(i)=LSMean(j) Dependent Variable: CDR			
i/j	1	2	3
1		0.9808	0.7307
2	0.9808		0.7593
3	0.7307	0.7593	

CATEG	CDR LSMEAN	Standard Error	H0:LSMEAN=0	H0:LSMean1=LSMean2	Pr >  t	Pr >  t
<b>L</b>	580.892136	24.774500		<.0001		0.0217
<b>P</b>	681.220373	24.657671		<.0001		

ENERGIA	CATEG	CDR LSMEAN	Standard Error	Pr >  t	LSMEAN Number
<b>3400</b>	<b>L</b>	595.293278	37.180279	<.0001	1
<b>3400</b>	<b>P</b>	675.130444	35.524269	<.0001	2
<b>3600</b>	<b>L</b>	580.874676	40.092168	<.0001	3
<b>3600</b>	<b>P</b>	687.868436	36.618631	<.0001	4
<b>3800</b>	<b>L</b>	566.508455	34.347251	<.0001	5
<b>3800</b>	<b>P</b>	680.662240	39.271463	<.0001	6

Least Squares Means for effect ENERGIA*CATEG Pr >  t  for H0: LSMean(i)=LSMean(j) Dependent Variable: CDR						
i/j	1	2	3	4	5	6
1	0.1608	0.7745	0.1041	0.5476	0.1551	
2	0.1608		0.1233	0.7905	0.0526	0.9078
3	0.7745	0.1233		0.0781	0.7658	0.1210
4	0.1041	0.7905	0.0781		0.0308	0.8861
5	0.5476	0.0526	0.7658	0.0308		0.0540
6	0.1551	0.9078	0.1210	0.8861	0.0540	

Dependent Variable: Ganho diário de peso

Source	DF	Sum of Squares	Mean Square	F Value	Pr > F
<b>Model</b>	6	81054.6651	13509.1109	5.21	0.0013
<b>Error</b>	25	64850.8834	2594.0353		
<b>Corrected Total</b>	31	145905.5485			

R-Square	Coeff Var	Root MSE	GDP Mean
0.555528	9.522323	50.93167	534.8661

Source	DF	Type III SS	Mean Square	F Value	Pr > F
<b>ENERGIA</b>	2	3722.41523	1861.20762	0.72	0.4977
<b>CATEG</b>	1	30755.14318	30755.14318	11.86	0.0020
<b>ENERGIA*CATEG</b>	2	3609.71791	1804.85896	0.70	0.5081
<b>IDADE</b>	1	174.49079	174.49079	0.07	0.7975

ENERGIA	GDP LSMEAN	Standard Error	Pr >  t	LSMEAN Number
3400	520.757073	15.448750	<.0001	1
3600	542.157352	16.349292	<.0001	2
3800	544.681780	15.512223	<.0001	3

Least Squares Means for effect ENERGIA Pr >  t  for H0: LSMean(i)=LSMean(j) Dependent Variable: GDP			
i/j	1	2	3
1		0.3530	0.2833
2	0.3530		0.9125
3	0.2833	0.9125	

CATEG	GDP LSMEAN	Standard Error	H0:LSMEAN=0	H0:LSMean1=LSMean2	Pr >  t	Pr >  t
L	489.797245	16.183414		<.0001		0.0020
P	581.933558	16.107099		<.0001		

ENERGIA	CATEG	GDP LSMEAN	Standard Error	Pr >  t	LSMEAN Number
3400	L	487.043483	24.287225	<.0001	1
3400	P	554.470663	23.205472	<.0001	2
3600	L	497.066674	26.189355	<.0001	3
3600	P	587.248029	23.920341	<.0001	4
3800	L	485.281579	22.436610	<.0001	5
3800	P	604.081981	25.653247	<.0001	6

Least Squares Means for effect ENERGIA*CATEG Pr >  t  for H0: LSMean(i)=LSMean(j) Dependent Variable: GDP						
i/j	1	2	3	4	5	6
1	0.0734	0.7605	0.0098	0.9549	0.0050	
2	0.0734		0.1496	0.3003	0.0583	0.1207
3	0.7605	0.1496		0.0258	0.7085	0.0142
4	0.0098	0.3003	0.0258		0.0069	0.6093
5	0.9549	0.0583	0.7085	0.0069		0.0035
6	0.0050	0.1207	0.0142	0.6093	0.0035	

Dependent Variable: Eficiência alimentar

Source	DF	Sum of Squares	Mean Square	F Value	Pr > F
Model	6	20269.5001	3378.2500	0.77	0.6015
Error	25	109844.4095	4393.7764		
Corrected Total	31	130113.9096			

R-Square	Coeff Var	Root MSE	EA Mean
0.155783	7.772688	66.28557	852.8011

Source	DF	Type III SS	Mean Square	F Value	Pr > F
ENERGIA	2	15892.49690	7946.24845	1.81	0.1847
CATEG	1	498.44178	498.44178	0.11	0.7391
ENERGIA*CATEG	2	2118.57184	1059.28592	0.24	0.7876
IDADE	1	1960.34816	1960.34816	0.45	0.5103

ENERGIA	EA LSMEAN	Standard Error	Pr >  t	LSMEAN Number
3400	824.255728	20.105940	<.0001	1
3600	858.354465	21.277959	<.0001	2
3800	877.586442	20.188547	<.0001	3

Least Squares Means for effect ENERGIA Pr >  t  for H0: LSMean(i)=LSMean(j) Dependent Variable: EA			
i/j	1	2	3
1		0.2575	0.0721
2	0.2575		0.5218
3	0.0721	0.5218	

CATEG	EA LSMEAN	Standard Error	H0:LSMEAN=0	H0:LSMean1=LSMean2	Pr >  t	Pr >  t

CATEG	EA LSMEAN	Standard Error	H0:LSMEAN=0	H0:LSMean1=LSMean2	Pr >  t	Pr >  t
L	847.534133	21.062076		<.0001		0.7391
P	859.263624	20.962755		<.0001		

ENERGIA	CATEG	EA LSMEAN	Standard Error	Pr >  t	LSMEAN Number
3400	L	821.406111	31.608867	<.0001	1
3400	P	827.105345	30.201008	<.0001	2
3600	L	860.632924	34.084414	<.0001	3
3600	P	856.076007	31.131382	<.0001	4
3800	L	860.563364	29.200364	<.0001	5
3800	P	894.609520	33.386691	<.0001	6

Least Squares Means for effect ENERGIA*CATEG						
Pr >  t  for H0: LSMean(i)=LSMean(j)						
Dependent Variable: EA						
i/j	1	2	3	4	5	6
1	0.9044	0.3629	0.4644	0.3386	0.1517	
2	0.9044	0.5107	0.4792	0.4678	0.1054	
3	0.3629	0.5107	0.9274	0.9986	0.5262	
4	0.4644	0.4792	0.9274	0.9215	0.3713	
5	0.3386	0.4678	0.9986	0.9215		0.4847
6	0.1517	0.1054	0.5262	0.3713	0.4847	

Dependent Variable: AOL

Source	DF	Sum of Squares	Mean Square	F Value	Pr > F
Model	6	37.84276948	6.30712825	4.68	0.0026
Error	25	33.68598052	1.34743922		
Corrected Total	31	71.52875000			

R-Square	Coeff Var	Root MSE	AOL Mean
0.529057	11.41529	1.160792	10.16875

Source	DF	Type III SS	Mean Square	F Value	Pr > F
TRAT	2	0.54932329	0.27466165	0.20	0.8169
CATEG	1	4.46220594	4.46220594	3.31	0.0808
TRAT*CATEG	2	0.51650099	0.25825050	0.19	0.8268
IDADE	1	4.96801948	4.96801948	3.69	0.0663

TRAT	AOL LSMEAN	Standard Error	Pr >  t	LSMEAN Number
3400	10.2040097	0.3520951	<.0001	1
3600	9.9929708	0.3726195	<.0001	2
3800	10.3212175	0.3535417	<.0001	3

Least Squares Means for effect TRAT  
 Pr > |t| for H0: LSMean(i)=LSMean(j)  
 Dependent Variable: AOL

i/j	1	2	3
1	0.6856	0.8156	
2	0.6856	0.5324	
3	0.8156	0.5324	

CATEG	AOL LSMEAN	Standard Error	H0:LSMEAN=0	H0:LSMean1=LSMean2	Pr >  t	Pr >  t
L	9.6178301	0.3688390		<.0001		0.0808
P	10.7276353	0.3670996		<.0001		

TRAT	CATEG	AOL LSMEAN	Standard Error	Pr >  t	LSMEAN Number
3400	L	9.8089123	0.5535343	<.0001	1
3400	P	10.5991071	0.5288799	<.0001	2
3600	L	9.4256656	0.5968861	<.0001	3
3600	P	10.5602760	0.5451726	<.0001	4
3800	L	9.6189123	0.5113566	<.0001	5
3800	P	11.0235227	0.5846675	<.0001	6

Least Squares Means for effect TRAT\*CATEG  
 Pr > |t| for H0: LSMean(i)=LSMean(j)  
 Dependent Variable: AOL

i/j	1	2	3	4	5	6
1	0.3458	0.6097	0.3666	0.7891	0.1735	
2	0.3458		0.1944	0.9566	0.2289	0.5519
3	0.6097	0.1944		0.2025	0.7878	0.0966
4	0.3666	0.9566	0.2025		0.2441	0.5377
5	0.7891	0.2289	0.7878	0.2441		0.1072
6	0.1735	0.5519	0.0966	0.5377	0.1072	

Dependent Variable: ET

Source	DF	Sum of Squares	Mean Square	F Value	Pr > F
Model	6	0.31068750	0.05178125	0.66	0.6816
Error	25	1.95900000	0.07836000		

Source	DF	Sum of Squares	Mean Square	F Value	Pr > F
Corrected Total	31	2.26968750			

R-Square	Coeff Var	Root MSE	ET Mean
0.136886	23.26679	0.279929	1.203125

Source	DF	Type III SS	Mean Square	F Value	Pr > F
TRAT	2	0.18237196	0.09118598	1.16	0.3287
CATEG	1	0.04383707	0.04383707	0.56	0.4615
TRAT*CATEG	2	0.02012519	0.01006259	0.13	0.8801
IDADE	1	0.00000000	0.00000000	0.00	1.0000

TRAT	ET	LSMEAN	Standard Error	Pr >  t	LSMEAN Number
3400	1.30500000	0.08490878	<.0001		1
3600	1.17000000	0.08985830	<.0001		2
3800	1.13000000	0.08525764	<.0001		3

Least Squares Means for effect TRAT Pr >  t  for H0: LSMean(i)=LSMean(j) Dependent Variable: ET			
i/j	1	2	3
1	0.2877	0.1570	
2	0.2877	0.7517	
3	0.1570	0.7517	

CATEG	ET	LSMEAN	Standard Error	H0:LSMEAN=0	H0:LSMean1=LSMean2	Pr >  t	Pr >  t
L	1.14666667	0.08894661		<.0001			0.4615
P	1.25666667	0.08852717		<.0001			

TRAT	CATEG	EGS	LSMEAN	Standard Error	Pr >  t	LSMEAN Number
3400	L	1.26000000	0.13348645	<.0001		1
3400	P	1.35000000	0.12754096	<.0001		2
3600	L	1.08000000	0.14394085	<.0001		3
3600	P	1.26000000	0.13146999	<.0001		4
3800	L	1.10000000	0.12331517	<.0001		5
3800	P	1.16000000	0.14099432	<.0001		6

Least Squares Means for effect TRAT*CATEG Pr >  t  for H0: LSMean(i)=LSMean(j) Dependent Variable: EGS						
i/j	1	2	3	4	5	6

Least Squares Means for effect TRAT*CATEG						
Pr >  t  for H0: LSMean(i)=LSMean(j)						
Dependent Variable: EGS						
i/j	1	2	3	4	5	6
1	0.6539	0.3236	1.0000	0.3542	0.6366	
2	0.6539		0.2150	0.6018	0.2039	0.2735
3	0.3236	0.2150		0.3974	0.9080	0.7230
4	1.0000	0.6018	0.3974		0.4084	0.5809
5	0.3542	0.2039	0.9080	0.4084		0.7697
6	0.6366	0.2735	0.7230	0.5809	0.7697	

**Apêndice 8.** Análise estatística. Digestibilidade aparente dos nutrientes no período total  
Dependent Variable: CDMS

Source	DF	Sum of Squares	Mean Square	F Value	Pr > F
Model	6	41.57827799	6.92971300	7.17	0.0002
Error	25	24.15290855	0.96611634		
Corrected Total	31	65.73118655			

R-Square	Coeff Var	Root MSE	CDMS Mean
0.632550	1.081112	0.982912	90.91678

Source	DF	Type III SS	Mean Square	F Value	Pr > F
TRAT	2	38.97217364	19.48608682	20.17	<.0001
CATEG	1	0.57405614	0.57405614	0.59	0.4480
TRAT*CATEG	2	1.71350565	0.85675283	0.89	0.4245
IDADE	1	0.97484513	0.97484513	1.01	0.3248

TRAT	CDMS LSMEAN	Standard Error	Pr >  t	LSMEAN Number
3400	89.7754936	0.2981399	<.0001	1
3600	90.5070859	0.3155191	<.0001	2
3800	92.3800812	0.2993649	<.0001	3

Least Squares Means for effect TRAT		
Pr >  t  for H0: LSMean(i)=LSMean(j)		
Dependent Variable: CDMS		
i/j	1	2
1	0.1061	<.0001
2	0.1061	0.0002
3	<.0001	0.0002

CATEG	CDMS LSMEAN	Standard Error	H0:LSMEAN=0	H0:LSMean1=LSMean2	Pr >  t	Pr >  t

CATEG	CDMS LSMEAN	Standard Error	H0:LSMEAN=0	H0:LSMean1=LSMean2	Pr >  t	Pr >  t
L	90.6885233	0.3123179		<.0001		0.4480
P	91.0865839	0.3108451		<.0001		

ENERGIA	CATEG	CDMS LSMEAN	Standard Error	Pr >  t	LSMEAN Number
3400	L	89.3233656	0.4687105	<.0001	1
3400	P	90.2276217	0.4478341	<.0001	2
3600	L	90.2594781	0.5054190	<.0001	3
3600	P	90.7546938	0.4616301	<.0001	4
3800	L	92.4827263	0.4329961	<.0001	5
3800	P	92.2774361	0.4950729	<.0001	6

Least Squares Means for effect ENERGIA*CATEG						
Pr >  t  for H0: LSMean(i)=LSMean(j)						
Dependent Variable: CDMS						
i/j	1	2	3	4	5	6
1	0.2060	0.1484	0.0491	<.0001	0.0005	
2	0.2060	0.9662	0.3865	0.0026	0.0021	
3	0.1484	0.9662	0.5061	0.0011	0.0163	
4	0.0491	0.3865	0.5061		0.0159	0.0228
5	<.0001	0.0026	0.0011	0.0159		0.7754
6	0.0005	0.0021	0.0163	0.0228	0.7754	

The REG Procedure  
 Model: MODEL1  
 Dependent Variable: CDMS CDMS  
 Number of Observations Read 32  
 Number of Observations Used 32

Root MSE	0.97915	R-Square	0.5624
Dependent Mean	90.91678	Adj R-Sq	0.5478
Coeff Var	1.07697		

Parameter Estimates							
Variable	Label	DF	Parameter Estimate	Standard Error	t Value	Pr >  t	
Intercept	Intercept	1	67.58316	3.76157	17.97	<.0001	
TRAT	TRAT	1	0.00648	0.00104	6.21	<.0001	

Dependent Variable: CDEB

Source	DF	Sum of Squares	Mean Square	F Value	Pr > F
<b>Model</b>	6	45.69823652	7.61637275	8.31	<.0001
<b>Error</b>	25	22.91771983	0.91670879		
<b>Corrected Total</b>	31	68.61595635			

R-Square	Coeff Var	Root MSE	CDEB Mean
0.666000	1.043797	0.957449	91.72754

Source	DF	Type III SS	Mean Square	F Value	Pr > F
<b>TRAT</b>	2	42.54099161	21.27049580	23.20	<.0001
<b>CATEG</b>	1	0.26344757	0.26344757	0.29	0.5966
<b>TRAT*CATEG</b>	2	2.49352376	1.24676188	1.36	0.2750
<b>IDADE</b>	1	0.28925477	0.28925477	0.32	0.5793

TRAT	CDEB LSMEAN	Standard Error	Pr >  t	LSMEAN Number
<b>3400</b>	90.5100246	0.2904164	<.0001	1
<b>3600</b>	91.3322976	0.3073454	<.0001	2
<b>3800</b>	93.2438747	0.2916096	<.0001	3

Least Squares Means for effect TRAT Pr >  t  for H0: LSMean(i)=LSMean(j) Dependent Variable: CDEB			
i/j	1	2	3
1		0.0644	<.0001
2	0.0644		0.0001
3	<.0001	0.0001	

CATEG	CDEB LSMEAN	Standard Error	H0:LSMEAN=0	H0:LSMean1=LSMean2	Pr >  t	Pr >  t
<b>L</b>	91.5605682	0.3042271		<.0001		0.5966
<b>P</b>	91.8302297	0.3027925		<.0001		

ENERGIA	CATEG	CDEB LSMEAN	Standard Error	Pr >  t	LSMEAN Number
<b>3400</b>	<b>L</b>	90.0784482	0.4565682	<.0001	1
<b>3400</b>	<b>P</b>	90.9416010	0.4362326	<.0001	2
<b>3600</b>	<b>L</b>	91.1254523	0.4923258	<.0001	3
<b>3600</b>	<b>P</b>	91.5391429	0.4496712	<.0001	4
<b>3800</b>	<b>L</b>	93.4778040	0.4217790	<.0001	5
<b>3800</b>	<b>P</b>	93.0099454	0.4822476	<.0001	6

Least Squares Means for effect ENERGIA*CATEG Pr >  t  for H0: LSMean(i)=LSMean(j) Dependent Variable: CDEB						
i/j	1	2	3	4	5	6
1	0.2149	0.0992	0.0399	<.0001	0.0004	
2	0.2149		0.8021	0.3148	0.0007	0.0015
3	0.0992	0.8021		0.5681	0.0005	0.0208
4	0.0399	0.3148	0.5681		0.0064	0.0239
5	<.0001	0.0007	0.0005	0.0064		0.5060
6	0.0004	0.0015	0.0208	0.0239	0.5060	

The REG Procedure  
Model: MODEL1  
Dependent Variable: CDEB CDEB  
Number of Observations Read 32  
Number of Observations Used 32

Root MSE	0.96133	R-Square	0.5959
Dependent Mean	91.72754	Adj R-Sq	0.5825
Coeff Var	1.04803		

Parameter Estimates						
Variable	Label	DF	Parameter Estimate	Standard Error	t Value	Pr >  t
Intercept	Intercept	1	67.18749	3.69314	18.19	<.0001
TRAT	TRAT	1	0.00682	0.00102	6.65	<.0001

Dependent Variable: CDPB

Source	DF	Sum of Squares	Mean Square	F Value	Pr > F
Model	6	78.5188513	13.0864752	3.91	0.0068
Error	25	83.5761831	3.3430473		
Corrected Total	31	162.0950345			

R-Square	Coeff Var	Root MSE	CDPB Mean
0.484400	2.022636	1.828400	90.39689

Source	DF	Type III SS	Mean Square	F Value	Pr > F
TRAT	2	67.02975516	33.51487758	10.03	0.0006
CATEG	1	0.17911055	0.17911055	0.05	0.8188
TRAT*CATEG	2	10.65240293	5.32620146	1.59	0.2232
IDADE	1	0.06656467	0.06656467	0.02	0.8889

TRAT	CDPB LSMEAN	Standard Error	Pr >  t	LSMEAN Number
3400	88.5116447	0.5545959	<.0001	1
3600	90.5731815	0.5869245	<.0001	2
3800	91.9993053	0.5568745	<.0001	3

Least Squares Means for effect TRAT  
 Pr > |t| for H0: LSMean(i)=LSMean(j)  
 Dependent Variable: CDPB

i/j	1	2	3
1	0.0177	0.0002	
2	0.0177	0.0930	
3	0.0002	0.0930	

CATEG	CDPB LSMEAN	Standard Error	H0:LSMEAN=0	H0:LSMean1=LSMean2	Pr >  t	Pr >  t
L	90.2502034	0.5809697		<.0001		0.8188
P	90.4725510	0.5782300		<.0001		

TRAT	CATEG	CDPB LSMEAN	Standard Error	Pr >  t	LSMEAN Number
3400	L	87.8363227	0.8718890	<.0001	1
3400	P	89.1869667	0.8330551	<.0001	2
3600	L	90.2420918	0.9401737	<.0001	3
3600	P	90.9042713	0.8587182	<.0001	4
3800	L	92.6721956	0.8054537	<.0001	5
3800	P	91.3264150	0.9209280	<.0001	6

Least Squares Means for effect TRAT\*CATEG  
 Pr > |t| for H0: LSMean(i)=LSMean(j)  
 Dependent Variable: CDPB

i/j	1	2	3	4	5	6
1	0.3071	0.0499	0.0250	0.0002	0.0171	
2	0.3071	0.4536	0.1352	0.0101	0.0650	
3	0.0499	0.4536	0.6320	0.0395	0.4639	
4	0.0250	0.1352	0.6320	0.1673	0.7207	
5	0.0002	0.0101	0.0395	0.1673		0.3192
6	0.0171	0.0650	0.4639	0.7207	0.3192	

The REG Procedure

Model: MODEL1

Dependent Variable: CDPB CDPB

Number of Observations Read 32

Number of Observations Used 32

<b>Root MSE</b>	1.78327	<b>R-Square</b>	0.4114
<b>Dependent Mean</b>	90.39689	<b>Adj R-Sq</b>	0.3918
<b>Coeff Var</b>	1.97271		

Parameter Estimates						
Variable	Label	DF	Parameter Estimate	Standard Error	t Value	Pr >  t
<b>Intercept</b>	Intercept	1	59.05652	6.85074	8.62	<.0001
<b>TRAT</b>	TRAT	1	0.00871	0.00190	4.58	<.0001

Dependent Variable: CRN

Source	DF	Sum of Squares	Mean Square	F Value	Pr > F
<b>Model</b>	6	93.8390048	15.6398341	2.13	0.0857
<b>Error</b>	25	183.8004930	7.3520197		
<b>Corrected Total</b>	31	277.6394978			

R-Square	Coeff Var	Root MSE	CRN Mean
0.337989	3.399565	2.711461	79.75904

Source	DF	Type III SS	Mean Square	F Value	Pr > F
<b>TRAT</b>	2	59.43650395	29.71825198	4.04	0.0301
<b>CATEG</b>	1	0.02668338	0.02668338	0.00	0.9524
<b>TRAT*CATEG</b>	2	33.39248794	16.69624397	2.27	0.1241
<b>IDADE</b>	1	0.16325014	0.16325014	0.02	0.8827

TRAT	CRN LSMEAN	Standard Error	Pr >  t	LSMEAN Number
<b>3400</b>	78.1163757	0.8224486	<.0001	1
<b>3600</b>	79.5037562	0.8703909	<.0001	2
<b>3800</b>	81.4090280	0.8258277	<.0001	3

Least Squares Means for effect TRAT Pr >  t  for H0: LSMean(i)=LSMean(j) Dependent Variable: CRN			
i/j	1	2	3
<b>1</b>		0.2600	0.0090
<b>2</b>	0.2600		0.1282
<b>3</b>	0.0090	0.1282	

The REG Procedure  
Model: MODEL1  
Dependent Variable: CRN CRN

<b>Number of Observations Read</b>	32
------------------------------------	----

Number of Observations Used 32
--------------------------------

Root MSE	2.70085	R-Square	0.2118
Dependent Mean	79.75904	Adj R-Sq	0.1855
Coeff Var	3.38626		

Parameter Estimates							
Variable	Label	DF	Parameter Estimate	Standard Error	t Value	Pr >  t	
Intercept	Intercept	1	50.33134	10.37581	4.85	<.0001	
TRAT	TRAT	1	0.00817	0.00288	2.84	0.0080	

### Dependent Variable: ED

Source	DF	Sum of Squares	Mean Square	F Value	Pr > F
Model	6	1.00918500	0.16819750	96.44	<.0001
Error	25	0.04359967	0.00174399		
Corrected Total	31	1.05278467			

R-Square	Coeff Var	Root MSE	DE Mean
0.958586	1.051191	0.041761	3.972738

Source	DF	Type III SS	Mean Square	F Value	Pr > F
ENERGIA	2	0.99328235	0.49664117	284.77	<.0001
CATEG	1	0.00049260	0.00049260	0.28	0.5998
ENERGIA*CATEG	2	0.00471051	0.00235526	1.35	0.2774
IDADE	1	0.00065162	0.00065162	0.37	0.5465

ENERGIA	ED LSMEAN	Standard Error	Pr >  t	LSMEAN Number
3400	3.77654692	0.01266709	<.0001	1
3600	3.93566663	0.01340549	<.0001	2
3800	4.20001052	0.01271914	<.0001	3

Least Squares Means for effect ENERGIA Pr >  t  for H0: LSMean(i)=LSMean(j) Dependent Variable: ED			
i/j	1	2	3
1		<.0001	<.0001
2	<.0001		<.0001
3	<.0001	<.0001	

CATEG	ED LSMEAN	Standard Error	H0:LSMEAN=0	H0:LSMean1=LSMean2	Pr >  t	Pr >  t

CATEG	ED	LSMEAN	Standard Error	H0:LSMEAN=0	H0:LSMean1=LSMean2	Pr >  t	Pr >  t
L	3.96491110	0.01326948		<.0001		0.5998	
P	3.97657161	0.01320690		<.0001			

ENERGIA	CATEG	ED	LSMEAN	Standard Error	Pr >  t	LSMEAN Number
3400	L	3.75805805	0.01991414	<.0001		1
3400	P	3.79503580	0.01902717	<.0001		2
3600	L	3.92634571	0.02147378	<.0001		3
3600	P	3.94498755	0.01961332	<.0001		4
3800	L	4.21032956	0.01839674	<.0001		5
3800	P	4.18969148	0.02103420	<.0001		6

Least Squares Means for effect ENERGIA*CATEG						
Pr >  t  for H0: LSMean(i)=LSMean(j)						
Dependent Variable: ED						
i/j	1	2	3	4	5	6
1	0.2229	<.0001	<.0001	<.0001	<.0001	
2	0.2229	0.0003	<.0001	<.0001	<.0001	
3	<.0001	0.0003	0.5554	<.0001	<.0001	
4	<.0001	<.0001	0.5554	<.0001	<.0001	
5	<.0001	<.0001	<.0001	<.0001	0.5013	

The REG Procedure  
Model: MODEL1  
Dependent Variable: ED

Number of Observations Read	32
Number of Observations Used	32

Analysis of Variance					
Source	DF	Sum of Squares	Mean Square	F Value	Pr > F
Model	1	0.98519	0.98519	437.28	<.0001
Error	30	0.06759	0.00225		
Corrected Total	31	1.05278			

Root MSE	0.04747	R-Square	0.9358
Dependent Mean	3.97274	Adj R-Sq	0.9337
Coeff Var	1.19479		

Parameter Estimates
---------------------

Variable	Label	DF	Parameter Estimate	Standard Error	t Value	Pr >  t
Intercept	Intercept	1	0.16364	0.18235	0.90	0.3767
ENERGIA	ENERGIA	1	0.00106	0.00005060	20.91	<.0001

Dependent Variable: EM

Source	DF	Sum of Squares	Mean Square	F Value	Pr > F
Model	6	0.74790925	0.12465154	97.43	<.0001
Error	25	0.03198410	0.00127936		
Corrected Total	31	0.77989335			

R-Square	Coeff Var	Root MSE	ME Mean
0.958989	0.985892	0.035768	3.628003

Source	DF	Type III SS	Mean Square	F Value	Pr > F
ENERGIA	2	0.73699256	0.36849628	288.03	<.0001
CATEG	1	0.00041453	0.00041453	0.32	0.5743
ENERGIA*CATEG	2	0.00255100	0.00127550	1.00	0.3832
IDADE	1	0.00031845	0.00031845	0.25	0.6222

ENERGIA	EM LSMEAN	Standard Error	Pr >  t	LSMEAN Number
3400	3.46796315	0.01084932	<.0001	1
3600	3.58104572	0.01148175	<.0001	2
3800	3.82877851	0.01089389	<.0001	3

Least Squares Means for effect ENERGIA Pr >  t  for H0: LSMean(i)=LSMean(j) Dependent Variable: EM			
i/j	1	2	3
1		<.0001	<.0001
2	<.0001		<.0001
3	<.0001	<.0001	

EM LSMEAN	Standard Error	H0:LSMEAN=0	H0:LSMean1=LSMean2	Pr >  t	Pr >  t
L 3.62058077	0.01136526		<.0001		0.5743
P 3.63127749	0.01131166		<.0001		

ENERGIA	CATEG	EM LSMEAN	Standard Error	Pr >  t	LSMEAN Number
3400 L		3.45260576	0.01705639	<.0001	1

ENERGIA	CATEG	EM LSMEAN	Standard Error	Pr >  t	LSMEAN Number
3400	P	3.48332055	0.01629670	<.0001	2
3600	L	3.57422133	0.01839221	<.0001	3
3600	P	3.58787012	0.01679873	<.0001	4
3800	L	3.83491522	0.01575674	<.0001	5
3800	P	3.82264181	0.01801571	<.0001	6

Least Squares Means for effect ENERGIA*CATEG						
Pr >  t  for H0: LSMean(i)=LSMean(j)						
Dependent Variable: EM						
i/j	1	2	3	4	5	6
1	0.2368	<.0001	<.0001	<.0001	<.0001	<.0001
2	0.2368	0.0026	<.0001	<.0001	<.0001	<.0001
3	<.0001	0.0026	0.6139	<.0001	<.0001	<.0001
4	<.0001	<.0001	0.6139	<.0001	<.0001	<.0001
5	<.0001	<.0001	<.0001	<.0001	0.6397	
6	<.0001	<.0001	<.0001	<.0001	0.6397	

The REG Procedure

Model: MODEL1

Dependent Variable: EM

Number of Observations Read	32
Number of Observations Used	32

Analysis of Variance					
Source	DF	Sum of Squares	Mean Square	F Value	Pr > F
Model	1	0.71413	0.71413	325.76	<.0001
Error	30	0.06577	0.00219		
Corrected Total	31	0.77989			

Root MSE	0.04682	R-Square	0.9157
Dependent Mean	3.62800	Adj R-Sq	0.9129
Coeff Var	1.29054		

Parameter Estimates						
Variable	Label	DF	Parameter Estimate	Standard Error	t Value	Pr >  t
Intercept	Intercept	1	0.38499	0.17987	2.14	0.0406
ENERGIA	ENERGIA	1	0.00090084	0.00004991	18.05	<.0001

**Apêndice 9.** Análise estatística. Composição corporal física dos leitões no 28º dia

The GLM Procedure					
Class Level Information					
Class	Levels	Values			
TRAT	3	3400 3600 3800			
CATEG	2	L P			

Number of Observations Read	32
Number of Observations Used	32

Dependent Variable: Peso vivo

Source	DF	Sum of Squares	Mean Square	F Value	Pr > F
Model	6	172.6402674	28.7733779	10.72	<.0001
Error	25	67.0963326	2.6838533		
Corrected Total	31	239.7366000			

R-Square	Coeff Var	Root MSE	PV Mean
0.720125	8.245864	1.638247	19.86750

Source	DF	Type III SS	Mean Square	F Value	Pr > F
TRAT	2	3.92601643	1.96300821	0.73	0.4912
CATEG	1	66.26553591	66.26553591	24.69	<.0001
TRAT*CATEG	2	3.22598344	1.61299172	0.60	0.5560
IDADE	1	0.66672078	0.66672078	0.25	0.6225

TRAT	PV LSMEAN	Standard Error	Pr >  t	LSMEAN Number
3400	19.4599838	0.4969181	<.0001	1
3600	19.9070487	0.5258845	<.0001	2
3800	20.3083041	0.4989597	<.0001	3

Least Squares Means for effect TRAT			
Pr >  t  for H0: LSMean(i)=LSMean(j)			
Dependent Variable: PV			
i/j	1	2	3
1		0.5443	0.2381
2	0.5443		0.5883
3	0.2381	0.5883	

CATEG	PV LSMEAN	Standard Error	H0:LSMEAN=0	H0:LSMean1=LSMean2	Pr >  t	Pr >  t

CATEG	PV	LSMEAN	Standard Error	H0:LSMEAN=0	H0:LSMean1=LSMean2	Pr >  t	Pr >  t
L	17.7533943	0.5205490		<.0001		<.0001	
P	22.0301634	0.5180942		<.0001			

TRAT	CATEG	PV	LSMEAN	Standard Error	Pr >  t	LSMEAN Number
3400	L	17.7351461	0.7812128	<.0001		1
3400	P	21.1848214	0.7464176	<.0001		2
3600	L	17.7032240	0.8423959	<.0001		3
3600	P	22.1108734	0.7694117	<.0001		4
3800	L	17.8218128	0.7216867	<.0001		5
3800	P	22.7947955	0.8251517	<.0001		6

Least Squares Means for effect TRAT*CATEG						
Pr >  t  for H0: LSMean(i)=LSMean(j)						
Dependent Variable: PV						
i/j	1	2	3	4	5	6
1	0.0065	0.9759	0.0008	0.9311	0.0003	
2	0.0065		0.0096	0.3617	0.0061	0.1176
3	0.9759	0.0096		0.0014	0.9068	0.0006
4	0.0008	0.3617	0.0014		0.0007	0.5192
5	0.9311	0.0061	0.9068	0.0007		0.0003
6	0.0003	0.1176	0.0006	0.5192	0.0003	

Dependent Variable: Carçaça (kg)

Source	DF	Sum of Squares	Mean Square	F Value	Pr > F
Model	6	124.4401935	20.7400322	10.43	<.0001
Error	25	49.7012753	1.9880510		
Corrected Total	31	174.1414687			

R-Square	Coeff Var	Root MSE	CARCACA Mean
0.714593	9.259202	1.409983	15.22791

Source	DF	Type III SS	Mean Square	F Value	Pr > F
TRAT	2	3.01255934	1.50627967	0.76	0.4792
CATEG	1	43.18066935	43.18066935	21.72	<.0001
TRAT*CATEG	2	1.99948202	0.99974101	0.50	0.6108
IDADE	1	1.25196078	1.25196078	0.63	0.4349

TRAT	CARCACA LSMEAN	Standard Error	Pr >  t	LSMEAN Number
3400	14.8809229	0.4276802	<.0001	1
3600	15.2340313	0.4526106	<.0001	2
3800	15.6243779	0.4294374	<.0001	3

Least Squares Means for effect TRAT  
 Pr > |t| for H0: LSMean(i)=LSMean(j)  
 Dependent Variable: CARCACA

i/j	1	2	3
1	0.5777	0.2299	
2	0.5777	0.5409	
3	0.2299	0.5409	

CATEG	CARCACA LSMEAN	Standard Error	H0:LSMEAN=0	H0:LSMean1=LSMean2	Pr >  t	Pr >  t
L	13.5202618	0.4480185		<.0001		<.0001
P	16.9726262	0.4459058		<.0001		

TRAT	CATEG	CARCACA LSMEAN	Standard Error	Pr >  t	LSMEAN Number
3400	L	13.4531940	0.6723629	<.0001	1
3400	P	16.3086518	0.6424158	<.0001	2
3600	L	13.5165641	0.7250211	<.0001	3
3600	P	16.9514985	0.6622061	<.0001	4
3800	L	13.5910273	0.6211308	<.0001	5
3800	P	17.6577284	0.7101795	<.0001	6

Least Squares Means for effect TRAT\*CATEG  
 Pr > |t| for H0: LSMean(i)=LSMean(j)  
 Dependent Variable: CARCACA

i/j	1	2	3	4	5	6
1	0.0085	0.9445	0.0017	0.8730	0.0005	
2	0.0085		0.0150	0.4606	0.0094	0.1271
3	0.9445	0.0150		0.0032	0.9319	0.0011
4	0.0017	0.4606	0.0032		0.0017	0.4402
5	0.8730	0.0094	0.9319	0.0017		0.0005
6	0.0005	0.1271	0.0011	0.4402	0.0005	

Dependent Variable: Visceras + Sangue (kg)

Source	DF	Sum of Squares	Mean Square	F Value	Pr > F
Model	6	2.33711628	0.38951938	2.64	0.0402
Error	25	3.68901466	0.14756059		

Source	DF	Sum of Squares	Mean Square	F Value	Pr > F
Corrected Total	31	6.02613094			

R-Square	Coeff Var	Root MSE	VS Mean
0.387830	10.46343	0.384136	3.671225

Source	DF	Type III SS	Mean Square	F Value	Pr > F
TRAT	2	0.21492925	0.10746462	0.73	0.4927
CATEG	1	0.38572725	0.38572725	2.61	0.1185
TRAT*CATEG	2	0.02897501	0.01448750	0.10	0.9068
IDADE	1	0.19040564	0.19040564	1.29	0.2668

TRAT	VS LSMEAN	Standard Error	Pr >  t	LSMEAN Number
3400	3.58651696	0.11651735	<.0001	1
3600	3.64954411	0.12330940	<.0001	2
3800	3.78174220	0.11699607	<.0001	3

Least Squares Means for effect TRAT Pr >  t  for H0: LSMean(i)=LSMean(j) Dependent Variable: VS				
i/j	1	2	3	
1		0.7148	0.2467	
2	0.7148		0.4482	
3	0.2467	0.4482		

CATEG	VS LSMEAN	Standard Error	H0:LSMEAN=0	H0:LSMean1=LSMean2	Pr >  t	Pr >  t
L	3.50945296	0.12205832			<.0001	0.1185
P	3.83574923	0.12148273			<.0001	

TRAT	CATEG	VS LSMEAN	Standard Error	Pr >  t	LSMEAN Number
3400	L	3.46542232	0.18317877	<.0001	1
3400	P	3.70761161	0.17501999	<.0001	2
3600	L	3.46938089	0.19752499	<.0001	3
3600	P	3.82970732	0.18041166	<.0001	4
3800	L	3.59355565	0.16922109	<.0001	5
3800	P	3.96992875	0.19348156	<.0001	6

Least Squares Means for effect TRAT*CATEG Pr >  t  for H0: LSMean(i)=LSMean(j) Dependent Variable: VS				
---	--	--	--	--

i/j	1	2	3	4	5	6
1	0.3820	0.9873	0.1900	0.5866	0.0909	
2	0.3820		0.4210	0.6060	0.6682	0.2707
3	0.9873	0.4210		0.2207	0.6020	0.1147
4	0.1900	0.6060	0.2207		0.3745	0.5727
5	0.5866	0.6682	0.6020	0.3745		0.1882
6	0.0909	0.2707	0.1147	0.5727	0.1882	

Dependent Variable: Corpo vazio (kg)

Source	DF	Sum of Squares	Mean Square	F Value	Pr > F
Model	6	159.5891560	26.5981927	9.52	<.0001
Error	25	69.8757218	2.7950289		
Corrected Total	31	229.4648778			

R-Square	Coeff Var	Root MSE	CV Mean
0.695484	8.846089	1.671834	18.89913

Source	DF	Type III SS	Mean Square	F Value	Pr > F
TRAT	2	4.81501368	2.40750684	0.86	0.4348
CATEG	1	51.72873961	51.72873961	18.51	0.0002
TRAT*CATEG	2	2.46650421	1.23325210	0.44	0.6482
IDADE	1	2.41885073	2.41885073	0.87	0.3611

TRAT	CV LSMEAN	Standard Error	Pr >  t	LSMEAN Number
3400	18.4674399	0.5071058	<.0001	1
3600	18.8835754	0.5366661	<.0001	2
3800	19.4061201	0.5091893	<.0001	3

Least Squares Means for effect TRAT Pr >  t  for H0: LSMean(i)=LSMean(j) Dependent Variable: CV			
i/j	1	2	3
1		0.5800	0.2019
2	0.5800		0.4905
3	0.2019	0.4905	

CATEG	CV LSMEAN	Standard Error	H0:LSMEAN=0	H0:LSMean1=LSMean2	Pr >  t	Pr >  t
L	17.0297148	0.5312211			<.0001	0.0002
P	20.8083755	0.5287161			<.0001	

TRAT	CATEG	CV LSMEAN	Standard Error	Pr >  t	LSMEAN Number
3400	L	16.9186163	0.7972290	<.0001	1
3400	P	20.0162634	0.7617205	<.0001	2
3600	L	16.9859450	0.8596665	<.0001	3
3600	P	20.7812059	0.7851860	<.0001	4
3800	L	17.1845830	0.7364825	<.0001	5
3800	P	21.6276572	0.8420687	<.0001	6

Least Squares Means for effect TRAT*CATEG						
Pr >  t  for H0: LSMean(i)=LSMean(j)						
Dependent Variable: CV						
i/j	1	2	3	4	5	6
1		0.0149	0.9502	0.0030	0.7949	0.0009
2	0.0149		0.0246	0.4590	0.0205	0.1244
3	0.9502	0.0246		0.0055	0.8476	0.0018
4	0.0030	0.4590	0.0055		0.0041	0.4353
5	0.7949	0.0205	0.8476	0.0041		0.0012
6	0.0009	0.1244	0.0018	0.4353	0.0012	

Dependent Variable: Carcaça (g/ kg PV)

Source	DF	Sum of Squares	Mean Square	F Value	Pr > F
<b>Model</b>	6	3597.10173	599.51695	1.45	0.2347
<b>Error</b>	25	10316.65009	412.66600		
<b>Corrected Total</b>	31	13913.75181			

R-Square	Coeff Var	Root MSE	CARCACA Mean
0.258529	2.655379	20.31418	765.0201

Source	DF	Type III SS	Mean Square	F Value	Pr > F
TRAT	2	94.5859308	47.2929654	0.11	0.8922
CATEG	1	334.7286474	334.7286474	0.81	0.3764
TRAT*CATEG	2	156.2743384	78.1371692	0.19	0.8287
IDADE	1	535.2770474	535.2770474	1.30	0.2655

TRAT	CARCACA LSMEAN	Standard Error	Pr >  t	LSMEAN Number
3400	763.819253	6.161760	<.0001	1
3600	763.750241	6.520942	<.0001	2
3800	767.450812	6.187076	<.0001	3

**Least Squares Means for effect TRAT**  
Pr > |t| for H0: LSMean(i)=LSMean(j)  
Dependent Variable: CARCACA

i/j	1	2	3
1		0.9940	0.6800
2	0.9940		0.6868
3	0.6800	0.6868	

CATEG	CARCACA LSMEAN	Standard Error	H0:LSMEAN=0	H0:LSMean1=LSMean2
			Pr >  t	Pr >  t
L	760.200717	6.454782	<.0001	0.3764
P	769.812820	6.424343	<.0001	

TRAT	CATEG	CARCACA LSMEAN	Standard Error	Pr >  t	LSMEAN Number
3400	L	757.855473	9.687000	<.0001	1
3400	P	769.783033	9.255541	<.0001	2
3600	L	762.088678	10.445668	<.0001	3
3600	P	765.411803	9.540668	<.0001	4
3800	L	760.658000	8.948879	<.0001	5
3800	P	774.243623	10.231840	<.0001	6

Least Squares Means for effect TRAT*CATEG Pr >  t  for H0: LSMean(i)=LSMean(j) Dependent Variable: CARCACA						
i/j	1	2	3	4	5	6
1	0.4151	0.7469	0.6018	0.8216	0.2904	
2	0.4151		0.6217	0.7265	0.5177	0.7202
3	0.7469	0.6217		0.8284	0.9093	0.4600
4	0.6018	0.7265	0.8284		0.7335	0.5022
5	0.8216	0.5177	0.9093	0.7335		0.3646
6	0.2904	0.7202	0.4600	0.5022	0.3646	

Dependent Variable: Visceras + Sangue (g/kg PV)

Source	DF	Sum of Squares	Mean Square	F Value	Pr > F
Model	6	3219.106207	536.517701	2.93	0.0266
Error	25	4583.495873	183.339835		
Corrected Total	31	7802.602081			

R-Square	Coeff Var	Root MSE	VS Mean
0.412568	7.284804	13.54030	185.8705

Source	DF	Type III SS	Mean Square	F Value	Pr > F
TRAT	2	78.543015	39.271507	0.21	0.8087

Source	DF	Type III SS	Mean Square	F Value	Pr > F
CATEG	1	2172.790076	2172.790076	11.85	0.0020
TRAT*CATEG	2	122.087085	61.043543	0.33	0.7199
IDADE	1	274.555903	274.555903	1.50	0.2325

TRAT	VS LSMEAN	Standard Error	Pr >  t	LSMEAN Number
3400	184.630867	4.107086	<.0001	1
3600	184.519140	4.346497	<.0001	2
3800	187.916780	4.123961	<.0001	3

Least Squares Means for effect TRAT Pr >  t  for H0: LSMean(i)=LSMean(j) Dependent Variable: VS			
i/j	1	2	3
1	0.9853	0.5761	
2	0.9853	0.5792	
3	0.5761	0.5792	

CATEG	VS LSMEAN	Standard Error	H0:LSMEAN=0	H0:LSMean1=LSMean2	Pr >  t	Pr >  t
L	197.933705	4.302398	<.0001			0.0020
P	173.444153	4.282110	<.0001			

TRAT	CATEG	VS LSMEAN	Standard Error	Pr >  t	LSMEAN Number
3400	L	194.831020	6.456816	<.0001	1
3400	P	174.430714	6.169229	<.0001	2
3600	L	196.211947	6.962501	<.0001	3
3600	P	172.826334	6.359278	<.0001	4
3800	L	202.758147	5.964825	<.0001	5
3800	P	173.075412	6.819976	<.0001	6

Least Squares Means for effect TRAT*CATEG Pr >  t  for H0: LSMean(i)=LSMean(j) Dependent Variable: VS						
i/j	1	2	3	4	5	6
1	0.0435	0.8744	0.0295	0.3429	0.0413	
2	0.0435		0.0439	0.8472	0.0053	0.8702
3	0.8744	0.0439		0.0293	0.4369	0.0420
4	0.0295	0.8472	0.0293		0.0033	0.9772
5	0.3429	0.0053	0.4369	0.0033		0.0057
6	0.0413	0.8702	0.0420	0.9772	0.0057	

Dependent Variable: Corpo vazio (g/kg PV)

Source	DF	Sum of Squares	Mean Square	F Value	Pr > F
<b>Model</b>	6	2350.276536	391.712756	1.90	0.1202
<b>Error</b>	25	5150.369919	206.014797		
<b>Corrected Total</b>	31	7500.646455			

R-Square	Coeff Var	Root MSE	CV Mean
0.313343	1.509450	14.35322	950.8907

Source	DF	Type III SS	Mean Square	F Value	Pr > F
<b>TRAT</b>	2	345.499695	172.749848	0.84	0.4441
<b>CATEG</b>	1	801.886778	801.886778	3.89	0.0597
<b>TRAT*CATEG</b>	2	182.715650	91.357825	0.44	0.6468
<b>IDADE</b>	1	1576.549257	1576.549257	7.65	0.0105

TRAT	CV LSMEAN	Standard Error	Pr >  t	LSMEAN Number
<b>3400</b>	948.450120	4.353661	<.0001	1
<b>3600</b>	948.269381	4.607445	<.0001	2
<b>3800</b>	955.367592	4.371549	<.0001	3

Least Squares Means for effect TRAT Pr >  t  for H0: LSMean(i)=LSMean(j) Dependent Variable: CV			
i/j	1	2	3
<b>1</b>		0.9776	0.2713
<b>2</b>	0.9776		0.2787
<b>3</b>	0.2713	0.2787	

CATEG	CV LSMEAN	Standard Error	H0:LSMEAN=0	H0:LSMean1=LSMean2	Pr >  t	Pr >  t
<b>L</b>	958.134422	4.560699		<.0001		0.0597
<b>P</b>	943.256973	4.539192		<.0001		

TRAT	CATEG	CV LSMEAN	Standard Error	Pr >  t	LSMEAN Number
<b>3400</b>	<b>L</b>	952.686493	6.844460	<.0001	1
<b>3400</b>	<b>P</b>	944.213746	6.539607	<.0001	2
<b>3600</b>	<b>L</b>	958.300625	7.380505	<.0001	3
<b>3600</b>	<b>P</b>	938.238137	6.741067	<.0001	4
<b>3800</b>	<b>L</b>	963.416148	6.322932	<.0001	5
<b>3800</b>	<b>P</b>	947.319036	7.229422	<.0001	6

Least Squares Means for effect TRAT*CATEG Pr >  t  for H0: LSMean(i)=LSMean(j) Dependent Variable: CV			
---	--	--	--

i/j	1	2	3	4	5	6
1	0.4126	0.5457	0.1651	0.2285	0.6210	
2	0.4126	0.2073	0.5001	0.0619	0.7242	
3	0.5457	0.2073	0.0730	0.5655	0.3465	
4	0.1651	0.5001	0.0730	0.0161	0.3313	
5	0.2285	0.0619	0.5655	0.0161		0.1340
6	0.6210	0.7242	0.3465	0.3313	0.1340	

### Dependent Variable: Tratogastrintestinal (g)

Source	DF	Sum of Squares	Mean Square	F Value	Pr > F
Model	6	500837.1029	83472.8505	6.51	0.0003
Error	25	320649.6158	12825.9846		
Corrected Total	31	821486.7188			

R-Square	Coeff Var	Root MSE	TGI Mean
0.609672	7.898136	113.2519	1433.906

Source	DF	Type III SS	Mean Square	F Value	Pr > F
TRAT	2	15149.4312	7574.7156	0.59	0.5616
CATEG	1	290189.0443	290189.0443	22.63	<.0001
TRAT*CATEG	2	12133.7548	6066.8774	0.47	0.6286
IDADE	1	10171.2175	10171.2175	0.79	0.3817

TRAT	TGI LSMEAN	Standard Error	Pr >  t	LSMEAN Number
3400	1405.85471	34.35190	<.0001	1
3600	1444.43588	36.35435	<.0001	2
3800	1456.42181	34.49304	<.0001	3

Least Squares Means for effect TRAT Pr >  t  for H0: LSMean(i)=LSMean(j) Dependent Variable: TGI			
i/j	1	2	3
1	0.4500	0.3073	
2	0.4500		0.8146
3	0.3073	0.8146	

CATEG	TGI LSMEAN	Standard Error	H0:LSMEAN=0	H0:LSMean1=LSMean2	Pr >  t	Pr >  t
L	1294.06232	35.98550		<.0001		<.0001
P	1577.07927	35.81581		<.0001		

TRAT	CATEG	TGI LSMEAN	Standard Error	Pr >  t	LSMEAN Number
------	-------	------------	----------------	---------	---------------

TRAT	CATEG	TGI LSMEAN	Standard Error	Pr >  t	LSMEAN Number
3400	L	1291.30763	54.00517	<.0001	1
3400	P	1520.40179	51.59978	<.0001	2
3600	L	1293.40503	58.23475	<.0001	3
3600	P	1595.46672	53.18936	<.0001	4
3800	L	1297.47430	49.89013	<.0001	5
3800	P	1615.36932	57.04266	<.0001	6

Least Squares Means for effect TRAT*CATEG						
Pr >  t  for H0: LSMean(i)=LSMean(j)						
Dependent Variable: TGI						
i/j	1	2	3	4	5	6
1	0.0085	0.9771	0.0008	0.9291	0.0008	
2	0.0085		0.0139	0.2863	0.0081	0.1788
3	0.9771	0.0139		0.0015	0.9536	0.0015
4	0.0008	0.2863	0.0015		0.0007	0.7854
5	0.9291	0.0081	0.9536	0.0007		0.0007
6	0.0008	0.1788	0.0015	0.7854	0.0007	

### Dependent Variable: Tratogastrintestinal (g/kg Corpo vazio)

Source	DF	Sum of Squares	Mean Square	F Value	Pr > F
Model	6	353.217799	58.869633	1.29	0.2983
Error	25	1141.981040	45.679242		
Corrected Total	31	1495.198838			

R-Square	Coeff Var	Root MSE	TGI Mean
0.236235	8.839326	6.758642	76.46105

Source	DF	Type III SS	Mean Square	F Value	Pr > F
TRAT	2	16.1474270	8.0737135	0.18	0.8390
CATEG	1	0.5568331	0.5568331	0.01	0.9130
TRAT*CATEG	2	6.9069309	3.4534654	0.08	0.9274
IDADE	1	129.7373557	129.7373557	2.84	0.1044

TRAT	TGI LSMEAN	Standard Error	Pr >  t	LSMEAN Number
3400	76.7934040	2.0500519	<.0001	1
3600	77.1954330	2.1695539	<.0001	2
3800	75.5033505	2.0584747	<.0001	3

**Least Squares Means for effect TRAT**  
**Pr > |t| for H0: LSMean(i)=LSMean(j)**  
**Dependent Variable: TGI**

i/j	1	2	3
1		0.8945	0.6598
2	0.8945		0.5801
3	0.6598	0.5801	

CATEG	TGI LSMEAN	Standard Error	H0:LSMEAN=0	H0:LSMean1=LSMean2	Pr >  t	Pr >  t
L	76.6934177	2.1475419		<.0001		0.9130
P	76.3013740	2.1374148		<.0001		

TRAT	CATEG	TGI LSMEAN	Standard Error	Pr >  t	LSMEAN Number
3400	L	77.5267353	3.2229191	<.0001	1
3400	P	76.0600726	3.0793702	<.0001	2
3600	L	76.7817870	3.4753320	<.0001	3
3600	P	77.6090790	3.1742335	<.0001	4
3800	L	75.7717307	2.9773421	<.0001	5
3800	P	75.2349703	3.4041904	<.0001	6

**Least Squares Means for effect TRAT\*CATEG**  
**Pr > |t| for H0: LSMean(i)=LSMean(j)**  
**Dependent Variable: TGI**

i/j	1	2	3	4	5	6
1		0.7619	0.8644	0.9863	0.6717	0.6537
2	0.7619		0.8891	0.7096	0.9508	0.8420

3	0.8644	0.8891		0.8711	0.8091	0.7764
4	0.9863	0.7096	0.8711		0.6926	0.5871
5	0.6717	0.9508	0.8091	0.6926		0.9136
6	0.6537	0.8420	0.7764	0.5871	0.9136	

## Apêndice 10. Análise estatística. Composição corporal química dos leitões no 28º dia

### Carcaça

Dependent Variable: Matéria seca

Source	DF	Sum of Squares	Mean Square	F Value	Pr > F
Model	6	16.0925693	2.6820949	0.70	0.6553
Error	25	96.3716367	3.8548655		
Corrected Total	31	112.4642059			

R-Square	Coeff Var	Root MSE	MS Mean
0.143091	6.582697	1.963381	29.82639

Source	DF	Type III SS	Mean Square	F Value	Pr > F
TRAT	2	7.78766124	3.89383062	1.01	0.3786
CATEG	1	0.00007059	0.00007059	0.00	0.9966
TRAT*CATEG	2	4.25990242	2.12995121	0.55	0.5824
IDADE	1	1.99590200	1.99590200	0.52	0.4785

TRAT	MS LSMEAN	Standard Error	Pr >  t	LSMEAN Number
3400	29.6110950	0.5955387	<.0001	1
3600	30.5943195	0.6302540	<.0001	2
3800	29.4234565	0.5979856	<.0001	3

Least Squares Means for effect TRAT Pr >  t  for H0: LSMean(i)=LSMean(j) Dependent Variable: MS			
i/j	1	2	3
1		0.2700	0.8253
2	0.2700		0.1938
3	0.8253	0.1938	

CATEG	MS LSMEAN	Standard Error	H0:LSMEAN=0	H0:LSMean1=LSMean2	Pr >  t	Pr >  t
L	29.8740833	0.6238595		<.0001		0.9966
P	29.8784974	0.6209176		<.0001		

TRAT	CATEG	MS LSMEAN	Standard Error	Pr >  t	LSMEAN Number
3400	L	30.0190585	0.9362559	<.0001	1
3400	P	29.2031316	0.8945551	<.0001	2
3600	L	30.6504880	1.0095817	<.0001	3
3600	P	30.5381510	0.9221128	<.0001	4
3800	L	28.9527033	0.8649160	<.0001	5
3800	P	29.8942097	0.9889151	<.0001	6

Least Squares Means for effect TRAT*CATEG Pr >  t  for H0: LSMean(i)=LSMean(j) Dependent Variable: MS						
i/j	1	2	3	4	5	6
1	0.5628	0.6189	0.7104	0.3783	0.9328	
2	0.5628		0.3402	0.2743	0.8537	0.5667
3	0.6189	0.3402		0.9395	0.1700	0.6332

**Least Squares Means for effect TRAT\*CATEG**  
**Pr > |t| for H0: LSMean(i)=LSMean(j)**  
**Dependent Variable: MS**

i/j	1	2	3	4	5	6
4	0.7104	0.2743	0.9395		0.2460	0.6120
5	0.3783	0.8537	0.1700	0.2460		0.5139
6	0.9328	0.5667	0.6332	0.6120	0.5139	

Dependent Variable: Cinza

Source	DF	Sum of Squares	Mean Square	F Value	Pr > F
<b>Model</b>	6	1.12463119	0.18743853	0.73	0.6271
<b>Error</b>	25	6.38544271	0.25541771		
<b>Corrected Total</b>	31	7.51007390			

R-Square	Coeff Var	Root MSE	CZ Mean
0.149750	16.42060	0.505389	3.077772

Source	DF	Type III SS	Mean Square	F Value	Pr > F
<b>TRAT</b>	2	0.70606316	0.35303158	1.38	0.2696
<b>CATEG</b>	1	0.31806567	0.31806567	1.25	0.2751
<b>TRAT*CATEG</b>	2	0.22536077	0.11268039	0.44	0.6482
<b>IDADE</b>	1	0.37518494	0.37518494	1.47	0.2368

TRAT	CZ LSMEAN	Standard Error	Pr >  t	LSMEAN Number
3400	2.98976574	0.15329603	<.0001	1
3600	3.29696372	0.16223199	<.0001	2
3800	2.95139711	0.15392586	<.0001	3

**Least Squares Means for effect TRAT**  
**Pr > |t| for H0: LSMean(i)=LSMean(j)**  
**Dependent Variable: CZ**

i/j	1	2	3
1		0.1831	0.8608
2	0.1831		0.1383
3	0.8608	0.1383	

CATEG	CZ LSMEAN	Standard Error	H0:LSMEAN=0	H0:LSMean1=LSMean2	Pr >  t	Pr >  t
L	3.22752508	0.16058601	<.0001			0.2751
P	2.93122597	0.15982874	<.0001			

TRAT	CATEG	CZ LSMEAN	Standard Error	Pr >  t	LSMEAN Number
------	-------	-----------	----------------	---------	---------------

TRAT	CATEG	CZ LSMEAN	Standard Error	Pr >  t	LSMEAN Number
3400	L	3.08954541	0.24099912	<.0001	1
3400	P	2.88998606	0.23026502	<.0001	2
3600	L	3.37557231	0.25987372	<.0001	3
3600	P	3.21835514	0.23735857	<.0001	4
3800	L	3.21745751	0.22263570	<.0001	5
3800	P	2.68533671	0.25455398	<.0001	6

Least Squares Means for effect TRAT\*CATEG  
 Pr > |t| for H0: LSMean(i)=LSMean(j)  
 Dependent Variable: CZ

i/j	1	2	3	4	5	6
1	0.5823	0.3839	0.7203	0.6795	0.2945	
2	0.5823		0.2167	0.2957	0.3529	0.5103
3	0.3839	0.2167		0.6806	0.6137	0.0991
4	0.7203	0.2957	0.6806		0.9979	0.1111
5	0.6795	0.3529	0.6137	0.9979		0.1584
6	0.2945	0.5103	0.0991	0.1111	0.1584	

### Dependent Variable: Proteína bruta

Source	DF	Sum of Squares	Mean Square	F Value	Pr > F
Model	6	2.01595712	0.33599285	1.93	0.1157
Error	25	4.35987090	0.17439484		
Corrected Total	31	6.37582802			

R-Square	Coeff Var	Root MSE	PB Mean
0.316187	2.635100	0.417606	15.84783

Source	DF	Type III SS	Mean Square	F Value	Pr > F
TRAT	2	0.02528865	0.01264433	0.07	0.9303
CATEG	1	0.10284480	0.10284480	0.59	0.4497
TRAT*CATEG	2	0.32565600	0.16282800	0.93	0.4064
IDADE	1	1.13924991	1.13924991	6.53	0.0171

TRAT	PB LSMEAN	Standard Error	Pr >  t	LSMEAN Number
3400	15.8138255	0.1266695	<.0001	1
3600	15.8553109	0.1340534	<.0001	2
3800	15.8813655	0.1271900	<.0001	3

Least Squares Means for effect TRAT  
 Pr > |t| for H0: LSMean(i)=LSMean(j)  
 Dependent Variable: PB

i/j	1	2	3
1		0.8248	0.7090
2	0.8248		0.8900
3	0.7090	0.8900	

CATEG	PB	LSMEAN	Standard Error	H0:LSMEAN=0	H0:LSMean1=LSMean2	Pr >  t	Pr >  t
L	15.9344102	0.1326933		<.0001		0.4497	
P	15.7659245	0.1320676		<.0001			

TRAT	CATEG	PB	LSMEAN	Standard Error	Pr >  t	LSMEAN Number
3400	L	16.0025704	0.1991392	<.0001		1
3400	P	15.6250807	0.1902695	<.0001		2
3600	L	15.8002451	0.2147354	<.0001		3
3600	P	15.9103767	0.1961310	<.0001		4
3800	L	16.0004151	0.1839654	<.0001		5
3800	P	15.7623159	0.2103397	<.0001		6

Least Squares Means for effect TRAT*CATEG Pr >  t  for H0: LSMean(i)=LSMean(j) Dependent Variable: PB						
i/j	1	2	3	4	5	6
1	0.2137	0.4551	0.7564	0.9933	0.4483	
2	0.2137		0.5850	0.2721	0.2011	0.5926
3	0.4551	0.5850		0.7270	0.4408	0.9102
4	0.7564	0.2721	0.7270		0.7538	0.5837
5	0.9933	0.2011	0.4408	0.7538		0.4385
6	0.4483	0.5926	0.9102	0.5837	0.4385	

### Dependent Variable: Gordura bruta

Source	DF	Sum of Squares	Mean Square	F Value	Pr > F
Model	6	12.40832527	2.06805421	0.86	0.5374
Error	25	60.13490724	2.40539629		
Corrected Total	31	72.54323252			

R-Square	Coeff Var	Root MSE	GB Mean
0.171047	14.22772	1.550934	10.90079

Source	DF	Type III SS	Mean Square	F Value	Pr > F
TRAT	2	3.86487550	1.93243775	0.80	0.4590

Source	DF	Type III SS	Mean Square	F Value	Pr > F
CATEG	1	0.79757266	0.79757266	0.33	0.5699
TRAT*CATEG	2	6.28682080	3.14341040	1.31	0.2885
IDADE	1	0.07135094	0.07135094	0.03	0.8646

TRAT	GB LSMEAN	Standard Error	Pr >  t	LSMEAN Number
3400	10.8075038	0.4704340	<.0001	1
3600	11.4420448	0.4978567	<.0001	2
3800	10.5906939	0.4723669	<.0001	3

Least Squares Means for effect TRAT Pr >  t  for H0: LSMean(i)=LSMean(j) Dependent Variable: GB			
i/j	1	2	3
1	0.3655	0.7469	
2	0.3655	0.2305	
3	0.7469	0.2305	

CATEG	GB LSMEAN	Standard Error	H0:LSMEAN=0	H0:LSMean1=LSMean2	Pr >  t	Pr >  t
L	10.7121480	0.4928055		<.0001		0.5699
P	11.1813470	0.4904816		<.0001		

TRAT	CATEG	GB LSMEAN	Standard Error	Pr >  t	LSMEAN Number
3400	L	10.9269427	0.7395768	<.0001	1
3400	P	10.6880648	0.7066360	<.0001	2
3600	L	11.4746705	0.7974991	<.0001	3
3600	P	11.4094191	0.7284047	<.0001	4
3800	L	9.7348307	0.6832232	<.0001	5
3800	P	11.4465571	0.7811739	<.0001	6

Least Squares Means for effect TRAT*CATEG Pr >  t  for H0: LSMean(i)=LSMean(j) Dependent Variable: GB						
i/j	1	2	3	4	5	6
1	0.8297	0.5852	0.6623	0.2160	0.6576	
2	0.8297		0.5096	0.4517	0.3778	0.4274
3	0.5852	0.5096		0.9555	0.0787	0.9820
4	0.6623	0.4517	0.9555		0.1248	0.9704
5	0.2160	0.3778	0.0787	0.1248		0.1401
6	0.6576	0.4274	0.9820	0.9704	0.1401	

### Dependent Variable: Energia bruta

Source	DF	Sum of Squares	Mean Square	F Value	Pr > F
<b>Model</b>	6	0.11236304	0.01872717	0.77	0.6000
<b>Error</b>	25	0.60727509	0.02429100		
<b>Corrected Total</b>	31	0.71963813			

R-Square	Coeff Var	Root MSE	EB Mean
0.156138	8.133536	0.155856	1.916211

Source	DF	Type III SS	Mean Square	F Value	Pr > F
<b>ENERGIA</b>	2	0.03344431	0.01672215	0.69	0.5116
<b>CATEG</b>	1	0.00427071	0.00427071	0.18	0.6786
<b>ENERGIA*CATEG</b>	2	0.05383949	0.02691974	1.11	0.3458
<b>IDADE</b>	1	0.00125578	0.00125578	0.05	0.8220

ENERGIA	EB LSMEAN	Standard Error	Pr >  t	LSMEAN Number
<b>3400</b>	1.90556413	0.04727463	<.0001	1
<b>3600</b>	1.96724179	0.05003037	<.0001	2
<b>3800</b>	1.88911517	0.04746886	<.0001	3

Least Squares Means for effect ENERGIA Pr >  t  for H0: LSMean(i)=LSMean(j) Dependent Variable: EB			
i/j	1	2	3
1		0.3812	0.8074
2	0.3812		0.2724
3	0.8074	0.2724	

CATEG	EB LSMEAN	Standard Error	H0:LSMEAN=0	H0:LSMean1=LSMean2	Pr >  t	Pr >  t
<b>L</b>	1.90347345	0.04952277		<.0001		0.6786
<b>P</b>	1.93780727	0.04928924		<.0001		

ENERGIA	CATEG	EB LSMEAN	Standard Error	Pr >  t	LSMEAN Number
<b>3400</b>	<b>L</b>	1.92741463	0.07432120	<.0001	1
<b>3400</b>	<b>P</b>	1.88371363	0.07101093	<.0001	2
<b>3600</b>	<b>L</b>	1.96717557	0.08014189	<.0001	3
<b>3600</b>	<b>P</b>	1.96730801	0.07319849	<.0001	4
<b>3800</b>	<b>L</b>	1.81583017	0.06865814	<.0001	5
<b>3800</b>	<b>P</b>	1.96240017	0.07850135	<.0001	6

Least Squares Means for effect ENERGIA*CATEG Pr >  t  for H0: LSMean(i)=LSMean(j) Dependent Variable: EB						
i/j	1	2	3	4	5	6
1	0.6956	0.6929	0.7192	0.2482	0.7662	
2	0.6956		0.4865	0.3864	0.5304	0.4129
3	0.6929	0.4865		0.9991	0.1251	0.9697
4	0.7192	0.3864	0.9991		0.1652	0.9611
5	0.2482	0.5304	0.1251	0.1652		0.2059
6	0.7662	0.4129	0.9697	0.9611	0.2059	

**Víscera + Sangue**

Dependent Variable: Matéria seca

Source	DF	Sum of Squares	Mean Square	F Value	Pr > F
Model	6	7.69892390	1.28315398	1.21	0.3327
Error	25	26.45434212	1.05817368		
Corrected Total	31	34.15326603			

R-Square	Coeff Var	Root MSE	MS Mean
0.225423	5.396072	1.028676	19.06342

Source	DF	Type III SS	Mean Square	F Value	Pr > F
TRAT	2	1.26328137	0.63164069	0.60	0.5582
CATEG	1	0.25459505	0.25459505	0.24	0.6281
TRAT*CATEG	2	4.62529860	2.31264930	2.19	0.1334
IDADE	1	0.19532573	0.19532573	0.18	0.6711

TRAT	MS LSMEAN	Standard Error	Pr >  t	LSMEAN Number
3400	18.8709539	0.3120210	<.0001	1
3600	19.3663855	0.3302094	<.0001	2
3800	19.0483814	0.3133030	<.0001	3

Least Squares Means for effect TRAT Pr >  t  for H0: LSMean(i)=LSMean(j) Dependent Variable: MS			
i/j	1	2	3
1		0.2883	0.6907
2	0.2883		0.4952
3	0.6907	0.4952	

CATEG	MS LSMEAN	Standard Error	H0:LSMEAN=0	H0:LSMean1=LSMean2	Pr >  t	Pr >  t

CATEG	MS	LSMEAN	Standard Error	H0:LSMEAN=0	H0:LSMean1=LSMean2	Pr >  t	Pr >  t
L	18.9626942	0.3268592		<.0001		0.6281	
P	19.2277864	0.3253178		<.0001			

TRAT	CATEG	MS	LSMEAN	Standard Error	Pr >  t	LSMEAN Number
3400	L	18.9519310	0.4905332	<.0001		1
3400	P	18.7899769	0.4686849	<.0001		2
3600	L	19.5539851	0.5289509	<.0001		3
3600	P	19.1787860	0.4831232	<.0001		4
3800	L	18.3821666	0.4531560	<.0001		5
3800	P	19.7145963	0.5181230	<.0001		6

Least Squares Means for effect TRAT*CATEG Pr >  t  for H0: LSMean(i)=LSMean(j) Dependent Variable: MS						
i/j	1	2	3	4	5	6
1	0.8259	0.3682	0.7566	0.3691	0.3304	
2	0.8259		0.3366	0.5400	0.5677	0.1507
3	0.3682	0.3366		0.6295	0.0745	0.8463
4	0.7566	0.5400	0.6295		0.2654	0.4224
5	0.3691	0.5677	0.0745	0.2654		0.0858
6	0.3304	0.1507	0.8463	0.4224	0.0858	

Dependent Variable: Cinza

Source	DF	Sum of Squares	Mean Square	F Value	Pr > F
Model	6	4.11133395	0.68522232	1.86	0.1271
Error	25	9.19004379	0.36760175		
Corrected Total	31	13.30137773			

R-Square	Coeff Var	Root MSE	CZ Mean
0.309091	38.34078	0.606302	1.581349

Source	DF	Type III SS	Mean Square	F Value	Pr > F
TRAT	2	1.08835588	0.54417794	1.48	0.2468
CATEG	1	0.46600397	0.46600397	1.27	0.2709
TRAT*CATEG	2	0.94589407	0.47294703	1.29	0.2939
IDADE	1	2.14488276	2.14488276	5.83	0.0234

TRAT	CZ LSMEAN	Standard Error	Pr >  t	LSMEAN Number
------	-----------	----------------	---------	---------------

TRAT	CZ LSMEAN	Standard Error	Pr >  t	LSMEAN Number
3400	1.43057027	0.18390528	<.0001	1
3600	1.86585452	0.19462552	<.0001	2
3800	1.49642109	0.18466087	<.0001	3

Least Squares Means for effect TRAT  
 Pr > |t| for H0: LSMean(i)=LSMean(j)  
 Dependent Variable: CZ

i/j	1	2	3
1	0.1184	0.8019	
2	0.1184	0.1846	
3	0.8019	0.1846	

CATEG	CZ LSMEAN	Standard Error	H0:LSMEAN=0	H0:LSMean1=LSMean2	Pr >  t	Pr >  t
L	1.77693861	0.19265088		<.0001		0.2709
P	1.41829198	0.19174240		<.0001		

TRAT	CATEG	CZ LSMEAN	Standard Error	Pr >  t	LSMEAN Number
3400	L	1.63752957	0.28912041	<.0001	1
3400	P	1.22361097	0.27624298	0.0002	2
3600	L	2.24218028	0.31176377	<.0001	3
3600	P	1.48952876	0.28475293	<.0001	4
3800	L	1.45110598	0.26709028	<.0001	5
3800	P	1.54173620	0.30538182	<.0001	6

Least Squares Means for effect TRAT\*CATEG  
 Pr > |t| for H0: LSMean(i)=LSMean(j)  
 Dependent Variable: CZ

i/j	1	2	3	4	5	6
1	0.3445	0.1309	0.7316	0.6161	0.8342	
2	0.3445	0.0360	0.4777	0.5885	0.3950	
3	0.1309	0.0360	0.1090	0.0430	0.1598	
4	0.7316	0.4777	0.1090	0.9265	0.8938	
5	0.6161	0.5885	0.0430	0.9265		0.8381
6	0.8342	0.3950	0.1598	0.8938	0.8381	

Dependent Variable: Proteína bruta

Source	DF	Sum of Squares	Mean Square	F Value	Pr > F
Model	6	0.89844815	0.14974136	0.25	0.9540
Error	25	14.87734916	0.59509397		

Source	DF	Sum of Squares	Mean Square	F Value	Pr > F
Corrected Total	31	15.77579731			

R-Square	Coeff Var	Root MSE	PB Mean
0.056951	5.904837	0.771423	13.06426

Source	DF	Type III SS	Mean Square	F Value	Pr > F
TRAT	2	0.33266766	0.16633383	0.28	0.7585
CATEG	1	0.27862333	0.27862333	0.47	0.5001
TRAT*CATEG	2	0.27913663	0.13956831	0.23	0.7927
IDADE	1	0.44960522	0.44960522	0.76	0.3930

TRAT	PB	LSMEAN	Standard Error	Pr >  t	LSMEAN Number
3400	13.1749949	0.2339905	<.0001		1
3600	12.9229422	0.2476303	<.0001		2
3800	13.0973832	0.2349519	<.0001		3

Least Squares Means for effect TRAT Pr >  t  for H0: LSMean(i)=LSMean(j) Dependent Variable: PB					
i/j	1	2	3		
1		0.4686	0.8163		
2	0.4686		0.6171		
3	0.8163	0.6171			

CATEG	PB	LSMEAN	Standard Error	H0:LSMEAN=0	H0:LSMean1=LSMean2	Pr >  t	Pr >  t
L	12.9264469	0.2451179		<.0001			0.5001
P	13.2037666	0.2439620		<.0001			

TRAT	CATEG	PB	LSMEAN	Standard Error	Pr >  t	LSMEAN Number
3400	L	13.1656513	0.3678601	<.0001		1
3400	P	13.1843385	0.3514756	<.0001		2
3600	L	12.6948571	0.3966703	<.0001		3
3600	P	13.1510272	0.3623032	<.0001		4
3800	L	12.9188323	0.3398303	<.0001		5
3800	P	13.2759341	0.3885502	<.0001		6

Least Squares Means for effect TRAT\*CATEG  
Pr > |t| for H0: LSMean(i)=LSMean(j)  
Dependent Variable: PB

i/j	1	2	3	4	5	6
1	0.9730	0.3484	0.9787	0.6019	0.8497	

**Least Squares Means for effect TRAT\*CATEG**  
**Pr > |t| for H0: LSMean(i)=LSMean(j)**  
**Dependent Variable: PB**

i/j	1	2	3	4	5	6
<b>2</b>	0.9730		0.4105	0.9440	0.6195	0.8463
<b>3</b>	0.3484	0.4105		0.4359	0.6393	0.3538
<b>4</b>	0.9787	0.9440	0.4359		0.6617	0.8019
<b>5</b>	0.6019	0.6195	0.6393	0.6617		0.5285
<b>6</b>	0.8497	0.8463	0.3538	0.8019	0.5285	

**Dependent Variable: Gordura bruta**

Source	DF	Sum of Squares	Mean Square	F Value	Pr > F
<b>Model</b>	6	2.36929842	0.39488307	0.81	0.5723
<b>Error</b>	25	12.19461171	0.48778447		
<b>Corrected Total</b>	31	14.56391013			

R-Square	Coeff Var	Root MSE	GB Mean
0.162683	15.80911	0.698416	4.417806

Source	DF	Type III SS	Mean Square	F Value	Pr > F
<b>TRAT</b>	2	0.50928035	0.25464018	0.52	0.5996
<b>CATEG</b>	1	0.43477029	0.43477029	0.89	0.3542
<b>TRAT*CATEG</b>	2	1.27570120	0.63785060	1.31	0.2883
<b>IDADE</b>	1	0.12394557	0.12394557	0.25	0.6186

TRAT	GB LSMEAN	Standard Error	Pr >  t	LSMEAN Number
<b>3400</b>	4.26538872	0.21184557	<.0001	1
<b>3600</b>	4.57758887	0.22419451	<.0001	2
<b>3800</b>	4.45457711	0.21271596	<.0001	3

**Least Squares Means for effect TRAT**  
**Pr > |t| for H0: LSMean(i)=LSMean(j)**  
**Dependent Variable: GB**

i/j	1	2	3
<b>1</b>		0.3236	0.5329
<b>2</b>	0.3236		0.6967
<b>3</b>	0.5329	0.6967	

CATEG	GB LSMEAN	Standard Error	H0:LSMEAN=0	H0:LSMean1=LSMean2	Pr >  t	Pr >  t

CATEG	GB LSMEAN	Standard Error	H0:LSMEAN=0	H0:LSMean1=LSMean2	Pr >  t	Pr >  t
L	4.25930866	0.22191987		<.0001		0.3542
P	4.60572780	0.22087337		<.0001		

TRAT	CATEG	GB LSMEAN	Standard Error	Pr >  t	LSMEAN Number
3400	L	4.14875005	0.33304579	<.0001	1
3400	P	4.38202739	0.31821193	<.0001	2
3600	L	4.61694770	0.35912930	<.0001	3
3600	P	4.53823003	0.32801477	<.0001	4
3800	L	4.01222823	0.30766867	<.0001	5
3800	P	4.89692598	0.35177776	<.0001	6

Least Squares Means for effect TRAT*CATEG						
Pr >  t  for H0: LSMean(i)=LSMean(j)						
Dependent Variable: GB						
i/j	1	2	3	4	5	6
1	0.6414	0.3039	0.4357	0.7495	0.1639	
2	0.6414		0.6611	0.7163	0.4465	0.2353
3	0.3039	0.6611		0.8813	0.1694	0.6195
4	0.4357	0.7163	0.8813		0.2785	0.4288
5	0.7495	0.4465	0.1694	0.2785		0.0925
6	0.1639	0.2353	0.6195	0.4288	0.0925	

Dependent Variable: Energia bruta

Source	DF	Sum of Squares	Mean Square	F Value	Pr > F
Model	6	0.02317390	0.00386232	0.92	0.4977
Error	25	0.10502671	0.00420107		
Corrected Total	31	0.12820062			

R-Square	Coeff Var	Root MSE	EB Mean
0.180763	5.600293	0.064816	1.157362

Source	DF	Type III SS	Mean Square	F Value	Pr > F
ENERGIA	2	0.00147933	0.00073966	0.18	0.8396
CATEG	1	0.00851056	0.00851056	2.03	0.1670
ENERGIA*CATEG	2	0.01238702	0.00619351	1.47	0.2482
IDADE	1	0.00507750	0.00507750	1.21	0.2821

ENERGIA	EB LSMEAN	Standard Error	Pr >  t	LSMEAN Number
---------	-----------	----------------	---------	---------------

ENERGIA	EB LSMEAN	Standard Error	Pr >  t	LSMEAN Number
3400	1.14921049	0.01966008	<.0001	1
3600	1.16447843	0.02080611	<.0001	2
3800	1.16271489	0.01974086	<.0001	3

Least Squares Means for effect ENERGIA  
 Pr > |t| for H0: LSMean(i)=LSMean(j)  
 Dependent Variable: EB

i/j	1	2	3
1		0.6004	0.6310
2	0.6004		0.9519
3	0.6310	0.9519	

CATEG	EB LSMEAN	Standard Error	H0:LSMEAN=0	H0:LSMean1=LSMean2	Pr >  t	Pr >  t
L	1.13456750	0.02059501		<.0001		0.1670
P	1.18303504	0.02049789		<.0001		

ENERGIA	CATEG	EB LSMEAN	Standard Error	Pr >  t	LSMEAN Number
3400	L	1.13764762	0.03090792	<.0001	1
3400	P	1.16077335	0.02953129	<.0001	2
3600	L	1.15529217	0.03332857	<.0001	3
3600	P	1.17366470	0.03044103	<.0001	4
3800	L	1.11076270	0.02855283	<.0001	5
3800	P	1.21466707	0.03264632	<.0001	6

Least Squares Means for effect ENERGIA\*CATEG  
 Pr > |t| for H0: LSMean(i)=LSMean(j)  
 Dependent Variable: EB

i/j	1	2	3	4	5	6
1		0.6190	0.6735	0.4373	0.4996	0.1242
2	0.6190		0.9121	0.7464	0.2704	0.1824
3	0.6735	0.9121		0.7075	0.2722	0.2615
4	0.4373	0.7464	0.7075		0.1658	0.3314
5	0.4996	0.2704	0.2722	0.1658		0.0362
6	0.1242	0.1824	0.2615	0.3314	0.0362	

## Corpo vazio

Dependent Variable: Matéria seca

Source	DF	Sum of Squares	Mean Square	F Value	Pr > F
Model	6	16.00547104	2.66757851	0.92	0.4985

Source	DF	Sum of Squares	Mean Square	F Value	Pr > F
Error	25	72.63184952	2.90527398		
Corrected Total	31	88.63732056			

R-Square	Coeff Var	Root MSE	MS Mean
0.180573	6.147207	1.704486	27.72782

Source	DF	Type III SS	Mean Square	F Value	Pr > F
TRAT	2	5.94624467	2.97312234	1.02	0.3740
CATEG	1	0.30519760	0.30519760	0.11	0.7485
TRAT*CATEG	2	4.52969311	2.26484656	0.78	0.4694
IDADE	1	1.29872349	1.29872349	0.45	0.5099

TRAT	MS LSMEAN	Standard Error	Pr >  t	LSMEAN Number
3400	27.5247252	0.5170100	<.0001	1
3600	28.4056595	0.5471477	<.0001	2
3800	27.3957519	0.5191342	<.0001	3

Least Squares Means for effect TRAT Pr >  t  for H0: LSMean(i)=LSMean(j) Dependent Variable: MS			
i/j	1	2	3
1	0.2553	0.8612	
2	0.2553	0.1966	
3	0.8612	0.1966	

CATEG	MS LSMEAN	Standard Error	H0:LSMEAN=0	H0:LSMean1=LSMean2	Pr >  t	Pr >  t
L	27.6302571	0.5415964	<.0001			0.7485
P	27.9205006	0.5390424	<.0001			

TRAT	CATEG	MS LSMEAN	Standard Error	Pr >  t	LSMEAN Number
3400	L	27.7688770	0.8127996	<.0001	1
3400	P	27.2805734	0.7765975	<.0001	2
3600	L	28.3736186	0.8764566	<.0001	3
3600	P	28.4377004	0.8005214	<.0001	4
3800	L	26.7482757	0.7508667	<.0001	5
3800	P	28.0432281	0.8585151	<.0001	6

Least Squares Means for effect TRAT*CATEG Pr >  t  for H0: LSMean(i)=LSMean(j) Dependent Variable: MS						
i/j	1	2	3	4	5	6

Least Squares Means for effect TRAT*CATEG Pr >  t  for H0: LSMean(i)=LSMean(j) Dependent Variable: MS						
i/j	1	2	3	4	5	6
1	0.6894	0.5834	0.5822	0.3322	0.8311	
2	0.6894		0.4056	0.2751	0.6522	0.4674
3	0.5834	0.4056		0.9603	0.1317	0.8099
4	0.5822	0.2751	0.9603		0.1573	0.7201
5	0.3322	0.6522	0.1317	0.1573		0.3042
6	0.8311	0.4674	0.8099	0.7201	0.3042	

Dependent Variable: Cinza

Source	DF	Sum of Squares	Mean Square	F Value	Pr > F
Model	6	1.34046005	0.22341001	1.27	0.3055
Error	25	4.39075769	0.17563031		
Corrected Total	31	5.73121774			

R-Square	Coeff Var	Root MSE	CZ Mean
0.233887	15.26348	0.419083	2.745657

Source	DF	Type III SS	Mean Square	F Value	Pr > F
TRAT	2	0.86199585	0.43099793	2.45	0.1064
CATEG	1	0.30064891	0.30064891	1.71	0.2027
TRAT*CATEG	2	0.00993682	0.00496841	0.03	0.9721
IDADE	1	0.73575969	0.73575969	4.19	0.0513

TRAT	CZ LSMEAN	Standard Error	Pr >  t	LSMEAN Number
3400	2.63969854	0.12711744	<.0001	1
3600	2.99336034	0.13452739	<.0001	2
3800	2.62263666	0.12763972	<.0001	3

Least Squares Means for effect TRAT Pr >  t  for H0: LSMean(i)=LSMean(j) Dependent Variable: CZ						
i/j	1	2	3			
1		0.0689	0.9251			
2	0.0689		0.0587			
3	0.9251	0.0587				

CATEG	CZ LSMEAN	Standard Error	H0:LSMEAN=0	H0:LSMean1=LSMean2	Pr >  t	Pr >  t
L	2.89593475	0.13316250	<.0001		0.2027	

CATEG	CZ LSMEAN	Standard Error	H0:LSMEAN=0	H0:LSMean1=LSMean2	Pr >  t	Pr >  t
P	2.60786228	0.13253455		<.0001		

TRAT	CATEG	CZ LSMEAN	Standard Error	Pr >  t	LSMEAN Number
3400	L	2.76015537	0.19984334	<.0001	1
3400	P	2.51924172	0.19094232	<.0001	2
3600	L	3.14283338	0.21549470	<.0001	3
3600	P	2.84388730	0.19682450	<.0001	4
3800	L	2.78481551	0.18461587	<.0001	5
3800	P	2.46045780	0.21108342	<.0001	6

Least Squares Means for effect TRAT*CATEG						
Pr >  t  for H0: LSMean(i)=LSMean(j)						
Dependent Variable: CZ						
i/j	1	2	3	4	5	6
1	0.4248	0.1651	0.7789	0.9234	0.3475	
2	0.4248		0.0609	0.2146	0.3634	0.8189
3	0.1651	0.0609		0.3487	0.1750	0.0518
4	0.7789	0.2146	0.3487		0.8374	0.1643
5	0.9234	0.3634	0.1750	0.8374		0.2954
6	0.3475	0.8189	0.0518	0.1643	0.2954	

Dependent Variable: Proteína bruta

Source	DF	Sum of Squares	Mean Square	F Value	Pr > F
Model	6	1.19632879	0.19938813	1.09	0.3947
Error	25	4.56770232	0.18270809		
Corrected Total	31	5.76403110			

R-Square	Coeff Var	Root MSE	PB Mean
0.207551	2.745816	0.427444	15.56709

Source	DF	Type III SS	Mean Square	F Value	Pr > F
TRAT	2	0.00663750	0.00331875	0.02	0.9820
CATEG	1	0.00304373	0.00304373	0.02	0.8983
TRAT*CATEG	2	0.40155925	0.20077962	1.10	0.3488
IDADE	1	0.39356799	0.39356799	2.15	0.1547

TRAT	PB LSMEAN	Standard Error	Pr >  t	LSMEAN Number
3400	15.5809269	0.1296535	<.0001	1
3600	15.5480961	0.1372113	<.0001	2

TRAT	PB	LSMEAN	Standard Error	Pr >  t	LSMEAN Number
3800	15.5787127	0.1301862	<.0001		3

**Least Squares Means for effect TRAT**  
 Pr > |t| for H0: LSMean(i)=LSMean(j)  
 Dependent Variable: PB

i/j	1	2	3
1	0.8640	0.9904	
2	0.8640		0.8739
3	0.9904	0.8739	

CATEG	PB	LSMEAN	Standard Error	H0:LSMEAN=0	H0:LSMean1=LSMean2	Pr >  t	Pr >  t
L	15.5837378	0.1358192		<.0001			0.8983
P	15.5547527	0.1351787		<.0001			

TRAT	CATEG	PB	LSMEAN	Standard Error	Pr >  t	LSMEAN Number
3400	L	15.7165706	0.2038304	<.0001		1
3400	P	15.4452833	0.1947517	<.0001		2
3600	L	15.4103274	0.2197940	<.0001		3
3600	P	15.6858648	0.2007513	<.0001		4
3800	L	15.6243154	0.1882991	<.0001		5
3800	P	15.5331101	0.2152947	<.0001		6

**Least Squares Means for effect TRAT\*CATEG**  
 Pr > |t| for H0: LSMean(i)=LSMean(j)  
 Dependent Variable: PB

i/j	1	2	3	4	5	6
1	0.3789	0.2726	0.9195	0.7245	0.5706	
2	0.3789		0.9150	0.3637	0.5462	0.7375
3	0.2726	0.9150		0.3963	0.4210	0.7217
4	0.9195	0.3637	0.3963		0.8340	0.5807
5	0.7245	0.5462	0.4210	0.8340		0.7707
6	0.5706	0.7375	0.7217	0.5807	0.7707	

Dependent Variable: Gordura bruta

Source	DF	Sum of Squares	Mean Square	F Value	Pr > F
Model	6	10.27493909	1.71248985	0.99	0.4558
Error	25	43.43057724	1.73722309		
Corrected Total	31	53.70551633			

R-Square	Coeff Var	Root MSE	GB Mean
0.191320	13.99923	1.318038	9.415070

Source	DF	Type III SS	Mean Square	F Value	Pr > F
TRAT	2	2.54165958	1.27082979	0.73	0.4912
CATEG	1	1.33617770	1.33617770	0.77	0.3888
TRAT*CATEG	2	4.91901978	2.45950989	1.42	0.2615
IDADE	1	0.11936944	0.11936944	0.07	0.7954

TRAT	GB LSMEAN	Standard Error	Pr >  t	LSMEAN Number
3400	9.30409974	0.39979118	<.0001	1
3600	9.86420307	0.42309588	<.0001	2
3800	9.19440253	0.40143376	<.0001	3

Least Squares Means for effect TRAT Pr >  t  for H0: LSMean(i)=LSMean(j) Dependent Variable: GB			
i/j	1	2	3
1		0.3476	0.8475
2	0.3476		0.2660
3	0.8475	0.2660	

CATEG	GB LSMEAN	Standard Error	H0:LSMEAN=0	H0:LSMean1=LSMean2	Pr >  t	Pr >  t
L	9.15058457	0.41880321		<.0001		0.3888
P	9.75788565	0.41682827		<.0001		

TRAT	CATEG	GB LSMEAN	Standard Error	Pr >  t	LSMEAN Number
3400	L	9.2921510	0.6285181	<.0001	1
3400	P	9.3160485	0.6005239	<.0001	2
3600	L	9.8204578	0.6777424	<.0001	3
3600	P	9.9079483	0.6190236	<.0001	4
3800	L	8.3391448	0.5806268	<.0001	5
3800	P	10.0496602	0.6638687	<.0001	6

Least Squares Means for effect TRAT*CATEG Pr >  t  for H0: LSMean(i)=LSMean(j) Dependent Variable: GB						
i/j	1	2	3	4	5	6
1		0.9798	0.5359	0.5129	0.2437	0.4488
2	0.9798		0.6181	0.4673	0.2893	0.3673
3	0.5359	0.6181		0.9299	0.0782	0.8291

**Least Squares Means for effect TRAT\*CATEG**  
**Pr > |t| for H0: LSMean(i)=LSMean(j)**  
**Dependent Variable: GB**

i/j	1	2	3	4	5	6
4	0.5129	0.4673	0.9299		0.0922	0.8676
5	0.2437	0.2893	0.0782	0.0922		0.0852
6	0.4488	0.3673	0.8291	0.8676	0.0852	

Dependent Variable: Energia bruta

Source	DF	Sum of Squares	Mean Square	F Value	Pr > F
Model	6	0.09418387	0.01569731	0.86	0.5344
Error	25	0.45412602	0.01816504		
Corrected Total	31	0.54830989			

R-Square	Coeff Var	Root MSE	EB Mean
0.171771	7.645716	0.134778	1.762788

Source	DF	Type III SS	Mean Square	F Value	Pr > F
ENERGIA	2	0.02096017	0.01048008	0.58	0.5689
CATEG	1	0.01099573	0.01099573	0.61	0.4439
ENERGIA*CATEG	2	0.04228434	0.02114217	1.16	0.3286
IDADE	1	0.00001009	0.00001009	0.00	0.9814

ENERGIA	EB LSMEAN	Standard Error	Pr >  t	LSMEAN Number
3400	1.75314654	0.04088120	<.0001	1
3600	1.80376886	0.04326425	<.0001	2
3800	1.74281057	0.04104916	<.0001	3

**Least Squares Means for effect ENERGIA**  
**Pr > |t| for H0: LSMean(i)=LSMean(j)**  
**Dependent Variable: EB**

i/j	1	2	3
1		0.4055	0.8594
2	0.4055		0.3209
3	0.8594	0.3209	

CATEG	EB LSMEAN	Standard Error	H0:LSMEAN=0	H0:LSMean1=LSMean2	Pr >  t	Pr >  t
L	1.73902961	0.04282530		<.0001		0.4439
P	1.79412104	0.04262335		<.0001		

ENERGIA	CATEG	EB LSMEAN	Standard Error	Pr >  t	LSMEAN Number
3400	L	1.75974190	0.06426998	<.0001	1
3400	P	1.74655117	0.06140739	<.0001	2
3600	L	1.79195255	0.06930348	<.0001	3
3600	P	1.81558516	0.06329911	<.0001	4
3800	L	1.66539437	0.05937279	<.0001	5
3800	P	1.82022677	0.06788481	<.0001	6

Least Squares Means for effect ENERGIA*CATEG						
Pr >  t  for H0: LSMean(i)=LSMean(j)						
Dependent Variable: EB						
i/j	1	2	3	4	5	6
1	0.8912	0.7114	0.5614	0.2586	0.5533	
2	0.8912	0.6606	0.4078	0.3874	0.3758	
3	0.7114	0.6606	0.8163	0.1375	0.7946	
4	0.5614	0.4078	0.8163	0.1137	0.9574	
5	0.2586	0.3874	0.1375	0.1137		0.1252
6	0.5533	0.3758	0.7946	0.9574	0.1252	

## Apêndice 11. Análise estatística. Taxa de deposição de nutrientes (g/d)

### Carcaça

Dependent Variable: Água

Source	DF	Sum ofSquares	Mean Square	F Value	Pr > F
Model	6	25023.54940	4170.59157	5.12	0.0015
Error	25	20380.73497	815.22940		
Corrected Total	31	45404.28437			

R-Square	Coeff Var	Root MSE	AGUA Mean
0.551127	10.14687	28.55222	281.3895

Source	DF	Type III SS	Mean Square	F Value	Pr > F
TRAT	2	2427.051710	1213.525855	1.49	0.2450
CATEG	1	9874.101630	9874.101630	12.11	0.0019
TRAT*CATEG	2	688.127099	344.063550	0.42	0.6603
IDADE	1	11.384463	11.384463	0.01	0.9069

TRAT	AGUA LSMEAN	Standard Error	Pr >  t	LSMEAN Number
3400	274.221969	8.660547	<.0001	1
3600	276.732522	9.165389	<.0001	2

TRAT	AGUA LSMEAN	Standard Error	Pr >  t	LSMEAN Number
3800	293.812113	8.696130	<.0001	3

LeastSquaresMeans for effect TRAT  
 Pr> |t| for H0: LSMean(i)=LSMean(j)  
 DependentVariable: AGUA

i/j	1	2	3
1		0.8446	0.1218
2	0.8446		0.1925
3	0.1218	0.1925	

CATEG	AGUA LSMEAN	Standard Error	H0:LSMEAN=0	H0:LSMean1=LSMean2	Pr >  t	Pr >  t
L	255.485849	9.072399		<.0001		0.0019
P	307.691888	9.029616		<.0001		

LeastSquaresMeans for effect TRAT\*CATEG  
 Pr> |t| for H0: LSMean(i)=LSMean(j)  
 DependentVariable: AGUA

i/j	1	2	3	4	5	6
1	0.0542	0.8597	0.0219	0.6332	0.0025	
2	0.0542		0.0522	0.6378	0.1087	0.0871
3	0.8597	0.0522		0.0213	0.5125	0.0030
4	0.0219	0.6378	0.0213		0.0458	0.2277
5	0.6332	0.1087	0.5125	0.0458		0.0052
6	0.0025	0.0871	0.0030	0.2277	0.0052	

Dependent Variable: Proteína bruta

Source	DF	Sum ofSquares	Mean Square	F Value	Pr > F
Model	6	1766.210369	294.368395	4.72	0.0024
Error	25	1560.744166	62.429767		
Corrected Total	31	3326.954535			

R-Square	Coeff Var	Root MSE	PB Mean
0.530879	12.40746	7.901251	63.68145

Source	DF	Type III SS	Mean Square	F Value	Pr > F
TRAT	2	118.5098943	59.2549472	0.95	0.4006
CATEG	1	411.0141766	411.0141766	6.58	0.0167
TRAT*CATEG	2	92.4187390	46.2093695	0.74	0.4872
IDADE	1	69.5280718	69.5280718	1.11	0.3014

TRAT	PB	LSMEAN	Standard Error	Pr >  t	LSMEAN Number
3400	61.5536297	2.3966315	<.0001		1
3600	63.6330128	2.5363364	<.0001		2
3800	66.2113700	2.4064783	<.0001		3

LeastSquaresMeans for effect TRAT Pr>  t  for H0: LSMean(i)=LSMean(j) DependentVariable: PB						
i/j	1	2	3			
1		0.5586	0.1810			
2	0.5586		0.4718			
3	0.1810	0.4718				

CATEG	PB	LSMEAN	Standard Error	H0:LSMEAN=0	H0:LSMean1=LSMean2	Pr >  t	Pr >  t
L		58.4737153	2.5106031		<.0001		0.0167
P		69.1249597	2.4987639		<.0001		

LeastSquaresMeans for effect TRAT*CATEG Pr>  t  for H0: LSMean(i)=LSMean(j) DependentVariable: PB						
i/j	1	2	3	4	5	6
1	0.2944	0.8497	0.0565	0.8817	0.0206	
2	0.2944		0.2561	0.2966	0.3387	0.0848
3	0.8497	0.2561		0.0512	0.7304	0.0207
4	0.0565	0.2966	0.0512		0.0642	0.4978
5	0.8817	0.3387	0.7304	0.0642		0.0229
6	0.0206	0.0848	0.0207	0.4978	0.0229	

Dependent Variable: Gordura bruta

Source	DF	Sum of Squares	Mean Square	F Value	Pr > F
Model	6	509.501630	84.916938	0.63	0.7045
Error	25	3367.416125	134.696645		
Corrected Total	31	3876.917755			

R-Square	Coeff Var	Root MSE	GB Mean
0.131419	28.45734	11.60589	40.78346

Source	DF	Type III SS	Mean Square	F Value	Pr > F
TRAT	2	108.7986890	54.3993445	0.40	0.6720
CATEG	1	26.1875593	26.1875593	0.19	0.6631

Source	DF	Type III SS	Mean Square	F Value	Pr > F
TRAT*CATEG	2	314.0091745	157.0045872	1.17	0.3281
IDADE	1	1.0740320	1.0740320	0.01	0.9296

TRAT	GB LSMEAN	Standard Error	Pr >  t	LSMEAN Number
3400	38.6923161	3.5203334	<.0001	1
3600	43.2931315	3.7255413	<.0001	2
3800	41.2514704	3.5347971	<.0001	3

LeastSquaresMeans for effect TRAT Pr>  t  for H0: LSMean(i)=LSMean(j) DependentVariable: GB					
i/j	1	2	3		
1		0.3804	0.6113		
2	0.3804		0.6970		

3 0.6113 0.6970
-----------------

CATEG	GB LSMEAN	Standard Error	H0:LSMEAN=0	H0:LSMean1=LSMean2	Pr >  t	Pr >  t
L	39.7346935	3.6877426			<.0001	0.6631
P	42.4232518	3.6703524			<.0001	

LeastSquaresMeans for effect TRAT*CATEG Pr>  t  for H0: LSMean(i)=LSMean(j) DependentVariable: GB						
i/j	1	2	3	4	5	6
1	0.7001	0.6886	0.7172	0.5113	0.4537	
2	0.7001		0.4869	0.3885	0.8537	0.1759
3	0.6886	0.4869		0.9989	0.2893	0.7011
4	0.7172	0.3885	0.9989		0.3399	0.6309
5	0.5113	0.8537	0.2893	0.3399		0.1916
6	0.4537	0.1759	0.7011	0.6309	0.1916	

Dependent Variable: Cinza

Source	DF	Sum of Squares	Mean Square	F Value	Pr > F
Model	6	117.6006954	19.6001159	5.66	0.0009
Error	24	83.0938339	3.4622431		
Corrected Total	30	200.6945293			

R-Square Coeff Var Root MSE CZ Mean
-------------------------------------

R-Square	Coeff Var	Root MSE	CZ Mean
0.585969	15.62504	1.860710	11.90852

Source	DF	Type III SS	Mean Square	F Value	Pr > F
TRAT	2	29.03189231	14.51594615	4.19	0.0274
CATEG	1	28.07358773	28.07358773	8.11	0.0089
TRAT*CATEG	2	10.35045330	5.17522665	1.49	0.2445
IDADE	1	1.55220008	1.55220008	0.45	0.5095

TRAT	CZ LSMEAN	Standard Error	Pr >  t	LSMEAN Number
3400	10.7269662	0.5646574	<.0001	1
3600	12.5420584	0.5970712	<.0001	2
3800	12.9369148	0.6101925	<.0001	3

LeastSquaresMeans for effect TRAT Pr>  t  for H0: LSMean(i)=LSMean(j) DependentVariable: CZ					
i/j	1	2	3		
1		0.0380	0.0133		
2	0.0380		0.6527		
3	0.0133	0.6527			

CATEG	CZ LSMEAN	Standard Error	H0:LSMEAN=0	H0:LSMean1=LSMean2	Pr >  t	Pr >  t
L	10.6182111	0.5936377		<.0001		0.0089
P	13.5190818	0.6281391		<.0001		

LeastSquaresMeans for effect TRAT*CATEG Pr>  t  for H0: LSMean(i)=LSMean(j) DependentVariable: CZ						
i/j	1	2	3	4	5	6
1	0.2588	0.3263	0.0059	0.4943	0.0021	
2	0.2588		0.8119	0.0415	0.5632	0.0061
3	0.3263	0.8119		0.0581	0.7226	0.0204
4	0.0059	0.0415	0.0581		0.0192	0.3558
5	0.4943	0.5632	0.7226	0.0192		0.0062
6	0.0021	0.0061	0.0204	0.3558	0.0062	

Dependent Variable: Energia retida

Source	DF	Sum of Squares	Mean Square	F Value	Pr > F
Model	6	0.15690088	0.02615015	1.22	0.3299
Error	25	0.53644513	0.02145781		

Source	DF	Sum of Squares	Mean Square	F Value	Pr > F
Corrected Total	31	0.69334601			

R-Square	Coeff Var	Root MSE	ERT Mean
0.226295	19.74822	0.146485	0.741762

Source	DF	Type III SS	Mean Square	F Value	Pr > F
ENERGIA	2	0.01967305	0.00983653	0.46	0.6375
CATEG	1	0.02643727	0.02643727	1.23	0.2776
ENERGIA*CATEG	2	0.04527941	0.02263970	1.06	0.3632
IDADE	1	0.00323590	0.00323590	0.15	0.7011

ENERGIA	ERT LSMEAN	Standard Error	Pr >  t	LSMEAN Number
3400	0.71016670	0.04443222	<.0001	1
3600	0.76495363	0.04702228	<.0001	2
3800	0.76045760	0.04461478	<.0001	3

Least Squares Means for effect ENERGIA Pr >  t  for H0: LSMean(i)=LSMean(j) Dependent Variable: ERT			
i/j	1	2	3
1		0.4075	0.4305
2	0.4075		0.9458
3	0.4305	0.9458	

CATEG	ERT LSMEAN	Standard Error	H0:LSMEAN=0	H0:LSMean1=LSMean2	Pr >  t	Pr >  t
L	0.70248061	0.04654520		<.0001		0.2776
P	0.78790468	0.04632570		<.0001		

ENERGIA	CATEG	ERT LSMEAN	Standard Error	Pr >  t	LSMEAN Number
3400	L	0.70817638	0.06985261	<.0001	1
3400	P	0.71215702	0.06674137	<.0001	2
3600	L	0.73080712	0.07532333	<.0001	3
3600	P	0.79910014	0.06879741	<.0001	4
3800	L	0.66845834	0.06453004	<.0001	5
3800	P	0.85245687	0.07378143	<.0001	6

Least Squares Means for effect ENERGIA*CATEG Pr >  t  for H0: LSMean(i)=LSMean(j) Dependent Variable: ERT						
i/j	1	2	3	4	5	6
1	0.9697	0.8108	0.3863	0.6582	0.1992	

Least Squares Means for effect ENERGIA*CATEG						
Pr >  t  for H0: LSMean(i)=LSMean(j)						
Dependent Variable: ERT						
i/j	1	2	3	4	5	6
2	0.9697		0.8680	0.3386	0.6667	0.1267
3	0.8108	0.8680		0.5381	0.4931	0.3076
4	0.3863	0.3386	0.5381		0.2015	0.5735
5	0.6582	0.6667	0.4931	0.2015		0.0952
6	0.1992	0.1267	0.3076	0.5735	0.0952	

Dependent Variable: GB:PB

Source	DF	Sum ofSquares	Mean Square	F Value	Pr > F
Model	6	0.16926296	0.02821049	1.60	0.1879
Error	25	0.44002061	0.01760082		
Corrected Total	31	0.60928357			

R-Square	Coeff Var	Root MSE	GB_PB Mean
0.277807	20.76680	0.132668	0.638847

Source	DF	Type III SS	Mean Square	F Value	Pr > F
TRAT	2	0.02778115	0.01389057	0.79	0.4652
CATEG	1	0.01720448	0.01720448	0.98	0.3323
TRAT*CATEG	2	0.05242772	0.02621386	1.49	0.2449
IDADE	1	0.00563038	0.00563038	0.32	0.5767

TRAT	GB_PB LSMEAN	Standard Error	Pr >  t	LSMEAN Number
3400	0.62801385	0.04024129	<.0001	1
3600	0.68559553	0.04258704	<.0001	2
3800	0.61504754	0.04040663	<.0001	3

LeastSquaresMeans for effect TRAT						
Pr>  t  for H0: LSMean(i)=LSMean(j)						
DependentVariable: GB_PB						
i/j	1	2	3			
1		0.3376	0.8214			
2	0.3376		0.2450			
3	0.8214	0.2450				

CATEG	GB_PB LSMEAN	Standard Error	H0:LSMEAN=0	H0:LSMean1=LSMean2	Pr >  t	Pr >  t

CATEG	GB_PB	LSMEAN	Standard Error	H0:LSMEAN=0	H0:LSMean1=LSMean2
				Pr >  t	Pr >  t
L	0.67734147	0.04215496		<.0001	0.3323
P	0.60842982	0.04195617		<.0001	

LeastSquaresMeans for effect TRAT*CATEG Pr>  t  for H0: LSMean(i)=LSMean(j) DependentVariable: GB_PB						
i/j	1	2	3	4	5	6
1	0.1854	0.5185	0.4713	0.2271	0.5876	
2	0.1854		0.0801	0.4666	0.7563	0.3692
3	0.5185	0.0801		0.2231	0.0678	0.3087
4	0.4713	0.4666	0.2231		0.7325	0.8712
5	0.2271	0.7563	0.0678	0.7325		0.6432
6	0.5876	0.3692	0.3087	0.8712	0.6432	

Dependent Variable: Água:PB

Source	DF	Sum of Squares	Mean Square	F Value	Pr > F
Model	6	0.51733615	0.08622269	1.00	0.4449
Error	25	2.14751095	0.08590044		
Corrected Total	31	2.66484710			

R-Square	Coeff Var	Root MSE	AGUA_PB Mean
0.194134	6.592817	0.293088	4.445562

Source	DF	Type III SS	Mean Square	F Value	Pr > F
TRAT	2	0.06576904	0.03288452	0.38	0.6859
CATEG	1	0.02440476	0.02440476	0.28	0.5987
TRAT*CATEG	2	0.09270284	0.04635142	0.54	0.5896
IDADE	1	0.27439341	0.27439341	3.19	0.0860

TRAT	AGUA_PB	LSMEAN	Standard Error	Pr >  t	LSMEAN Number
3400	4.48169179	0.08890027	<.0001		1
3600	4.37465403	0.09408246	<.0001		2
3800	4.46540835	0.08926553	<.0001		3

LeastSquaresMeans for effect TRAT Pr>  t  for H0: LSMean(i)=LSMean(j) DependentVariable: AGUA_PB						
i/j	1	2	3			
1		0.4185	0.8979			

**LeastSquaresMeans for effect TRAT**  
**Pr> |t| for H0: LSMean(i)=LSMean(j)**  
**DependentVariable: AGUA\_PB**

i/j	1	2	3
2	0.4185		0.4945
3	0.8979	0.4945	

AGUA_PB LSMEAN	Standard Error	H0:LSMEAN=0	H0:LSMean1=LSMean2	Pr >  t	Pr >  t
4.39954738	0.09312792		<.0001		0.5987
4.48162207	0.09268876		<.0001		

**LeastSquaresMeans for effect TRAT\*CATEG**  
**Pr> |t| for H0: LSMean(i)=LSMean(j)**  
**DependentVariable: AGUA\_PB**

i/j	1	2	3	4	5	6
1	0.2794	0.9119	0.9794	0.6678	0.5885	
2	0.2794		0.3566	0.1995	0.4542	0.5428
3	0.9119	0.3566		0.9053	0.7569	0.6753
4	0.9794	0.1995	0.9053		0.6825	0.5091
5	0.6678	0.4542	0.7569	0.6825		0.8414
6	0.5885	0.5428	0.6753	0.5091	0.8414	

DependentVariable: CZ:PB

Source	DF	Sum ofSquares	Mean Square	F Value	Pr > F
Model	6	0.00363358	0.00060560	0.67	0.6766
Error	24	0.02177491	0.00090729		
Corrected Total	30	0.02540849			

R-Square	Coeff Var	Root MSE	CZ_PB Mean
0.143006	16.05076	0.030121	0.187662

Source	DF	Type III SS	Mean Square	F Value	Pr > F
TRAT	2	0.00279605	0.00139802	1.54	0.2346
CATEG	1	0.00035282	0.00035282	0.39	0.5388
TRAT*CATEG	2	0.00016036	0.00008018	0.09	0.9157
IDADE	1	0.00000002	0.00000002	0.00	0.9967

TRAT	CZ_PB LSMEAN	Standard Error	Pr >  t	LSMEAN Number
3400	0.17587036	0.00914069	<.0001	1
3600	0.19878096	0.00966540	<.0001	2

TRAT	CZ_PB LSMEAN	Standard Error	Pr >  t	LSMEAN Number
3800	0.19080561	0.00987781	<.0001	3

LeastSquaresMeans for effect TRAT  
 Pr> |t| for H0: LSMean(i)=LSMean(j)  
 DependentVariable: CZ\_PB

i/j	1	2	3
1		0.0997	0.2753
2	0.0997		0.5749
3	0.2753	0.5749	

CATEG	CZ_PB LSMEAN	Standard Error	H0:LSMEAN=0	H0:LSMean1=LSMean2	Pr >  t	Pr >  t
L	0.18334375	0.00960982		<.0001		0.5388
P	0.19362754	0.01016833		<.0001		

LeastSquaresMeans for effect TRAT\*CATEG  
 Pr> |t| for H0: LSMean(i)=LSMean(j)  
 DependentVariable: CZ\_PB

i/j	1	2	3	4	5	6
1	0.7178	0.2291	0.1726	0.5723	0.2735	
2	0.7178		0.4960	0.2402	0.9015	0.3308
3	0.2291	0.4960		0.7874	0.4775	0.8930
4	0.1726	0.2402	0.7874		0.3530	0.8990
5	0.5723	0.9015	0.4775	0.3530		0.4845
6	0.2735	0.3308	0.8930	0.8990	0.4845	

## Víscera + Sangue

Dependent Variable: Água

Source	DF	Sum ofSquares	Mean Square	F Value	Pr > F
Model	6	669.058384	111.509731	2.85	0.0294
Error	25	976.483358	39.059334		
Corrected Total	31	1645.541742			

R-Square	Coeff Var	Root MSE	AGUA Mean
0.406589	13.99944	6.249747	44.64284

Source	DF	Type III SS	Mean Square	F Value	Pr > F
TRAT	2	73.6025134	36.8012567	0.94	0.4032
CATEG	1	424.1709288	424.1709288	10.86	0.0029
TRAT*CATEG	2	12.2512342	6.1256171	0.16	0.8557

Source	DF	Type III SS	Mean Square	F Value	Pr > F
IDADE	1	32.9716881	32.9716881	0.84	0.3670

TRAT	AGUA LSMEAN	Standard Error	Pr >  t	LSMEAN Number
3400	43.7411518	1.8956922	<.0001	1
3600	43.4003832	2.0061963	<.0001	2
3800	46.8034644	1.9034809	<.0001	3

LeastSquaresMeans for effect TRAT Pr>  t  for H0: LSMean(i)=LSMean(j) DependentVariable: AGUA					
i/j	1	2	3		
1		0.9032	0.2636		
2	0.9032		0.2341		
3	0.2636	0.2341			

CATEG	AGUA LSMEAN	Standard Error	H0:LSMEAN=0	H0:LSMean1=LSMean2	Pr >  t	Pr >  t
L	39.2381446	1.9858417		<.0001		0.0029
P	50.0585217	1.9764771		<.0001		

LeastSquaresMeans for effect TRAT*CATEG Pr>  t  for H0: LSMean(i)=LSMean(j) DependentVariable: AGUA						
i/j	1	2	3	4	5	6
1	0.0501	0.7151	0.0333	0.6687	0.0074	
2	0.0501		0.0346	0.8367	0.0928	0.2475
3	0.7151	0.0346		0.0222	0.4235	0.0057
4	0.0333	0.8367	0.0222		0.0629	0.3635
5	0.6687	0.0928	0.4235	0.0629		0.0140
6	0.0074	0.2475	0.0057	0.3635	0.0140	

Dependent Variable: Proteína bruta

Source	DF	Sum ofSquares	Mean Square	F Value	Pr > F
Model	6	15.20572969	2.53428828	1.31	0.2906
Error	25	48.48578586	1.93943143		
Corrected Total	31	63.69151554			

R-Square	Coeff Var	Root MSE	PB Mean
0.238740	18.89865	1.392635	7.368963

Source	DF	Type III SS	Mean Square	F Value	Pr > F

Source	DF	Type III SS	Mean Square	F Value	Pr > F
TRAT	2	2.43471145	1.21735572	0.63	0.5420
CATEG	1	10.62560764	10.62560764	5.48	0.0275
TRAT*CATEG	2	1.43401353	0.71700676	0.37	0.6947
IDADE	1	2.06393475	2.06393475	1.06	0.3121

TRAT	PB	LSMEAN	Standard Error	Pr >  t	LSMEAN Number
3400	7.31781250	0.42241820	<.0001		1
3600	7.06051643	0.44704188	<.0001		2
3800	7.74530432	0.42415375	<.0001		3

LeastSquaresMeans for effect TRAT Pr>  t  for H0: LSMean(i)=LSMean(j) DependentVariable: PB					
i/j	1	2	3		
1		0.6808	0.4803		
2	0.6808		0.2814		
3	0.4803	0.2814			

CATEG	PB	LSMEAN	Standard Error	H0:LSMEAN=0	H0:LSMean1=LSMean2	Pr >  t	Pr >  t
L	6.51825842	0.44250626		<.0001			0.0275
P	8.23083041	0.44041955		<.0001			

LeastSquaresMeans for effect TRAT*CATEG Pr>  t  for H0: LSMean(i)=LSMean(j) DependentVariable: PB						
i/j	1	2	3	4	5	6
1	0.2611	0.4841	0.2134	0.9390	0.0593	
2	0.2611		0.1068	0.8912	0.2199	0.2862
3	0.4841	0.1068		0.0822	0.5123	0.0232
4	0.2134	0.8912	0.0822		0.1765	0.3751
5	0.9390	0.2199	0.5123	0.1765		0.0458
6	0.0593	0.2862	0.0232	0.3751	0.0458	

Dependent Variable: Cinza

Source	DF	Sum ofSquares	Mean Square	F Value	Pr > F
Model	6	4.30571910	0.71761985	1.81	0.1380
Error	25	9.91551022	0.39662041		
Corrected Total	31	14.22122932			

R-Square	Coeff Var	Root MSE	CZ Mean
0.302767	64.80249	0.629778	0.971842

Source	DF	Type III SS	Mean Square	F Value	Pr > F
TRAT	2	0.74375245	0.37187622	0.94	0.4049
CATEG	1	0.11534640	0.11534640	0.29	0.5945
TRAT*CATEG	2	1.11161272	0.55580636	1.40	0.2649
IDADE	1	1.78581487	1.78581487	4.50	0.0439

TRAT	CZ LSMEAN	Standard Error	Pr >  t	LSMEAN Number
3400	0.81913547	0.19102620	0.0002	1
3600	1.19845814	0.20216154	<.0001	2
3800	0.94946230	0.19181105	<.0001	3

LeastSquaresMeans for effect TRAT Pr>  t  for H0: LSMean(i)=LSMean(j) DependentVariable: CZ					
i/j	1	2	3		
1		0.1870	0.6333		
2	0.1870		0.3844		
3	0.6333	0.3844			

CATEG	CZ LSMEAN	Standard Error	H0:LSMEAN=0	H0:LSMean1=LSMean2	Pr >  t	Pr >  t
L	1.07823489	0.20011044		<.0001		0.5945
P	0.89980238	0.19916678		0.0001		

LeastSquaresMeans for effect TRAT*CATEG Pr>  t  for H0: LSMean(i)=LSMean(j) DependentVariable: CZ						
i/j	1	2	3	4	5	6
1	0.4504	0.2497	0.8979	0.5870	0.7871	
2	0.4504		0.0998	0.4644	0.7615	0.2293
3	0.2497	0.0998		0.2693	0.0882	0.4977
4	0.8979	0.4644	0.2693		0.7248	0.6480
5	0.5870	0.7615	0.0882	0.7248		0.4652
6	0.7871	0.2293	0.4977	0.6480	0.4652	

Dependent Variable: Gordura bruta

Source	DF	Sum of Squares	Mean Square	F Value	Pr > F
Model	6	3.68595318	0.61432553	0.70	0.6489

Source	DF	Sum ofSquares	Mean Square	F Value	Pr > F
Error	25	21.80466767	0.87218671		
Corrected Total	31	25.49062085			

R-Square	Coeff Var	Root MSE	GB Mean
0.144600	32.40750	0.933909	2.881770

Source	DF	Type III SS	Mean Square	F Value	Pr > F
TRAT	2	0.87629642	0.43814821	0.50	0.6111
CATEG	1	1.08919519	1.08919519	1.25	0.2744
TRAT*CATEG	2	1.69498588	0.84749294	0.97	0.3923
IDADE	1	0.33088746	0.33088746	0.38	0.5435

TRAT	GB LSMEAN	Standard Error	Pr >  t	LSMEAN Number
3400	2.67198040	0.28327623	<.0001	1
3600	2.96050515	0.29978903	<.0001	2
3800	3.05839550	0.28444010	<.0001	3

LeastSquaresMeans for effect TRAT Pr>  t  for H0: LSMean(i)=LSMean(j) DependentVariable: GB					
i/j	1	2	3		
1		0.4929	0.3434		
2	0.4929		0.8164		
3	0.3434	0.8164			

CATEG	GB LSMEAN	Standard Error	H0:LSMEAN=0	H0:LSMean1=LSMean2	Pr >  t	Pr >  t
L	2.62280621	0.29674741		<.0001		0.2744
P	3.17111449	0.29534805		<.0001		

LeastSquaresMeans for effect TRAT*CATEG Pr>  t  for H0: LSMean(i)=LSMean(j) DependentVariable: GB						
i/j	1	2	3	4	5	6
1	0.6098	0.5069	0.4386	0.9495	0.1114	
2	0.6098		0.9336	0.7600	0.5595	0.1654
3	0.5069	0.9336		0.8694	0.4509	0.3239
4	0.4386	0.7600	0.8694		0.3915	0.2983
5	0.9495	0.5595	0.4509	0.3915		0.0915
6	0.1114	0.1654	0.3239	0.2983	0.0915	

Dependent Variable: Energia retida

Source	DF	Sum of Squares	Mean Square	F Value	Pr > F
Model	6	0.00134292	0.00022382	1.12	0.3792
Error	25	0.00499617	0.00019985		
Corrected Total	31	0.00633908			

R-Square	Coeff Var	Root MSE	ERT Mean
0.211847	20.49694	0.014137	0.068970

Source	DF	Type III SS	Mean Square	F Value	Pr > F
ENERGIA	2	0.00022060	0.00011030	0.55	0.5827
CATEG	1	0.00080218	0.00080218	4.01	0.0561
ENERGIA*CATEG	2	0.00028864	0.00014432	0.72	0.4956
IDADE	1	0.00018423	0.00018423	0.92	0.3462

ENERGIA	ERT LSMEAN	Standard Error	Pr >  t	LSMEAN Number
3400	0.06669575	0.00428799	<.0001	1
3600	0.06796890	0.00453795	<.0001	2
3800	0.07277084	0.00430561	<.0001	3

Least Squares Means for effect ENERGIA Pr >  t  for H0: LSMean(i)=LSMean(j) Dependent Variable: ERT			
i/j	1	2	3
1		0.8409	0.3254
2	0.8409		0.4540
3	0.3254	0.4540	

CATEG	ERT LSMEAN	Standard Error	H0:LSMEAN=0	H0:LSMean1=LSMean2	Pr >  t	Pr >  t
L	0.06170509	0.00449191		<.0001		0.0561
P	0.07658524	0.00447072		<.0001		

ENERGIA	CATEG	ERT LSMEAN	Standard Error	Pr >  t	LSMEAN Number
3400	L	0.06186731	0.00674122	<.0001	1
3400	P	0.07152419	0.00644096	<.0001	2
3600	L	0.06209121	0.00726918	<.0001	3
3600	P	0.07384659	0.00663939	<.0001	4
3800	L	0.06115674	0.00622756	<.0001	5
3800	P	0.08438495	0.00712037	<.0001	6

Least Squares Means for effect ENERGIA*CATEG Pr >  t  for H0: LSMean(i)=LSMean(j) Dependent Variable: ERT						
i/j	1	2	3	4	5	6
1	0.3442	0.9804	0.2399	0.9345	0.0429	
2	0.3442		0.3871	0.7894	0.2943	0.1460
3	0.9804	0.3871		0.2761	0.9148	0.0591
4	0.2399	0.7894	0.2761		0.1986	0.2541
5	0.9345	0.2943	0.9148	0.1986		0.0322
6	0.0429	0.1460	0.0591	0.2541	0.0322	

Dependent Variable: GB:PB

Source	DF	Sum ofSquares	Mean Square	F Value	Pr > F
<b>Model</b>	6	0.05187997	0.00864666	0.61	0.7199
<b>Error</b>	25	0.35426460	0.01417058		
<b>Corrected Total</b>	31	0.40614457			

R-Square	Coeff Var	Root MSE	GB_PB Mean
0.127738	30.22794	0.119040	0.393809

Source	DF	Type III SS	Mean Square	F Value	Pr > F
<b>TRAT</b>	2	0.01545648	0.00772824	0.55	0.5864
<b>CATEG</b>	1	0.00110980	0.00110980	0.08	0.7819
<b>TRAT*CATEG</b>	2	0.03429558	0.01714779	1.21	0.3150
<b>IDADE</b>	1	0.00001550	0.00001550	0.00	0.9739

TRAT	GB_PB LSMEAN	Standard Error	Pr >  t	LSMEAN Number
3400	0.36705860	0.03610765	<.0001	1
3600	0.42160459	0.03821245	<.0001	2
3800	0.39927347	0.03625601	<.0001	3

LeastSquaresMeans for effect TRAT Pr>  t  for H0: LSMean(i)=LSMean(j) Dependent Variable: GB_PB			
i/j	1	2	3
1		0.3119	0.5333
2	0.3119		0.6780
3	0.5333	0.6780	

CATEG	GB_PB LSMEAN	Standard Error	H0:LSMEAN=0	H0:LSMean1=LSMean2	Pr >  t	Pr >  t
L	0.40473003	0.03782475	<.0001		0.7819	

CATEG	GB_PB	LSMEAN	Standard Error	H0:LSMEAN=0	H0:LSMean1=LSMean2	Pr >  t	Pr >  t
P		0.38722775	0.03764638		<.0001		

LeastSquaresMeans for effect TRAT*CATEG						
Pr> t  for H0: LSMean(i)=LSMean(j)						
DependentVariable: GB_PB						
i/j	1	2	3	4	5	6
1	0.7961	0.2396	0.9575	0.8734	0.5490	
2	0.7961		0.2197	0.8109	0.8993	0.3022
3	0.2396	0.2197		0.2901	0.1690	0.6956
4	0.9575	0.8109	0.2901		0.9309	0.4486
5	0.8734	0.8993	0.1690	0.9309		0.4537
6	0.5490	0.3022	0.6956	0.4486	0.4537	

Dependent Variable: CZ:PB

Source	DF	Sum ofSquares	Mean Square	F Value	Pr > F
Model	6	0.08531558	0.01421926	1.64	0.1787
Error	25	0.21724687	0.00868987		
Corrected Total	31	0.30256245			

R-Square	Coeff Var	Root MSE	CZ_PB Mean
0.281977	68.67734	0.093219	0.135735

Source	DF	Type III SS	Mean Square	F Value	Pr > F
TRAT	2	0.02336086	0.01168043	1.34	0.2790
CATEG	1	0.01271116	0.01271116	1.46	0.2378
TRAT*CATEG	2	0.02170384	0.01085192	1.25	0.3041
IDADE	1	0.04503401	0.04503401	5.18	0.0316

TRAT	CZ_PB	LSMEAN	Standard Error	Pr >  t	LSMEAN Number
3400		0.10837605	0.02827562	0.0008	1
3600		0.17537563	0.02992387	<.0001	2
3800		0.13007287	0.02839180	0.0001	3

LeastSquaresMeans for effect TRAT						
Pr> t  for H0: LSMean(i)=LSMean(j)						
DependentVariable: CZ_PB						
i/j	1	2	3			
1		0.1180	0.5918			
2	0.1180		0.2869			
3	0.5918	0.2869				

CATEG	CZ_PB LSMEAN	Standard Error	H0:LSMEAN=0	H0:LSMean1=LSMean2	Pr >  t	Pr >  t
L	0.16755807	0.02962027		<.0001		0.2378
P	0.10832497	0.02948059		0.0011		

LeastSquaresMeans for effect TRAT*CATEG Pr>  t  for H0: LSMean(i)=LSMean(j) DependentVariable: CZ_PB						
i/j	1	2	3	4	5	6
1	0.3685	0.1113	0.7090	0.8407	0.9362	
2	0.3685		0.0337	0.5345	0.4495	0.3410
3	0.1113	0.0337		0.0894	0.0658	0.1744
4	0.7090	0.5345	0.0894		0.8354	0.7505
5	0.8407	0.4495	0.0658	0.8354		0.9318
6	0.9362	0.3410	0.1744	0.7505	0.9318	

Dependent Variable: Água:PB

Source	DF	Sum ofSquares	Mean Square	F Value	Pr > F
Model	6	1.03354322	0.17225720	0.31	0.9262
Error	25	13.92621090	0.55704844		
Corrected Total	31	14.95975412			

R-Square	Coeff Var	Root MSE	AGUA_PB Mean
0.069088	12.17320	0.746357	6.131148

Source	DF	Type III SS	Mean Square	F Value	Pr > F
TRAT	2	0.01680832	0.00840416	0.02	0.9850
CATEG	1	0.00775612	0.00775612	0.01	0.9070
TRAT*CATEG	2	0.35673938	0.17836969	0.32	0.7289
IDADE	1	0.23514732	0.23514732	0.42	0.5218

TRAT	AGUA_PB LSMEAN	Standard Error	Pr >  t	LSMEAN Number
3400	6.09354254	0.22638721	<.0001	1
3600	6.12836098	0.23958382	<.0001	2
3800	6.14843536	0.22731735	<.0001	3

LeastSquaresMeans for effect TRAT Pr>  t  for H0: LSMean(i)=LSMean(j) DependentVariable: AGUA_PB			
i/j	1	2	3
1		0.9171	0.8651
2	0.9171		0.9525

**LeastSquaresMeans for effect TRAT**  
**Pr> |t| for H0: LSMean(i)=LSMean(j)**  
**DependentVariable: AGUA\_PB**

i/j	1	2	3
3	0.8651	0.9525	

CATEG	AGUA_PB LSMEAN	Standard Error	H0:LSMEAN=0	H0:LSMean1=LSMean2	Pr >  t	Pr >  t
L	6.10031158	0.23715304		<.0001		0.9070
P	6.14658101	0.23603470		<.0001		

**LeastSquaresMeans for effect TRAT\*CATEG**  
**Pr> |t| for H0: LSMean(i)=LSMean(j)**  
**DependentVariable: AGUA\_PB**

i/j	1	2	3	4	5	6
1	0.5429	0.6733	0.7172	0.5042	0.8179	
2	0.5429		0.8299	0.7708	0.9692	0.6679
3	0.6733	0.8299		0.9846	0.8236	0.9025
4	0.7172	0.7708	0.9846		0.8244	0.8963
5	0.5042	0.9692	0.8236	0.8244		0.7467
6	0.8179	0.6679	0.9025	0.8963	0.7467	

## Corpo vazio

Dependent Variable: Água

Source	DF	Sum of Squares	Mean Square	F Value	Pr > F
Model	6	35788.78368	5964.79728	5.07	0.0016
Error	25	29403.27764	1176.13111		
Corrected Total	31	65192.06132			

R-Square	Coeff Var	Root MSE	AGUA Mean
0.548975	9.701593	34.29477	353.4963

Source	DF	Type III SS	Mean Square	F Value	Pr > F
TRAT	2	3982.90671	1991.45335	1.69	0.2043
CATEG	1	12918.17896	12918.17896	10.98	0.0028
TRAT*CATEG	2	833.59806	416.79903	0.35	0.7051
IDADE	1	100.17453	100.17453	0.09	0.7728

TRAT	AGUA LSMEAN	Standard Error	Pr >  t	LSMEAN Number
3400	344.149257	10.402393	<.0001	1
3600	347.590532	11.008772	<.0001	2

TRAT	AGUA LSMEAN	Standard Error	Pr >  t	LSMEAN Number
3800	369.325525	10.445133	<.0001	3

**Least Squares Means for effect TRAT**  
**Pr > |t| for H0: LSMean(i)=LSMean(j)**  
**Dependent Variable: AGUA**

i/j	1	2	3
1		0.8230	0.0990
2	0.8230		0.1682
3	0.0990	0.1682	

CATEG	AGUA LSMEAN	Standard Error	H0:LSMEAN=0	H0:LSMean1=LSMean2	Pr >  t	Pr >  t
L	323.831683	10.897078		<.0001		0.0028
P	383.545192	10.845691		<.0001		

TRAT	CATEG	AGUA LSMEAN	Standard Error	Pr >  t	LSMEAN Number
3400	L	320.934357	16.353768	<.0001	1
3400	P	367.364156	15.625371	<.0001	2
3600	L	316.697248	17.634564	<.0001	3
3600	P	378.483815	16.106727	<.0001	4
3800	L	333.863443	15.107659	<.0001	5
3800	P	404.787606	17.273576	<.0001	6

**Least Squares Means for effect TRAT\*CATEG**  
**Pr > |t| for H0: LSMean(i)=LSMean(j)**  
**Dependent Variable: AGUA**

i/j	1	2	3	4	5	6
1	0.0675	0.8482	0.0250	0.5392	0.0031	
2	0.0675		0.0626	0.5988	0.1660	0.0839
3	0.8482	0.0626		0.0235	0.4211	0.0035
4	0.0250	0.5988	0.0235		0.0671	0.2410
5	0.5392	0.1660	0.4211	0.0671		0.0085
6	0.0031	0.0839	0.0035	0.2410	0.0085	

Dependent Variable: Proteína bruta

Source	DF	Sum of Squares	Mean Square	F Value	Pr > F
Model	6	2075.836648	345.972775	4.03	0.0059
Error	25	2147.481045	85.899242		
Corrected Total	31	4223.317693			

R-Square Coeff Var Root MSE PB Mean

R-Square	Coeff Var	Root MSE	PB Mean
0.491518	12.15744	9.268184	76.23467

Source	DF	Type III SS	Mean Square	F Value	Pr > F
TRAT	2	155.6073489	77.8036745	0.91	0.4171
CATEG	1	505.4686992	505.4686992	5.88	0.0228
TRAT*CATEG	2	124.1537679	62.0768840	0.72	0.4953
IDADE	1	67.4156143	67.4156143	0.78	0.3841

TRAT	PB LSMEAN	Standard Error	Pr >  t	LSMEAN Number
3400	73.9487815	2.8112539	<.0001	1
3600	75.8816734	2.9751281	<.0001	2
3800	79.2409053	2.8228042	<.0001	3

Least Squares Means for effect TRAT			
Pr >  t  for H0: LSMean(i)=LSMean(j)			
Dependent Variable: PB			
i/j	1	2	3
1		0.6426	0.1946
2	0.6426		0.4247
3	0.1946	0.4247	

CATEG	PB LSMEAN	Standard Error	H0:LSMEAN=0	H0:LSMean1=LSMean2	Pr >  t	Pr >  t
L	70.4511793	2.9449429		<.0001		0.0228
P	82.2630609	2.9310555		<.0001		

TRAT	CATEG	PB LSMEAN	Standard Error	Pr >  t	LSMEAN Number
3400	L	70.7952239	4.4196169	<.0001	1
3400	P	77.1023392	4.2227671	<.0001	2
3600	L	68.8646845	4.7657529	<.0001	3
3600	P	82.8986624	4.3528539	<.0001	4
3800	L	71.6936297	4.0828551	<.0001	5
3800	P	86.7881810	4.6681958	<.0001	6

Least Squares Means for effect TRAT*CATEG						
Pr >  t  for H0: LSMean(i)=LSMean(j)						
Dependent Variable: PB						
i/j	1	2	3	4	5	6
1		0.3460	0.7470	0.0754	0.8741	0.0294
2	0.3460		0.2521	0.3138	0.4020	0.0971
3	0.7470	0.2521		0.0534	0.6223	0.0228
4	0.0754	0.3138	0.0534		0.0875	0.5171

**Least Squares Means for effect TRAT\*CATEG**  
**Pr > |t| for H0: LSMean(i)=LSMean(j)**  
**Dependent Variable: PB**

i/j	1	2	3	4	5	6
5	0.8741	0.4020	0.6223	0.0875		0.0336
6	0.0294	0.0971	0.0228	0.5171	0.0336	

Dependent Variable: Cinza

Source	DF	Sum of Squares	Mean Square	F Value	Pr > F
Model	6	134.0674000	22.3445667	1.71	0.1593
Error	25	326.0432468	13.0417299		
Corrected Total	31	460.1106468			

R-Square	Coeff Var	Root MSE	CZ Mean
0.291381	27.79877	3.611334	12.99098

Source	DF	Type III SS	Mean Square	F Value	Pr > F
TRAT	2	38.20522458	19.10261229	1.46	0.2503
CATEG	1	0.23984087	0.23984087	0.02	0.8932
TRAT*CATEG	2	1.84869709	0.92434854	0.07	0.9318
IDADE	1	43.95088285	43.95088285	3.37	0.0783

TRAT	CZ LSMEAN	Standard Error	Pr >  t	LSMEAN Number
3400	11.8592294	1.0954007	<.0001	1
3600	14.5690971	1.1592540	<.0001	2
3800	12.7387897	1.0999013	<.0001	3

**Least Squares Means for effect TRAT**  
**Pr > |t| for H0: LSMean(i)=LSMean(j)**  
**Dependent Variable: CZ**

i/j	1	2	3
1		0.1034	0.5748
2	0.1034		0.2672
3	0.5748	0.2672	

CATEG	CZ LSMEAN	Standard Error	H0:LSMEAN=0	H0:LSMean1=LSMean2	Pr >  t	Pr >  t
L	12.9270572	1.1474924		<.0001		0.8932
P	13.1843535	1.1420812		<.0001		

TRAT	CATEG	CZ LSMEAN	Standard Error	Pr >  t	LSMEAN Number
------	-------	-----------	----------------	---------	---------------

TRAT	CATEG	CZ LSMEAN	Standard Error	Pr >  t	LSMEAN Number
3400	L	12.0595256	1.7220968	<.0001	1
3400	P	11.6589332	1.6453946	<.0001	2
3600	L	14.3402735	1.8569682	<.0001	3
3600	P	14.7979207	1.6960827	<.0001	4
3800	L	12.3813726	1.5908781	<.0001	5
3800	P	13.0962068	1.8189552	<.0001	6

Least Squares Means for effect TRAT*CATEG						
Pr >  t  for H0: LSMean(i)=LSMean(j)						
Dependent Variable: CZ						
i/j	1	2	3	4	5	6
1	0.8768	0.3321	0.2916	0.8842	0.7040	
2	0.8768		0.3368	0.1655	0.7725	0.5175
3	0.3321	0.3368		0.8666	0.3838	0.6694
4	0.2916	0.1655	0.8666		0.3344	0.4674
5	0.8842	0.7725	0.3838	0.3344		0.7868
6	0.7040	0.5175	0.6694	0.4674	0.7868	

### Dependent Variable: Gordura bruta

Source	DF	Sum of Squares	Mean Square	F Value	Pr > F
Model	6	620.665351	103.444225	0.71	0.6426
Error	25	3627.995094	145.119804		
Corrected Total	31	4248.660445			

R-Square	Coeff Var	Root MSE	GB Mean
0.146085	27.06913	12.04657	44.50297

Source	DF	Type III SS	Mean Square	F Value	Pr > F
TRAT	2	132.1233433	66.0616717	0.46	0.6395
CATEG	1	46.5520116	46.5520116	0.32	0.5762
TRAT*CATEG	2	358.5648233	179.2824116	1.24	0.3079
IDADE	1	0.7723280	0.7723280	0.01	0.9424

TRAT	GB LSMEAN	Standard Error	Pr >  t	LSMEAN Number
3400	42.0587245	3.6540017	<.0001	1
3600	47.0204924	3.8670015	<.0001	2
3800	45.3503456	3.6690146	<.0001	3

**Least Squares Means for effect TRAT**  
**Pr > |t| for H0: LSMean(i)=LSMean(j)**  
**Dependent Variable: GB**

i/j	1	2	3
1		0.3624	0.5294
2	0.3624		0.7588
3	0.5294	0.7588	

CATEG	GB LSMEAN	Standard Error	H0:LSMEAN=0	H0:LSMean1=LSMean2
			Pr >  t	Pr >  t
L	43.0175522	3.8277675	<.0001	0.5762
P	46.6021561	3.8097170	<.0001	

TRAT	CATEG	GB LSMEAN	Standard Error	Pr >  t	LSMEAN Number
3400	L	43.2370989	5.7445141	<.0001	1
3400	P	40.8803501	5.4886534	<.0001	2
3600	L	46.8965098	6.1944136	<.0001	3
3600	P	47.1444751	5.6577371	<.0001	4
3800	L	38.9190480	5.3067990	<.0001	5
3800	P	51.7816433	6.0676111	<.0001	6

**Least Squares Means for effect TRAT\*CATEG**  
**Pr > |t| for H0: LSMean(i)=LSMean(j)**  
**Dependent Variable: GB**

i/j	1	2	3	4	5	6
1		0.7847	0.6384	0.6489	0.5592	0.3514
2	0.7847		0.5161	0.4008	0.8139	0.1480
3	0.6384	0.5161		0.9782	0.2895	0.6155
4	0.6489	0.4008	0.9782		0.3248	0.5521
5	0.5592	0.8139	0.2895	0.3248		0.1529
6	0.3514	0.1480	0.6155	0.5521	0.1529	

Dependent Variable: Energia retida

Source	DF	Sum of Squares	Mean Square	F Value	Pr > F
Model	6	0.19276937	0.03212823	1.30	0.2931
Error	25	0.61745173	0.02469807		
Corrected Total	31	0.81022110			

R-Square	Coeff Var	Root MSE	ER Mean
0.237922	18.52667	0.157156	0.848270

Source	DF	Type III SS	Mean Square	F Value	Pr > F
ENERGIA	2	0.02507774	0.01253887	0.51	0.6080
CATEG	1	0.03654177	0.03654177	1.48	0.2352
ENERGIA*CATEG	2	0.05166875	0.02583438	1.05	0.3662
IDADE	1	0.00299277	0.00299277	0.12	0.7307

ENERGIA	ERT LSMEAN	Standard Error	Pr >  t	LSMEAN Number
3400	0.81242568	0.04766910	<.0001	1
3600	0.86984199	0.05044783	<.0001	2
3800	0.87324027	0.04786495	<.0001	3

Least Squares Means for effect ENERGIA Pr >  t  for H0: LSMean(i)=LSMean(j) Dependent Variable: ER					
i/j	1	2	3		
1		0.4183	0.3750		
2	0.4183		0.9618		
3	0.3750	0.9618			

CATEG	ERT LSMEAN	Standard Error	H0:LSMEAN=0	H0:LSMean1=LSMean2	Pr >  t	Pr >  t
L	0.80162060	0.04993600		<.0001		0.2352
P	0.90205136	0.04970051		<.0001		

ENERGIA	CATEG	ERT LSMEAN	Standard Error	Pr >  t	LSMEAN Number
3400	L	0.80558554	0.07494134	<.0001	1
3400	P	0.81926581	0.07160345	<.0001	2
3600	L	0.82897254	0.08081061	<.0001	3
3600	P	0.91071144	0.07380927	<.0001	4
3800	L	0.77030372	0.06923103	<.0001	5
3800	P	0.97617681	0.07915638	<.0001	6

Least Squares Means for effect ENERGIA*CATEG Pr >  t  for H0: LSMean(i)=LSMean(j) Dependent Variable: ER						
i/j	1	2	3	4	5	6
1	0.9032	0.8176	0.3510	0.7139	0.1585	
2	0.9032		0.9357	0.3480	0.6530	0.1121
3	0.8176	0.9357		0.4926	0.5473	0.2511
4	0.3510	0.3480	0.4926		0.2007	0.5201
5	0.7139	0.6530	0.5473	0.2007		0.0825
6	0.1585	0.1121	0.2511	0.5201	0.0825	

Dependent Variable: GB:PB

Source	DF	Sum of Squares	Mean Square	F Value	Pr > F
Model	6	0.11346518	0.01891086	1.45	0.2360
Error	25	0.32623018	0.01304921		
Corrected Total	31	0.43969536			

R-Square	Coeff Var	Root MSE	GB_PB Mean
0.258054	19.63844	0.114233	0.581681

Source	DF	Type III SS	Mean Square	F Value	Pr > F
TRAT	2	0.02201587	0.01100793	0.84	0.4421
CATEG	1	0.00813218	0.00813218	0.62	0.4373
TRAT*CATEG	2	0.04469462	0.02234731	1.71	0.2009
IDADE	1	0.00314807	0.00314807	0.24	0.6276

TRAT	GB_PB LSMEAN	Standard Error	Pr >  t	LSMEAN Number
3400	0.56698434	0.03464954	<.0001	1
3600	0.62388320	0.03666934	<.0001	2
3800	0.56497554	0.03479190	<.0001	3

Least Squares Means for effect TRAT Pr >  t  for H0: LSMean(i)=LSMean(j) Dependent Variable: GB_PB				
i/j	1	2	3	
1		0.2725	0.9676	
2	0.2725		0.2591	
3	0.9676	0.2591		

CATEG	GB_PB LSMEAN	Standard Error	H0:LSMEAN=0	H0:LSMean1=LSMean2	Pr >  t	Pr >  t
L	0.60896995	0.03629730		<.0001		0.4373
P	0.56159210	0.03612613		<.0001		

Dependent Variable: CZ:PB

Source	DF	Sum of Squares	Mean Square	F Value	Pr > F
Model	6	0.00986211	0.00164368	1.03	0.4305
Error	25	0.03997064	0.00159883		
Corrected Total	31	0.04983275			

R-Square	Coeff Var	Root MSE	CZ_PB Mean
0.197904	23.49977	0.039985	0.170152

Source	DF	Type III SS	Mean Square	F Value	Pr > F
TRAT	2	0.00720380	0.00360190	2.25	0.1260
CATEG	1	0.00202508	0.00202508	1.27	0.2711
TRAT*CATEG	2	0.00026808	0.00013404	0.08	0.9198
IDADE	1	0.00442387	0.00442387	2.77	0.1087

TRAT	CZ_PB LSMEAN	Standard Error	Pr >  t	LSMEAN Number
3400	0.16076432	0.01212847	<.0001	1
3600	0.19271642	0.01283546	<.0001	2
3800	0.15850513	0.01217830	<.0001	3

Least Squares Means for effect TRAT					
Pr >  t  for H0: LSMean(i)=LSMean(j)					
Dependent Variable: CZ_PB					
i/j	1	2	3		
1		0.0839	0.8961		
2	0.0839		0.0669		
3	0.8961	0.0669			

CATEG	CZ_PB LSMEAN	Standard Error	H0:LSMEAN=0	H0:LSMean1=LSMean2	Pr >  t	Pr >  t
L	0.18248320	0.01270524		<.0001		0.2711
P	0.15884071	0.01264532		<.0001		

TRAT	CATEG	CZ_PB LSMEAN	Standard Error	Pr >  t	LSMEAN Number
3400	L	0.16851663	0.01906736	<.0001	1
3400	P	0.15301201	0.01821810	<.0001	2
3600	L	0.20694145	0.02056068	<.0001	3
3600	P	0.17849140	0.01877933	<.0001	4
3800	L	0.17199153	0.01761448	<.0001	5
3800	P	0.14501873	0.02013979	<.0001	6

Least Squares Means for effect TRAT*CATEG						
Pr >  t  for H0: LSMean(i)=LSMean(j)						
Dependent Variable: CZ_PB						
i/j	1	2	3	4	5	6
1	0.5890	0.1449	0.7260	0.8870	0.4388	
2	0.5890		0.0874	0.3049	0.4945	0.7443
3	0.1449	0.0874		0.3499	0.1656	0.0634
4	0.7260	0.3049	0.3499		0.8130	0.2018

**Least Squares Means for effect TRAT\*CATEG**  
**Pr > |t| for H0: LSMean(i)=LSMean(j)**  
**Dependent Variable: CZ\_PB**

i/j	1	2	3	4	5	6
5	0.8870	0.4945	0.1656	0.8130		0.3605
6	0.4388	0.7443	0.0634	0.2018	0.3605	

Dependent Variable: Água:PB

Source	DF	Sum of Squares	Mean Square	F Value	Pr > F
<b>Model</b>	6	0.31383116	0.05230519	0.60	0.7305
<b>Error</b>	25	2.19336789	0.08773472		
<b>Corrected Total</b>	31	2.50719905			

R-Square	Coeff Var	Root MSE	AGUA_PB Mean
0.125172	6.355469	0.296200	4.660560

Source	DF	Type III SS	Mean Square	F Value	Pr > F
<b>TRAT</b>	2	0.03967156	0.01983578	0.23	0.7993
<b>CATEG</b>	1	0.01385403	0.01385403	0.16	0.6945
<b>TRAT*CATEG</b>	2	0.11655393	0.05827696	0.66	0.5235
<b>IDADE</b>	1	0.12586657	0.12586657	1.43	0.2422

TRAT	AGUA_PB LSMEAN	Standard Error	Pr >  t	LSMEAN Number
<b>3400</b>	4.67898046	0.08984443	<.0001	1
<b>3600</b>	4.60373331	0.09508166	<.0001	2
<b>3800</b>	4.68379833	0.09021356	<.0001	3

**Least Squares Means for effect TRAT**  
**Pr > |t| for H0: LSMean(i)=LSMean(j)**  
**Dependent Variable: AGUA\_PB**

i/j	1	2	3
1		0.5723	0.9700
2	0.5723		0.5505
3	0.9700	0.5505	

CATEG	AGUA_PB LSMEAN	Standard Error	H0:LSMEAN=0	H0:LSMean1=LSMean2	Pr >  t	Pr >  t
L	4.62458471	0.09411697		<.0001		0.6945
P	4.68642336	0.09367315		<.0001		

TRAT	CATEG	AGUA_PB LSMEAN	Standard Error	Pr >  t	LSMEAN Number
------	-------	----------------	----------------	---------	---------------

TRAT	CATEG	AGUA_PB	LSMEAN	Standard Error	Pr >  t	LSMEAN Number
3400	L		4.56438576	0.14124585	<.0001	1
3400	P		4.79357516	0.13495476	<.0001	2
3600	L		4.63013096	0.15230796	<.0001	3
3600	P		4.57733567	0.13911218	<.0001	4
3800	L		4.67923741	0.13048333	<.0001	5
3800	P		4.68835925	0.14919014	<.0001	6

Least Squares Means for effect TRAT*CATEG						
Pr >  t  for H0: LSMean(i)=LSMean(j)						
Dependent Variable: AGUA_PB						
i/j	1	2	3	4	5	6
1		0.2852	0.7311	0.9510	0.5278	0.5802
2	0.2852		0.4734	0.2414	0.5779	0.5632
3	0.7311	0.4734		0.8133	0.7887	0.8073
4	0.9510	0.2414	0.8133		0.6172	0.5625
5	0.5278	0.5779	0.7887	0.6172		0.9664
6	0.5802	0.5632	0.8073	0.5625	0.9664	

Dependent Variable: Energia retida como proteína

Source	DF	Sum of Squares	Mean Square	F Value	Pr > F
Model	6	0.06650067	0.01108345	4.03	0.0059
Error	25	0.06879584	0.00275183		
Corrected Total	31	0.13529652			

R-Square	Coeff Var	Root MSE	ERP Mean
0.491518	12.15744	0.052458	0.431488

Source	DF	Type III SS	Mean Square	F Value	Pr > F
ENERGIA	2	0.00498497	0.00249249	0.91	0.4171
CATEG	1	0.01619299	0.01619299	5.88	0.0228
ENERGIA*CATEG	2	0.00397734	0.00198867	0.72	0.4953
IDADE	1	0.00215970	0.00215970	0.78	0.3841

ENERGIA	ERP	LSMEAN	Standard Error	Pr >  t	LSMEAN Number
3400		0.41855010	0.01591170	<.0001	1
3600		0.42949027	0.01683922	<.0001	2
3800		0.44850352	0.01597707	<.0001	3

**Least Squares Means for effect ENERGIA**  
**Pr > |t| for H0: LSMean(i)=LSMean(j)**  
**Dependent Variable: ERP**

i/j	1	2	3
1		0.6426	0.1946
2	0.6426		0.4247
3	0.1946	0.4247	

CATEG	ERP LSMEAN	Standard Error	H0:LSMEAN=0	H0:LSMean1=LSMean2	Pr >  t	Pr >  t
L	0.39875368	0.01666838		<.0001		0.0228
P	0.46560892	0.01658977		<.0001		

ENERGIA	CATEG	ERP LSMEAN	Standard Error	Pr >  t	LSMEAN Number
3400	L	0.40070097	0.02501503	<.0001	1
3400	P	0.43639924	0.02390086	<.0001	2
3600	L	0.38977411	0.02697416	<.0001	3
3600	P	0.46920643	0.02463715	<.0001	4
3800	L	0.40578594	0.02310896	<.0001	5
3800	P	0.49122110	0.02642199	<.0001	6

**Least Squares Means for effect ENERGIA\*CATEG**  
**Pr > |t| for H0: LSMean(i)=LSMean(j)**  
**Dependent Variable: ERP**

i/j	1	2	3	4	5	6
1		0.3460	0.7470	0.0754	0.8741	0.0294
2	0.3460		0.2521	0.3138	0.4020	0.0971
3	0.7470	0.2521		0.0534	0.6223	0.0228
4	0.0754	0.3138	0.0534		0.0875	0.5171
5	0.8741	0.4020	0.6223	0.0875		0.0336
6	0.0294	0.0971	0.0228	0.5171	0.0336	

Dependent Variable: Energia retida como gordura

Source	DF	Sum of Squares	Mean Square	F Value	Pr > F
Model	6	0.05554434	0.00925739	0.71	0.6426
Error	25	0.32467509	0.01298700		
Corrected Total	31	0.38021942			

R-Square	Coeff Var	Root MSE	ERG Mean
0.146085	27.06913	0.113961	0.420998

Source	DF	Type III SS	Mean Square	F Value	Pr > F
ENERGIA	2	0.01182393	0.00591196	0.46	0.6395
CATEG	1	0.00416601	0.00416601	0.32	0.5762
ENERGIA*CATEG	2	0.03208854	0.01604427	1.24	0.3079
IDADE	1	0.00006912	0.00006912	0.01	0.9424

ENERGIA	ERG LSMEAN	Standard Error	Pr >  t	LSMEAN Number
3400	0.39787553	0.03456686	<.0001	1
3600	0.44481386	0.03658183	<.0001	2
3800	0.42901427	0.03470888	<.0001	3

Least Squares Means for effect ENERGIA Pr >  t  for H0: LSMean(i)=LSMean(j) Dependent Variable: ERG			
i/j	1	2	3
1		0.3624	0.5294
2	0.3624		0.7588
3	0.5294	0.7588	

CATEG	ERG LSMEAN	Standard Error	H0:LSMEAN=0	H0:LSMean1=LSMean2	Pr >  t	Pr >  t
L	0.40694604	0.03621068		<.0001		0.5762
P	0.44085640	0.03603992		<.0001		

ENERGIA	CATEG	ERG LSMEAN	Standard Error	Pr >  t	LSMEAN Number
3400	L	0.40902296	0.05434310	<.0001	1
3400	P	0.38672811	0.05192266	<.0001	2
3600	L	0.44364098	0.05859915	<.0001	3
3600	P	0.44598673	0.05352219	<.0001	4
3800	L	0.36817419	0.05020232	<.0001	5
3800	P	0.48985435	0.05739960	<.0001	6

Least Squares Means for effect ENERGIA*CATEG Pr >  t  for H0: LSMean(i)=LSMean(j) Dependent Variable: ERG						
i/j	1	2	3	4	5	6
1	0.7847	0.6384	0.6489	0.5592	0.3514	
2	0.7847		0.5161	0.4008	0.8139	0.1480
3	0.6384	0.5161		0.9782	0.2895	0.6155
4	0.6489	0.4008	0.9782		0.3248	0.5521
5	0.5592	0.8139	0.2895	0.3248		0.1529
6	0.3514	0.1480	0.6155	0.5521	0.1529	

**Apêndice 12.** Análise estatística. Eficiência de utilização da energia metabolizável

Dependent Variable: Consumo EM

Source	DF	Sum of Squares	Mean Square	F Value	Pr > F
Model	6	1.68294486	0.28049081	3.73	0.0087
Error	25	1.87843303	0.07513732		
Corrected Total	31	3.56137789			

R-Square	Coeff Var	Root CEM	MEI Mean
0.472554	11.99472	0.274112	2.285272

Source	DF	Type III SS	Mean Square	F Value	Pr > F
ENERGIA	2	0.18668911	0.09334456	1.24	0.3059
CATEG	1	0.50797948	0.50797948	6.76	0.0154
ENERGIA*CATEG	2	0.02824279	0.01412139	0.19	0.8298
IDADE	1	0.02446629	0.02446629	0.33	0.5733

ENERGIA	CEM LSMEAN	Standard Error	Pr >  t	LSMEAN Number
3400	2.20325518	0.08314445	<.0001	1
3600	2.27097756	0.08799112	<.0001	2
3800	2.38666949	0.08348606	<.0001	3

Least Squares Means for effect ENERGIA Pr >  t  for H0: LSMean(i)=LSMean(j) Dependent Variable: CEM			
i/j	1	2	3
1		0.5828	0.1309
2	0.5828		0.3537
3	0.1309	0.3537	

CATEG	CEM LSMEAN	Standard Error	H0:LSMEAN=0	H0:LSMean1=LSMean2	Pr >  t	Pr >  t
L	2.09974189	0.08709838		<.0001		0.0154
P	2.47419293	0.086668765		<.0001		

ENERGIA	CATEG	CEM LSMEAN	Standard Error	Pr >  t	LSMEAN Number
3400	L	2.05585132	0.13071271	<.0001	1
3400	P	2.35065904	0.12489076	<.0001	2
3600	L	2.07436539	0.14094988	<.0001	3

ENERGIA	CATEG	CEM LSMEAN	Standard Error	Pr >  t	LSMEAN Number
3600	P	2.46758973	0.12873815	<.0001	4
3800	L	2.16900897	0.12075278	<.0001	5
3800	P	2.60433001	0.13806457	<.0001	6

Least Squares Means for effect ENERGIA*CATEG Pr >  t  for H0: LSMean(i)=LSMean(j) Dependent Variable: CEM						
i/j	1	2	3	4	5	6
1	0.1416	0.9166	0.0428	0.5017	0.0129	
2	0.1416		0.1956	0.4897	0.3423	0.1394
3	0.9166	0.1956		0.0662	0.5776	0.0229
4	0.0428	0.4897	0.0662		0.1216	0.4420
5	0.5017	0.3423	0.5776	0.1216		0.0378
6	0.0129	0.1394	0.0229	0.4420	0.0378	

Dependent Variable: Conversão calórica

Source	DF	Sum of Squares	Mean Square	F Value	Pr > F
Model	6	0.31228291	0.05204715	0.39	0.8754
Error	25	3.29744883	0.13189795		
Corrected Total	31	3.60973175			

R-Square	Coeff Var	Root MSE	CC Mean
0.086511	8.069694	0.363178	4.500512

Source	DF	Type III SS	Mean Square	F Value	Pr > F
ENERGIA	2	0.07154060	0.03577030	0.27	0.7647
CATEG	1	0.01650090	0.01650090	0.13	0.7265
ENERGIA*CATEG	2	0.09487000	0.04743500	0.36	0.7015
IDADE	1	0.10361329	0.10361329	0.79	0.3839

ENERGIA	CC LSMEAN	Standard Error	Pr >  t	LSMEAN Number
3400	4.45209850	0.11016013	<.0001	1
3600	4.47389870	0.11658160	<.0001	2
3800	4.56116603	0.11061273	<.0001	3

Least Squares Means for effect ENERGIA Pr >  t  for H0: LSMean(i)=LSMean(j) Dependent Variable: CC			
i/j	1	2	3
1		0.8935	0.4898
2	0.8935		0.5953

**Least Squares Means for effect ENERGIA**  
**Pr > |t| for H0: LSMean(i)=LSMean(j)**  
**Dependent Variable: CC**

i/j	1	2	3
3	0.4898	0.5953	

CATEG	CC LSMEAN	Standard Error	H0:LSMEAN=0	H0:LSMean1=LSMean2	Pr >  t	Pr >  t
L	4.52946502	0.11539878		<.0001		0.7265
P	4.46197714	0.11485460		<.0001		

ENERGIA	CATEG	CC LSMEAN	Standard Error	Pr >  t	LSMEAN Number
3400	L	4.42335140	0.17318449	<.0001	1
3400	P	4.48084561	0.16547085	<.0001	2
3600	L	4.50112826	0.18674797	<.0001	3
3600	P	4.44666915	0.17056835	<.0001	4
3800	L	4.66391539	0.15998834	<.0001	5
3800	P	4.45841667	0.18292515	<.0001	6

**Least Squares Means for effect ENERGIA\*CATEG**  
**Pr > |t| for H0: LSMean(i)=LSMean(j)**  
**Dependent Variable: CC**

i/j	1	2	3	4	5	6
1	0.8250	0.7402	0.9280	0.2844	0.8982	
2	0.8250		0.9419	0.8783	0.4684	0.9197
3	0.7402	0.9419		0.8425	0.4707	0.8839
4	0.9280	0.8783	0.8425		0.3873	0.9600
5	0.2844	0.4684	0.4707	0.3873		0.4419
6	0.8982	0.9197	0.8839	0.9600	0.4419	

Dependent Variable: Produção de calor

Source	DF	Sum of Squares	Mean Square	F Value	Pr > F
Model	6	0.87238028	0.14539671	5.08	0.0016
Error	25	0.71572075	0.02862883		
Corrected Total	31	1.58810103			

R-Square	Coeff Var	Root MSE	PC Mean
0.549323	11.77456	0.169201	1.437001

Source	DF	Type III SS	Mean Square	F Value	Pr > F
ENERGIA	2	0.09842660	0.04921330	1.72	0.1998
CATEG	1	0.27203295	0.27203295	9.50	0.0049

Source	DF	Type III SS	Mean Square	F Value	Pr > F
ENERGIA*CATEG	2	0.00905556	0.00452778	0.16	0.8546
IDADE	1	0.01034510	0.01034510	0.36	0.5532

ENERGIA	PC LSMEAN	Standard Error	Pr >  t	LSMEAN Number
3400	1.39082951	0.05132243	<.0001	1
3600	1.40113557	0.05431413	<.0001	2
3800	1.51342922	0.05153329	<.0001	3

Least Squares Means for effect ENERGIA Pr >  t  for H0: LSMean(i)=LSMean(j) Dependent Variable: PC			
i/j	1	2	3
1		0.8920	0.1032
2	0.8920		0.1498
3	0.1032	0.1498	

CATEG	PC LSMEAN	Standard Error	H0:LSMEAN=0	H0:LSMean1=LSMean2	Pr >  t	Pr >  t
L	1.29812129	0.05376306		<.0001		0.0049
P	1.57214157	0.05350953		<.0001		

ENERGIA	CATEG	PC LSMEAN	Standard Error	Pr >  t	LSMEAN Number
3400	L	1.25026578	0.08068481	<.0001	1
3400	P	1.53139323	0.07709110	<.0001	2
3600	L	1.24539285	0.08700389	<.0001	3
3600	P	1.55687829	0.07946598	<.0001	4
3800	L	1.39870525	0.07453686	<.0001	5
3800	P	1.62815320	0.08522288	<.0001	6

Least Squares Means for effect ENERGIA*CATEG Pr >  t  for H0: LSMean(i)=LSMean(j) Dependent Variable: PC						
i/j	1	2	3	4	5	6
1	0.0273	0.9644	0.0163	0.1598	0.0062	
2	0.0273		0.0350	0.8065	0.2628	0.3546
3	0.9644	0.0350		0.0209	0.1512	0.0089
4	0.0163	0.8065	0.0209		0.1813	0.5155
5	0.1598	0.2628	0.1512	0.1813		0.0729
6	0.0062	0.3546	0.0089	0.5155	0.0729	

Dependent Variable: Eficiência energética

Source	DF	Sum of Squares	Mean Square	F Value	Pr > F
Model	6	0.01155200	0.00192533	1.07	0.4079
Error	25	0.04509374	0.00180375		
Corrected Total	31	0.05664574			

R-Square	Coeff Var	Root MSE	EE Mean
0.203934	11.45345	0.042471	0.370810

Source	DF	Type III SS	Mean Square	F Value	Pr > F
ENERGIA	2	0.00174153	0.00087076	0.48	0.6227
CATEG	1	0.00125774	0.00125774	0.70	0.4116
ENERGIA*CATEG	2	0.00622514	0.00311257	1.73	0.1986
IDADE	1	0.00001429	0.00001429	0.01	0.9298

ENERGIA	EE LSMEAN	Standard Error	Pr >  t	LSMEAN Number
3400	0.36845202	0.01288230	<.0001	1
3600	0.38285657	0.01363324	<.0001	2
3800	0.36518682	0.01293523	<.0001	3

Least Squares Means for effect ENERGIA  
 Pr > |t| for H0: LSMean(i)=LSMean(j)  
 Dependent Variable: EE

i/j	1	2	3
1		0.4520	0.8590
2	0.4520		0.3605
3	0.8590	0.3605	

CATEG	EE LSMEAN	Standard Error	H0:LSMEAN=0	H0:LSMean1=LSMean2	Pr >  t	Pr >  t
L	0.38148130	0.01349492		<.0001		0.4116
P	0.36284897	0.01343128		<.0001		

ENERGIA	CATEG	EE LSMEAN	Standard Error	Pr >  t	LSMEAN Number
3400	L	0.39151822	0.02025247	<.0001	1
3400	P	0.34538583	0.01935043	<.0001	2
3600	L	0.39733480	0.02183861	<.0001	3
3600	P	0.36837834	0.01994654	<.0001	4
3800	L	0.35559089	0.01870929	<.0001	5
3800	P	0.37478275	0.02139156	<.0001	6

Least Squares Means for effect ENERGIA\*CATEG  
 Pr > |t| for H0: LSMean(i)=LSMean(j)  
 Dependent Variable: EE

i/j	1	2	3	4	5	6
1	0.1378	0.8319	0.4462	0.1747	0.6024	
2	0.1378		0.1192	0.3820	0.7285	0.2644
3	0.8319	0.1192		0.3700	0.1208	0.5115
4	0.4462	0.3820	0.3700		0.6616	0.8152
5	0.1747	0.7285	0.1208	0.6616		0.5383
6	0.6024	0.2644	0.5115	0.8152	0.5383	

Dependent Variable: EM para manutenção

Source	DF	Sum of Squares	Mean Square	F Value	Pr > F
Model	6	0.16180065	0.02696677	16.16	<.0001
Error	25	0.04172204	0.00166888		
Corrected Total	31	0.20352269			

R-Square	Coeff Var	Root MSE	MEm Mean
0.795001	5.721892	0.040852	0.713959

Source	DF	Type III SS	Mean Square	F Value	Pr > F
ENERGIA	2	0.00161982	0.00080991	0.49	0.6212
CATEG	1	0.05933071	0.05933071	35.55	<.0001
ENERGIA*CATEG	2	0.00122635	0.00061317	0.37	0.6962
IDADE	1	0.00122196	0.00122196	0.73	0.4003

ENERGIA	MEm LSMEAN	Standard Error	Pr >  t	LSMEAN Number
3400	0.70524588	0.01239134	<.0001	1
3600	0.71582637	0.01311366	<.0001	2
3800	0.72232641	0.01244225	<.0001	3

Least Squares Means for effect ENERGIA  
 Pr > |t| for H0: LSMean(i)=LSMean(j)  
 Dependent Variable: MEm

i/j	1	2	3
1		0.5648	0.3385
2	0.5648		0.7246
3	0.3385	0.7246	

CATEG	MEm LSMEAN	Standard Error	H0:LSMEAN=0	H0:LSMean1=LSMean2	Pr >  t	Pr >  t
L	0.65048070	0.01298061		<.0001		<.0001
P	0.77845174	0.01291939		<.0001		

ENERGIA	CATEG	MEm LSMEAN	Standard Error	Pr >  t	LSMEAN Number
3400	L	0.64927364	0.01948062	<.0001	1
3400	P	0.76121812	0.01861295	<.0001	2
3600	L	0.65069420	0.02100630	<.0001	3
3600	P	0.78095854	0.01918634	<.0001	4
3800	L	0.65147425	0.01799625	<.0001	5
3800	P	0.79317856	0.02057629	<.0001	6

Least Squares Means for effect ENERGIA*CATEG						
Pr >  t  for H0: LSMean(i)=LSMean(j)						
Dependent Variable: MEm						
i/j	1	2	3	4	5	6
1	0.0007	0.9570	0.0001	0.9298	<.0001	
2	0.0007		0.0015	0.4345	0.0006	0.2087
3	0.9570	0.0015		0.0002	0.9754	0.0002
4	0.0001	0.4345	0.0002		<.0001	0.6435
5	0.9298	0.0006	0.9754	<.0001		<.0001
6	<.0001	0.2087	0.0002	0.6435	<.0001	

Dependent Variable: EM para crescimento

Source	DF	Sum of Squares	Mean Square	F Value	Pr > F
Model	6	0.83569652	0.13928275	2.34	0.0622
Error	25	1.48651704	0.05946068		
Corrected Total	31	2.32221357			

R-Square	Coeff Var	Root MSE	MEg Mean
0.359871	15.51859	0.243846	1.571313

Source	DF	Type III SS	Mean Square	F Value	Pr > F
ENERGIA	2	0.15481668	0.07740834	1.30	0.2898
CATEG	1	0.22009970	0.22009970	3.70	0.0658

ENERGIA*CATEG	2	0.01774875	0.00887437	0.15	0.8621
IDADE	1	0.01475266	0.01475266	0.25	0.6228

ENERGIA	MEg LSMEAN	Standard Error	Pr >  t	LSMEAN Number
3400	1.49800930	0.07396399	<.0001	1
3600	1.55515119	0.07827552	<.0001	2
3800	1.66434308	0.07426788	<.0001	3

**Least Squares Means for effect ENERGIA**  
**Pr > |t| for H0: LSMean(i)=LSMean(j)**  
**Dependent Variable: MEg**

i/j	1	2	3
1		0.6022	0.1239
2	0.6022		0.3256
3	0.1239	0.3256	

CATEG	MEg LSMEAN	Standard Error	H0:LSMEAN=0	H0:LSMean1=LSMean2
L	1.44926120	0.07748134	<.0001	0.0658
P	1.69574119	0.07711597	<.0001	

ENERGIA	CATEG	MEg LSMEAN	Standard Error	Pr >  t	LSMEAN Number
3400	L	1.40657768	0.11627997	<.0001	1
3400	P	1.58944092	0.11111008	<.0001	2
3600	L	1.42367119	0.12538679	<.0001	3
3600	P	1.68663119	0.11452343	<.0001	4
3800	L	1.51753472	0.10741978	<.0001	5
3800	P	1.81115145	0.12282007	<.0001	6

**Least Squares Means for effect ENERGIA\*CATEG**  
**Pr > |t| for H0: LSMean(i)=LSMean(j)**  
**Dependent Variable: MEg**

i/j	1	2	3	4	5	6
1		0.3000	0.9135	0.1153	0.4594	0.0356
2	0.3000		0.3784	0.5184	0.6703	0.1462
3	0.9135	0.3784		0.1612	0.5350	0.0573
4	0.1153	0.5184	0.1612		0.3175	0.4314
5	0.4594	0.6703	0.5350	0.3175		0.1089
6	0.0356	0.1462	0.0573	0.4314	0.1089	

### Apêndice 13: Análise estatística – Dados meta-análise Modelo I

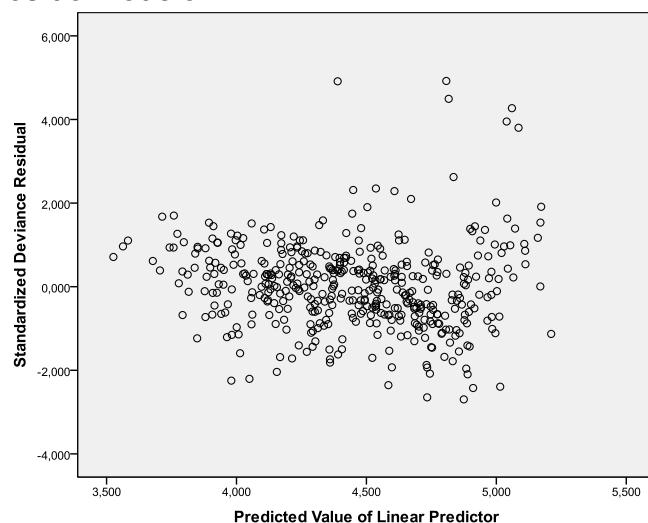
Parameter	B	Std. Error	95% Wald Confidence Interval		Hypothesis Test			Exp(B)	95% Wald Confidence Interval for Exp(B)	
			Lower	Upper	Wald Chi-Square	df	Sig.		Lower	Upper
(Intercept)	1,923	,1474	1,634	2,212	170,147	1	,000	6,841	5,124	9,133
[Co_geral=1]	-,170	,0160	-,201	-,139	112,721	1	,000	,844	,818	,870
[Co_geral=2]	-,143	,0243	-,190	-,095	34,479	1	,000	,867	,827	,909
[Co_geral=3]	-,054	,0206	-,095	-,014	7,006	1	,008	,947	,910	,986
[Co_geral=4]	,025	,0212	-,017	,066	1,355	1	,244	1,025	,983	1,068
[Co_geral=5]	-,115	,0164	-,148	-,083	49,364	1	,000	,891	,863	,920
[Co_geral=6]	-,100	,0154	-,130	-,069	41,584	1	,000	,905	,878	,933
[Co_geral=7]	,002	,0221	-,042	,045	,005	1	,942	1,002	,959	1,046
[Co_geral=8]	-,156	,0164	-,188	-,124	89,949	1	,000	,856	,828	,884
[Co_geral=9]	,216	,0267	,164	,269	65,755	1	,000	1,242	1,178	1,308
[Co_geral=10]	0 <sup>a</sup>							1		
R_Ni	-,077	,0036	-,084	-,070	461,650	1	,000	,926	,920	,933
R_CRN	,041	,0020	,037	,045	411,406	1	,000	1,041	1,037	1,046
R_CRPVm	,008	,0008	,006	,009	90,464	1	,000	1,008	1,006	1,009
R_CA	-,578	,0459	-,668	-,488	159,541	1	,000	,561	,513	,614
PVi	,132	,0168	,099	,165	61,636	1	,000	1,141	1,104	1,179
R_Ni * R_CA	,016	,0023	,011	,020	48,547	1	,000	1,016	1,012	1,021
R_CRN * R_EMi	1,126E-6	1,2242E-7	8,865E-7	1,366E-6	84,675	1	,000	1,000	1,000	1,000
R_CRN * PVi	-,003	,0003	-,003	-,002	115,895	1	,000	,997	,997	,998
R_CRN * PvF	,002	7,5746E-5	,001	,002	406,001	1	,000	1,002	1,001	1,002
(Scale)	28,881 <sup>b</sup>	1,9362	25,325	32,937						

Dependent Variable: R\_GPN<sub>e</sub>  
Model: (Intercept), Co\_geral, R\_Ni, R\_CRN, R\_CRPVm, R\_CA, PVi, R\_Ni \* R\_CA, R\_CRN \* R\_EMi, R\_CRN \* PVi, R\_CRN \* PvF

a. Set to zero because this parameter is redundant.

b. Maximum likelihood estimate.

### Gráfico de resíduos do Modelo I



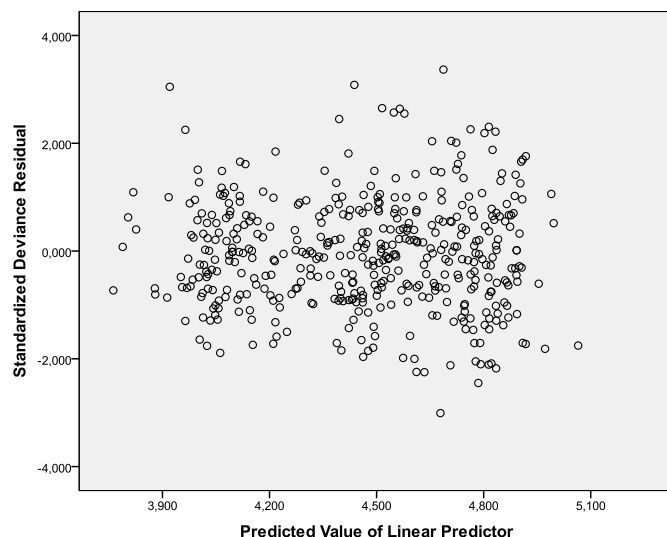
## Modelo II

Parameter	B	Std. Error	Parameter Estimates					Exp(B)	95% Wald Confidence Interval for Exp(B)		
			95% Wald Confidence Interval		Hypothesis Test						
			Lower	Upper	Wald Chi-Square	df	Sig.		Lower	Upper	
(Intercept)	4,703	,2163	4,279	5,127	472,902	1	,000	110,281	72,179	168,495	
[Co_geral=1]	-,016	,0472	-,108	,077	,109	1	,741	,985	,897	1,080	
[Co_geral=2]	-,348	,0684	-,482	-,214	25,901	1	,000	,706	,617	,807	
[Co_geral=3]	,165	,0638	,040	,290	6,680	1	,010	1,179	1,041	1,337	
[Co_geral=4]	,498	,0550	,390	,606	82,159	1	,000	1,646	1,478	1,833	
[Co_geral=5]	-,168	,0493	-,265	-,072	11,641	1	,001	,845	,767	,931	
[Co_geral=6]	,076	,0460	-,015	,166	2,690	1	,101	1,078	,985	1,180	
[Co_geral=7]	-,417	,0561	-,527	-,307	55,154	1	,000	,659	,590	,736	
[Co_geral=8]	-,136	,0471	-,228	-,044	8,343	1	,004	,873	,796	,957	
[Co_geral=9]	-,180	,0544	-,286	-,073	10,874	1	,001	,836	,751	,930	
[Co_geral=10]	0 <sup>a</sup>								1		
R_Ni	-,035	,0050	-,044	-,025	48,877	1	,000	,966	,957	,975	
R_EMi	,000	2,9456E-5	,000	,000	29,311	1	,000	1,000	1,000	1,000	
R_CA	-,392	,1928	-,770	-,014	4,139	1	,042	,875	,463	,986	
PVf	,062	,0146	,034	,091	18,100	1	,000	1,064	1,034	1,095	
R_CRPVm * R_CA	,007	,0012	,004	,009	28,991	1	,000	1,007	1,004	1,009	
R_CA * PVf	-,032	,0113	-,054	-,010	8,014	1	,005	,968	,947	,990	
(Scale)	,032 <sup>b</sup>	,0021	,028	,036							

Dependent Variable: R\_GPNe  
 Model: (Intercept), Co\_geral, R\_Ni, R\_EMi, R\_CA, PVf, R\_CRPVm \* R\_CA, R\_CA \* PVf

a. Set to zero because this parameter is redundant.  
 b. Maximum likelihood estimate.

Gráfico de resíduos do Modelo II



**Apêndice 14:** Normas para preparação de trabalhos científicos para publicação na Livestock Science

**LIVESTOCK SCIENCE**

An International Journal

**AUTHOR INFORMATION PACK**

**DESCRIPTION**

*Livestock Science* promotes the sound development of the **livestock sector** by publishing original, peer-reviewed research and review articles covering all aspects of this broad field. The journal welcomes submissions on the avant-garde areas of **genetic resources**, **tropical livestock farming**, **welfare**, **ethics** and **behaviour**, in addition to those on **genetics**, **breeding**, **growth**, **reproduction**, **nutrition**, **management**, **health**, **production**, **systems**, and so on. The highquality content of this journal reflects the truly international nature of this broad area of research.

**Benefits to authors**

We also provide many author benefits, such as free PDFs, a liberal copyright policy, special discounts on Elsevier publications and much more. Please click here for more information on our author services. Please see our Guide for Authors for information on article submission. If you require any further information or help, please visit our support pages: <http://support.elsevier.com>

**AUDIENCE**

Animal Scientists, Animal Breeders.

**IMPACT FACTOR**

2012: 1.249 © Thomson Reuters Journal Citation Reports 2013 AUTHOR INFORMATION PACK 7 Jan 2014 [www.elsevier.com/locate/livsci](http://www.elsevier.com/locate/livsci) 2

**GUIDE FOR AUTHORS**

***Language (usage and editing services)***

Please write your text in good English (American or British usage is accepted, but not a mixture of these). Authors who feel their English language manuscript may require editing to eliminate possible grammatical or spelling errors and to conform to correct scientific English may wish to use the English Language Editing service available from Elsevier's WebShop (<http://webshop.elsevier.com/languageediting/>) or visit our customer support site (<http://support.elsevier.com>) for more information.

***Submission***

Submission to this journal proceeds totally online and you will be guided stepwise through the creation and uploading of your files. The system automatically converts source files to a single PDF file of the article, which is used in the peer-review process. Please note that even though manuscript source files are converted to PDF files at

submission for the review process, these source files are needed for further processing after acceptance. All correspondence, including notification of the Editor's decision and requests for revision, takes place by e-mail removing the need for a paper trail.

### *Submit your article*

Please submit your article via <http://ees.elsevier.com/livsci/>

### **Referees**

Please submit, with the manuscript, the names, addresses and e-mail addresses of three potential referees. Note that the editor retains the sole right to decide whether or not the suggested reviewers are used.

## **PREPARATION**

### ***Article structure***

Manuscripts should have numbered lines, with wide margins and double spacing throughout, i.e. also for abstracts, footnotes and references. Every page of the manuscript, including the title page, references, tables, etc., should be numbered. However, in the text no reference should be made to page numbers; if necessary, one may refer to sections. Avoid excessive usage of italics to emphasise part of the text.

Manuscripts in general should be organised in the following order:

- Title should be clear, descriptive and not too long
- Abstract
- Keywords (indexing terms)
- Introduction
- Material studied, area descriptions, methods, techniques
- Results
- Discussion
- Conclusion
- Acknowledgment and any additional information concerning research grants, and so on
- References
- Figure captions
- Figures (separate file(s))
- Tables (separate file(s))

### ***Essential title page information***

- **Title.** Concise and informative. Titles are often used in information-retrieval systems. Avoid abbreviations and formulae where possible.
- **Author names and affiliations.** Where the family name may be ambiguous (e.g., a double name), please indicate this clearly. Present the authors' affiliation addresses (where the actual work was done) below the names. Indicate all affiliations with a lower-case superscript letter immediately after the author's name and in front of the appropriate address. Provide the full postal address of each affiliation, including the country name and, if available, the e-mail address of each author.
- **Corresponding author.** Clearly indicate who will handle correspondence at all stages of refereeing and publication, also post-publication. **Ensure that phone numbers (with country and area code) are provided in addition to the e-mail address and the complete postal address. Contact details must be kept up to date by the corresponding author.**
- **Present/permanent address.** If an author has moved since the work described in the article was done, or was visiting at the time, a 'Present address' (or 'Permanent

address') may be indicated as a footnote to that author's name. The address at which the author actually did the work must be retained as the main, affiliation address. Superscript Arabic numerals are used for such footnotes.

### **Abstract**

A concise and factual abstract is required. The abstract should state briefly the purpose of the research, the principal results and major conclusions. An abstract is often presented separately from the article, so it must be able to stand alone. For this reason, References should be avoided, but if essential, then cite the author(s) and year(s). Also, non-standard or uncommon abbreviations should be avoided, but if essential they must be defined at their first mention in the abstract itself. The abstract should not be longer than 400 words.

### **Keywords**

Immediately after the abstract, provide a maximum of 6 keywords, using American spelling and avoiding general and plural terms and multiple concepts (avoid, for example, 'and', 'of'). Be sparing with abbreviations: only abbreviations firmly established in the field may be eligible. These keywords will be used for indexing purposes.

### **Nomenclature and units**

Follow internationally accepted rules and conventions: use the international system of units (SI). If other quantities are mentioned, give their equivalent in SI. You are urged to consult IUB: Biochemical Nomenclature and Related Documents: <http://www.chem.qmw.ac.uk/iubmb/> for further information. Authors and Editors are, by general agreement, obliged to accept the rules governing biological nomenclature, as laid down in the *International Code of Botanical Nomenclature*, the *International Code of Nomenclature of Bacteria*, and the *International Code of Zoological Nomenclature*. All biota (crops, plants, insects, birds, mammals, etc.) should be identified by their scientific names when the English term is first used, with the exception of common domestic animals. All biocides and other organic compounds must be identified by their Geneva names when first used in the text. Active ingredients of all formulations should be likewise identified.

### **Math formulae**

Present simple formulae in the line of normal text where possible and use the solidus (/) instead of a horizontal line for small fractional terms, e.g., X/Y. In principle, variables are to be presented in italics. Powers of e are often more conveniently denoted by exp. Number consecutively any equations that have to be displayed separately from the text (if referred to explicitly in the text). Equations should be numbered serially at the right-hand side in parentheses. In general only equations explicitly referred to in the text need be numbered. The use of fractional powers instead of root signs is recommended. Powers of e are often more conveniently denoted by exp. Levels of statistical significance which can be mentioned without further explanation are \*P<0.05, \*\*P< 0.01 and \*\*\*P< 0.001. In chemical formulae, valence of ions should be given as, e.g. Ca<sup>2+</sup>, not as Ca++.

Isotope numbers should precede the symbols, e.g. <sup>18</sup>O. The repeated writing of chemical formulae in the text is to be avoided where reasonably possible; instead, the name of the compound should be given in full. Exceptions may be made in the case of a very long name occurring very frequently or in the case of a compound being described as the end product of a gravimetric determination (e.g. phosphate as P<sub>2</sub>O<sub>5</sub>).

### **Footnotes**

Footnotes should be used sparingly. Number them consecutively throughout the article, using superscript Arabic numbers. Many wordprocessors build footnotes into the text, and this feature may be used. Should this not be the case, indicate the position of footnotes in the text and present the footnotes themselves separately at the end of the article. Do not include footnotes in the Reference list. *Table footnotes*  
Indicate each footnote in a table with a superscript lowercase letter.

### **Artwork**

#### *Electronic artwork*

##### *General points*

- Make sure you use uniform lettering and sizing of your original artwork.
- Embed the used fonts if the application provides that option.
- Aim to use the following fonts in your illustrations: Arial, Courier, Times New Roman, Symbol, or use fonts that look similar.
- Number the illustrations according to their sequence in the text.
- Use a logical naming convention for your artwork files.
- Provide captions to illustrations separately.
- Size the illustrations close to the desired dimensions of the printed version.
- Submit each illustration as a separate file.

A detailed guide on electronic artwork is available on our website:

<http://www.elsevier.com/artworkinstructions>

**You are urged to visit this site; some excerpts from the detailed information are given here.**

##### *Formats*

If your electronic artwork is created in a Microsoft Office application (Word, PowerPoint, Excel) then please supply 'as is' in the native document format. Regardless of the application used other than Microsoft Office, when your electronic artwork is finalized, please 'Save as' or convert the images to one of the following formats (note the resolution requirements for line drawings, halftones, and line/halftone combinations given below): EPS (or PDF): Vector drawings, embed all used fonts. TIFF (or JPEG): Color or grayscale photographs (halftones), keep to a minimum of 300 dpi. TIFF (or JPEG): Bitmapped (pure black & white pixels) line drawings, keep to a minimum of 1000 dpi. TIFF (or JPEG): Combinations bitmapped line/half-tone (color or grayscale), keep to a minimum of 500 dpi.

##### **Please do not:**

- Supply files that are optimized for screen use (e.g., GIF, BMP, PICT, WPG); these typically have a low number of pixels and limited set of colors;
- Supply files that are too low in resolution;
- Submit graphics that are disproportionately large for the content.

##### *Color artwork*

Please make sure that artwork files are in an acceptable format (TIFF (or JPEG), EPS (or PDF), or MS Office files) and with the correct resolution. If, together with your accepted article, you submit usable color figures then Elsevier will ensure, at no additional charge, that these figures will appear in color on the Web (e.g., ScienceDirect and other sites) regardless of whether or not these illustrations are reproduced in color in the printed version. **For color reproduction in print, you will receive information regarding the costs from Elsevier after receipt of your accepted article.** Please indicate your preference for color: in print or on the Web only.

For further information on the preparation of electronic artwork, please see <http://www.elsevier.com/artworkinstructions>. Please note: Because of technical complications which can arise by converting color figures to 'gray scale' (for the printed version should you not opt for color in print) please submit in addition usable black and white versions of all the color illustrations.

### **Tables**

Number tables consecutively in accordance with their appearance in the text. Place footnotes to tables below the table body and indicate them with superscript lowercase letters. Avoid vertical rules. Be sparing in the use of tables and ensure that the data presented in tables do not duplicate results described elsewhere in the article.

### **References**

References concerning unpublished data and "personal communications" should not be cited in the reference list but may be mentioned in the text.

#### *Reference style*

*Text:* All citations in the text should refer to:

1. *Single author:* the author's name (without initials, unless there is ambiguity) and the year of publication;
2. *Two authors:* both authors' names and the year of publication;
3. *Three or more authors:* first author's name followed by 'et al.' and the year of publication.

Citations may be made directly (or parenthetically). Groups of references should be listed first alphabetically, then chronologically.

Examples: 'as demonstrated (Allan, 2000a, 2000b, 1999; Allan and Jones, 1999). Kramer et al. (2010) have recently shown ....'

*List:* References should be arranged first alphabetically and then further sorted chronologically if necessary. More than one reference from the same author(s) in the same year must be identified by the letters 'a', 'b', 'c', etc., placed after the year of publication.

#### *Examples:*

Reference to a journal publication: Van der Geer, J., Hanraads, J.A.J., Lupton, R.A., 2010. The art of writing a scientific article. *J. Sci. Commun.* 163, 51–59. Reference to a book: Strunk Jr., W., White, E.B., 2000. *The Elements of Style*, fourth ed. Longman, New York.

#### Reference to a chapter in an edited book:

Mettam, G.R., Adams, L.B., 2009. How to prepare an electronic version of your article, in: Jones, B.S., Smith , R.Z. (Eds.), *Introduction to the Electronic Age*. E Publishing Inc., New York, pp. 281–304.

#### *Journal abbreviations source*

Journal names should be abbreviated according to the List of title word abbreviations: <http://www.issn.org/2-22661-LTWA-online.php>.

### **Video data**

Elsevier accepts video material and animation sequences to support and enhance your scientific research. Authors who have video or animation files that they wish to submit with their article are strongly encouraged to include links to these within the body of the article. This can be done in the same way as a figure or table by referring to the video

or animation content and noting in the body text where it should be placed. All submitted files should be properly labeled so that they directly relate to the video file's content. In order to ensure that your video or animation material is directly usable, please provide the files in one of our recommended file formats with a preferred maximum size of 50 MB. Video and animation files supplied will be published online in the electronic version of your article in Elsevier Web products, including ScienceDirect: <http://www.sciencedirect.com>. Please supply 'stills' with your files: you can choose any frame from the video or animation or make a separate image. These will be used instead of standard icons and will personalize the link to your video data. For more detailed instructions please visit our video instruction pages at <http://www.elsevier.com/artworkinstructions>. Note: since video and animation cannot be embedded in the print version of the journal, please provide text for both the electronic and the print version for the portions of the article that refer to this content.

### ***Submission checklist***

The following list will be useful during the final checking of an article prior to sending it to the journal for review. Please consult this Guide for Authors for further details of any item.

#### **Ensure that the following items are present:**

One author has been designated as the corresponding author with contact details:

- E-mail address
- Full postal address
- Phone numbers

All necessary files have been uploaded, and contain:

- Keywords
- All figure captions
- All tables (including title, description, footnotes)

Further considerations

- Manuscript has been 'spell-checked' and 'grammar-checked'
- References are in the correct format for this journal
- All references mentioned in the Reference list are cited in the text, and vice versa
- Permission has been obtained for use of copyrighted material from other sources (including the Web)
- Color figures are clearly marked as being intended for color reproduction on the Web (free of charge) and in print, or to be reproduced in color on the Web (free of charge) and in black-and-white in print
- If only color on the Web is required, black-and-white versions of the figures are also supplied for printing purposes

## VITA

Marcia de Souza Vieira, filha de Luiz Gonçalves Vieira e Maristela de Souza Vieira, nasceu em Nova Iguaçu – RJ, em 29 de novembro de 1980. Cursou o ensino fundamental na Escola Municipal Herbert Mouse e o ensino médio no Instituto de Educação Rangel Pestana em técnico em Contabilidade.

Em abril de 2003 ingressou no curso de Zootecnia da Universidade Federal Rural do Rio de Janeiro, graduando-se em abril de 2008. Durante o período de graduação foi monitora nas disciplinas anatomia comparada dos animais domésticos e extensão rural. Foi estagiária do Setor de Suinocultura, Avicultura e Nutrição de Equinos da Fazenda Experimental da UFRRJ. Bem como na Estação Experimental da PESAGRO/RJ/EMBRAPRA Agrobiologia. Formou-se em Zootecnia em abril de 2008

Em março de 2008 foi aprovada no processo de seleção para o curso de Mestrado em Zootecnia pelo Programa de Pós-Graduação em Zootecnia – UFRRJ, sob a orientação do professor Dr. Antônio Assis Vieira desenvolvendo trabalho de dissertação sobre a avaliação nutricional do bagaço de cevada para suínos em crescimento. Obteve o título de mestre em Zootecnia em abril de 2010.

Em março de 2010 ingressou no curso de Doutorado em Produção Animal pelo Programa de Pós-Graduação em Zootecnia - UFRGS, sob a orientação da professora Andréa Machado Leal Ribeiro desenvolvendo o trabalho de tese “Nutrição de leitões desmamados: enfoque no uso da energia da dieta e excreção de nitrogênio”. Lecionou suinocultura para o curso de Medicina Veterinária na Universidade Barriga Verde – Orleans, SC no período de um ano. Realizou o doutorado sanduíche no Departamento de Ciência Animal na Auburn University, Alabama – Estados Unidos durante o período de novembro de 2012 a outubro de 2013, trabalhando com óleo de linhaça e restrição alimentar para melhorar a qualidade da carne de suínos em crescimento e terminação, orientada pelo Dr. Lee I. Chiba. Foi submetida à banca de defesa de Tese em abril de 2014.